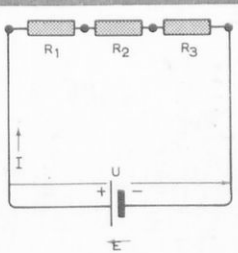


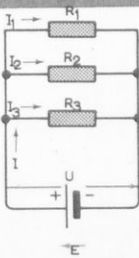
# ΗΛΕΚΤΡΟΤΕΧΝΙΑ

Γεωργίου Κ. Κοκκινάκη  
ΚΑΘΗΓΗΤΟΥ ΠΑΝ/ΜΙΟΥ ΠΑΤΡΩΝ

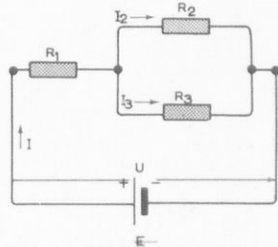
Γεωργίου Ιωάν. Καρύδη  
ΔΙΠΛ. ΗΛΕΚΤΡΟΛΟΓΟΥ ΜΗΧΑΝΙΚΟΥ



Συνθεσμολογία σε σειρά



Συνθεσμολογία παράλληλη



Συνθεσμολογία μικτή



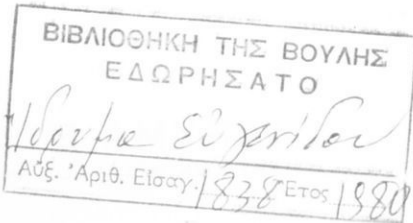


1954

ΙΔΡΥΜΑ ΕΥΓΕΝΙΔΟΥ  
ΧΡΥΣΟΥΝ ΜΕΤΑΛΛΙΟΝ ΑΚΑΔΗΜΙΑΣ ΑΘΗΝΩΝ

Ψηφιοποιήθηκε από το Ινστιτούτο Εκπαιδευτικής Πολιτικής





Ψηφιοποιήθηκε από το Ινστιτούτο Εκπαιδευτικής Πολιτικής



Ε 3<sup>8</sup> Κ.  
Κακαϊάνης Γεωργίος

Β' ΤΑΞΗ ΤΕΧΝΙΚΟΥ ΛΥΚΕΙΟΥ

# ΗΛΕΚΤΡΟΤΕΧΝΙΑ

ΤΕΥΧΟΣ Α'

ΓΕΩΡΓΙΟΥ ΚΩΝ/ΝΟΥ ΚΟΚΚΙΝΑΚΗ  
ΤΑΚΤΙΚΟΥ ΚΑΘΗΓΗΤΟΥ ΠΑΝ/ΜΙΟΥ ΠΑΤΡΩΝ

ΓΕΩΡΓΙΟΥ ΙΩΑΝ. ΚΑΡΥΔΗ  
ΔΙΠΛ. ΗΛΕΚΤΡΟΛΟΓΟΥ ΜΗΧΑΝΙΚΟΥ

ΑΘΗΝΑ  
1979

002  
ΗΙΕ  
ΕΤ2Β  
2140

## ΠΡΟΛΟΓΟΣ ΙΔΡΥΜΑΤΟΣ ΕΥΓΕΝΙΔΟΥ

Ο Εύγενιος Εύγενιδης, ο ιδρυτής και χορηγός του «Ιδρύματος Εύγενίδου», πολύ νωρίς πρόβλεψε και σχημάτισε τήν πεποιθηση ότι ή αρτια κατάρτιση τῶν τεχνικῶν μας, σὲ συνδυασμό μέ τήν έθνική ἀγωγή, θά ήταν ἀναγκαῖος και ἀποφασιστικός παράγοντας τῆς προόδου τοῦ Ἐθνους μας.

Τήν πεποιθησή του αὐτή ὁ Εύγενιδης ἐκδήλωσε μὲ τή γενναιόφρονα πράξη εὐεργεσίας, νά κληροδοτήσει σεβαστό ποσό γιά τή σύσταση Ἰδρύματος πού θά εἶχε σκοπό νά συμβάλλει στήν τεχνική ἀκπαίδευση τῶν νέων τῆς Ἑλλάδας.

Ἐτσι τό Φεβρουάριο τοῦ 1956 συστήθηκε τό «Ἴδρυμα Εύγενίδου», τοῦ δοπού τήν διοίκηση ἀνέλαβε ἡ ἀδελφή του κυρία Μαριάνθη Σίμου, σύμφωνα μέ τήν ἐπιθυμία τοῦ διαθέτη.

Ἀπό τό 1956 μέχρι σήμερα ἡ συμβολή τοῦ Ἰδρύματος στήν τεχνική ἀκπαίδευση πραγματοποιεῖται μὲ διάφορες δραστηριότητες. Ὁμως ἀπ' αὐτές ἡ σημαντικότερη, πού κριθηκε ἀπό τήν ἀρχή ὡς πρώτης ἀνάγκης, εἶναι ἡ ἐκδοση βιβλίων γιά τούς μαθητές τῶν τεχνικῶν σχολῶν.

Μέχρι σήμερα ἐκδόθηκαν 150 τόμοι βιβλίων, πού ἔχουν διατεθεῖ σε πολλά ἐκαπομύρια τέχνη, και καλύπτουν ἀνάγκες τῶν Κατώτερων και Μέσων Τεχνικῶν Σχολῶν τοῦ Ὑπ. Παιδείας, τῶν Σχολῶν τοῦ Ὁργανισμοῦ Ἀπασχολήσεως Ἐργατικοῦ Δυναμικοῦ (ΟΑΕΔ) και τῶν Δημοσίων Σχολῶν Ἐμπορικοῦ Ναυτικοῦ.

Μοναδική φροντίδα τοῦ Ἰδρύματος σ' αὐτή τήν ἐκδοτική του προσπάθεια ἥταν και εἶναι ἡ ποιότητα τῶν βιβλίων, ἀπό ἀποψη δχι μόνον ἐπιστημονική, παιδαγωγική και γλωσσική, ἀλλά και ἀπό ἀποψη ἐμφανίσεως, ὡστε τό βιβλίο νά ἀγαπηθεῖ ἀπό τούς νέους.

Γιά τήν ἐπιστημονική και παιδαγωγική ποιότητα τῶν βιβλίων, τά κείμενα ύποβάλλονται σε πολλές ἐπεξεργασίες και βελτιώνονται πρίν ἀπό κάθε νέα ἐκδοση.

Ίδιαίτερη σημασία ἀπέδωσε τό Ἰδρυμα ἀπό τήν ἀρχή στήν ποιότητα τῶν βιβλίων ἀπό γλωσσική ἀποψη, γιατὶ πιστεύει ότι και τά τεχνικά βιβλία, ὅταν εἶναι γραμμένα σε γλώσσα ἄρτια και δημοφρή ἀλλά και κατάλληλη γιά τή στάθμη τῶν μαθητῶν, μποροῦν νά συμβάλλουν στήν γλωσσική διαπαιδαγώγηση τῶν μαθητῶν.

Ἐτσι μέ ἀπόφαση πού πάρθηκε ἡδη ἀπό τό 1956 ὅλα τά βιβλία τῆς Βιβλιοθήκης τοῦ Τεχνίτη, δηλαδή τά βιβλία γιά τίς Κατώτερες Τεχνικές Σχολές, δπως ἀργότερα και γιά τίς Σχολές τοῦ ΟΑΕΔ, εἶναι γραμμένα σε γλώσσα δημοτική μὲ βάση τήν γραμματική τοῦ Τριανταφυλλίδη, ἐνν̄ ὅλα τά ἀλλα βιβλία εἶναι γραμμένα στήν ἀπλή καθαρεύουσα. Ἡ γλωσσική ἐπεξεργασία τῶν βιβλίων γίνεται ἀπό φιλολόγους τοῦ Ἰδρύματος και ἔτσι ἔξασφαλίζεται ἡ ἐνιαία σύνταξη και ὄρολογία κάθε κατηγορίας βιβλίων.

΄Η ποιότητα του χαρτιοῦ, τό είδος τῶν τυπογραφικῶν στοιχείων, τά σωστά σχήματα καὶ ἡ καλαισθῆτη σελιδοποίηση, τό ἔξωφυλλο καὶ τό μέγεθος τοῦ βιβλίου περιλαμβάνονται καὶ αὐτά στίς φροντίδες τοῦ Ἰδρύματος.

Τό Ίδρυμα θεώρησε δπι εἶναι υποχρέωσή του, σύμφωνα μέ τό πνεῦμα τοῦ ίδρυτή του, νά θέσει στήν διάθεση τοῦ Κράτους ὅλη αὐτή τήν πείρα του τῶν 20 ἑταῖν, ἀναλαμβάνοντας τήν ἔκδοση τῶν βιβλίων καί γιά τίς νέες Τεχνικές καὶ Ἐπαγγελματικές Σχολές καὶ τά νέα Τεχνικά καὶ Ἐπαγγελματικά Λύκεια, σύμφωνα μέ τά Ἀναλυτικά Προγράμματα τοῦ Κ.Ε.Μ.Ε.

Τά χρονικά περιθώρια γι' αὐτή τήν νέα ἔκδοτική προσπάθεια ἦταν πολύ περιορισμένα καὶ ἵσως γι' αὐτό, ἴδιως τά πρώτα βιβλία αὐτῆς τῆς σειρᾶς, νά παρουσιάσουν ἀτέλειες στή συγγραφή ἢ στήν ἐκτύπωση, πού θά διορθωθοῦν στή νέα τους ἔκδοση. Γι' αὐτό τό σκοπό ἐπικαλούμαστε τήν βοήθεια ὅλων ὅσων θά χρησιμοποιήσουν τά βιβλία, ὥστε νά μᾶς γνωστοποιήσουν κάθε παραπήρησή τους γιά νά συμβάλλουν καί αὐτοί στή βελτίωση τῶν βιβλίων.

#### ΕΠΙΤΡΟΠΗ ΕΚΔΟΣΕΩΝ ΙΔΡΥΜΑΤΟΣ ΕΥΓΕΝΙΔΟΥ

Άλεξανδρος Ι. Παππάς Όμ. Καθηγητής ΕΜΠ, Πρόεδρος

Χρυσόστομος Φ. Καβουνίδης Διπλ. Μηχ.-Ηλ. ΕΜΠ, Άντιπρόεδρος

Μιχαήλ Γ. Άγγελόπουλος Τακτικός Καθηγητής ΕΜΠ, Διοικητής ΔΕΗ.

Παναγιώτης Χατζηλαώννου, Μηχ.-Ηλ. ΕΜΠ, Γεν. Δι/ντής Έπαγ/κῆς Έκπ. Ύπ. Παιδείας

Έπιστημ. Σύμβουλος, Γ. Ρούσσος, Χημ.-Μηχ. ΕΜΠ.

Σύμβουλος, ἐπί τῶν ἔκδόσεων τοῦ Ίδρυματος Κ.Α. Μανάφης, Καθηγητής Φιλοσοφικῆς Σχολῆς

Παν/μίου Αθηνῶν.

Γραμματεὺς, Δ.Π. Μεγαρίτης.

Διατελέσαντα μέλη ἢ σύμβουλοι τῆς Έπιτροπῆς

Γεώργιος Κακριδής † (1955 — 1959) Καθηγητής ΕΜΠ, Ἀγγελος Καλογερᾶς † (1957 — 1970)

Καθηγητής ΕΜΠ, Δημήτριος Νιάνιας (1957 — 1965) Καθηγητής ΕΜΠ, Μιχαήλ Σπετσιέρης

(1956 — 1959), Νικόλαος Βασιώπης (1960 — 1967) θεόδωρος Κουζέλης (1968 — 1976)

Μηχ.-Ηλ. ΕΜΠ.

## ΠΡΟΛΟΓΟΣ

Τό βιβλίο αυτό γράφτηκε σύμφωνα με τήν όλη πού καθόρισε τό Ύπουργεο Παιδείας γιά τή διδασκαλία του μαθήματος τής Ήλεκτροτεχνίας στή Β' τάξη των Τεχνικών και Έπαγγελματικών Λυκείων. Η όλη αυτή ξεκινά ἀπό τίς πολύ βασικές έννοιες τοῦ Ήλεκτρισμοῦ (τί είναι ρεύμα, τάση, αντίσταση, κλπ), περνά ἀπό τό συνεχές ρεύμα, τό μαγνητικό πεδίο, τούς πυκνωτές, τό μονοφασικό και τριφασικό ἐναλλασσόμενο ρεύμα και καταλήγει σέ ειδικά θέματα Ήλεκτροτεχνίας. Σκοπός της είναι νά δώσει στό μαθητή τοῦ Τεχνικοῦ Λυκείου τίς ἀπαραίτητες ηλεκτροτεχνικές γνώσεις γιά τήν παρακολούθηση ἀλλων πιο ειδικευμένων μαθημάτων και βέβαια τίς γνώσεις πού θά τοῦ χρειασθοῦν κατόπιν στήν ἀσκηση τοῦ ἐπαγγέλματός του. Άκομα ἔχει σάν σκοπό νά δώσει χερές βάσεις Ήλεκτροτεχνίας σέ δύον θά ακολουθήσουν ἀνώτερες και ἀνώτατες σπουδές.

Ἀπό τήν όλη πού ἀνάφερθηκε, ὁ μαθητής τοῦ Β' Τεχνικοῦ Λυκείου ἔχει ηδη δριμείνες γνώσεις, πού ἀποκόμισε ἀπό τή διδασκαλία τῶν μαθημάτων «Φυσική Πειραματική» τῆς Γ' Γυμνασίου, «Ηλεκτρικές Έφαρμογές» τῆς Α' Τεχνικοῦ και Έπαγγελματικοῦ Λυκείου, κ.ἄ. Οι γνώσεις αυτές ἐπανιλαμβάνονται ἐδώ ἀλλά πιο συνοπτικά, ὥστε ὁ μαθητής νά ἔχει ὀλοκληρωμένη τήν ἀπαραίτητη όλη τῆς Ήλεκτροτεχνίας σέ ἓνα βιβλίο και νά μην χρειάζεται νά ἀνατρέψει σέ ἄλλες πηγές.

Ίδιαίτερη προσπάθεια καταβλήθηκε στό νά γίνουν τά διάφορα ἀντικείμενα δυο τό δυνατόν πιό ἀπλά και καταληπτά, χωρίς φυσικά νά ζημιωθεῖ ἡ ὅρθοτητά τους, και ἀκόμα στό νά παρουσιασθοῦν μέ τόν τρόπο πού ἐνδιαφέρει ἕνα Τεχνικό - Ήλεκτρολόγο. Έτσι ή περιγραφή και ἔμηχεία τῶν διαφόρων φαινομένων δέν είναι ἐδώ ἀπόσκοπός δηλως στή διδασκαλία τοῦ Ήλεκτρισμοῦ και Μαγνητισμοῦ στή Φυσική, ἀλλά τό μέσο γιά νά φθάσει ὁ μαθητής σύντομα και μέ τά ἀπαραίτητα ἐφόδια στίς πρακτικές ἔφαρμογές.

Οι γνώσεις πού προαπαιτοῦνται γιά τήν ἀνάγνωση τοῦ βιβλίου αὐτοῦ ἔχουν ηδη διδαχθεῖ στά πλαίσια τῶν μαθημάτων «Μαθηματικά» και «Φυσική» τοῦ Γυμνασίου και τῆς Α' τάξεως τοῦ Τεχνικοῦ και Έπαγγελματικοῦ Λυκείου. Ίδιαίτερα είναι ἀπαραίτητα στοιχεῖα διανοματικοῦ λογισμοῦ και στοιχεῖα μηχανικοῦ λογισμοῦ. Ο μαθητής θὰ διαπιστώσει ἐπίσης στή χρησιμοποιοῦνται στοιχειώδη διαφορικά και διλοκληρώματα. Οι ἔννοιες τοῦ διαφορικοῦ και τοῦ ὀλοκληρώματος ἔχουν ηδη δοθεῖ στήν Α' τάξη τοῦ Τεχνικοῦ και Έπαγγελματικοῦ Λυκείου, ὥστε δέν πρέπει νά παρουσιασθεῖ κανονικά δυσκολία στήν ἀντιτελόπιση τους ἐδώ. Παρ' δὲ αυτά ή κατανόηση τῶν ἀντικείμενων πού περιγράφονται στήν στηρίζεται σέ διαφορικά ή διλοκληρώματα, πού μποροῦν ἔτσι νά παραληφθοῦν σέ περίπτωση πού οι μαθητές δέν θά ἔχουν τίς ἀπαιτούμενες ἔννοιες.

Τό βιβλίο ἀποτελεῖται ἀπό ἑξ μέρη πού ἔχουν χωρισθεῖ σέ δύο τόμους. Ό πρώτος τόμος περιλαμβάνει τίς πρότεις βασικές ηλεκτροτεχνικές γνώσεις, τό συνεχές ρεύμα και τό μαγνητικό πεδίο, ὁ δεύτερος τόμος τούς πυκνωτές, τό ἐναλλασσόμενο ρεύμα και ειδικά θέματα (ἀνορθωτές, θερμοστοιχεία).

Τιά ἔξασκηση στή χρησιμοποίηση τῶν τύπων και τῶν μονάδων και γιά νά ἀποκτήσει ὁ μαθητής τής ἀντίληψη τής τάξεως μεγέθους τῶν διαφόρων ηλεκτροτεχνικῶν μεγεθῶν σέ πρακτικές περιπτώσεις, δίνονται στό τέλος κάθε παραγράφου ἀριθμητικές ἔφαρμογές. Έπισής στό τέλος κάθε τόμου ὑπάρχει σέ παράτημα συλλογή ἀσκήσεων πρός λύση ἀπό τούς μαθητές. Σέ κάθε ἀσκηση δίνεται τό ἀποτέλεσμα γιά νά μπορεῖ νά ἐλεγχθεῖ ἡ ὅρθοτητα τῆς λύσεως.

Ἄν ληφθεῖ ὑπ' ὄψη ὁ χρόνος πού γράφτηκε και ἐκδόθηκε τό βιβλίο αὐτό, θά πρέπει νά ὑπάρχουν περιθώρια διορθώσεων τυπογραφικῶν κλπ. λαθῶν, δπως και βελτιώσεων στήν παρουσίαση τῆς όλης. Έτσι είναι εὐπρόσδεκτη κάθε ὑπόδειξη πρός τήν κατεύθυνση αὐτή, ὥστε νά ληφθεῖ ὑπ' ὄψη σέ ἐπόμενη ἐκδοση.

Αθήνα, Νοέμβριος 1978

Οι συγγραφεῖς



## ΠΡΩΤΟ ΜΕΡΟΣ

### ΟΙ ΠΡΩΤΕΣ ΒΑΣΙΚΕΣ ΓΝΩΣΕΙΣ

#### ΚΕΦΑΛΑΙΟ ΠΡΩΤΟ

##### ΗΛΕΚΤΡΙΚΕΣ ΙΔΙΟΤΗΤΕΣ ΤΗΣ ΥΛΗΣ – ΗΛΕΚΤΡΙΚΟ ΦΟΡΤΙΟ Ο ΝΟΜΟΣ ΤΟΥ COULOMB

###### 1.1 Οι ήλεκτρικές ιδιότητες τής υλης και τό ηλεκτρικό φορτίο.

Οι πρώτες παρατηρήσεις έπάνω στίς δράσεις του ήλεκτρισμοῦ έγιναν στήν αρχαία Έλλαδα. Γύρω στά 600 π.Χ. ο Θαλῆς ο Μιλήσιος παρετήρησε διτού ήλεκτρο (κεχριμπάρι), δταν τριφθεῖ σέ ενα στεγνό υφασμα, ἀποκτᾶ τήν ίκανότητα νά έλκει διάφορα έλαφρά ἀντικείμενα, π.χ. πολύ μικρά κομμάτια ξύλου. Ἀπό τό ηλεκτρο δόθηκε στό φαινόμενο αυτό η δονομασία **«ηλεκτρισμός»**.

Περισσότερες γνώσεις στό θέμα **ήλεκτρισμός** έδωσε ο Γάλλος Φυσικός C. Dufay τό 1733, πού διέκρινε, διτο πρέπει νά ύπαρχουν δύο ειδη ηλεκτρισμοῦ και διτο τά διάφορα σώματα μποροῦν, ίνστερα ἀπό τριβή, νά χωρισθοῦν σέ δύο ομάδες.

Γιά νά γίνουν κατανοητές οι παρατηρήσεις τοῦ Dufay έξετάζομε δύο σώματα, ενα ἀπό κάθε ομάδα, σάν ἀντιπροσωπευτικές περιπτώσεις: τό γυαλί και τόν **έβονίτη** (καουτσούκ). Παρατηροῦμε διτο δταν πλησιάσομε μεταξύ τους δύο κομμάτια γυαλιοῦ, πού έχουν τριφθεῖ μέ στεγνό υφασμα ή ἄλλο κατάλληλο ύλικο, **ἀπωθοῦνται**, δπως ἐπίσης ἀπωθοῦνται και δύο κομμάτια έβονίτη. Ἀντίθετα, τό γυαλί και δέ έβονίτης **ἔλκονται**.

Οσο περισσότερο τριφθοῦν τό γυαλί και δέ έβονίτης, τόσο μεγαλύτερη είναι η **ποσότητα ήλεκτρισμοῦ** πού ἀποκτοῦν, τόσο μεγαλύτερες είναι οι δυνάμεις έλξεως η ἀπωθήσεως, πού έξασκοῦνται ἀμοιβαῖ επάνω τους.

Ο ηλεκτρισμός, πού έμφανιζεται στό γυαλί ίνστερα ἀπό τριβή δονομάζεται **θετικός**, ενῶ ο ηλεκτρισμός τοῦ έβονίτη **άρνητικός**.

Η ποσότητα τοῦ ηλεκτρισμοῦ ένός σώματος δονομάζεται **ηλεκτρικό φορτίο**.

Γενικά οι παρατηρήσεις τοῦ Dufay συνοψίζονται στόν παρακάτω βασικό νόμο:

Τά «όμώνυμα» ηλεκτρισμένα σώματα (αυτά πού έχουν μόνο θετικό η μόνο άρνητικό ηλεκτρικό φορτίο) ἀπωθοῦνται, ενῶ τά «έτερώνυμα» ηλεκτρισμένα σώματα (θετικά και άρνητικά φορτισμένα) έλκονται.

Λίγο πριν, άπό τὸν *Dufay*, τὸ 1729, ὁ Ἀγγλος Φυσικός *S. Gray* εἶχε παρατηρήσει, διτά τὰ διάφορα σώματα μποροῦν νά χωρισθοῦν σέ δύο μεγάλες κατηγορίες, σύμφωνα μέ τὴν ἡλεκτρική συμπεριφορά τους. Μία κατηγορία σωμάτων, π.χ. τὸ γυαλί, ὁ ἐβονίτης κλπ., διατηροῦνται σέ ἡλεκτρισμένη κατάσταση γιά μεγάλο χρονικό διάστημα, ἀντίθετα μέ τὴν ἄλλη κατηγορία, π.χ. τά μέταλλα, ποὺ ὁ ἡλεκτρισμός τους διαδίδεται ἀμέσως σέ δῆλη τὴν ἐπιφάνειά τους. Τὰ σώματα τῆς πρώτης κατηγορίας ὀνομάζονται **μονωτές** ή **μονωτικά** καὶ τῆς δεύτερης **ἄγωγοι**. Βέβαια, μεταξύ αὐτῶν τῶν ὄριακῶν περιπτώσεων (μονωτές-ἄγωγοι), ὑπάρχουν καὶ ἐνδιάμεσες ὑποκατηγορίες, π.χ. λιγότερο καλοί ἄγωγοι, λιγότερο καλοί μονωτές κλπ.

Τά ἡλεκτρικά φαινόμενα ἀποδόθηκαν ἀρχικά σέ κάποιο **ρευστό** μέ διάφορες ιδιότητες, τό ὅποιο βρίσκεται σέ δῆλα τά σώματα, περισσότερο στά θετικά φορτισμένα καὶ λιγότερο στά ἀρνητικά, ὥστε νά μπορεῖ νά ρέει ἀπό τό ἔνα σώμα στό ἄλλο. Ἡ θεωρία δημοσιεύθηκε τοῦ *αὐτού* οὐρανού, δέν μπόρεσε νά ἐπαληθευθεῖ πειραματικά.

Ἡ ἐρμηνεία τῶν φαινομένων τοῦ ἡλεκτρισμοῦ στηρίζεται σήμερα στίς γνώσεις, ποὺ ἀποκτήθηκαν ἀπό τίς ἀρχές τοῦ 20οῦ αἰώνα, σχετικά μέ τή συγκρότηση τῆς ὕλης. Ὄπως ξέρομε, δῆλα τά σώματα — στερεά, ὑγρά καὶ ἀερία — ἀποτελοῦνται ἀπό μόρια καὶ ἀτομα.

**Μόρια** εἶναι τά ἔλαχιστα τεμάχια τῆς ὕλης, ποὺ δέν μποροῦν νά χωρισθοῦν σέ μικρότερα μέρη μέ μηχανικά μέσα καὶ διατηροῦν δῆλες τίς ιδιότητες τοῦ σώματος, ἀπό τό ὅποιο προέρχονται. Τά μόρια εἶναι δυνατό νά διαχωρισθοῦν μέ χημικά μέσα σέ μικρότερα μέρη πού ὀνομάζονται **ἄτομα**.

Κάθε ἀτόμο εἶναι ἔνα σύνθετο σύνολο, πού ἀποτελεῖται ἀπό πολλά μικρότερα σωματίδια. Τά κυριότερα ἀπό αὐτά εἶναι:

α) τά ἡλεκτρόνια, β) τά πρωτόνια καὶ γ) τά νετρόνια, πού ὀνομάζονται καὶ οὐδετερόνια.

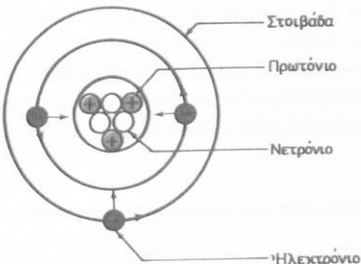
Μέ πειράματα, ἀποδείχθηκε διτά τά ἡλεκτρόνια δῆλων τῶν σωμάτων εἶναι δημοια μεταξύ τους καὶ διτά εἶναι **ἀρνητικά ἡλεκτρισμένα**, δηλαδή ἔχουν ἡλεκτρισμό δημοιο μέ τὸν ἡλεκτρισμό τοῦ ἐβονίτη. Ἀκόμα, διαπιστώθηκε διτά ἡ ποσότητα τοῦ ἡλεκτρισμοῦ ἐνός ἡλεκτρονίου εἶναι σταθερή καὶ ἡ μικρότερη, πού μπορεῖ νά μετρηθεῖ στή φύση. Τὴν ποσότητα αὐτή, ποὺ δέν μπορεῖ νά χωρισθεῖ σέ μικρότερα τμήματα ὀνομάζομε **θεμελιακό ἡλεκτρικό φορτίο** καὶ τή χαρακτηρίζομε μέ τό σύμβολο ε. Ὄποιοδήποτε ἡλεκτρικό φορτίο εἶναι πολλαπλάσιο τοῦ ε.

Τό ἡλεκτρόνιο μποροῦμε νά τό φαντασθοῦμε, σέ πολύ χονδρική προσέγγιση, σάν μικρότατο ἡλεκτρισμένο σφαιρίδιο μέ τίς ίδιες πάντα διαστάσεις, τήν ίδια μᾶζα καὶ τό ίδιο φορτίο. (Ἡ μᾶζα τοῦ ἡλεκτρονίου εἶναι ίσοδύναμη μέ  $9.1 \cdot 10^{-31}$  kg, ἐνῶ ἡ διάμετρός του, ἣν θεωρηθεῖ σφαιρίδιο, εἶναι τῆς τάξεως τῶν  $4 \cdot 10^{-15}$  m).

Τή θέση τῶν ἡλεκτρονίων καὶ τῶν ἄλλων σωματίδιων στό ἀτομο μᾶς δίνει ἔνα **μοντέλο τοῦ ἀτόμου**, πού παρουσίασαν οἱ Φυσικοί *Bohr* καὶ *Rutherford*,

στίς άρχες τοῦ αἰώνα μας.

Σύμφωνα μέ αὐτό, τὸ ἄτομο ἀποτελεῖ μικρογραφία ἐνός πλανητικοῦ συστήματος (σχ. 1.1). Τά πρωτόνια καὶ τά νετρόνια σχηματίζουν τὸν **πυρήνα** τοῦ ἄτομου καὶ βρίσκονται στὸ κέντρο του καὶ σὲ μικρές μεταξὺ τους ἀποστάσεις. Τά **ἡλεκτρόνια** βρίσκονται σὲ πολὺ μεγάλη, σχετικά μέ τίς διαστάσεις τους, ἀπόσταση ἀπό τὸν πυρήνα καὶ περιστρέφονται σάν πλανῆτες γύρω ἀπό αὐτόν, ἐπάνω σὲ καθορισμένες στρώσεις, πού δύναμένται **στοιβάδες**. Κάθε στοιβάδα μπορεῖ νά περιλάβει ὅρισμένο ἀριθμό **ἡλεκτρονίων** καὶ χαρακτηρίζεται ἀπό τὴν ἐνέργεια ἐνός **ἡλεκτρονίου**, πού κινεῖται ἐπάνω σὲ αὐτή.



Σχ. 1.1.

Τό **πρωτόνιο** εἶναι βαρύ σωμάτιο ὅλης (περίπου 1830 φορές βαρύτερο ἀπό ἓνα **ἡλεκτρόνιο** μέ ὀλική μάζα  $1,67 \cdot 10^{-27}$  kg), πού φέρει ποσότητα **θετικοῦ ἡλεκτρισμοῦ** ἵση καὶ ἀντίθετη πρός τό **ἡλεκτρικό φορτίο** ἐνός **ἡλεκτρονίου**. Ὄλα τά πρωτόνια, ἀπό ὅποιοδήποτε στοιχεῖο καὶ ἄν προέρχονται εἶναι δμοια μεταξύ τους.

Τό **νετρόνιο** εἶναι καὶ αὐτό βαρύ σωμάτιο μέ μάζα οὐσιαστικά ἵση μέ τοῦ πρωτονίου, ἀλλά **ἡλεκτρικά οὐδέτερο**. Τό **νετρόνιο**, ἐπομένως, προσθέτει βάρος στὸν πυρήνα, ὅχι δμως καὶ **ἡλεκτρικό φορτίο**.

Στή φυσική τους κατάσταση τά ἄτομα εἶναι **ἡλεκτρικά οὐδέτερα**, δηλαδή δέν ἔξασκοῦν δυνάμεις σέ **ἡλεκτρικά φορτία**. Αὐτό σημαίνει δτὶ ὁ ἀριθμός τῶν **ἡλεκτρονίων** ἐνός ἄτομου εἶναι ἴσος μέ τὸν ἀριθμό τῶν πρωτονίων, ὥστε νά ἔξουδετερώνονται τά φορτία τους.

Ἡ φυσική οὐδέτερη κατάσταση τοῦ ἄτομου μπορεῖ νά διαταραχθεῖ, δταν ἐπιδράσει στό ἄτομο κάποια ἔξωτερη αἰτία. Τέτοια αἰτία μπορεῖ νά εἶναι π.χ. ἡ σύγκρουση τοῦ ἄτομου μέ ἄλλο σωματίδιο, προσβολή μέ φῶς κλπ. Τό ἄτομο ἀνταλλάσσει τότε ἔνα ποσό ἐνέργειας καὶ τό ἀποτέλεσμα εἶναι ἡ νά χάσει ἔνα ἡ περισσότερα ἀπό τά **ἡλεκτρόνια** του, ἡ νά προσλάβει ἐπί πλέον **ἡλεκτρόνια**. Καὶ στίς δύο περιπτώσεις τό ἄτομο ἀποβάλλει τήν οὐδέτερη κατάστασή του. Ἀν χάσει **ἡλεκτρόνια**, ἐμφανίζεται **θετικά **ἡλεκτρισμένο****, ἐνῷ ἄν προσλάβει, ἐμφανίζεται **ἀρνητικά **ἡλεκτρισμένο****. Τά **ἡλεκτρισμένα** (θετικά ἡ ἀρνητικά) ἄτομα δύναμένται **ἰόντα**.

Μέ τή δομή τοῦ άτομου, δπως τήν περιγράψαμε, ἔξηγεῖται ώς ἔξῆς ή ἐμφάνιση ήλεκτρισμοῦ σέ σῶμα ὑστερα ἀπό τριβή: Μέ τήν τριβή δύο διαφορετικῶν σωμάτων, π.χ. γυαλιοῦ μέ μάλλινο ὄφασμα, ἀποχωρίζονται ηλεκτρόνια ἀπό τό ἓνα σῶμα καὶ πηγαίνουν στό ἄλλο, μέ μάλλινο ὄφασμα νά δημιουργηθοῦν στό ἓνα σῶμα θετικά ιόντα, δηλαδή **ἔλλειψη ήλεκτρονίων**, καὶ στό ἄλλο ἀρνητικά, δηλαδή **πλεόνασμα ήλεκτρονίων**. Ἐτσι, ὅταν ἀποχωρισθοῦν τά δύο σώματα, τό ἓνα ἐμφανίζεται μέ θετικό φορτίο καὶ τό ἄλλο μέ ἀρνητικό. Τό ποιό σῶμα δίνει καὶ ποιό παίρνει ηλεκτρόνια, ἔξαρτάται ἀπό τή φύση τοῦ σώματος.

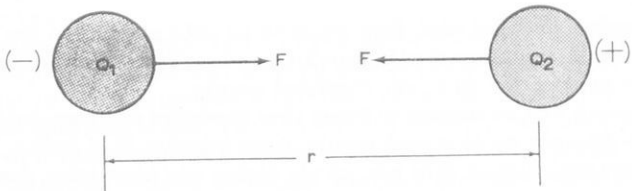
Γενικά, **ήλεκτρισμός ἐμφανίζεται, ὅταν διαχωρίσωμε μέ όποιοδήποτε τρόπο ἐτερώνυμα ήλεκτρικά φορτία, ὑπερνικώντας τίς ἐλκτικές δυνάμεις πού τά κρατοῦν ἔνωμένα, ὥστε νά δημιουργηθεῖ σέ ἓνα σῶμα ἔλλειψη ήλεκτρονίων καὶ στό ἄλλο πλεόνασμα.**

\*Από ὅσα εἴπαμε, καθίσταται φανερό δι τη ηλεκτρικά φορτία δέν παράγονται γιατί προϋπάρχουν στή φύση, μέσα στήν οὐλη. Οἱ δράσεις τῶν φορτίων, δηλαδή τοῦ ήλεκτρισμοῦ, ἐμφανίζονται, ὅταν διαχωρισθοῦν τά φορτία σέ θετικά καὶ ἀρνητικά.

## 1.2 Ο Νόμος τοῦ Coulomb καὶ ή διηλεκτρική σταθερά.

Τό 1785 δ Γάλλος Φυσικός C. Coulomb διετύπωσε τόν ποσοτικό νόμο τοῦ ήλεκτρισμοῦ, δηλαδή προσδύορισε τό μέγεθος τῶν ηλεκτρικῶν δυνάμεων (ἐλκτικῶν ή ἀπωθητικῶν), πού ἀναπτύσσονται μεταξύ δύο ηλεκτρισμένων σωμάτων.

\*Ο Coulomb χρησιμοποίησε γιά τό πείραμά του δύο ηλεκτρικά φορτισμένα σφαιριδία μέ φορτία  $Q_1$  καὶ  $Q_2$  εύρισκόμενα σέ κάποια ἀπόσταση  $r$  μεταξύ τους (σχ. 1.2).



Σχ. 1.2.

Τό πείραμα τοῦ Coulomb ἀπέδειξε διτο: τό μέτρο  $F$  τῆς ἀναπτυσσόμενης ηλεκτρικῆς δυνάμεως μεταξύ τῶν σφαιριδίων εἶναι ἀνάλογο πρός τά ηλεκτρικά φορτία  $Q_1$  καὶ  $Q_2$  καὶ ἀντίστροφα ἀνάλογο πρός τό τετράγωνο τῆς ἀποστάσεως τους  $r$ :

$$F = k \frac{Q_1 \cdot Q_2}{r^2} \quad (1.1)$$

οπου κ είναι συντελεστής, που έχαρταται άπο τό ύλικό μεταξύ των σφαιριδίων και άπο τις μονάδες των τριών μεγεθών F, Q και r.

Στήν 'Ηλεκτροτεχνία χρησιμοποιεῖται σήμερα άποκλειστικά τό διεθνές σύστημα μονάδων S.I., (Système International), που προτάθηκε άπο τόν Ιταλό καθηγητή G. Giorgi τό 1901 και καθιερώθηκε παγκόσμια τό 1935. Τό σύστημα αύτο περιλαμβάνει τρεῖς θεμελιώδεις μηχανικές μονάδες, τό μέτρο - mētre - (m) γιά τό μῆκος, τό χιλιόγραμμο - kilogram - (kg) γιά τή μάζα και τό δευτερόλεπτο - second - (sec ή s) γιά τό χρόνο, και μία θεμελιώδη ηλεκτρική μονάδα, τό άμπερ - Ampère - (A) γιά τήν ένταση τοῦ ηλεκτρικοῦ ρεύματος. Τό σύστημα S.I. δονομάζόταν παλαιότερα, σύστημα M.K.S.A. άπο τά άρχικά των τεσσάρων βασικών μονάδων του.

Στό σύστημα S.I. μονάδα δυνάμεως είναι τό νευτώνιο ή νιούτον - Newton - (N), που ίσοδυναμεῖ μέ 1/9,81 kp. δηλαδή μέ τό 1/9,81 τῆς έλκτικῆς δυνάμεως, που άσκει ή ή βαρύτητα τῆς γῆς σέ ένα kg. Μονάδα έργου είναι τό τζάουλ - Joule - (J) και μονάδα ίσχυος τό βάττ - Watt - (W). Μέ τό σύστημα αύτό προκύπτουν σάν παράγωγες μονάδες δλες οι καθιερωμένες μονάδες τῆς ηλεκτροτεχνίας, δπως θά γνωρίσομε στή συνέχεια τοῦ βιβλίου δηλαδή τό κουλόμπ - Coulomb - (C) γιά τό ηλεκτρικό φορτίο, τό βόλτ - Volt - (V) γιά τήν τάση, τό ούμ - Ohm - (Ω) γιά τήν άντίσταση.

Μέ τήν έφαρμογή των πιο πάνω μονάδων στόν τύπο (1.1), προσδιορίζεται ή σταθερά κ σέ:

$$k = \frac{1}{4\pi\epsilon} \quad (1.2)$$

Τό μέγεθος ε, που έμφανιζεται στόν τύπο (1.2) δονομάζεται διηλεκτρική σταθερά και έχαρταται άπο τό παρεμβαλλόμενο μονωτικό ύλικό μεταξύ των δύο σφαιριδίων. Γενικά, γιά κάθε μονωτικό ύλικό ίσχυει:

$$\epsilon = \epsilon_0 \cdot \epsilon_r \quad (1.3)$$

σπου ε<sub>0</sub> είναι ή διηλεκτρική σταθερά τοῦ κενοῦ και μέ μεγάλη προσέγγιση τοῦ άερα.

$$\epsilon_0 = \frac{1}{4\pi \cdot 9 \cdot 10^9} \cdot \frac{C^2}{N \cdot m^2} \quad (1.4)$$

ε<sub>r</sub> είναι ή σχετική διηλεκτρική σταθερά που όριζει πόσες φορές ή διηλεκτρική σταθερά ένος μονωτικοῦ ύλικοῦ είναι μεγαλύτερη άπο τή διηλεκτρική σταθερά τοῦ κενοῦ ε<sub>0</sub>.

$$\epsilon_r = \frac{\epsilon}{\epsilon_0} \quad (1.5)$$

Ένδεικτικά, παράθετομε στόν πίνακα 1.2.1 τίς τιμές της σχετικής διηλεκτρικής σταθερᾶς  $\epsilon_r$  μερικῶν ύλικῶν.

**ΠΙΝΑΚΑΣ 1.2.1.**

$\epsilon_r$	Κενό - άέρας 1	Χαρτί - Παραφίνη 1,8 - 2,6	Πορσελάνη 4 - 7	Γυαλί 6 - 10
--------------	-------------------	-------------------------------	--------------------	-----------------

### Άριθμητικό παράδειγμα.

Δίνονται δύο σφαιρίδια ήλεκτρικά φορτισμένα μέ  $Q_1 = 1 \text{ C}$  και  $Q_2 = 1 \text{ C}$  σέ απόσταση  $r = 1 \text{ m}$ . Παρεμβαλλόμενο μονωτικό είναι ο άέρας ( $\epsilon_r = 1$ ). Νά εύρεθει ή άναπτυσσόμενη δύναμη  $F$  σέ  $N$  καί  $\text{kp}$ .

**Σημείωση.** Δέν έχει σημασία, αν τά ήλεκτρικά φορτία είναι θετικά ή άρνητικά, γιατί οι έλκτικές δυνάμεις ή οι δυνάμεις άπωθήσεως είναι ίδιες.

**Αύση.**

$$F = \frac{Q_1 \cdot Q_2}{4\pi \cdot \epsilon \cdot r^2} = \frac{C^2}{4\pi \cdot \frac{1}{4\pi \cdot 9 \cdot 10^9} \cdot \frac{C^2}{N \cdot m^2}} = 9 \cdot 10^9 N$$

$$F = 9 \cdot 10^9 N \approx 9 \cdot 10^8 kp.$$


---

Στό παραπάνω παράδειγμα, αν ή απόσταση  $r = 1000 \text{ m}$ , τότε ή δύναμη  $F = 900 \text{ kp}$ .

Από τό παράδειγμα αυτό, γίνεται άντιληπτό δι τη μονάδα  $C$  είναι τεράστια, έφ' δσον, άκομη καί σέ απόσταση  $1 \text{ km}$ , δύο σώματα μέ φορτίο  $1 \text{ C}$  έλκονται η άπωθούνται μέ δύναμη  $900 \text{ kp}$ . Γιά τό λόγο αυτό, χρησιμοποιούνται στήν πράξη ύποπολλαπλάσια τής μονάδας  $C$  καί συνήθως τό **μικροκουλόμπ** ( $\mu C$ ), δηλαδή τό έκατομμυριοστό τοῦ  $C$ .

$$1 \mu C = 10^{-6} C \quad (1.6)$$

Τό φορτίο ένος ήλεκτρονίου είναι:

$q = 1,6 \cdot 10^{-19} C = 1,6 \cdot 10^{-13} \mu C$

(1.7)

## ΚΕΦΑΛΑΙΟ ΔΕΥΤΕΡΟ

### PEYMA — ΕΝΤΑΣΗ

#### 2.1 Η κίνηση τῶν ἡλεκτρικῶν φορτίων.

Γιά νά διαπιστώσουμε τήν κίνηση τῶν ἡλεκτρικῶν φορτίων η τήν **ἡλεκτρική ροή**, διως ὀνομάζεται ή κίνηση αὐτή, ἐκτελοῦμε τό παρακάτω πείραμα: Παίρνομε δύο μεταλλικές σφαῖρες μέ τό ίδιο ἡλεκτρικό φορτίο  $Q$ , ἀλλά φορτισμένες τή μία θετικά καί τήν ἄλλη ἀρνητικά καί τίς τοποθετοῦμε σέ κάποια ἀπόσταση μεταξύ τους (σχ. 2.1α).



Σχ. 2.1α.



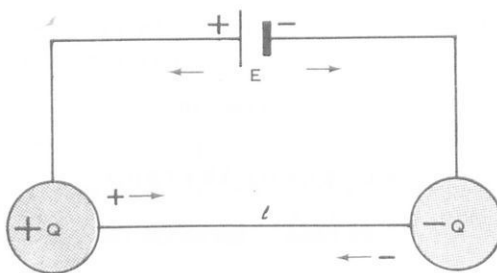
Σχ. 2.1β.

Μέ κατάλληλο δργανο ἐλέγχομε τό φορτίο κάθε σφαίρας καί, μέ διαδοχικές μετρήσεις παρατηροῦμε δι τά φορτία στίς σφαῖρες μένουν ἀμετάβλητα, δσο οι σφαῖρες βρίσκονται μακρυά ή μία ἀπό τήν ἄλλη. Ἀν τίς ἐνώσουμε ὅμως μέ ἑνα μεταλλικό σύρμα  $l$  (σχ. 2.1β), θά παρατηρήσουμε, δι, μέσα σέ ἐλάχιστο χρονικό διάστημα, οι σφαῖρες χάνουν τό φορτίο τους καί δλόκληρο τό παραπάνω σύστημα φθάνει σέ κατάσταση ισορροπίας, δηλαδή σέ οὐδέτερη ἡλεκτρικά κατάσταση.

Γιά νά ἔρμηνεύσουμε τό φαινόμενο αὐτό, πρέπει νά παραδεχθοῦμε δι τά ἡλεκτρικά φορτία **κανήθηκαν** μέσα ἀπό τό ἀγώγιμο σύρμα, η τά θετικά πρός τά ἀρνητικά, η τά ἀρνητικά πρός τά θετικά, η συγχρόνως καί τά δύο, δστε μετά τήν ισορρόπηση τοῦ συστήματος, νά ὑπάρχει ἐπάνω σέ κάθε σφαίρα η ίδια ποσότητα θετικῶν καί ἀρνητικῶν φορτίων.

Μία **συνεχή κίνηση** τῶν ἡλεκτρικῶν φορτίων μποροῦμε νά ἐπιτύχομε, ἀν συνδέσουμε τίς δυό σφαῖρες τοῦ σχήματος 2.1β μέ μιά ἡλεκτρική πηγή Ε συνεχοῦς ρεύματος (σχ. 2.1γ).

**Ἡλεκτρική πηγή συνεχοῦς ρεύματος εἶναι μιά συσκευή η μηχανή, η ὁποία εἶναι σέ θέση νά διατηρεῖ δύο ἀγωγούς, πού ὀνομάζονται «πόλοι» τῆς πηγῆς, συνεχῶς φορτισμένους μέ ἀντίθετα ἡλεκτρικά φορτία. Ο θετικά φορτισμένος ἀγω-**



Σχ. 2.1γ.

γός δονομάζεται **θετικός πόλος** και συμβολίζεται μέ<sup>+</sup>, ένω ό αρνητικά φορτισμένος άγωγός δονομάζεται **άρνητικός πόλος** και συμβολίζεται μέ<sup>-</sup>.

Αν οι δύο πόλοι της πηγής έχουν ίσα ηλεκτρικά φορτία μέ τις σφαίρες και συνδεθούν μέ αύτες, δπως φαίνεται στό σχήμα 2.1γ, παρατηροῦμε, δτι άν και ύφισταται ή άγωγιμη σύνδεση  $I$  οι δύο σφαίρες διατηροῦν τά ηλεκτρικά τους φορτία. Γιά νά συμβαίνει αυτό, θά πρέπει ή ηλεκτρική πηγή Ε νά προμηθεύει συνέχεια ηλεκτρικά φορτία, ώστε νά άναπληρώνει άντά πού άνταλλουν οι δύο σφαίρες, σύμφωνα μέ σα παραπάνω περιγράψαμε. Άρα ηλεκτρικά φορτία **κινούνται** συνεχῶς στούς άγωγούς.

Ποιά άκριβως φορτία κινούνται στίς δύο περιπτώσεις και σέ ποιά κατεύθυνση θά γνωρίσουμε στήν έπομενη παράγραφο.

## 2.2 Τό ηλεκτρικό ρεῦμα.

Γιά νά κατανοήσουμε τό μηχανισμό της ηλεκτρικής ροής στίς διατάξεις πού περιγράψαμε προηγουμένως, άνατρέχομε στά δσα άναφέραμε στήν παράγραφο 1.1 γιά τή συγκρότηση της υλης.

Ένα μεταλλικό σῶμα, π.χ. ένα σύρμα, άποτελεῖται άπό ένα μεγάλο πλῆθος **άτομων**. Τά απόμα τῶν μετάλλων περιλαμβάνουν στήν **ξεωτερική ηλεκτρονική** στοιβάδα τους ένα μικρό σχετικά άριθμό **ηλεκτρονίων**. Τά ηλεκτρόνια αντά είναι χαλαρά συνδεδεμένα μέ τούς πυρήνες τῶν άτομων τοῦ μετάλλου, και πολύ εύκολα, άκομα και μέ μόνη τήν έπιδραση τῶν γειτονικῶν τους άτομων, άποσυνδέονται άπό τά απόμα τους. Δημιουργεῖται έτσι μέσα στή μάζα τοῦ μετάλλου ένα πλήθος ηλεκτρονίων (δονομάζεται και **νέφος ηλεκτρονίων**), πού δέν άνήκουν σέ συγκεκριμένα απόμα, άλλα περιπλανῶνται άκατάστατα στά ένδιάμεσα κενά τῶν άτομων του. Αντά τά ηλεκτρόνια τά δονομάζομε **έλευθερα ηλεκτρόνια ή ηλεκτρόνια άγωγμοτήτας**.

Άς ύποθέσουμε τώρα δτι τά άκρα τοῦ σύρματος συνδέονται στούς πόλους μᾶς ηλεκτρικής πηγής. Τότε τό νέφος τῶν ηλεκτρονίων άπωθεῖται άπό τόν άρνητικό πόλο της πηγής και έλκεται άπό τό θετικό.

**Μία τέτοια όμαδική και προσανατολισμένη κίνηση των ηλεκτρικῶν φορτίων μέσα σε ἕνα σώμα, λέγεται ηλεκτρικό ρεῦμα.**

Άρα, στή διάταξη τοῦ σχήματος 2.1γ, τὸ ηλεκτρικό ρεῦμα σχηματίζεται ἀπό ηλεκτρόνια πού ρέουν ἀπό τὸν ἀρνητικό πόλο τῆς πηγῆς πρός τὸ θετικό πόλο. Καὶ ἐπειδὴ ὁ ἀρνητικός πόλος συνεχῶς τροφοδοτεῖ μὲν ηλεκτρόνια τοὺς ἀγωγούς θά πρέπει ἡ πηγὴ νά μεταφέρει στὸ ἔσωτερικό τῆς ἵσο ἀριθμό ηλεκτρονίων ἀπό τὸ θετικό πόλο στὸν ἀρνητικό. Ἐτσι, τὸ ηλεκτρικό ρεῦμα ρέει συνεχῶς σὲ μιὰ κλειστή διαδρομή.

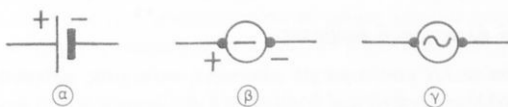
Ἀνάλογα, γίνεται φανερό, δτι στὸν ἀγωγό 1 τοῦ σχήματος 2.1β κινήθηκαν ηλεκτρόνια ἀπό τὴ σφαίρα μέ τὸ ἀρνητικό φορτίο πρός τὴ σφαίρα μέ τὸ θετικό, ὥσπου νά ἔξουδετερωθεῖ τὸ ἔλλειμμα τῆς σφαίρας αὐτῆς.

**Μία κλειστή διαδρομή ἀπό ἀγωγούς καὶ ηλεκτρικὴ πηγὴ, δπως στὸ σχῆμα 2.1γ, μέσα στήν ὅποια μπορεῖ νά ρέει ρεῦμα συνεχῶς, δνομάζεται «κύκλωμα».** Τὸ τμῆμα τοῦ κυκλώματος ἔξι ἀπό τὴν πηγὴ δνομάζεται ἔσωτερικό κύκλωμα, ἐνῷ τὸ τμῆμα μέσα στὴν πηγὴ ἔσωτερικό κύκλωμα. Τὸ ἔσωτερικό κύκλωμα περιλαμβάνει συνήθως, ἐκτὸς ἀπό τοὺς ἀγωγούς καὶ διάφορα ἔξαρτηματα, δπως διακόπτες, γιά τὴ διακοπὴ τοῦ ρεύματος, ηλεκτρικές συσκευές (καταναλώσεις), στὶς ὁποῖς χρησιμοποιεῖται τὸ ρεῦμα γιά τὴν ἐκτέλεση ὄρισμένης ἐργασίας, ὅργανα μετρήσεως, γιά τὴ μέτρηση τοῦ ρεύματος, κλπ.

Ὀταν σὲ ἕνα κύκλωμα ρέει ρεῦμα, λέμε δτι τὸ κύκλωμα εἶναι κλειστό, ἐνῷ ὅταν σὲ ἕνα σημεῖο τοῦ διακόπτεται τὸ κύκλωμα καὶ δέν ρέει ρεῦμα, λέμε δτι τὸ κύκλωμα εἶναι ἀνοικτό.

Μία πηγὴ συνεχοῦς ρεύματος, δπως αὐτὴ πού συνδέσαμε στὸ κύκλωμα τοῦ σχήματος 2.1γ, δημιουργεῖ ρεῦμα πού κινεῖται πάντοτε στὴν *iδια κατεύθυνση*, ἀπό τὸν ἀρνητικό πρός τὸ θετικό πόλο καὶ, ἐπὶ πλέον, τὰ ηλεκτρόνια του ἔχουν σταθερή ταχύτητα ροῆς. Τὸ ρεῦμα αὐτὸ δνομάζεται συνεχές ρεῦμα.

Ἡ πηγὴ συνεχοῦς ρεύματος παριστάνεται μέ τὸ σύμβολο τοῦ σχήματος 2.2(α), πού χρησιμοποιήσαμε ἡδη στὸ κύκλωμα τοῦ σχήματος 2.1γ ἡ μέ τὸ σύμβολο τοῦ σχήματος 2.2(β). Καὶ στὰ δύο σύμβολα εἶναι σημειωμένος ὁ θετικός καὶ ἀρνητικός πόλος τῆς πηγῆς.



Σχ. 2.2.

Ἐκτός δμως ἀπό τὶς πηγές συνεχοῦς ρεύματος, ὑπάρχουν καὶ πηγές μεταβαλλομένου ρεύματος. Ἐνα μεταβαλλόμενο ρεῦμα εἴτε δέν ρέει πάντοτε στὴν *iδια κατεύθυνση*, εἴτε ἡ ταχύτητα ροῆς τῶν ηλεκτρονίων του δέν παραμένει σταθερή, εἴτε συμβαίνουν καὶ τά δύο μαζί.

Μία σπουδαία μορφὴ μεταβαλλομένου ρεύματος εἶναι τὸ ἐναλλασσόμενο

**ρεῦμα**, πού θά γνωρίσουμε άργότερα, στό όποιο μεταβάλλεται περιοδικά ή φορά τοῦ ρεύματος στό κύκλωμα καί συνεχῶς ή ταχύτητα ροής τῶν ήλεκτρονίων του. Οἱ πηγές ἐναλλασσόμενου ρεύματος ἔχουν ἐπίσης δύο πόλους οἱ όποιοι ὅμως γίνονται ἐναλλακτικά θετικοί καὶ ἀρνητικοί ὥστε τά ήλεκτρόνια κινοῦνται μία φορά πρός τὸν ἔνα πόλο, κατόπιν πρός τὸν ἄλλο κ.ο.κ. Ἡ πηγὴ ἐναλλασσόμενου ρεύματος παριστάνεται μὲ τὸ σύμβολο τοῦ σχήματος 2.1γ, χωρὶς νά σημειώνεται θετικός καὶ ἀρνητικός πόλος.

Τό ηλεκτρικό ρεῦμα ἦταν γνωστό ἀπό παλαιά, διαν δέν γνώριζαν ἀκόμα διτί ύπῆρχαν τά ήλεκτρόνια, πρωτόνια, νετρόνια καὶ τά ἄλλα σωματίδια τοῦ ἀτόμου καὶ φαντάζονταν τὸν ήλεκτρισμό σάν ἔνα μυστηριώδες ρευστό, πού πλεονάζε στὰ θετικά ήλεκτρισμένα σώματα καὶ εἶχε ἔλλειμμα στὰ ἀρνητικά.

Μέ αὐτῇ τῇ θεωρίᾳ, ἦταν λογικό νά ύποτεθεῖ διτί τό ηλεκτρικό ρεῦμα σχηματίζεται ἀπό τῇ φυγὴ τοῦ ρευστοῦ αὐτοῦ ἀπό τό θετικά ήλεκτρισμένο σῶμα πρός τό ἀρνητικά ήλεκτρισμένο, γιά νά συμπληρώσει τό ἔλλειμμα πού ύπάρχει ἐκεῖ. Ὁρισθηκε λοιπόν ἀπό τότε διτί **φορά (κατεύθυνση) τοῦ ηλεκτρικοῦ ρεύματος**, σέ ἔνα όποιοδήποτε **ἔσωτερικό κύκλωμα**, εἶναι ή **κατεύθυνση ἀπό τό θετικό πόλο τῆς πηγῆς πρός τὸν ἀρνητικό**, ἐνῶ στό **ἔσωτερικό τῆς πηγῆς, η κατεύθυνση εἶναι ἀπό τὸν ἀρνητικό πόλο πρός τό θετικό**.

Μέ βάση αὐτῇ τήν ύποθετική φορά τοῦ ηλεκτρικοῦ ρεύματος, ἔχουν διαμορφωθεὶ πλήθος κανόνες καὶ ὄρισμοί, πού δέν εἶναι εὐκολό νά τούς ἀλλάξομε. Γι' αὐτό, στή συνέχεια τοῦ βιβλίου αὐτοῦ δεχόμαστε **συμβατικά** διτί ή φορά τοῦ ηλεκτρικοῦ ρεύματος σέ ἔνα κύκλωμα συνεχοῦς ρεύματος, εἶναι ἀπό τό θετικό πόλο (+) πρός τὸν ἀρνητικό (-) ἔξω ἀπό τήν πηγή καὶ ἀπό τὸν ἀρνητικό (-) στό θετικό (+) μέσα στήν πηγή. Πρέπει δώμας νά θυμόμαστε, διτί αὐτό δέν εἶναι σωστό καὶ διτί, στήν πραγματικότητα, τό ηλεκτρικό ρεῦμα σχηματίζεται σέ μεταλλικούς ἀγωγούς πάντα ἀπό ηλεκτρόνια, πού κινοῦνται ἀντίθετα καὶ μόνο σέ ὄρισμένες περιπτώσεις σχηματίζεται ἀπό θετικά ίόντα, πού κινοῦνται σύμφωνα μέ τή συμβατική αὐτή διεύθυνση.

### 2.3 Ἡ ἔνταση τοῦ ηλεκτρικοῦ ρεύματος – Πυκνότητα τοῦ ηλεκτρικοῦ ρεύματος.

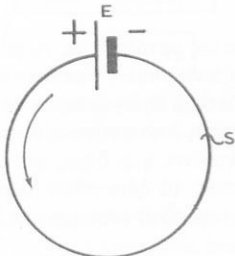
Παίρνομε ἔνα ἀπλό κύκλωμα μέ μία πηγή συνεχοῦς ρεύματος E καὶ ἔνα συρμάτινο μεταλλικό ἀγωγό καὶ θεωροῦμε μιά διατομή S τοῦ ἀγωγοῦ (κάθετη τομή στόν ἀξονά του (σχ. 2.3.).

Ἐστω Q τό ηλεκτρικό φορτίο, πού περνᾶ ἀπό τή διατομή S σέ χρονικό διάστημα t δευτερολέπτων. Τό φορτίο αὐτό εἶναι σταθερό σέ όποιοδήποτε διάστημα t δευτερολέπτων, ἐφ' ὅσον στό κύκλωμα ρέει συνεχές ρεῦμα. Τό ηλεκτρικό φορτίο, πού περνᾶ ἀπό τή διατομή S σέ ἔνα δευτερόλεπτο (1 s), δηλαδή Q/t, εἶναι ἐπίσης σταθερό καὶ ὀνομάζεται **ἔνταση τοῦ ρεύματος** η ἀπλά **ρεῦμα** καὶ παριστάνεται μέ τό γράμμα I.

$$\boxed{I = \frac{Q}{t} \quad \frac{C}{s}} \quad (1)$$

Άρα ή ένταση τοῦ συνεχοῦς ρεύματος εἶναι σταθερή.

Από τὸν όρισμό, πού δώσαμε, γίνεται φανερό διτή ή ένταση τοῦ ρεύματος εἶναι άναλογη μὲ τὴν ταχύτητα ροῆς τῶν ἡλεκτρονίων. Όσο μεγαλύτερη εἶναι ή ταχύτητα αὐτῆ, τόσο περισσότερα ἡλεκτρόνια περνοῦν ἀπό τὴ διατομή τοῦ ἀγωγοῦ στῇ μονάδα τοῦ χρόνου, δηλαδή τόσο μεγαλύτερη εἶναι ή ένταση τοῦ ρεύματος.



Σχ. 2.3

Η ταχύτητα ροῆς τῶν ἡλεκτρονίων (ή τοῦ ρεύματος) εἶναι πάντοτε μικρή, δηλαδή μερικά χιλιοστά ή ἑκατοστά τοῦ μέτρου ἀνά δευτερόλεπτο. Μόλις δυμώς κλείσει τὸ κύκλωμα ἀρχίζει σχεδόν ἀμέσως ή προσανατολισμένη κίνηση τῶν ἡλεκτρονίων σέ ὅλοκληρο τὸ κύκλωμα. Η μεταβολή αὐτῆ τῆς καταστάσεως τοῦ κυκλώματος πραγματοποιεῖται μὲ πάρα πολὺ μεγάλη ταχύτητα, ή ὅποια ἔξαρτᾶται ἀπό τὸ μέσο, μέσα στὸ ὅποιο ρέει τὸ ρεῦμα καὶ ἔχει διο τὴν ταχύτητα διαδόσεως τοῦ φωτός στὸ κενό (300.000 km/s). Αὐτή εἶναι ή **ταχύτητα μεταδόσεως τοῦ ρεύματος** καὶ δέν πρέπει νά συγχέεται μὲ τὴν ταχύτητα ροῆς τοῦ ρεύματος.

Όταν ή ταχύτητα ροῆς τῶν ἡλεκτρονίων, πού καθορίζει τὴν ένταση τοῦ ρεύματος, δέν εἶναι χρονικά σταθερή, τότε τὸ ρεῦμα λέγεται **μεταβαλλόμενο**, διπος ἀναφέραμε ἡδη στὴν παράγραφο 2.2. Στὴν περίπτωση αὐτῆ δέν μποροῦμε νά χρησιμοποιήσουμε τὸν τύπο (1), πού ισχύει μόνο γιά σταθερή ταχύτητα ροῆς, δηλαδή γιά συνεχές ρεῦμα. Μποροῦμε δμως νά προσδιορίσουμε τὴ στιγμαία ένταση τοῦ ρεύματος σέ κάποια χρονική στιγμή t.

Η **στιγμαία ένταση i** τοῦ ρεύματος κατά τὴ χρονική στιγμή t ὄριζεται ἀπό τὸ φορτίο dQ, τὸ ὅποιο περνᾶ ἀπό τὴ διατομή S τοῦ ἀγωγοῦ σέ πολύ μικρό διάστημα dt πού ἀρχίζει τὴ στιγμή t:

$$\boxed{i = \frac{dQ}{dt}} \quad (2)$$

**β) Πυκνότητα του ήλεκτρικού ρεύματος.**

Τό πηλίκο της έντάσεως του ρεύματος πρός τη διατομή S του άγωγού όνομάζεται **πυκνότητα του ρεύματος** και δίνει την ένταση του ρεύματος άνά μονάδα έπιφανειας της διατομής. Η πυκνότητα του ρεύματος συμβολίζεται με τό μικρό λατινικό γράμμα j:

$$j = \frac{I}{S} \quad \frac{A}{mm^2} \quad (5)$$

Η πυκνότητα του ρεύματος μετριέται σέ A/mm<sup>2</sup>. Στό συνεχές ρεύμα ή ένταση I είναι σταθερή. Έπομένως και ή πυκνότητα j είναι σταθερή σέ δλες τις διατομές του άγωγού, έφ' όσον δ' άγωγός έχει την ίδια διατομή S σέ δλα του τά σημεῖα. Άν ή S μεταβάλλεται, ή πυκνότητα θά μικραίνει δσο μεγαλώνει ή S θά μεγαλώνει, δσο μικραίνει ή S δπως φαίνεται άπό τόν τύπο (5).

"Όπως θά μάθομε άργότερα, τό ήλεκτρικό ρεύμα, πού διαρρέει ένα άγωγό, δημιουργεί θερμότητα, ή όποια είναι τόσο μεγαλύτερη, δσο μεγαλύτερη είναι ή πυκνότητα του ρεύματος.

Στήν ήλεκτροτεχνία, μᾶς ένδιαφέρει ή **μέγιστη πυκνότητα ρεύματος** j<sub>m</sub>, ή όποια άντιστοιχεί στό μέγιστο έπιτρεπόμενο ρεύμα I<sub>m</sub>, πού μπορεί νά ρέει συνεχός, χωρίς ή θερμοκρασία του άγωγού νά ύπερβαίνει τό έπιτρεπτό δριο. Άν ή θερμοκρασία ύπερβει τά δριο αυτό, τότε προξενούνται βλάβες στή μόνωση του άγωγού, σέ στοιχεία του κυκλώματος κλπ.

## 2.4 Μονάδες της έντάσεως του ρεύματος και δργανα μετρήσεώς της.

**a) Μονάδες της έντάσεως του ρεύματος.**

Η μονάδα έντάσεως του ρεύματος είναι, δπως άναφέραμε στήν παράγραφο 1.2, τό **Αμπέρ**, (σύμβολο: A), τό όποιο και όριζεται πειραματικά. Τόν δρισμό του άμπερ θά δώσουμε άργότερα στήν παράγραφο 11.3, δταν θά έχομε άποκτήσει τις άπαιτούμενες γ' αυτό γνώσεις.

Στής τεχνικές έφαρμογές του ήλεκτρισμού χρησιμοποιούνται πιό συχνά τά παρακάτω πολλαπλάσια και ύποπολλαπλάσια του Αμπέρ.

1) Τό **κιλοαμπέρ** (σύμβολο: kA), πού είναι ίσο μέ τό ένα χιλιοστό του A:

$$1 \text{ kA} = 1000 \text{ A}$$

2) Τό **μιλλιαμπέρ** (σύμβολο: mA), πού είναι ίσο μέ τό ένα χιλιοστό του A:

$$1 \text{ A} = \frac{1}{1000} \text{ A} = 10^{-3} \text{ A}$$

3) Τό **μικροαμπέρ** (σύμβολο:  $\mu\text{A}$ ), που είναι το μέ το ένα έκατομμυριοστό τοῦ A:

$$1 \mu\text{A} = \frac{1}{1.000.000} \text{ A} = 10^{-6} \text{ A}$$

Από τὸν τύπο (1) προκύπτει σάν παράγωγη μονάδα τὸ κουλόμπ:

$$Q = I \cdot t \quad (3)$$

καὶ

$$1 \text{ C} = 1\text{A} \cdot 1\text{s} \quad (4)$$

Ένα κουλόμπ είναι τὸ φορτίο, που περνᾶ σέ χρόνο ένός δευτερολέπτου, ἀπό τὴν διατομή ένός ἀγωγοῦ ὁ όποιος διαρρέται ἀπό ρεῦμα ένός ἀμπέρ.

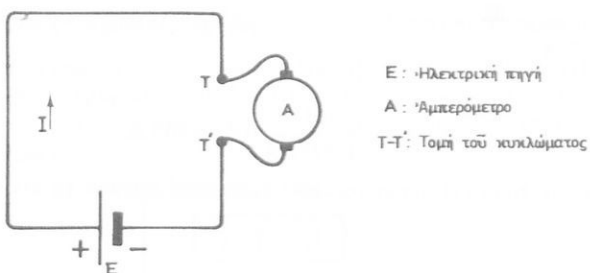
**β) "Οργανα μετρήσεως τῆς ἐντάσεως.**

Τὰ ὄργανα, μέ τὰ όποια μετροῦμε τὴν ἐνταση τοῦ ἡλεκτρικοῦ ρεύματος, ὀνομάζονται **ἀμπερόμετρα**. Τὸ σχῆμα 2.4a δείχνει ἕνα κοινό τύπο ἀμπερομέτρου συνεχοῦς ρεύματος. Τὰ ἀμπερόμετρα συνεχοῦς ρεύματος ἔχουν δύο ἀκροδέκτες, ἀπό τοὺς όποιους, δπως συνηθίζεται, ὁ ἔνας σημειώνεται μέ τὸ σημεῖο (+) καὶ ὁ ἄλλος μέ τὸ (-). Ἐπίσης, ἔχουν μία κλίμακα βαθμολογημένη σέ A η mA κλπ. μπροστά ἀπό τὴν όποια κινεῖται μιά βελόνη.



Σχ. 2.4a.

Γιά νά μετρήσομε τὴν ἐνταση τοῦ ρεύματος, που περνᾶ ἀπό ένα ἀγωγό, πρέπει νά διακόψουμε κάπου τὸ κύκλωμα καὶ νά παρεμβάλομε τὸ ἀμπερόμετρο μέ τέτοιο τρόπο, ὅστε τὸ ρεῦμα τοῦ ἀγωγοῦ νά περνᾶ μέσα ἀπό τὸ ἀμπερόμετρο (σχ. 2.4β). Τό ἀμπερόμετρο συνδέεται δηλαδή σέ σειρά μέ τὸ κύκλωμα.



Σχ. 2.4β.

Τόν άκροδέκτη (+) τοῦ άμπερομέτρου συνδέομε μέ τό άκρο τοῦ κυκλώματος πού φθάνει στό θετικό πόλο τῆς πηγῆς, ἐνῶ τόν (-) μέ τό άκρο πού φθάνει στόν άρνητικό. Ἀν συνδέσομε ἀντίθετα τούς άκροδέκτες, ή βελόνη τοῦ δόργανου προσπαθεῖ νά κινηθεῖ σέ ἀντίθετη κατεύθυνση στήν κλίμακα πέρα ἀπό τήν ἔνδειξη μηδέν, πράγμα πού μᾶς δείχνει δτι πρέπει νά ἀντιστρέψουμε τούς άκροδέκτες.

Τό άμπερόμετρο μπορεῖ νά παρεμβληθεῖ σέ δποιοδήποτε σημείο τοῦ ἀγωγοῦ, γιατί σέ δλα τά σημεῖα του τό ρεῦμα ἔχει τήν ίδια ἔνταση, ἐφ' ὅσον δέν ύπάρχει διακλάδωση τοῦ ρεύματος.

### Άριθμητικά παραδείγματα.

- 1) Νά εύρεθει τό ηλεκτρικό φορτίο  $Q$  πού περνᾶ ἀπό τή διατομή  $S$  ἐνός ἀγωγοῦ σέ μιάμιση ὥρα ( $1,5\text{ h}$ ), δταν τό ηλεκτρικό ρεῦμα ἔχει ἔνταση  $I = 0,5\text{ A}$ .

**Αύση.**

$$t = 1,5\text{ h} = 5400\text{ s}$$

$$Q = It = 0,5\text{ A} \cdot 5400\text{ s} = 2700\text{ As}$$

$$\underline{Q = 2700\text{ C}}$$

- 2) Μέσα ἀπό ἓνα ηλεκτρικό λαμπτήρα περνοῦν  $1200\text{ C}$  σέ κάθε ὥρα λειτουργίας του. Ποιά είναι ἡ ἔνταση τοῦ ρεύματος  $I$ , πού διαρρέει τό λαμπτήρα;

**Αύση.**

$$t = 1\text{ h} = 3600\text{ s}$$

$$I = \frac{Q}{t} = \frac{1200}{3600} = 0,33\text{ A}$$

Τή ἔνταση τοῦ ρεύματος είναι:

$$\underline{I = 0,33\text{ A}}$$

## ΚΕΦΑΛΑΙΟ ΤΡΙΤΟ

### ΤΑΣΗ – ΗΛΕΚΤΡΕΓΕΡΤΙΚΗ ΔΥΝΑΜΗ – ΠΗΓΕΣ

#### 3.1 Ήλεκτρική τάση ή διαφορά δυναμικοῦ.

Όπως περιγράψαμε στήν παράγραφο 1.1 μεταξύ δύο σωμάτων, τοῦ ἐνός ηλεκτρισμένου θετικά καὶ τοῦ ἄλλου ἀρνητικά, ἔξασκοῦνται ἐλκτικές δυνάμεις. Λέμε διτὶ μεταξὺ τῶν σωμάτων αὐτῶν ύπάρχει **ήλεκτρική τάση** (ἢ ἀπλά τάση) καὶ μέ αὐτὸν ἔννοοῦμε διτὶ τὰ θετικά ηλεκτρικά φορτία τοῦ ἐνός **τείνουν**, δηλαδὴ προσπαθοῦν νά μετακινηθοῦν, πρός τὸ ἄλλο, πού εἶναι ἀρνητικά ηλεκτρισμένο, δῶς ἐπίσης καὶ τὸ ἀντίθετο (σχ. 3.1α). Βέβαια, δῶς γνωρίσαμε στήν παράγραφο 2.2, μόνο **ήλεκτρόνια**, δηλαδὴ ἀρνητικά φορτία μποροῦν νά μετακινηθοῦν τίς περισσότερες φορές πρός τὰ θετικά φορτία, γι' αὐτὸν στή συνέχεια μιλοῦμε μόνο γιά μετακίνηση ηλεκτρονίων.

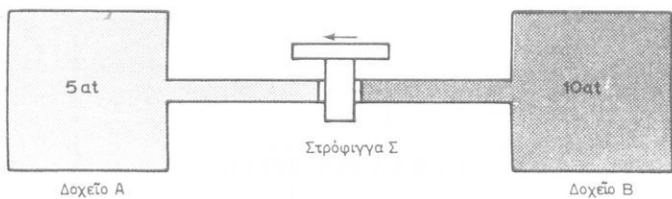


Σχ. 3.1α.

Όσο μεγαλύτερο εἶναι τὸ **περίσσευμα** τῶν ηλεκτρονίων πού ἔχει τό πρώτο σῶμα, καθώς καὶ δοσο μεγαλύτερο εἶναι τό **ἔλλειμμα**, πού ύπάρχει στό δεύτερο σῶμα, τόσο μεγαλύτερες εἶναι οἱ ἐλκτικές δυνάμεις, πού ἔξασκοῦν ἀμοιβαῖα τό ἓνα ἐπάνω στό ἄλλο, δηλαδὴ τόσο μεγαλύτερη εἶναι ἡ ηλεκτρική **τάση**, πού ύπάρχει μεταξύ τους. Φυσικά, ἀν μεταξὺ τῶν ηλεκτρισμένων σωμάτων περεμβάλλονται μονωτικά σώματα, δέν θά μποροῦν νά μετακινηθοῦν εύκολα ηλεκτρόνια ἀπό τό ἓνα σῶμα στό ἄλλο, παρ' δοσ πού μεταξύ τους ύπάρχει τάση. Ἀντίθετα, ἀν ἔνωσομε τά δύο σώματα μέντοι σύρμα, ηλεκτρόνια κινοῦνται ἀπό τό ἀρνητικά ηλεκτρισμένο σῶμα πρός τό θετικά ηλεκτρισμένο.

Γιά νά καταλάβομε καλύτερα τί σημαίνει ηλεκτρική τάση, μποροῦμε νά πάρομε γιά παράδειγμα ἑνα ἀνάλογο σχεδόν μηχανικό φαινόμενο. Σὲ ἓνα δοχεῖο Α βρίσκεται ἀέρας μέ πίεση π.χ. 5 ἀτμοσφαιρῶν καὶ σὲ ἓνα ἄλλο Β, ἀέρας μέ πίεση 10 ἀτμοσφαιρῶν (σχ. 3.1β).

Τά δύο αὐτά δοχεῖα συγκοινωνοῦν μέ ἓνα σωλήνα, πού τὸν κλείνομε διμος ἔρμητικά μέ μία στρόφιγγα Σ.



Σχ. 3.1β.

Έπειδή υπάρχει διαφορά στις πιέσεις, τά μόρια του δέρα τῶν 10 άτμοσφαιρῶν έχουν τὴν τάση νά μετακινθοῦν πρός τὸ δοχεῖο τῶν 5 άτμοσφαιρῶν, ἐμποδίζοντα δομως σὲ αὐτὸ ἀπό τὴ στρόφιγγα. Ἐτσι, καὶ τὸ μονωτικό σῶμα μεταξύ δύο ἡλεκτρισμένων σωμάτων ἐμποδίζει τὴ μετακίνηση ἡλεκτρονίων ἀπό τὸ ἔνα σῶμα στὸ ἄλλο. Ἡ διαφορά πιέσεως μεταξύ τῶν δύο δοχείων εἶναι ἀνάλογη μὲ τὴν τάση δύο σωμάτων ἑτερώνυμα φορτισμένων.

**Ἡ τάση δημιουργεῖ τὴ ροή ἡλεκτρονίων σέ ἕνα κύκλωμα, δηλαδὴ τὸ ἡλεκτρικό ρεῦμα.** Ἀρα, ἡ τάση εἶναι ἡ «αἴτια» καὶ τὸ ρεῦμα τὸ «ἀποτέλεσμα». Ρεῦμα χωρίς τάση, δέν μπορεῖ νά ύπάρχει. Ἀντίθετα, μπορεῖ νά ύπάρχει τάση χωρίς ρεῦμα, δταν τὸ κύκλωμα εἶναι ἀνοικτό, όπότε ἐμποδίζεται τὸ ρεῦμα νά κυκλοφορήσει, λόγῳ τοῦ παρεμβαλλομένου μονωτικοῦ (ἀέρας κλπ.).

**Ἡ τάση μετρέται πάντοτε μεταξύ «δύο» σημείων, π.χ. στὸ κύκλωμα τοῦ σχῆματος 3.1γ μεταξύ τῶν σημείων Α καὶ Β, δπως θά γνωρίσουμε ἀναλυτικά πιό κάτω. Ἐτσι, δέν μποροῦμε ποτὲ νά ποῦμε δτι ἔνα σημεῖο μόνο του, π.χ. τὸ Α ή τὸ Β, ἔχει ὄρισμένη τάση.**

Τὴν τάση μεταξύ δύο σημείων παριστάνομε μὲ μία εύθεια γραμμὴ μεταξύ τῶν σημείων (σχ. 3.1γ). Σέ κάθε τάση δίνομε ὄρισμένη φορά, πού τὴ σημειώνομε μὲ ἔνα βέλος ἐπάνω στὴν εὐθεία γραμμὴ καὶ τὴ δηλώνομε μὲ τὴ διαδοχή τῶν γραμμάτων ἡ τῶν ἀριθμῶν τῶν σημείων. Π.χ. ἡ τάση AB ἔχει φορά ἀπό τὸ Α στὸ Β, ἡ τάση  $A_34$  ἔχει φορά ἀπό τὸ 3 στὸ 4.

Ἡ τάση θεωρεῖται θετική, δταν ἔχει φορά ἵδια μὲ τὴ φορά τοῦ ρεύματος ποὺ δημιουργεῖ καὶ ἀρνητική, δταν ἔχει φορά ἀντίθετη μὲ τὴ φορά τοῦ ρεύματος. Στὸ σχῆμα 3.1γ π.χ. ἡ τάση AB εἶναι θετική, γιατί τὸ ρεῦμα ἔχει φορά ἀπό τὸ σημεῖο A στὸ σημεῖο B, ἐνῶ ἡ τάση BA εἶναι ἀρνητική. Ἀρα:

$$\text{Τάση } AB = -\text{Tάση } BA$$

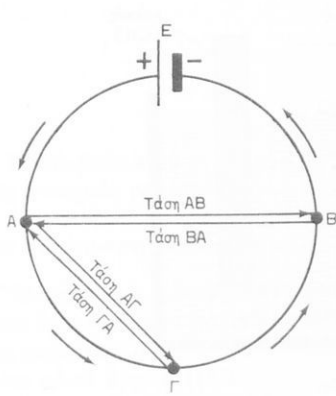
Όμοια ἔχομε:

$$\text{Τάση } AG = -\text{Tάση } GA$$

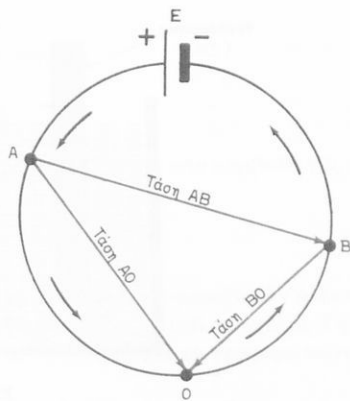
Ἡ τάση μεταξύ δύο σημείων ἐνός κυκλώματος π.χ. μεταξύ τῶν σημείων A καὶ B τοῦ σχῆματος 3.1γ δύνομάζεται καὶ **διαφορά δυναμικοῦ** τῶν σημείων αὐτῶν.

Ό ορος «διαφορά δυναμικού» προέρχεται από τό δι, τι γιά κάθε σημείο τοῦ κυκλώματος, μποροῦμε νά όρισμε ένα μέγεθος, πού όνομάζεται δυναμικό τοῦ σημείου αυτοῦ και από τό δι τη διαφορά τῶν δυναμικῶν δύο σημείων εἶναι ίση μέ την τάση μεταξύ τῶν σημείων αυτῶν.

Γιά τόν άκριβή όρισμό τοῦ δυναμικοῦ στή θέση αυτή δέν έπαρκοῦν οι γνώσεις πού ἔχουν δοθεῖ μέχρι τώρα. Γι' αυτό, εἶναι άρκετό νά πονμε, δι τό δυναμικό ένός σημείου ύπολογίζεται πάντα ώς πρός ένα άλλο σημείο, πού λαμβάνεται αύθαίρετα σάν σημείο άναφορᾶς, π.χ. ώς πρός τό σημείο Ο στό σχῆμα 3.1δ και δι τη εἶναι ίσο μέ την τάση πού μετριέται μεταξύ τοῦ θεωρουμένου σημείου και τοῦ σημείου άναφορᾶς. Τό δυναμικό τοῦ σημείου Α εἶναι π.χ. ίσο μέ την τάση ΑΟ και τοῦ σημείου Β ίσο μέ την τάση ΒΟ. Τό δυναμικό τοῦ σημείου άναφορᾶς λαμβάνεται ίσο μέ μηδέν.



Σχ. 3.1γ.



Σχ. 3.1δ.

Όπως θά άποδείξουμε άργότερα, στήν παράγραφο 5.2β, η διαφορά τῶν δυναμικῶν δύο σημείων μᾶς δίνει τήν τάση μεταξύ τῶν σημείων αυτῶν. Π.χ.

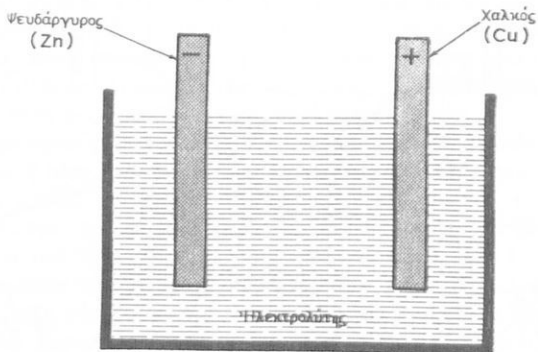
$$\begin{aligned} \text{Tάση } AB &= \text{Δυναμικό σημείου } A - \text{Δυναμικό σημείου } B \\ &= \text{Tάση } AO - \text{Tάση } BO \end{aligned} \quad (1)$$

Άν άλλάξουμε τό σημείο άναφορᾶς, άλλάζουν βέβαια τά δυναμικά δλων τῶν σημείων, παραμένουν δμως άμετάβλητες οι διαφορές δυναμικοῦ, δηλαδή οι τάσεις μεταξύ τῶν σημείων. Συχνά σάν σημείο άναφορᾶς λαμβάνεται ή γη.

Άπο τή σχέση (1) προκύπτει δι τη δι τάση AB εἶναι θετική, δταν τό δυναμικό τοῦ σημείου A εἶναι μεγαλύτερο από τό δυναμικό τοῦ σημείου B. Άρα, μία τάση εἶναι θετική, δταν έχει φορά από ύψηλότερο δυναμικό πρός χαμηλότερο.

### 3.2 Ήλεκτρικά στοιχεῖα.

Στήν ήλεκτροτεχνική σήμερα, γιά νά δημιουργήσουμε διαφορές δυναμικού ἀνάμεσα σε δύο σώματα, δηλαδή γιά νά τά ήλεκτρίσουμε, χρησιμοποιούμε ειδικές συσκευές και μηχανές πού δύναμάζονται **ήλεκτρικές πηγές** ή καλύτερα πηγές **ήλεκτρικού ρεύματος**. Υπάρχουν πολλών είδών πηγές. Τό πό απλό είδος είναι τά **ήλεκτρικά στοιχεῖα**, πού λέγονται και **ήλεκτροχημικά στοιχεῖα**. Ένα απλό ηλεκτρικό στοιχείο, πού μπορούμε εύκολα νά κατασκευάσουμε, αποτελείται από δύο μεταλλικά έλάσματα, από διαφορετικό μέταλλο το καθένα, π.χ. τό ένα από **χαλκό** και τό δεύτερο από **ψευδάργυρο** (τσίγκο). Τά έλάσματα αυτά, πού δύναμάζονται **ήλεκτρόδια** τού στοιχείου, τά τοποθετοῦμε μέσα σε ένα γυάλινο δοχείο, δπου ρίχνουμε **ήλεκτρολύτη**, δηλαδή νερό μέσα στό δποιο έχει διαλυθεί κάποιο δξύ ή άλατι π.χ. άμμωνιακό άλατι, ή θεικό δξύ (σχ. 3.2a).



Σχ. 3.2a.

Τά έξωτερικά άκρα τών ηλεκτροδίων δύναμάζονται **πόλι** τού στοιχείου. Κατά τήν κατασκευή κάθε ήλεκτρικού στοιχείου πρέπει νά προσέχουμε ώστε:

- Τά ηλεκτρόδια νά μήν έρχονται σε έπαφή μεταξύ τους.
- Ό ηλεκτρολύτης νά περιβρέχει και τά δύο ηλεκτρόδια.
- Οί πόλοι νά βρίσκονται έξω από τόν ηλεκτρολύτη.

Μπορούμε τότε νά διαπιστώσουμε (μέ δργανα μετρήσεως τής τάσεως, πού θα περιγράψουμε πιό κάτω) δτι μεταξύ τών δύο πόλων έχει δημιουργηθεί μια **διαφορά δυναμικού**, δηλαδή μιά **τάση** και δτι ό χαλκός έχει ηλεκτρισθεί θεικά, ένω ό ψευδάργυρος άρνητικά.

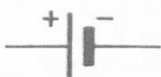
Τά διαφορά δυναμικού μεταξύ τών ηλεκτροδίων άναπτύσσεται ώς **έξης**:

Άμεσως μέ τήν παρασκευή τού ηλεκτρολύτη, δηλαδή μέ τή διάλυση τού δξός ή τού άλατού στό νερό, δημιουργούνται θεικά και άρνητικά ίόντα από τό δξύ ή τό άλατι. Τό θεικό δξύ ( $H_2SO_4$ ) π.χ. διασπάται σε θεικά ίόντα  $H^+$  πού δύναμάζονται **κατιόντα** και σε άρνητικά ίόντα  $SO_4^{2-}$  πού δύναμάζονται **άνιόντα**.

Όταν στόν ήλεκτρολύτη αυτό βυθίσουμε ένα ήλεκτρόδιο άπό χαλκό και ένα ήλεκτρόδιο άπό ψευδάργυρο συγκεντρώνονται τά κατιόντα στο ήλεκτρόδιο τού χαλκού, πού φορτίζεται θετικά και τά άνιόντα στο ήλεκτρόδιο τού ψευδαργύρου, πού φορτίζεται άρνητικά. Αποτέλεσμα είναι νά έμφανισθεί όρισμένη τάση τόσο μεταξύ τού θετικού ήλεκτροδίου και τοῦ ήλεκτρολύτη, δού και μεταξύ τού άρνητικού και τοῦ ήλεκτρολύτη. Η τάση αυτή όνομάζεται **ήλεκτρολυτικό δύναμικο**. Συνολικά μεταξύ τών δύο ήλεκτροδίων έμφανιζεται διαφορά δυναμικού πού όνομάζεται **ήλεκτρεγερτική δύναμη** τοῦ στοιχείου.

Στά ήλεκτροτεχνικά σχέδια παριστάνομε τά ήλεκτρικά στοιχεῖα συμβολικά μέ δύο μικρές γραμμές ή μία άπό τίς δύοις είναι παράλληλη πρός τήν άλλη, άλλα μεγαλύτερή της και κάπως λεπτότερη, δπως φαίνεται στό σχήμα 3.2β.

Η μικρή γραμμή παριστάνει τόν άρνητικό πόλο τοῦ στοιχείου και ή μεγαλύτερη τό θετικό του πόλο.



Σχ. 3.2β.

Τό σύμβολο αυτό γνωρίσαμε στήν παράγραφο 2.2 και σάν σύμβολο τής πηγής συνεχούς ρεύματος.

### 3.3 Ήλεκτρεγερτική δύναμη.

Όπως είδαμε, ή διαφορά δυναμικού πού άναπτύσσεται μεταξύ τών ήλεκτροδίων ένός στοιχείου όνομάζεται ήλεκτρεγερτική δύναμη τοῦ στοιχείου. Τήν ήλεκτρεγερτική δύναμη συμβολίζομε μέ τό γράμμα Ε και τή γράφομε συντημένα μέ τά άρχικά ΗΕΔ.

Γενικά, **«ήλεκτρεγερτική δύναμη»** μιᾶς πηγῆς είναι ή τάση (διαφορά δυναμικού), πού μετριέται μεταξύ τών πόλων τής πηγῆς, χωρίς νά κλείσει κύκλωμα μεταξύ τους, δηλαδή χωρίς νά περάσει ρεύμα άπό τό θετικό πόλο τής πηγῆς στόν άρνητικό μέσω ένός έξωτερικού κυκλώματος.

Η τάση αυτή όνομάζεται τάση γιά λειτουργία τής πηγῆς σέ κενό ή άπλα **τάση σέ κενό**.

Στόν δρο **«ήλεκτρεγερτική δύναμη»** χρησιμοποιούμε τή λέξη «δύναμη», έπειδή γιά τή μεταφορά τών θετικών και άρνητικών φορτίων στούς άντίστοιχους πόλους, π.χ. γιά τή μεταφορά τών κατιόντων και άνιόντων στό θετικό και άρνητικό ήλεκτρόδιο ένός στοιχείου, χρειάζεται νά έξασκήσει ή πηγή όρισμένη δύναμη έπάνω στά φορτία. Όμως η ήλεκτρεγερτική δύναμη, δπως τήν όρισαμε, δέν είναι δύναμη άλλα τάση, πού μετριέται σέ βόλτ και άχι σέ νιούτον.

Η ΗΕΔ είναι ένα σταθερό μέγεθος, πού χαρακτηρίζει τήν ήλεκτρική πηγή και σέ αυτή διφεύλεται τό ρεύμα πού δίνει ή πηγή σέ ένα έξωτερικό κύκλωμα.

Έκτος άπό τούς τρόπους, πού άναφέραμε μέχρι τώρα (ήλεκτριση μέ τριβή,

ήλεκτρικά στοιχεῖα), ύπαρχουν και ἄλλοι πόλλοι τρόποι, μέ τούς ὅποιους μποροῦμε νά ἀναπτύξουμε ήλεκτρεγερτικές δυνάμεις, δηλαδή νά δημιουργήσουμε ἔλλειμμα ήλεκτρονίων σέ ἓνα σῶμα και ἀντίστοιχα περίσσευμα σέ ἓνα ἄλλο.

Ἄπο αὐτούς, τή μεγαλύτερη σπουδαιότητα γά τήν ήλεκτροτεχνία, ἔχει ή ἀνάπτυξη ηλεκτρεγερτικῆς δυνάμεως μέ εἰδικές μηχανές, πού λέγονται **γεννήτριες ήλεκτρικού ρεύματος**.

Μικρότερο ἐνδιαφέρον, σάν πηγές ήλεκτρικού ρεύματος παρουσιάζουν τά λεγόμενα θερμοηλεκτρικά στοιχεῖα, τά φωτοηλεκτρικά στοιχεῖα κλπ.

### 3.4 Μονάδες τής ήλεκτρικῆς τάσεως και δργανα μετρήσεώς της.

Τήν ήλεκτρική τάση μετροῦμε σέ μονάδες, πού λέγονται βόλτ, ἀπό τό δονομα τοῦ Ιταλοῦ Φυσικοῦ Volta (1745 - 1827). Τόν όρισμό τοῦ βόλτ θά δώσουμε ἀργότερα, στό ἕκτο κεφάλαιο. Γιά σύμβολο τής μονάδας αὐτής χρησιμοποιεῖται τό λατινικό κεφαλαίο γράμμα V.

Στίς τεχνικές ἑφαρμογές τοῦ ήλεκτρισμοῦ, χρησιμοποιοῦνται πιό συχνά τά παρακάτω πολλαπλάσια ή ύποπολλαπλάσια τοῦ βόλτ.

a) Τό **κιλοβόλτ** (σύμβολο kV), πού εἶναι ἵσο μέ 1000 V:

$$1 \text{ kV} = 1000 \text{ V}$$

β) Τό **μεγαβόλτ** (σύμβολο MV), πού εἶναι ἵσο μέ 1.000.000 V:

$$1 \text{ MV} = 1000 \text{ kV} = 1.000.000 \text{ V} = 10^6 \text{ V}$$

γ) Τό **μιλλιβόλτ** (σύμβολο mV), πού εἶναι ἵσο μέ ἓνα χιλιοστό τοῦ βόλτ:

$$1 \text{ mV} = \frac{1}{1000} \text{ V} = 10^{-3} \text{ V}$$

δ) Τό **μικροβόλτ** (σύμβολο μV) πού εἶναι ἵσο μέ τό ἓνα ἑκατομμυριοστό τοῦ βόλτ:

$$1 \text{ μV} = \frac{1}{1.000.000} \text{ V} = 10^{-6} \text{ V}$$

Όπως ηδη ἀναφέραμε, ή τάση μετριέται πάντα ἀνάμεσα σέ δύο σημεῖα. Τό νά λέμε «τάση ἐνός σημείου» εἶναι λάθος, γιατί δέν ἔχει νόημα.

Τά δργανα μετρήσεως τής ήλεκτρικῆς τάσεως (διαφορᾶς δυναμικοῦ) ὀνομάζονται **βολτόμετρα**.

Τό πῶς λειτουργοῦν και πῶς κατασκευάζονται τά βολτόμετρα εἶναι ἀντικείμενο ἄλλου μαθήματος. Ἐδῶ δίνονται μόνο όρισμένες πληροφορίες, δσες χρειάζονται πρός τό παρόν.

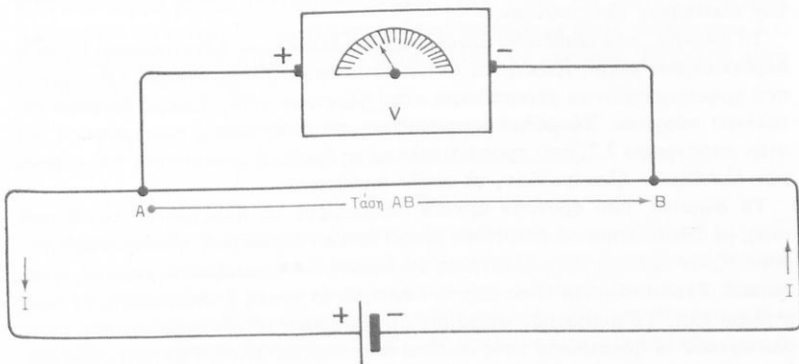
Τά βολτόμετρα ἔχουν ἔξωτερη δψη ἐνός μικροῦ κουτιοῦ, σχήματος κυλιν-

δρικού ή δρθογωνίου παραλληλεπιπέδου. Μπροστά, διακρίνομε μιά βαθμολογία σύμφωνη κλίμακα σέ βόλτη και μιά κινητή βελόνη, πού καλύπτονται από ένα προστατευτικό γυαλί (σχ. 3.4α).

Στό πίσω μέρος τοῦ βολτόμετρου ύπαρχουν δύο άκροδέκτες, πού χρησιμεύουν γιά τή σύνδεση τοῦ δργάνου. Ό ενας σημειώνεται μέ (+) και ο ἄλλος μέ (-). Γιά νά μετρήσομε τήν τάση δύο σημείων A και B ἐνός κυκλώματος, συνδέομε τόν άκροδέκτη (+) μέ τό σημείο πού είναι πλησιέστερα στό θετικό πόλο τῆς πηγῆς και τόν άκροδέκτη (-) στό σημείο πού είναι πλησιέστερα στόν άρνητικό (σχ. 3.4β). Ή βελόνη τότε δείχνει τήν τάση μεταξύ τῶν δύο σημείων.



Σχ. 3.4α.



Σχ. 3.4β.

Αν συνδέσομε ἀντίθετα τούς άκροδέκτες, ή βελόνη τοῦ δργάνου προσπαθεῖ νά κινηθεῖ σέ ἀντίθετη κατεύθυνση στήν κλίμακα, πράγμα πού σημαίνει δτι πρέπει νά ἀντιστρέψομε τούς άκροδέκτες.

Παρατηροῦμε δτι τό βολτόμετρο συνδέεται **παράλληλα** μέ τό τμῆμα τοῦ κυκλώματος, στά ἄκρα τοῦ δργάνου θέλομε νά μετρήσομε τήν τάση.

## ΜΕΡΟΣ ΔΕΥΤΕΡΟ

### ΤΟ ΣΥΝΕΧΕΣ ΡΕΥΜΑ

#### ΚΕΦΑΛΑΙΟ ΤΕΤΑΡΤΟ

##### Ο ΝΟΜΟΣ ΤΟΥ ΟΗΜ – ΗΛΕΚΤΡΙΚΗ ΑΝΤΙΣΤΑΣΗ ΗΛΕΚΤΡΙΚΗ ΑΓΩΓΙΜΟΤΗΤΑ

4.1 Ηλεκτρική άντισταση στούς άγωγούς, μονωτές και ήμαγωγούς.

Τήν ιδιότητα, πού παρουσιάζουν τά διάφορα σώματα νά έμποδίζουν αλλα πολύ και αλλα λίγο, τή δημιουργία ήλεκτρικοῦ ρεύματος σέ αυτά, ονομάζομε γενικά **ήλεκτρική άντισταση**.

Ή άντισταση έξαρταται από τόν άριθμό τῶν έλευθέρων ήλεκτρονίων, πού διαθέτει ένα σῶμα και είναι τόσο μεγαλύτερη, δσο μικρότερος είναι ο άριθμός τῶν έλευθέρων ήλεκτρονίων.

Τά σώματα, πού διαθέτουν μεγάλο άριθμό έλευθέρων ήλεκτρονίων, δηλαδή παρουσιάζουν μικρή ήλεκτρική άντισταση, ονομάζονται **άγωγοί**. Οι άγωγοί, πού χρησιμοποιούνται περισσότερο στήν ήλεκτροτεχνία, είναι τά διάφορα μεταλλικά σύρματα. Τό ρεῦμα σχηματίζεται σέ αυτά (δπως περιγράψαμε και στήν παράγραφο 2.2) από προσανατολισμένη ήμαδική μετακίνηση τοῦ νέφους τῶν έλευθέρων ήλεκτρονίων, τά οποῖα διαθέτουν.

Τά σώματα, πού κρατοῦν άρκετά δεσμευμένα τά ήλεκτρόνια στά ατομά τους, μέ άποτέλεσμα νά διαθέτουν μικρό άριθμό έλευθέρων ήλεκτρονίων, παρουσιάζουν πολύ μεγάλη ήλεκτρική άντισταση και ονομάζονται **μονωτές η μονωτικά**. Τέτοια σώματα είναι π.χ. τό λάστιχο, τό γυαλί, ή πορσελάνη, τό όρυκτέλαιο κλπ. Τά μόρια τῶν σωμάτων αυτῶν έχουν τέτοια συγκρότηση, ώστε όλα σχεδόν τά ήλεκτρόνια τους νά είναι δεσμευμένα. Έτσι, ο μονωτής δέν διαθέτει άξιόλογο άριθμό έλευθέρων ήλεκτρονίων και μένει πρακτικά άδιαπέρατος από τό ρεῦμα.

Άναμεσα στίς δύο άκραιες αυτές κατηγορίες ύπάρχουν και σώματα, πού διαθέτουν ένα περιορισμένο άριθμό έλευθέρων ήλεκτρονίων, δηλαδή παρουσιάζουν σχετικά μεγάλη ήλεκτρική άντισταση. Τά σώματα αυτά τά ονομάζομε **ήμαγωγά** και τέτοια είναι π.χ. ή γῆ, τό ύγρο χαρτί κλπ.

Παρατηροῦμε τέλος, δτι κανένα σῶμα δέν μπορεῖ νά θεωρηθεῖ ώς τέλειος ά-

γωγός, ἐπειδή καὶ στὸ πιὸ ἀγώγιμο μέταλλο, τὰ ἐλεύθερα ἡλεκτρόνια δέν εἶναι ἄπειρα. Ἐτσι, δέν εἶναι ἄπειρο τὸ ρεῦμα ποὺ ρέει στὸν ἀγωγό, δηλαδὴ ἐμφανίζεται κάποια ἀντίσταση. Ἐπίσης κανένα σῶμα δέν μπορεῖ νά θεωρηθεῖ ὡς τέλειος μονωτής, ἀφοῦ τὸ πείραμα δείχνει δὲι καὶ τὸ πιὸ μονωτικό διαθέτει ἐστω καὶ ἔνα πολὺ μικρό ἀριθμό ἐλευθέρων ἡλεκτρονίων, μέ αποτέλεσμα νά ἐμφανίζεται κάποιο ρεῦμα.

Στὸν Πίνακα 4.1.1 δίνονται κατά προσέγγιση, οἱ ἀριθμοὶ τῶν ἐλευθέρων ἡλεκτρονίων ἀνά κυβικό μέτρο σε δρισμένους ἀγωγούς καὶ μονωτές.

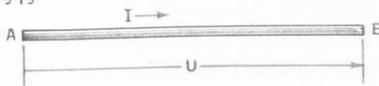
**ΠΙΝΑΚΑΣ 4.1.1.**

Ἀγωγοί	Ἄργυρος $10^{29}$	Χαλκός $0,98 \cdot 10^{29}$	Άλουμίνιο $0,6 \cdot 10^{29}$
Μονωτές	Λάστιχο $0,2 \cdot 10^6$	Παραφίνη $16 \cdot 10^6$	Γυαλί $85.000 \cdot 10^6$

## 4.2 Ὁ Νόμος τοῦ OHM — Μονάδες μετρήσεως τῆς ἀντιστάσεως.

### a) Ὁ νόμος τοῦ OHM.

Ἄν στὰ ἄκρα ἑνός σύρματος A-B ἐφαρμόσομε δρισμένη τάση U, θά ἐμφανισθεῖ στὸ σύρμα ρεῦμα μέ δρισμένη ἑνταση I (σχ. 4.2a). Ἐφ' ὅσον ἡ τάση εἶναι ἡ αἵτια καὶ τὸ ρεῦμα τὸ ἀποτέλεσμα, δπως γνωρίσαμε στὴν παράγραφο 3.1, πρέπει νά ὑπάρχει ποσοτική σχέση μεταξύ τῶν δύο μεγεθῶν. Τὴ σχέση αὐτὴ προσδιορίζομε ὡς ἔξης:



Σχ. 4.2a.

Ἐφαρμόζομε στὰ ἄκρα τοῦ σύρματος δρισμένη τάση, π.χ. 20 V καὶ μετροῦμε μέ ἑνα ἀμπερόμετρο τὴν ἑνταση I τοῦ ρεύματος, ποὺ διαρρέει τὸ σύρμα. Ἐστω δὲι ἡ ἑνταση εἶναι 5 A. Κατόπιν διπλασάζομε, τριπλασάζομε κ.ο.κ. τὴν τάση καὶ μετροῦμε σέ κάθε περίπτωση τὴν ἑνταση τοῦ ρεύματος. Παρατηροῦμε δὲι ἡ ἑνταση γίνεται ἀντίστοιχα διπλάσια, τριπλάσια, κ.ο.κ., δηλαδὴ προκύπτουν οἱ τιμές ποὺ ἀναγράφονται στὸν Πίνακα 4.2.1.

**ΠΙΝΑΚΑΣ 4.2.1.**

Τάση [V]	10	20	30	40	50
Ἐνταση [A]	5	10	15	20	25

Αντίστροφα, αν μειώσουμε τήν τάση στό 1/2, 1/3, 1/4 τῆς άρχικῆς τάσεως παρατηροῦμε ότι ή ένταση μειώνεται έπισης στό 1/2, 1/3, 1/4 κ.ο.κ. τοῦ άρχικοῦ ρεύματος.

Οι παρατηρήσεις αυτές μᾶς οδηγοῦν στό συμπέρασμα ότι ή ένταση τοῦ ρεύματος είναι άναλογη τῆς τάσεως. Άν σχηματίσουμε τό πηλικό τῆς τάσεως διά τῆς άντιστοιχης έντάσεως παρατηροῦμε ότι έχει τήν ίδια σταθερή τιμή σε διεξαγόρευτες περιπτώσεις. Τή σταθερή αυτή τιμή ονομάζουμε **άντισταση** τοῦ σύρματος και παριστάνομε μέ τό κεφαλαίο λατινικό γράμμα R:

$$R = \frac{U}{I} \quad (1)$$

Γενικά άντισταση ένός άγωγοῦ ονομάζουμε τό πηλικό τῆς τάσεως πού έφαρμόζεται στά **άκρα του**, διά τῆς έντάσεως τοῦ ρεύματος πού τόν διαρρέει.

Άπο τή σχέση (1) παίρνομε:

$$I = \frac{U}{R} \quad (2)$$

Ή σχέση (2) έκφραζει τό νόμο τοῦ Ohm σέ ένα **τμῆμα κυκλώματος**, ό όποιος διατυπώνεται ώς έξης:

Ή ένταση ρεύματος, πού διαρρέει ένα άγωγό κυκλώματος, είναι άναλογη τῆς τάσεως πού έφαρμόζεται στά **άκρα του άγωγού** και άντιστροφα άναλογη τῆς άντιστάσεως του.

Ή σχέση (1) γράφεται έπισης:

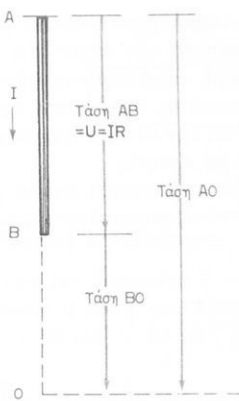
$$U = IR \quad (3)$$

Τό γινόμενο IR δίνει τήν τάση, πού έπικρατεῖ στά **άκρα ένός άντιστάτη R**, διαταύτως διαρρέεται άπο τοῦ ρεύμα I. Τό γινόμενο αυτό ονομάζεται έπισης **πτώση τάσεως**. Ο δρος **πτώση τάσεως** γίνεται κατανοητός μέ τή βοήθεια τῆς έννοιας τοῦ δυναμικοῦ, πού γνωρίσαμε στήν παράγραφο 3.1. Ή άρχη τοῦ σύρματος A έχει όρισμένο δυναμικό, πού είναι ή τάση AO τοῦ σημείου αύτοῦ, ώς πρός ένα σημείο άναφορᾶς O (σχ. 4.2β). Τό τέρμα τοῦ σύρματος B έχει δυναμικό χαμηλότερο άπο τό A (έπειδή ή τάση U είναι θετική), πού είναι ή τάση BO. Ή τάση U μεταξύ τῶν σημείων A,B είναι ή διαφορά τῶν δυναμικῶν τῶν σημείων A και B, δηλαδή ή διαφορά τῶν τάσεων AO – BO.

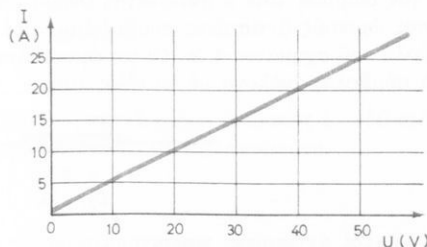
Άπο τό σχήμα 4.2β γίνεται φανερό ότι ή διέλευση τοῦ ρεύματος I άπο τόν άντιστάτη R προκάλεσε μείωση ή **πτώση τῆς τάσεως** AB κατά  $U = IR$ .

Τό νόμο τοῦ Ohm μποροῦμε νά παραστήσουμε γραφικά, τοποθετώντας σέ ένα σύστημα δρθυγωνίων άξόνων τίς άντιστοιχες τιμές τάσεως και έντάσεως, όπως φαίνεται στό σχήμα 4.2γ.

Παρατηροῦμε ότι προκύπτει μία **ενθεία** γραμμή, πού έκφραζει τή γραμμική σχέση μεταξύ τάσεως και έντάσεως.



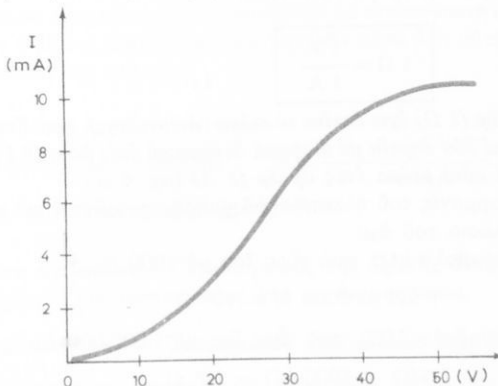
Σχ. 4.2β.



Σχ. 4.2γ.

Το μέγεθος  $R$  έκφραζει ποσοτικά τήν άντισταση, που συναντά τό ρεῦμα, κατά τή διάβασή του άπο τόν άγωγό. "Οσο μεγαλύτερη είναι ή άντισταση τού άγωγού, τόσο μικρότερο είναι τό ρεῦμα που τόν διαρρέει, ἢν ή τάση στά ἄκρα του παραμένει σταθερή.

Στήν ηλεκτροτεχνία κατασκευάζομε εἰδικά στοιχεία άπο σύρμα και άπο άλλα ύλικά, που προβάλλουν άντισταση στή διέλευση τού ρεύματος και ονομάζονται **άντιστάτες**. Τήν άντισταση ένος άντιστάτη έκφραζόμε πάλι μέ τό πηλίκο τής έφαρμοζόμενης τάσεως στά ἄκρα του δύα τῆς έντάσεως τού ρεύματος, που τόν διαρρέει. Όμως, ο νόμος τού Ohm, μεταξύ τάσεως και έντάσεως, δέν ισχύει γιά δλους τούς άντιστάτες, δηλαδή δέν προκύπτει σέ δλους ή εὐθεία γραμμή τού σχήματος 4.2γ, ἀλλά μία καμπύλη, π.χ. ή καμπύλη τού σχήματος 4.2δ. Στήν περίπτωση αυτή, ή άντισταση τού άντιστάτη δέν είναι σταθερή σέ



Σχ. 4.2δ.

όλα τά ζεύγη τιμῶν τάσεως - ἐντάσεως, ἀλλά μεταβάλλεται, ἀνάλογα μέ τήν τάση, πού ἐφαρμόζεται καὶ μέ τό ρεῦμα, πού διαρρέει τὸν ἀντιστάτη.

”Οταν ἡ ἀντισταση ἑνός ἀντιστάτη εἶναι σταθερή καὶ ἀνεξάρτητη ἀπό τὴν ἔνταση τοῦ ρεύματος πού τὸν διαρρέει, δ ἀντιστάτης ὀνομάζεται **ῷμικός**. ”Οταν ἡ ἀντισταση ἑνός ἀντιστάτη μεταβάλλεται μέ τὴν ἔνταση τοῦ ρεύματος πού τὸν διαρρέει τότε δ ἀντιστάτης ὀνομάζεται **μῆ μῷμικός**.

Τούς ὥμικούς ἀντιστάτες συμβολίζομε στά **ἡλεκτροτεχνικά σχέδια** μέ τό σύμβολο τοῦ σχήματος 4.2ε. Οἱ μῆ μῷμικοί ἀντιστάτες παριστάνονται μέ διάφορα σύμβολα, ἀνάλογα μέ τό εἶδος τους.



Σχ. 4.2ε.

Οἱ ὥμικοί ἀντιστάτες χαρακτηρίζονται ως **γραμμικά στοιχεῖα**, λόγω τῆς γραμμικῆς σχέσεως μεταξύ τάσεως καὶ ἐντάσεως, ἐνῶ οἱ μῆ μῷμικοί ως μῆ **γραμμικά στοιχεῖα**.

Στήν **ἡλεκτροτεχνία**, χρησιμοποιοῦνται καὶ ἄλλα στοιχεῖα ἐκτός ἀπό τούς ἀντιστάτες, δῆπος οἱ πυκνωτές, τά πηνία, οἱ τρανζίστορες κλπ. ”Οταν ἡ σχέση μεταξύ τάσεως καὶ ἐντάσεως σέ ἔνα στοιχεῖο εἶναι γραμμική, τό στοιχεῖο ὀνομάζεται **γραμμικό στοιχεῖο**, ἐνῶ, δταν δέν εἶναι γραμμική, **μῆ γραμμικό στοιχεῖο**.

Ἐνα κύκλωμα, πού περιλαμβάνει μόνο γραμμικά στοιχεῖα, ὀνομάζεται **γραμμικό κύκλωμα**, ἐνῶ, δταν περιλαμβάνει καὶ μῆ γραμμικά, **μῆ γραμμικό**.

### β) Μονάδες μετρήσεως τῆς ἀντιστάσεως.

”Από τή σχέση (1) προσδιορίζομε τή μονάδα, μέ τήν ὅποια μετροῦμε τίς ἀντιστάσεις. ”Η μονάδα αὐτή ὀνομάζεται **”Ωμ** πρός τιμή τοῦ Γερμανοῦ φυσικοῦ *G. Ohm* (1787 - 1854), πού διετύπωσε τόν ὀμώνυμο νόμο. Τό σύμβολό της εἶναι τό ἐλληνικό κεφαλαίο γράμμα **Ω**. ”Αρα:

$$1 \Omega = \frac{1 \text{ V}}{1 \text{ A}}$$

”Ἀντισταση ἑνός ὥμ (1 Ω) ἔχει ἐκεῖνο τό σῶμα (ἀντιστάτης), πού, δταν παρεμβάλλεται ἀναμεσα σέ δύο σημεῖα μέ διαφορά δυναμικοῦ ἑνός βόλτ (1 V), ἀφίγνει νά περνᾶ μέσα ἀπό αὐτό ρεῦμα ἑνός ἀμπέρ (1 A) (σχ. 4.2ε).

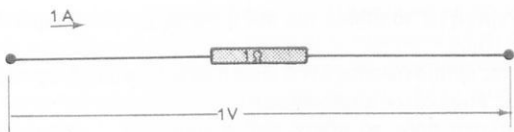
Στίς τεχνικές ἐφαρμογές τοῦ **ἡλεκτρισμοῦ** χρησιμοποιοῦνται πιό συχνά τά παρακάτω πολλαπλάσια τοῦ ὥμ:

a) Τό κιλούμ (σύμβολο  $k\Omega$ ), πού εἶναι ἵσο μέ 1000 ὥμ:

$$1 k\Omega = 1000 \Omega = 10^3 \Omega$$

β) Τό μεγαώμ (σύμβολο  $M\Omega$ ), πού εἶναι ἵσο μέ 1.000.000 ὥμ:

$$1 M\Omega = 1000 k\Omega = 10^6 \Omega$$



Σχ. 4·2 στ.

**Αριθμητικά παραδείγματα.**

- 1) Από ένα άντιστάτη  $R = 2000 \Omega$ , περνά ρεύμα έντασεως  $I = 50 \text{ mA}$ . Νά βρεθεῖ ή τάση, πού έφαρμόζεται στά άκρα του άντιστάτη.  
 $I = 50 \text{ mA} = 50 \cdot 10^{-3} \text{ A} = 0,05 \text{ A}$

**Αύση.**

Από τήν έξισωση (3):  $U = IR = 0,05 \cdot 2000 = 100 \text{ V}$ .  
 Η τάση πού έφαρμόζεται στά άκρα του άντιστάτη  $R$  είναι:

$$\underline{U = 100 \text{ V}}$$

- 2) Μία ήλεκτρική θερμάστρα μέ ώμική άντισταση  $R = 22 \Omega$ , συνδέεται μέ ρευματοδότη 220 V. Νά βρεθεῖ ή ένταση  $I$  του ρεύματος, πού περνά άπο τόν άντιστάτη τής θερμάστρας.

**Αύση.**

Από τήν έξισωση (2) έχομε:  $I = \frac{U}{R} = \frac{220}{22} = 10 \text{ A}$

Ωστε, ή ένταση του ρεύματος τής θερμάστρας είναι:

$$\underline{I = 10 \text{ A}}$$

- 3) Η λάμπα ένδος αύτοκινήτου συνδέεται μέ συσσωρευτή (μπαταρία) τῶν 6 V. Όταν ή λάμπα είναι άναμμένη, περνοῦν μέσα άπο αύτήν 6 A. Νά βρεθεῖ ή άντισταση τής λάμπας.

**Αύση.**

Από τήν έξισωση (1) έχομε:  $R = \frac{U}{I} = \frac{6 \text{ V}}{6 \text{ A}} = 1 \Omega$

Ωστε, ή άντισταση τής λάμπας είναι:

$$\underline{R = 1 \Omega}$$

- 4.3 Είδική άντισταση — Υπολογισμός τής ώμικής άντιστάσεως συρμάτων.  
 Έξαρτηση τής άντιστάσεως άπο τή θερμοκρασία.

- ι) Είδική άντισταση — Υπολογισμός άντιστάσεως συρμάτων.

Σύρμα δονομάζομε ένα άγωγό, οί διαστάσεις τής διατομῆς του όποιου είναι

μικρές, σέ σύγκριση μέ το μῆκος του καί ή διατομή του παραμένει σταθερή σέ δλο τό μῆκος του.

Μέ πειράματα, διαπιστώνεται δτι ή ώμική άντισταση  $R$  ένός σύρματος έξαρται από τούς παρακάτω παράγοντες:

α) Είναι άναλογη πρός τό μῆκος τοῦ σύρματος  $l$ .

β) Είναι άντιστροφα άναλογη πρός τή διατομή τοῦ σύρματος  $S$ .

γ) Έξαρτᾶται από τό ύλικό τοῦ σύρματος.

$$R = \rho \frac{l}{S} \Omega \quad (1)$$

Ο συντελεστής  $\rho$ , δνομάζεται **ειδική άντισταση** και χαρακτηρίζει τό ύλικό τοῦ σύρματος. Όσο πιό μεγάλη είναι ή ειδική άντισταση ένός άγωγού τόσο μεγαλύτερη είναι ή άντιστασή του, έφ' δσον τό μῆκος και ή διατομή παραμένουν σταθερά.

Η ειδική άντισταση  $\rho$  μεταβάλλεται μέ τή θερμοκρασία, αρα μεταβάλλεται και ή άντισταση  $R$  τοῦ σύρματος. Μέ τή μεταβολή αυτή θά άσχοληθούμε στήν έπόμενη παράγραφο.

Από τή σχέση (1) μπορούμε νά ύπολογίσομε τή μονάδα τής ειδικής άντιστασεως, έπιλύοντας ως πρός  $\rho$ :

$$\rho = \frac{R \cdot S}{l} \frac{\Omega \text{ mm}^2}{\text{m}} \quad (2)$$

#### ΠΙΝΑΚΑΣ 4.3.1.

Ύλικό	Ειδική άντισταση $\rho$ σέ 20°C $\Omega \text{ mm}^2/\text{m}$	Ειδική άγωγμότητα κ σέ 20°C $\text{m}/\Omega \text{ mm}^2$	Θερμικός συντελεστής α σέ 20°C $[(^\circ\text{C})^{-1}]$
<b>Ύλικά καλῶν άγωγῶν</b>			
Άργυρος	0,0165	61	$+3,7 \cdot 10^{-3}$
Χαλκός	0,0175	57	$+3,9 \cdot 10^{-3}$
Άλουμινιο	0,029	35	$+4,7 \cdot 10^{-3}$
<b>Ύλικά άντιστατῶν</b>			
Κονσταντάν (55% Cu και 45% Ni)	0,43 ... 0,51	2,33 ... 1,96	$-0,05 \cdot 10^{-3}$
Μαγγανίνη (84% Cu, 12% Mn και 4% Ni)	0,43	2,33	$0,01 \cdot 10^{-3}$
Γραφίτης	40	0,025	$-0,2 \cdot 10^{-3}$

Η ειδική άντισταση μετριέται σε  $\Omega \text{ mm}^2/\text{m}$ . Παρατηρούμε ότι κατ' έξαίρεση ή διατομή  $S$  δέν μετριέται σε  $\text{m}^2$ , δπως θά έπρεπε, σύμφωνα μέ τό σύστημα S.I., άλλα σε  $\text{mm}^2$ , γιατί έχει έπικρατήσει άπό παλιά, νά χρησιμοποιεῖται σε διατομές άγωγών, λόγω τοῦ μικροῦ μεγέθους τους τό  $\text{mm}^2$ . Αύτό δημος δέν μᾶς δημιουργεῖ προβλήματα.

Η άντισταση  $R$  μετριέται κανονικά σε  $\Omega$  και τό μῆκος  $l$  σε  $\text{m}$ . Ο πίνακας 4.3.1 δίνει τήν ειδική άντισταση σε θερμοκρασία  $20^\circ\text{C}$ , ύλικῶν μέ μικρό  $\rho$ , πού είναι καλοί άγωγοι τοῦ ήλεκτρισμοῦ και χρησιμοποιούνται σε κυκλώματα γιά τή διοχέτευση ήλεκτρικοῦ ρεύματος και ύλικῶν μέ μεγαλύτερο  $\rho$ , πού χρησιμοποιούνται γιά τήν κατασκευή άντιστατών. Στόν ίδιο πίνακα δίνονται έπισης οί τιμές τῶν μεγεθῶν «ειδική άγωγιμότητα» και «θερμικός συντελεστής», πού θά γνωρίσουμε στή συνέχεια, λόγω τῆς σχέσεως πού ύπαρχει μεταξύ τῶν τριῶν μεγεθῶν.

Τήν έξισωση (1) μπορούμε νά έπιλύσουμε ώς πρός  $l$  και  $S$ , ετσι πού νά μπορούμε νά υπολογίσουμε τό μῆκος και τή διατομή, δταν ξέρομε τά άλλα μεγέθη.

$$l = \frac{R \cdot S}{\rho} \text{ m} \quad (3)$$

$$S = \frac{\rho \cdot l}{R} \text{ mm}^2 \quad (4)$$

### Αριθμητικά παραδείγματα.

1) Νά βρεθεῖ ή άντισταση ένός χάλκινου άγωγοῦ δταν:

- Μῆκος άγωγοῦ  $l = 5 \text{ km}$  (5 χιλιόμετρα)
- Διάμετρος άγωγοῦ  $d = 5 \text{ mm}$

$$-\text{Ειδική άντισταση τοῦ χαλκοῦ } \rho = 0,018 \frac{\Omega \text{ mm}^2}{\text{m}}$$

### Αύση.

$$\text{Μῆκος } l = 5 \text{ km} = 5000 \text{ m}$$

$$\text{Διατομή } S = \frac{\pi d^2}{4} = \frac{3,14 \cdot 5^2}{4} = 19,625 \text{ mm}^2$$

$$\text{Άντισταση } R = \rho \frac{l}{S} = \frac{0,018 \cdot 5000}{19,625} = 4,58 \Omega$$

Ωστε ή άντισταση τοῦ άγωγοῦ είναι:

$$\underline{R = 4,58 \Omega}$$

2) Από ένα ρολό σύρματος άλουμινίου, διαμέτρου  $d = 2 \text{ mm}$  και ειδικής άντι-

στάσεως  $\rho = 0,0314 \Omega \text{ mm}^2/\text{m}$ , θέλομε νά κόψουμε ένα κομμάτι, πουύ νά έχει άντίσταση  $R = 5 \Omega$ .

Νά βρεθεῖ τό μήκος του κομματιού αύτου.

*Αύση.*

$$\text{Από τήν } \hat{\epsilon}\hat{\epsilon}\hat{\sigma}\text{ωση (3) έχομε: } l = \frac{R \cdot S}{\rho}$$

$$S = \frac{\pi \cdot d^2}{4} = \frac{3,14 \cdot 2^2}{4} = 3,14 \text{ mm}^2$$

$$\rho = 0,0314 \quad \frac{\Omega \text{ mm}^2}{\text{m}}$$

$$R = 5 \Omega$$

$$l = \frac{5 \cdot 3,14}{0,0314} = 500 \text{ m}$$

Ωστε, γιά νά έχουμε άντίσταση  $R = 5 \Omega$ , πρέπει νά κόψουμε ένα κομμάτι μήκους:

$$l = 500 \text{ m}$$

3) Ένας χάλκινος άγωγός ήλεκτρικής γραμμῆς μήκους  $l = 500 \text{ m}$ , πρέπει νά έχει άντίσταση  $R = 0,5 \Omega$ . Νά βρεθεῖ ή διατομή του  $S$ , δταν ή ειδική άντίσταση του χαλκού είναι  $\rho = 0,018 \Omega \text{ mm}^2/\text{m}$ .

*Αύση.*

$$\text{Από τήν } \hat{\epsilon}\hat{\epsilon}\hat{\sigma}\text{ωση (4) έχομε: } S = \frac{\rho \cdot l}{R}$$

$$S = \frac{0,018 \cdot 500}{0,5} = 18 \text{ mm}^2$$

Ωστε, ή διατομή του άγωγού πρέπει νά είναι:  $S = 18 \text{ mm}^2$ .

### *β) Έξαρτηση τής άντιστάσεως από τή θερμοκρασία.*

'Εφ' δοσον ή ειδική άντισταση ένος άγωγού έξαρτάται από τή θερμοκρασία, έξαρτάται και ή άντιστασή του από τή θερμοκρασία, σύμφωνα μέ τόν τύπο (1) τής παραγράφου 4.3. Ή άντισταση π.χ. τού μεταλλικού νήματος μιᾶς λυχνίας φωτισμού, είναι 10 φορές περίπου μεγαλύτερη σέ θερμή παρά σέ ψυχρή κατά-

σταση. Γενικά, ή άντισταση τῶν καθαρῶν μετάλλων αὐξάνεται μὲ τή θερμοκρασία, ἐνῷ ή άντισταση τῶν κραμάτων καὶ τῶν ήμιαγωγῶν συνήθως μειώνεται.

Ἐστω διτή ή άντισταση ἐνός ἀγωγοῦ μεταβάλλεται κατά α Ω ἀνά βαθμό Κελσίου καὶ Ωμ. Ἀν δὲ ἀγωγός ἔχει άντισταση  $R_1$  σέ θερμοκρασία  $\theta_1$  καὶ ή θερμοκρασία του αὐξηθεῖ ή ἐλαττωθεῖ, ὅστε νά φθάσει τή θερμοκρασία  $\theta_2$ , ή άντιστασή του θά μεταβληθεῖ κατά α ( $\theta_2 - \theta_1$ )  $R_1$ . Ἀρα, ή άντιστασή του στή θερμοκρασία  $\theta_2$ , θά είναι:

$$R_2 = R_1 + \alpha (\theta_2 - \theta_1) R_1$$

$$\boxed{R_2 = R_1 [1 + \alpha(\theta_2 - \theta_1)] \Omega} \quad (5)$$

ή

Από τή σχέση αύτή παίρνομε:

$$\boxed{R_1 = \frac{R_2}{1 + \alpha(\theta_2 - \theta_1)} \quad \Omega} \quad (6)$$

καὶ

$$\boxed{\alpha = \frac{R_2 - R_1}{R_1 (\theta_2 - \theta_1)} \quad \frac{1}{^{\circ}\text{C}}} \quad (7)$$

Τό α δονομάζεται **θερμικός συντελεστής** καὶ ἔχει διάσταση  $1/^{\circ}\text{C}$ .

Στόν προηγούμενο συλλογισμό μας θεωρήσαμε σταθερό τό θερμικό συντελεστή α. Στήν πραγματικότητα δμως δ θερμικός συντελεστής είναι διαφορετικός στής διάφορες θερμοκρασίες. Συνήθως, ο θερμικός συντελεστής δίνεται γιά θερμοκρασία  $20^{\circ}\text{C}$ , δόποτε στούς τύπους (5) - (7)  $\theta_1 = 20^{\circ}\text{C}$ . Γιά  $20^{\circ}\text{C}$  δίνονται ἐπίσης οι τιμές τῶν άντιστάσεων τῶν άντιστατῶν.

Από τή σχέση (7), προκύπτει διτί δ θερμικός συντελεστής είναι **θετικός** στά μέταλλα, δπου  $R_2 > R_1$ , καὶ συνήθως ἀρνητικός στά κράματα καὶ στούς ήμιαγωγούς, δπου  $R_2 < R_1$ . Στόν πίνακα 4.3.1 ἀναγράφεται ο θερμικός συντελεστής δρισμένων ύλικῶν.

### Αριθμητικά παραδείγματα.

- 1) Σέ μια λυχνία πυρακτώσεως, ἐφαρμόζομε τάση  $U = 220 \text{ V}$ . Όταν ή λυχνία βρίσκεται στή μόνιμη κατάσταση λειτουργίας (θερμή κατάσταση), μέσα ἀπό τή λυχνία περνᾶ ρεῦμα ἐντάσεως  $I = 220 \text{ mA}$ .

Νά βρεθοῦν:

- α) Η άντισταση τῆς λυχνίας σέ κατάσταση λειτουργίας.
- β) Η άντισταση τῆς λυχνίας σέ θερμοκρασία  $15^{\circ}\text{C}$ , ἄν η θερμοκρασία λειτουργίας είναι  $2215^{\circ}\text{C}$  καὶ ο θερμικός συντελεστής  $\alpha = 0,005 \text{ } 1/^{\circ}\text{C}$ .
- γ) Η ἐνταση  $I$ , δταν ή λυχνία είναι σέ ψυχρή κατάσταση, δηλαδή σέ  $15^{\circ}\text{C}$ .



**Αύση.**

a) Τάση λειτουργίας  $U = 220 \text{ V}$

Ένταση λειτουργίας  $I = 220 \text{ mA} = 0,22 \text{ A}$

$$\text{Αντίσταση λειτουργίας } R_2 = \frac{U}{I} = \frac{220}{0,22} = 1000 \Omega$$

$$\text{Αντίσταση λειτουργίας } R_2 = 1000 \Omega$$

β) Από τήν εξίσωση (6) εχομε:

$$R_1 = \frac{R_2}{1 + a(\theta_2 - \theta_1)}$$

$R_2 = 1000 \Omega$  δηπως ύπολογίσθηκε

$\theta_2 = 2215^\circ\text{C}$

$\theta_1 = 15^\circ\text{C}$

$$a = 0,005 \frac{1}{^\circ\text{C}}$$

$$R_1 = \frac{1000}{1 + 0,005(2215 - 15)} = 83,33 \Omega$$

Η άντισταση της λυχνίας σε θερμοκρασία  $15^\circ\text{C}$  είναι:

$$R_1 = 83,33 \Omega$$

γ) Η τάση  $U = 220 \text{ V}$  παραμένει σταθερή

Η άντισταση σε  $15^\circ\text{C}$  είναι  $R_1 = 83,33 \Omega$

Η ένταση λοιπόν θά είναι:

$$I = \frac{U}{R} = \frac{220}{83,33} = 2,6 \text{ A}$$

Όταν ή λυχνία είναι σε ψυχρή κατάσταση, δηλαδή  $15^\circ\text{C}$ , τότε ή ένταση  $I$  είναι:

$$I = 2,6 \text{ A}$$

Παρατηροῦμε ότι σε ψυχρή κατάσταση, μόλις ή λυχνία συνδεθεί σε τάση  $220 \text{ V}$ , τότε ρεύμα είναι περισσότερο από τό δεκαπλάσιο του ρεύματος, πού τήν διαρρέει όταν φθάσει στή μόνιμη θερμή κατάσταση λειτουργίας και ή άντιστασή της είναι λιγότερη από τό  $1/10$  τής άντιστάσεως, σε θερμή κατάσταση.

- 2) Νά βρεθεί ή άντισταση ένός χάλκινου άγωγού μήκους  $l = 1000 \text{ m}$  και διατομής  $S = 0,75 \text{ mm}^2$ , σέ θερμοκρασίες  $20^\circ\text{C}$  και  $+100^\circ\text{C}$ .  
 Είδυκή άντισταση του χαλκού σέ  $20^\circ\text{C}$ :  $\rho = 0,0175 \Omega \text{ mm}^2/\text{m}$   
 Θερμικός συντελεστής:  $\alpha = 0,0039 \text{ } 1^\circ\text{C}$

**Αύση.**

- a) Άντισταση του άγωγού σέ θερμοκρασία  $20^\circ\text{C}$ :

$$R_1 = \frac{\rho l}{S} = \frac{0,0175 \cdot 1000}{0,75} = 23,3 \Omega$$

$$\underline{R_1 = 23,3 \Omega}$$

- β) Άντισταση του άγωγού σέ θερμοκρασία  $100^\circ\text{C}$ :

$$R_2 = R_1 [1 + \alpha (\theta_2 - \theta_1)]$$

$$R_2 = 23,3 [1 + 0,0039 (100 - 20)] = 30,6 \Omega$$

$$\underline{R_2 = 30,6 \Omega}$$

Παρατηροῦμε ότι ή μεταβολή της άντιστάσεως μεταξύ  $20^\circ\text{C}$  και  $100^\circ\text{C}$  άνερχεται σέ  $31,2\%$ .

- 3) Η άντισταση των χαλκίνων τυλιγμάτων μιᾶς γεννήτριας, μετρήθηκε σέ ψυχρή κατάσταση ( $\theta_1 = 20^\circ\text{C}$ ) και βρέθηκε  $R_1 = 200 \Omega$ . Ύστερα άπό λειτουργία μιᾶς ώρας, όποτε ή θερμοκρασία της σταθεροποιήθηκε, ή άντιστασή της βρέθηκε  $R_2 = 240 \Omega$ . Ο θερμικός συντελεστής του χαλκού είναι  $\alpha \approx 0,004 \text{ } 1^\circ\text{C}$ .

Νά βρεθεί ή θερμοκρασία μόνιμης λειτουργίας της γεννήτριας.

**Αύση.**

Από τήν έπιλυση της έξισώσεως (5) έχουμε:

$$\theta_2 = \frac{R_2}{R_1 \cdot \alpha} - \frac{1}{\alpha} + \theta_1 \text{ } ^\circ\text{C}$$

$$R_2 = 240 \Omega$$

$$R_1 = 200 \Omega$$

$$\alpha = 0,004 \text{ } 1^\circ\text{C}$$

$$\theta_1 = 20^\circ\text{C}$$

$$\theta_2 = \frac{240}{200 \cdot 0,004} - \frac{1}{0,004} + 20 = 300 - 250 + 20 = 70^\circ\text{C}$$

ΤΗ θερμοκρύσια μόνιμης λειτουργίας τής γεννήτριας είναι:  $\theta_2 = 70^\circ\text{C}$

4.4 Η ηλεκτρική άγωγιμότητα και ή ειδική άγωγιμότητα.

a) Ηλεκτρική άγωγιμότητα.

Ηλεκτρική άγωγιμότητα ή άπλα άγωγιμότητα, όνομάζεται τό άντιστροφο τής ηλεκτρικής άντιστάσεως. Η ηλεκτρική άγωγιμότητα συμβολίζεται μέ τό λατινικό κεφαλαίο γράμμα G και μετριέται σε μονάδες σήμενς (Siemens) ή mho (mho ήπο τήν άντιστροφη γραφή τοῦ ohm):

$$G = \frac{1}{R}$$

$$1 \text{ σήμενς (S)} = 1 \text{ mho} = \frac{1}{\Omega}$$

Άφοῦ άγωγιμότητα και άντισταση είναι μεγέθη άντιστροφα, συμπεραίνομε δτι ένας άγωγός μικρῆς άγωγιμότητας παρουσιάζει μεγάλη άντισταση, ένας ένας άγωγός μεγάλης άγωγιμότητας παρουσιάζει μικρή άντισταση.

β) Ειδική άγωγιμότητα.

Ειδική άγωγιμότητα όνομάζεται τό άντιστροφο τής ειδικής άντιστάσεως.

Η ειδική άγωγιμότητα συμβολίζεται μέ τό μικρό γράμμα τοῦ έλληνικοῦ ἀλφαβήτου κ και είναι:

$$\kappa = \frac{1}{\rho} \frac{m}{\Omega \text{ mm}^2}$$

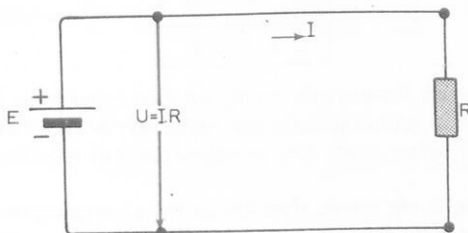
ΤΗ ειδική άγωγιμότητα μετριέται σε m/Ω mm<sup>2</sup>. Ο πίνακας 4.3.1 δίνει τήν ειδική άγωγιμότητα όρισμένων κοινῶν ύλικων.

4.5 Ο νόμος τοῦ Ohm σε πλήρες κύκλωμα.

Στήν παράγραφο 4.2 διατυπώσαμε τό νόμο τοῦ "Ωμ γιά ένα τμῆμα κυκλώματος μέ άντισταση R, στό όποιο έφαρμόζεται τάση U και ρέει ρεῦμα I, χωρίς νά ένδιαφερθοῦμε γιά τό πῶς δημιουργεῖται ή τάση και τό ρεῦμα στό κύκλωμα.

"Οπως ξέρομε, γιά νά περάσει ρεῦμα I άπο ένα άντιστάτη R, πρέπει ό άντιστάτης νά συνδεθεῖ στούς πόλους μιᾶς ηλεκτρικῆς πηγῆς μέ όρισμένη ηλεκτρεγερτική δύναμη E, ώστε νά σχηματισθεῖ ένα κλειστό κύκλωμα, δπως φαίνεται στό σχήμα 4.5a. Ποιά σχέση συνδέει τήν ηλεκτρεγερτική δύναμη E, τό ρεῦμα I και τήν άντισταση R στό κλειστό αύτό κύκλωμα; Τήν άπαντηση δίνει ό νόμος τοῦ "Ωμ σε πλήρες, δηλαδή κλειστό κύκλωμα, πού προκύπτει άπο τό νόμο τοῦ "Ωμ σε τμῆμα κυκλώματος.

Ο άντιστάτης  $R$  μαζί με τούς άγωγούς, πού τόν συνδέουν στούς πόλους τῆς πηγῆς και πού θεωρούμε διτείχουν άμελητέα άντισταση, άποτελεῖ τό **έξωτερικό τμήμα** τοῦ κυκλώματος. Στό έξωτερικό τμῆμα, ξεκινᾶ τό ρεῦμα ἀπό τό θετικό πόλο και φθάνει στόν άρνητικό πόλο τῆς πηγῆς. Από τόν άρνητικό πόλο, συνεχίζει τό ρεῦμα τήν πορεία του πρός τό θετικό μέσα στήν πηγή. Η πηγή άποτελεῖ τό **έσωτερικό τμῆμα** τοῦ κυκλώματος. Κατά τή διέλευσή του ἀπό τό τμῆμα αὐτό, τό ρεῦμα συναντᾷ ἐπίσης δρισμένη άντισταση. Τήν άντισταση αὐτή δύνομαζομε **έσωτερική άντισταση τῆς πηγῆς** και τή συμβολίζομε μέ τό μικρό γράμμα τοῦ λατινικοῦ ἀλφαβήτου  $r$ .



Σχ. 4.5a.

Ο έξωτερικός άντιστάτης  $R$  και ή έσωτερική άντισταση  $r$  διαρρέονται ἀπό τό ίδιο ρεῦμα  $I$ , ἅρα εἶναι συνδεδεμένοι σέ σειρά. Τό ἄθροισμά τους δύνομαζεται ολική άντισταση  $R_{ολ}$  τοῦ κυκλώματος:

$$R_{ολ} = R + r \quad (1)$$

Γιά νά κυκλοφορήσει ἐπομένως ρεῦμα ἐντάσεως  $I$  μέσα στό κύκλωμα, πρέπει ή ηλεκτρεγερτική δύναμη τῆς πηγῆς  $E$  νά έχει τέτοια τιμή, ώστε:

- a) Νά καλύπτει τήν πτώση τάσεως  $U = IR$  στό έξωτερικό κύκλωμα.
- β) Νά καλύπτει τήν πτώση τάσεως  $Ir$ , τήν δποία δημιουργεῖ τό ρεῦμα μέσα στήν πηγή.

Ἐπομένως, ή ηλεκτρεγερτική δύναμη  $E$  τῆς πηγῆς πρέπει νά εἶναι ἵση μέ τό ἄθροισμα τῶν πτώσεων τάσεως:

$$E = IR + Ir = I(R + r) = IR_{ολ} \quad (2)$$

Από τήν δείσιση (2) προκύπτει:

$$I = \frac{E}{R + r} = \frac{E}{R_{ολ}} \quad (3)$$

Τό ρεῦμα  $I$  σέ εἶνα ἀπλό κλειστό κύκλωμα, εἶναι ἵσο μέ τό πηλίκο τῆς ηλεκτρεγερτικῆς δυνάμεως  $E$  τῆς πηγῆς διά τῆς ολικῆς άντιστάσεως  $R_{ολ}$  τοῦ

**κυκλώματος.** <sup>4</sup> Η σχέση (3) έκφράζει τό νόμο του Όμη σέ πλήρες κύκλωμα και έχει τήν ίδια μορφή με τή σχέση (1) τής παραγράφου 4.2, πού δίνει τό νόμο του Όμη σέ τμῆμα κυκλώματος.

Τό γινόμενο  $IR$  στήν εξίσωση (2) είναι ή τάση  $U$ , πού μετριέται στά ακρα τού άντιστάτη  $R$ . Η τάση αυτή είναι ίση με τήν τάση, πού μετριέται στούς πόλους τής πηγῆς, έφ' δσον οι άγωγοι συνδέσεως έχουν άμελητέα άντισταση. Γι' αυτό δομάζεται **πολική τάση**.

'Από τήν (2) προκύπτει:

$$E = U + Ir \quad (4)$$

και

$$U = E - Ir \quad (5)$$

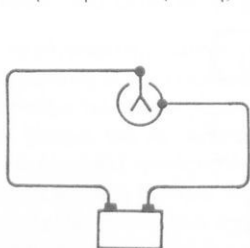
Η ήλεκτρεγερτική δύναμη μιᾶς πηγῆς και ή έσωτερική της άντισταση είναι σταθερά μεγέθη, πού χαρακτηρίζουν τήν πηγή. Αντίθετα, ή πολική τάση  $U$  μεταβάλλεται με τό ρεῦμα, γιατί τότε μεταβάλλεται και ή έσωτερη πτώση τάσεως  $Ir$ .

Η πολική τάση  $U$  τής πηγῆς είναι ίση με τήν ήλεκτρεγερτική δύναμη μόνο δταν τό κύκλωμα είναι άνοικτό, δηλαδή δταν ή ένταση  $I = 0$ . Τότε άπό τήν παραπάνω εξίσωση (5), έχομε:  $Ir = 0$  οπότε:

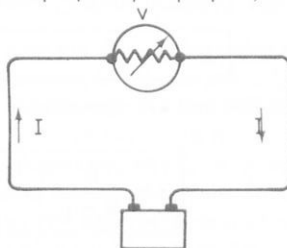
$$U = E \quad (6)$$

'Από τή σχέση (6) γίνεται κατανοητός ό δρισμός τής ήλεκτρεγερτικής δυνάμεως πού είχαμε δώσει στήν παράγραφο 3.3: Ήλεκτρεγερτική δύναμη μιᾶς πηγῆς είναι ή τάση πού μετριέται μεταξύ τῶν πόλων τής πηγῆς, χωρίς νά κλείσει κύκλωμα μεταξύ τους, δηλαδή χωρίς νά περάσει ρεῦμα άπό τό θετικό πόλο στόν άρνητικό.

Τήν ήλεκτρεγερτική δύναμη μποροῦμε νά μετρήσομε μέ ειδικά **ήλεκτροστατικά βολτόμετρα**, άπό τά δποια δέν χρειάζεται νά περάσει ρεῦμα, γιά νά λειτουργήσουν (σχ. 4.5β). Στήν πράξη, μετροῦμε τήν ήλεκτρεγερτική δύναμη μιᾶς πηγῆς κατά προσέγγιση, χρησιμοποιώντας βολτόμετρο μέ **μεγάλη άντισταση**. Στήν περίπτωση αυτή, άπό τό βολτόμετρο περνᾶ ρεῦμα  $I$ , δπως φαίνε-



Σχ. 4.5β.



Σχ. 4.5γ.

ται στό σχήμα 4.5γ. Τό ρεῦμα δμως είναι πολύ μικρό, μέ αποτέλεσμα ή πτώση τάσεως Ir στό έσωτερικό της πηγῆς νά είναι πολύ μικρή και ή πολυκή τάση U, πού μετρά τό βολτόμετρο, νά είναι σχεδόν ίση μέ τήν ΗΕΔ της πηγῆς E.

### Αριθμητικά παραδείγματα.

1) Δίνεται τό κλειστό κύκλωμα τοῦ σχήματος 4.5α δπου:

E = 1,5 V, έσωτερική άντισταση r = 1,5 Ω, κατανάλωση R = 7,5 Ω.  
Νά βρεθοῦν: Ή ενταση I και ή πολυκή τάση U.

### Αύση.

$$\text{Άπο τήν έξισωση (3) έχομε: } I = \frac{E}{R + r} = \frac{1,5}{7,5 + 1,5} = 0,167 \text{ A}$$

$$\underline{I = 0,167 \text{ A}}$$

Άπο τήν έξισωση (4) έχομε:  $U = E - Ir$

$$U = 1,5 - 0,167 \cdot 1,5 = 1,25 \text{ V}$$

$$\underline{U = 1,25 \text{ V}}$$

2) Στό άπλό κλειστό κύκλωμα τοῦ σχήματος 4.5α έχομε ΗΕΔ E = 1,9 V, πολυκή τάση U = 1,7 V και ενταση I = 2 A.  
Νά βρεθοῦν: Ή άντισταση R τοῦ έσωτερικοῦ κυκλώματος και ή έσωτερική άντισταση r της πηγῆς.

### Αύση.

Ή έσωτερική πτώση τάσεως στήν πηγή είναι:  $U' = E - U = 1,9 - 1,7 = 0,2 \text{ V}$ . Άν διαιρέσουμε τήν έσωτερική πτώση τάσεως μέ τό ρεῦμα, βρίσκομε τήν έσωτερική άντισταση της πηγῆς:

$$r = \frac{U'}{I} = \frac{0,2}{2} = 0,1 \Omega$$

$$\underline{r = 0,1 \Omega}$$

Ή άντισταση τοῦ έσωτερικοῦ κυκλώματος βρίσκεται, ἀν διαιρέσουμε τήν πολυκή τάση μέ τό ρεῦμα:

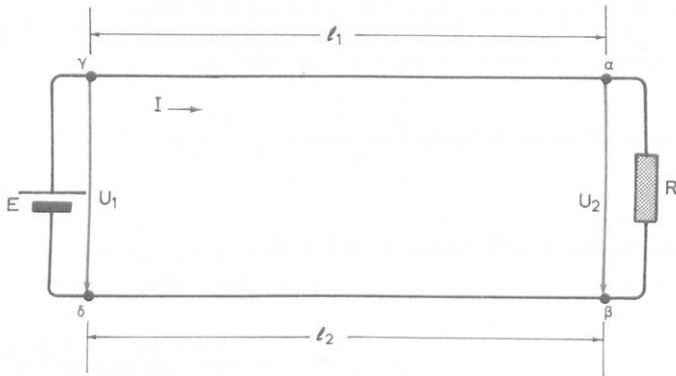
$$R = \frac{U}{I} = \frac{1,7}{2} = 0,85$$

$$\underline{R = 0,85 \Omega}$$

### 4.6 Πτώση τάσεως σέ ήλεκτρικές γραμμές.

Οι έκτεταμένες τεχνικές έφαρμογές τοῦ ήλεκτρισμοῦ βασίζονται στό μεγάλο πλεονέκτημα της εύκολης **μεταφορᾶς** τοῦ ήλεκτρικοῦ ρεύματος. Βασικά, τό

ήλεκτρικό ρεύμα παράγεται άπο κάποια πηγή  $E$ , μεταφέρεται σέ κάποια άπόσταση μέσα ένα άγωγό  $l_1$ , περνά μέσα άπο κάποια κατανάλωση  $R$  και κλείνει τόκυκλωμα μέ ένα άλλο άγωγό  $l_2$  (σχ. 4.6α). Οι άγωγοί  $l_1$  και  $l_2$  σχηματίζουν μία γραμμή μεταφορᾶς του ήλεκτρικού ρεύματος, η καλύτερα της ήλεκτρικής ενέργειας (την οποία θά γνωρίσουμε άργοτερα).



Σχ. 4.6α.

$R_{L_1}$  και  $R_{L_2}$  δονομάζομε τις άντιστάσεις των άγωγών  $l_1$  και  $l_2$ .  $U_2$  δονομάζομε τήν τάση, πού έφαρμόζομε στά ακρα της καταναλώσεως  $R$ .  $U_1$  δονομάζομε τήν τάση της πηγῆς  $E$  και  $I$  τήν ένταση του ρεύματος, πού, στήν περίπτωση της συνδεσμολογίας του σχήματος 4.6α, είναι ίσες σέ δλες τις καταναλώσεις.

Από τό νόμο του Ωμ, έχουμε γιά τήν τάση μεταξύ των σημείων  $\alpha$ - $\beta$ , δηλαδή στά ακρα της καταναλώσεως  $R$ :

$$U_2 = IR$$

και γιά τήν τάση μεταξύ των σημείων  $\gamma$ - $\delta$ , δηλαδή στά ακρα:

$$U_1 = I(R_{L_1} + R + R_{L_2}) \quad (1)$$

Η διαφορά των δύο αυτών τάσεων  $U_1 - U_2$  είναι ή **πτώση τάσεως** στή γραμμή μεταφορᾶς:

$$U_1 - U_2 = I(R_{L_1} + R_{L_2}) \quad (2)$$

Άν δονομάσουμε  $R_{L_1} + R_{L_2} = R_L$  τήν όλική άντισταση της γραμμῆς, τότε ή εξίσωση (2) γράφεται:

$$U_1 - U_2 = IR_L \quad (3)$$

Όπως φαίνεται άπο τή σχέση (3), ή πτώση τάσεως δφείλεται στήν όλική άν-

τίσταση  $R_L$  τῶν ἀγωγῶν  $I_1$  καὶ  $I_2$ . Στήν ἀντίσταση αὐτή καταναλώνεται, δπως θά γνωρίσομε ἀργότερα, δρισμένη **ἐνέργεια** ἀπό αὐτήν πού μεταφέρεται ἀπό τήν πηγή στήν κατανάλωση. Ὅσο μικρότερη εἶναι ἡ ἀντίσταση τῶν ἀγωγῶν  $R_L$ , τόσο λιγότερη εἶναι καὶ ἡ ἐνέργεια πού καταναλώνεται σέ αὐτούς. Ἀρα, τόσο μικρότερη εἶναι ἡ πτώση τάσεως.

### **Αριθμητικό παράδειγμα.**

Ἐνας καταναλωτής ἀντίστασεως  $R_2 = 20 \Omega$ , ἔχει κατασκευασθεῖ νά λειτουργεῖ σέ τάση  $U_2 = 60 \text{ V}$ . Γιά τήν τροφοδότησή του διαθέτομε ρεῦμα τάσεως  $U = 220 \text{ V}$ . Νά βρεθεῖ ὁ τρόπος, πού μπορεῖ νά λειτουργήσει ὁ καταναλωτής  $R_2$  (οἱ ἀντίστασεις τῶν ἀγωγῶν δέν λαμβάνονται ὑπ' δψη).

### **Λύση.**

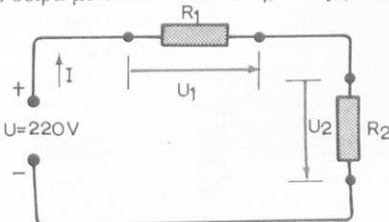
Ἡ ἔνταση τοῦ ρεύματος πού χρειάζεται γιά νά λειτουργήσει ὁ καταναλωτής, προκύπτει ἀπό τήν τάση στά ἄκρα του καὶ τήν ἀντίστασή του:

$$I = \frac{U_2}{R_2} = \frac{60}{20} = 3 \text{ A}$$

Τήν ἔνταση αὐτή πρέπει νά ἔχει τό ρεῦμα, μέ τό δόποιο θά τροφοδοτήσει ἡ πηγή τό κύκλωμα. Παρατηροῦμε δμως δτι ἡ πηγή ἔχει τάση 220 V, ἐνῶ ὁ καταναλωτής λειτουργεῖ μέ τάση 60 V. Ἀρα, μεταξύ πηγῆς καὶ καταναλωτῆς, πρέπει νά δημιουργηθεῖ **πτώση τάσεως**:

$$U_1 = U - U_2 = 220 - 60 = 160 \text{ V}$$

Ἐφ' δσον οἱ ἀγωγοί ἔχουν ἀμελητέα ἀντίσταση καὶ δέν δημιουργοῦν πτώση τάσεως, τήν πτώση τάσεως θά πρέπει νά δημιουργήσει ἔνας ἀντίστατης  $R_1$ , πού θά συνδεθεῖ σέ σειρά μέ τόν καταναλωτή, δπως φαίνεται στό σχῆμα 4.6β.



Σχ. 4.6β.

Ο ἀντίστατης  $R_1$  διαρρέεται ἀπό τό ἴδιο ρεῦμα, μέ τό δόποιο διαρρέεται καὶ ὁ καταναλωτής  $R_2$ . Ἀρα ἡ ἀντίστασή του εἶναι:

$$R_1 = \frac{U_1}{I} = \frac{160}{3} = 53,33 \Omega$$

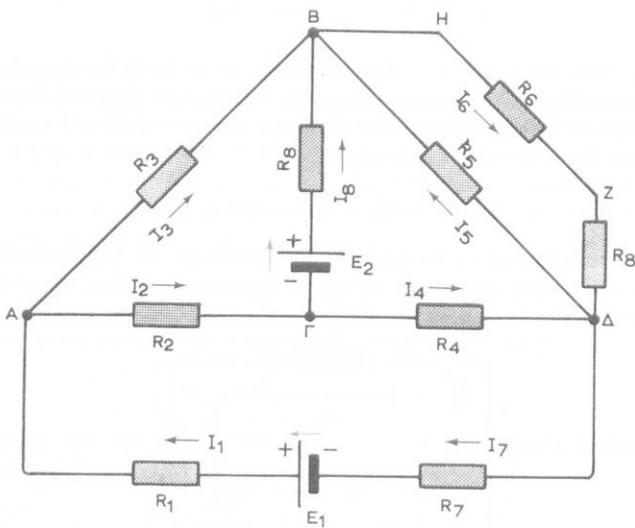
## ΚΕΦΑΛΑΙΟ ΠΕΜΠΤΟ

### ΚΑΝΟΝΕΣ ΚΑΙ ΘΕΩΡΗΜΑΤΑ ΑΝΑΛΥΣΕΩΣ ΚΥΚΛΩΜΑΤΩΝ

#### 5.1 Σύνθετα ήλεκτρικά κυκλώματα.

Μέχρι τώρα έχετασαμε άπλα κυκλώματα μέ μία μόνο πηγή και μία κατανάλωση και είδαμε πώς ύπολογίζεται μέ τό νόμο τοῦ Ohm τό ρεῦμα τοῦ κυκλώματος και ή πτώση τάσεως στά ἄκρα τῆς καταναλώσεως.

Στήν πράξη, τά ήλεκτρικά κυκλώματα περιλαμβάνουν συνήθως περισσότερες άπό μία πηγές και περισσότερες καταναλώσεις, πού συνδέονται μεταξύ τους κατά διάφορους τρόπους, ώστε νά σχηματίζονται κλειστές διαδρομές, δημοσιεύοντας π.χ. φαίνεται στό σχῆμα 5.1.



Σχ. 5.1.

Μία κλειστή διαδρομή, πού σχηματίζεται άπό άγωγούς συνδέσεως, καταναλώσεις και (ή) πηγές, πού συναντάμε μία μόνο φορά, δταν ξεκινήσομε άπό ένα σημεῖο τοῦ κυκλώματος και έπιστρέψομε στό ίδιο σημεῖο, όνομάζεται **βρόχος**. Η διαδρομή π.χ. ΑΒΓΑ στό σχῆμα 5.1 είναι βρόχος, δημοσιεύοντας έπισης και

ή ΑΒΔΕ<sub>1</sub>Α, ή ΒΓΑΕ<sub>1</sub>ΔΒ, κ.ο.κ. Αντίθετα, δέν είναι βρόχος ή διαδρομή ΑΒΓΑΕ<sub>1</sub>ΔΓΑ, γιατί περνάμε δύο φορές άπό τό τμήμα ΓΑ.

Ένα άπλο κύκλωμα άποτελεῖται άπό ένα μόνο βρόχο. Ένα ήλεκτρικό κύκλωμα, που περιλαμβάνει περισσότερους άπό ένα βρόχους, όνομάζεται **σύνθετο κύκλωμα ή δίκτυο ή δικτύωμα**. Σύνθετα κυκλώματα είναι π.χ. τά κυκλώματα μεταφορᾶς και διανομῆς ήλεκτρικῆς ένέργειας, τά ήλεκτρονικά κυκλώματα τῶν τηλεοράσεων κλπ.

Ένα σύνθετο κύκλωμα περιλαμβάνει **κλάδους** και **κόμβους**. Ένας **κλάδος** σχηματίζεται άπό μία ή περισσότερες καταναλώσεις ή (και) πηγές συνδέεμενες σέ σειρά, μεταξύ δύο διαδοχικῶν κόμβων. Ένας **κόμβος** είναι τό σημείο συνδέσεως τῶν άκρων τριῶν ή περισσοτέρων κλάδων. Τό τμῆμα AR<sub>3</sub>B τοῦ κυκλώματος τοῦ σχήματος 5.1 άποτελεῖ π.χ. κλάδο, δπως και τό τμῆμα AR<sub>1</sub>E<sub>1</sub>R<sub>7</sub>Δ. Τά σημεῖα A, B, Γ, Δ άποτελοῦν κόμβους. Αντίθετα, δέν άποτελεῖ κλάδο τό τμῆμα ΒΑΓ γιατί μεσολαβεῖ δύο κόμβους A. Έπίσης τά σημεῖα H και Z δέν άποτελοῦν κόμβους.

**Ο προσδιορισμός τῶν ρευμάτων και τῶν πτώσεων τάσεως στούς κλάδους είναι κυκλώματος, δταν δίνεται τό κύκλωμα και είναι γνωστές οι ΗΕΔ τῶν πηγῶν και οι καταναλώσεις, όνομάζεται «άνάλυση κυκλώματος».** Γιά τήν άνάλυση ένος σύνθετου κυκλώματος, δέν άρκει δύο νόμος τοῦ Ohm, γιατί τό ρεύμα σέ κάθε κλάδο δέν έχαρταται άπό μία μόνο πηγή και μία κατανάλωση, άλλα άπό δλες τίς πηγές και τίς καταναλώσεις τοῦ κυκλώματος. Στήν περίπτωση αυτή χρησιμοποιούμε δύο κανόνες πού έπενόησε δ Γερμανός φυσικός G. Kirchhoff.

## 5.2 Οι Κανόνες τοῦ Kirchhoff

α) **Ο πρῶτος κανόνας τοῦ Kirchhoff** άφορᾶ στά ρεύματα σέ ένα δποιοδήποτε κόμβο τοῦ κυκλώματος. Έπειδή ένας κόμβος δέν είναι πηγή ένέργειας, δτε νά προσθέτει στό δίκτυο ήλεκτρικό ρεύμα, ούτε δμως άπορροφά ήλεκτρικά φορτία, δτε νά άφαιρει ήλεκτρικό ρεύμα άπό τό κύκλωμα, τό συνολικό ρεύμα, πού φθάνει σέ ένα κόμβο, πρέπει νά τόν έγκαταλείπει άμεσως. Αυτό έκφραζει δ πρώτος κανόνας τοῦ Kirchhoff:

**Τό άριθμητικό άθροισμα τῶν ρευμάτων πού φθάνουν σέ ένα κόμβο, είναι ίσο μέ τό άθροισμα τῶν ρευμάτων πού φεύγουν άπό αυτόν.**

Στό σχήμα 5.1 έχομε π.χ. μέ τίς φορές τῶν ρευμάτων, δπως είναι σχεδιασμένες:

$$\text{Γιά τόν κόμβο } A: I_1 = I_2 + I_3 \quad (1)$$

$$\text{Γιά τόν κόμβο } B: I_3 + I_8 + I_5 = I_6 \quad (2)$$

$$\text{Γιά τόν κόμβο } \Delta: I_4 + I_6 = I_5 + I_7 \quad (3)$$

Οι σχέσεις (1) έως (3) γράφονται έπισης:

$$I_1 - I_2 - I_3 = 0 \quad (4) \quad \text{η} \quad I_2 + I_3 - I_1 = 0 \quad (5)$$

$$I_3 + I_8 + I_5 - I_6 = 0 \quad (6) \quad \text{η} \quad I_6 - I_3 - I_8 - I_5 = 0 \quad (7)$$

$$I_4 + I_6 - I_5 - I_7 = 0 \quad (8) \quad \text{η} \quad I_5 + I_7 - I_4 - I_6 = 0 \quad (9)$$

καὶ γενικά:

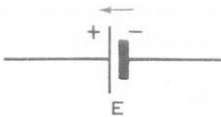
$$\boxed{\sum I = 0} \quad (10)$$

Από τίς σχέσεις (4) έως (9) καὶ τή γενική σχέση (10) έξαγεται τό συμπέρασμα, δτι, ἂν θεωρήσουμε τά ρεύματα πού φθάνουν σε ἕνα κόμβο θετικά καὶ αὐτά πού φεύγουν ἀρνητικά [δπως στίς ἔξισώσεις (4), (6) καὶ (8)] ή ἀντίστροφα τά ρεύματα πού φθάνουν ἀρνητικά καὶ αὐτά πού φεύγουν θετικά [δπως στίς ἔξισώσεις (5), (7) καὶ (9)], μποροῦμε νά διατυπώσουμε ως ἔξης τόν πρῶτο κανόνα τοῦ Kirchhoff:

**Τό ἀλγεβρικό ἄθροισμα τῶν ρευμάτων πού συναντῶνται σε ἕνα κόμβο εἶναι ἵσο μέ τό μηδέν.**

β) **Ο δεύτερος κανόνας τοῦ Kirchhoff** ἀφορᾶ στή σχέση τῶν ηλεκτρεγερτικῶν δυνάμεων καὶ τῶν πτώσεων τάσεως σε ἕνα όποιοδήποτε βρόχο τοῦ κυκλώματος. Γιά νά προσδιορίσουμε τή σχέση αὐτή, ἐργαζόμαστε ως ἔξης:

1) Σέ κάθε πηγή τοῦ βρόχου σημειώνομε μέ ἕνα βέλος τή συμβατική φορά, πού ἔχει τό ρεῦμα, δταν διαρρέει τήν πηγή, δηλαδή τή φορά ἀπό τόν ἀρνητικό πόλο πρός τό θετικό (σχ. 5.2a).



Σχ. 5.2a.

2) Σέ κάθε κλάδο τοῦ βρόχου σημειώνομε μέ ἕνα βέλος **αὐθαίρετα** τή φορά πού ἔχει τό ρεῦμα στόν κλάδο αὐτό. Ό αὐθαίρετος όρισμός τῆς φορᾶς τοῦ ρεύματος εἶναι ἀναγκαῖος, γιατί δέν ξέρομε ἀπό πρίν ποιά εἶναι ή σωστή φορά τοῦ ρεύματος στόν κλάδο. Τή σωστή φορά προσδιορίζομε, δπως θά δούμε πιό κάτω, ἀφοῦ τελειώσουν οἱ ύπολογισμοί σε ὀλόκληρο τό κύκλωμα. Μέχρι δμως νά φθάσουμε στό σημεῖο αὐτό εἶναι ἀπαραίτητο νά ἐργασθοῦμε ἀποκλειστικά μέ τή φορά τοῦ ρεύματος πού ἐκλέξαμε αὐθαίρετα χωρίς νά τήν ἀλλάξομε.

3) Θεωροῦμε δτι ή πτώση τάσεως σε όποιαδήποτε κατανάλωση, ἔχει τήν ίδια φορά μέ τή φορά τοῦ ρεύματος, πού διαρρέει τήν κατανάλωση.

4) Σημειώνομε αὐθαίρετα μία φορά διαδρομῆς τοῦ βρόχου.

5) Θεωροῦμε θετικές τίς ΗΕΔ Ε τῶν πηγῶν καὶ τίς πτώσεις τάσεως IR τῶν καταναλώσεων, πού ἔχουν τήν ίδια φορά μέ τή φορά τοῦ βρόχου καὶ ἀρνητικές τίς ΗΕΔ καὶ τίς πτώσεις τάσεως, πού ἔχουν ἀντίθετη φορά.

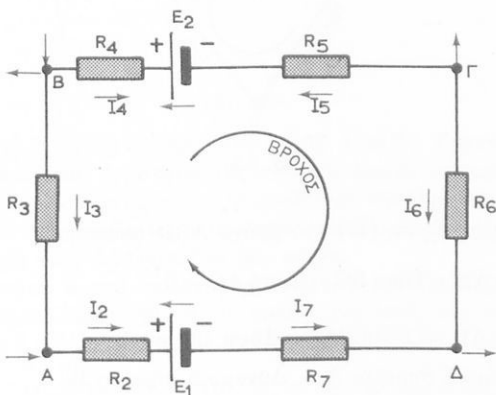
Σύμφωνα μέ τίς παραπάνω παραδοχές ό δεύτερος κανόνας τοῦ Kirchhoff διατυπώνεται ως ἔξης:

Τό άλγεβρικό άθροισμα τῶν ήλεκτρεγερτικῶν δυνάμεων ἐνός βρόχου εἶναι ἵσο μέ τό άλγεβρικό άθροισμα τῶν πτώσεων τάσεως στούς κλάδους τοῦ βρόχου.

$$\sum E = \sum IR \quad (11)$$

Στό βρόχο τοῦ σχήματος 5.2β ἔχομε π.χ.:

$$E_1 - E_2 = -I_2R_2 - I_3R_3 + I_4R_4 - I_5R_5 + I_6R_6 - I_7R_7 \quad (12)$$



Σχ. 5.2β.

Γιά κάθε βρόχο ἐνός κυκλώματος, μποροῦμε νά γράψομε μία ἔξισωση τῆς μορφῆς (11). Ἀν ἑνας βρόχος δέν περιλαμβάνει ἡλεκτρεγερτικές δυνάμεις, τότε τό άθροισμα τῶν πτώσεων τάσεως στίς καταναλώσεις τοῦ βρόχου εἶναι ἵσο μέ μηδέν:

$$\sum IR = \sum U = 0 \quad (13)$$

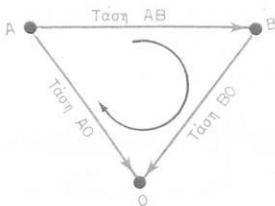
Αντί τῆς ΗΕΔ E, χρησιμοποιοῦμε σέ όρισμένες περιπτώσεις τήν πολική τάση U μιᾶς πηγῆς, τήν όποια σημειώνομε μέ φορά ἀπό τό θετικό πόλο πρός τόν ἀρνητικό (ἀντίθετα δηλαδή ἀπό τή φορά τῆς E) και τή μεταχειρίζόμαστε σάν μία πτώση τάσεως στήν ἐφαρμογή τοῦ δεύτερου κανόνα τοῦ Kirchhoff.

Μέ τό δεύτερο κανόνα τοῦ Kirchhoff ἀποδεικνύεται ἀμέσως δτὶ ή διαφορά τῶν δυναμικῶν δύο σημείων εἶναι ἴση μέ τήν τάση μεταξύ τῶν δύο σημείων.

Όπως γνωρίσαμε στήν παράγραφο 3.1, τό δυναμικό ένός σημείου είναι ίσο μέ τήν τάση μεταξύ του σημείου αυτού και ένός σημείου άνωφορᾶς, π.χ. του σημείου 0 στό σχήμα 5.2γ. Έτσι:

Δυναμικό σημείου A = Τάση AO

Δυναμικό σημείου B = Τάση BO



Σχ. 5.2γ.

Έφαρμόζοντας τή σχέση (13) στό βρόχο ABO παίρνομε:

$$\sum U = \text{Tάση } AB + \text{Tάση } BO - \text{Tάση } AO = 0$$

Άρα, Τάση AB = Τάση AO - Τάση BO =

Δυναμικό σημείου A - Δυναμικό σημείου B.

### 5.3 Έφαρμογές τοῦ νόμου τοῦ Ohm καὶ τῶν κανόνων τοῦ Kirchhoff.

#### a) Συνδεσμολογία ἀντιστατῶν.

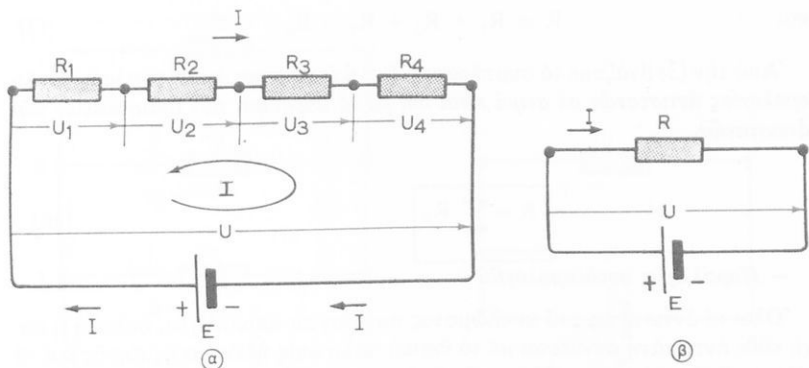
Οἱ ἀντιστάτες ἐνός κυκλώματος μποροῦν νά συνδεθοῦν μεταξύ τους κατά τρεῖς διαφορετικούς τρόπους: σέ σειρά, παράλληλα καὶ μικτά.

#### - Συνδεσμολογία σέ σειρά.

Οἱ οἱ ἀντιστάτες συνδέονται στή σειρά, δηλαδή τό τέλος τοῦ πρώτου ἀντιστάτη συνδέεται μέ τήν ἀρχή τοῦ δεύτερου, τό τέλος τοῦ δεύτερου μέ τήν ἀρχή τοῦ τρίτου κ.ο.κ. Μέ τόν ἔνα πόλο τῆς ἡλεκτρικῆς πηγῆς συνδέεται ἡ ἀρχή τοῦ πρώτου ἀντιστάτη καὶ μέ τόν ἄλλο πόλο τό τέλος τοῦ τελευταίου.

Έτσι, προκύπτει τό κύκλωμα τοῦ σχήματος 5.3α(α). Τό ρεῦμα τῆς πηγῆς I διαρρέει διαδοχικά δύο τούς ἀντιστάτες καὶ ἔχει τήν ίδια ἐνταση σέ δύο τά σημεῖα τοῦ κυκλώματος, ἐφ' ὅσον δέν ύπάρχει πουθενά διακλάδωση ρεύματος.

Τή συνδεσμολογία τῶν ἀντιστατῶν σέ σειρά μποροῦμε νά ἀντικαταστήσομε μέ ἔνα μόνο ἀντιστάτη, ἐφ' ὅσον ἀπό ἀντόν περνᾶ τό ίδιο ρεῦμα I πού περνᾶ ἀπό τούς ἀντιστάτες σέ σειρά, δταν τά ἄκρα του συνδέονται σέ τάση U, δση εἰ-



Σχ. 5.3a.

ναι ή τάση στά άκρα τής συνδεσμολογίας [σχ. 5.3a(β)]. Ό αντιστάτης αύτός δυναμάζεται **ισοδύναμος αντιστάτης** τής συνδεσμολογίας σέ σειρά και τά κυκλώματα (α) και (β) τοῦ σχήματος 5.3a **ισοδύναμα κυκλώματα**.

Γενικά, **δύο συνδεσμολογίες αντιστατῶν δύναμάζονται ισοδύναμες, δηταν ή ίδια τάση στά άκρα τους δημιουργεῖ τό ίδιο ρεῦμα.**

Τήν αντισταση  $R$  τοῦ ισοδύναμου αντιστάτη προσδιορίζομε ως έξης:

Στό κύκλωμα 5.3a(α) ξομε στούς πόλους τής πηγῆς τήν πολική τάση  $U$ , ἐνώ τό ρεῦμα  $I$  δημιουργεῖ στούς αντιστάτες  $R_1$  ὡς  $R_4$  τίς πτώσεις τάσεως:

$$U_1 = IR_1, \quad U_2 = IR_2, \quad U_3 = IR_3 \quad \text{καὶ} \quad U_4 = IR_4$$

Ο δεύτερος κανόνας τοῦ Kirchhoff γιά τό κύκλωμα αύτό, δίνει:

$$\sum U = 0$$

$$\text{η} \quad U - U_1 - U_2 - U_3 - U_4 = 0$$

$$\text{η} \quad U = U_1 + U_2 + U_3 + U_4$$

$$\text{καὶ} \quad U = IR_1 + IR_2 + IR_3 + IR_4 \quad (1)$$

Στό κύκλωμα 5.3a(β) ξομε μέ τό νόμο τοῦ Ohm:

$$U = IR \quad (2)$$

Ἐξισώνοντας τά δεύτερα μέλη τῶν ἔξισώσεων (1) καὶ (2), παίρνομε:

$$IR = IR_1 + IR_2 + IR_3 + IR_4$$

καί

$$R = R_1 + R_2 + R_3 + R_4 \quad (3)$$

Από την (3) βγάζουμε τό συμπέρασμα διτι: **ή ισοδύναμη άντισταση μιᾶς συνδεσμολογίας άντιστατῶν σέ σειρά είναι ίση μέ το ἄθροισμα τῶν άντιστάσεων τῶν άντιστατῶν.**

$$R = \sum_v R_v \quad (4)$$

**— Παράλληλη συνδεσμολογία.**

Όλοι οι άντιστάτες τοῦ κυκλώματος συνδέονται παράλληλα, δηλαδή ή ἀρχή κάθε άντιστάτη συνδέεται μέ τό θετικό πόλο μιᾶς ήλεκτρικῆς πηγῆς και τό τέλος κάθε άντιστάτη συνδέεται μέ τόν άρνητικό πόλο τῆς πηγῆς [σχ. 5.3β(α)].

Στά ἄκρα δλων τῶν άντιστατῶν ἐπικρατεῖ ή ίδια πολιτική τάση U τῆς πηγῆς, ἐνῶ τό ρεῦμα τῆς πηγῆς I διαμοιράζεται στοὺς άντιστάτες R<sub>1</sub>, R<sub>2</sub> και R<sub>3</sub>.

Τό σχήμα 5.3β(β) δίνει τό ισοδύναμο κύκλωμα τῆς παράλληλης συνδεσμολογίας. Ή ισοδύναμη άντισταση R οποιογίζεται ώς έξης:

Από τόν πρῶτο κανόνα τοῦ Kirchhoff στοὺς κόμβους 1 και 2 τοῦ κυκλώματος 5.3α(α) έχομε:

$$I = I_1 + I'_1$$

καί

$$I'_1 = I_2 + I_3$$

$$\text{Άρα: } I = I_1 + I_2 + I_3 \quad (5)$$

Από τό νόμο τοῦ Ohm στοὺς τρεῖς άντιστάτες παίρνομε:

$$I_1 = \frac{U}{R_1}, \quad I_2 = \frac{U}{R_2}, \quad I_3 = \frac{U}{R_3} \quad (6)$$

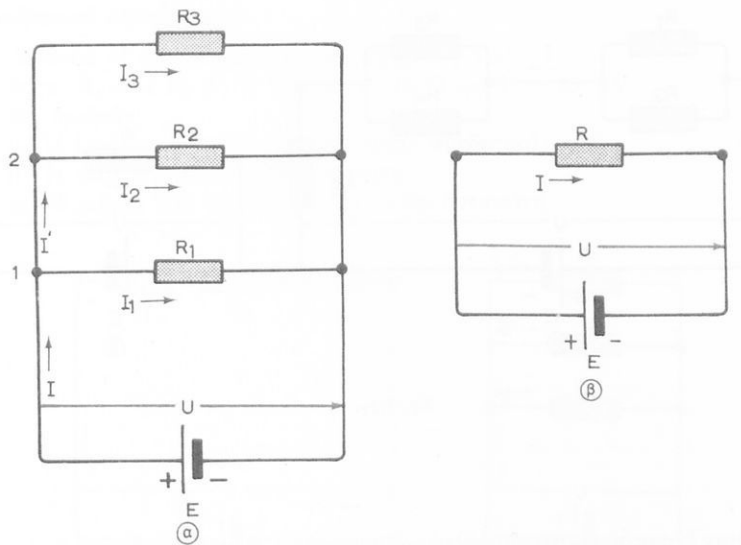
καὶ ἀπό τίς (5) καὶ (6):

$$I = \frac{U}{R_1} + \frac{U}{R_2} + \frac{U}{R_3} \quad (7)$$

Από τό νόμο τοῦ Ohm στήν ισοδύναμη άντισταση τοῦ κυκλώματος τοῦ σχήματος 5.3β(β) έχομε:

$$I = \frac{U}{R} \quad (8)$$

Εξισώνοντας τά δεύτερα μέλη τῶν (7) και (8) προκύπτει:



Σχ. 5.3β.

$$\frac{U}{R} = \frac{U}{R_1} + \frac{U}{R_2} + \frac{U}{R_3}$$

$$\frac{1}{R} = \frac{1}{R_1} + \frac{1}{R_2} + \frac{1}{R_3} \quad (9)$$

καὶ  $G = G_1 + G_2 + G_3 \quad (10)$

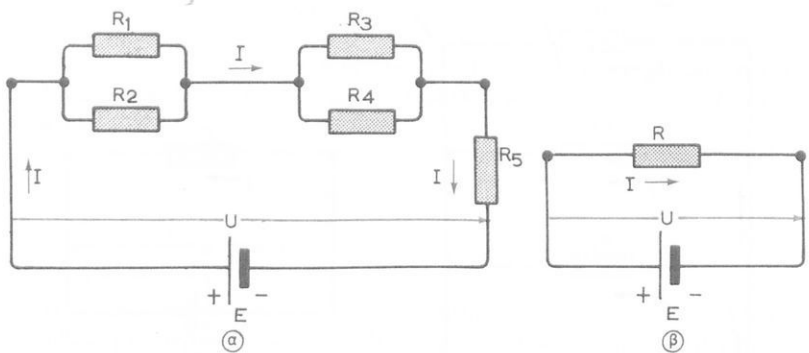
ὅπου  $G = \frac{1}{R}$ ,  $G_1 = \frac{1}{R_1}$ ,  $G_2 = \frac{1}{R_2}$ ,  $G_3 = \frac{1}{R_3}$ , οἱ ἀγωγιμότητες

τῶν ἀντιστατῶν  $R$ ,  $R_1$ ,  $R_2$ ,  $R_3$ .

Από τή (10) ἔξαγομε τό συμπέρασμα διτί: *ἡ ἴσοδύμαμη ἀγωγιμότητα μιᾶς συνδεσμολογίας παραλλήλων ἀντιστατῶν εἶναι ἵση μὲ τό ἄθροισμα τῶν ἀγωγιμοτήτων τους.*

$$G = \sum_v G_v$$

(11)



Σχ. 5.3γ.

Όταν έχομε δύο μόνο παράλληλους άντιστάτες, ή ίσοδύναμή τους άντισταση προκύπτει άπο τή σχέση:

$$\frac{1}{R} = \frac{1}{R_1} + \frac{1}{R_2} \quad (12)$$

$$R = \frac{R_1 R_2}{R_1 + R_2} \quad (13)$$

### — Μικτή συνδεσμολογία.

Διάφοροι άντιστάτες (περισσότεροι άπο δύο) συνδέονται μεταξύ τους μικτά, δηλαδή παράλληλα και σε σειρά, δπως π.χ. στο σχήμα 5.3γ(α).

Γιά νά βροῦμε τήν ίσοδύναμη άντισταση μιᾶς μικτῆς συνδεσμολογίας [σχ. 5.3γ(β)], ύπολογίζομε διαδοχικά τίς ίσοδύναμες άντιστάσεις τῶν παραλλήλων συνδεσμολογιῶν και τίς ίσοδύναμες άντιστάσεις τῶν συνδεσμολογιῶν σε σειρά. Στή συνέχεια, άντικαθιστοῦμε τίς συνδεσμολογίες αὐτές μέ τούς ίσοδύναμους τους άντιστάτες, ὅπου νά φθάσομε σε μία άπλη παράλληλη σύνδεση η σύνδεση άντιστατῶν σε σειρά, πού τήν άντιμετωπίζομε κατά τά γνωστά. Μέ τή μέθοδο αὐτή, προκύπτει π.χ. δτί ή ίσοδύναμη άντισταση τοῦ κυκλώματος τοῦ σχήματος 5.3γ(α) εἶναι:

$$R = \frac{R_1 R_2}{R_1 + R_2} + \frac{R_3 R_4}{R_3 + R_4} + R_5$$

**Αριθμητικά παραδείγματα.**

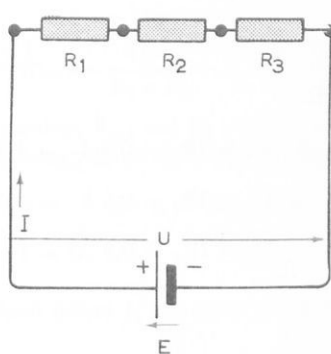
- 1) Δίνονται οι συνδεσμολογίες του σχήματος 5.3δ, όπου:  $R_1 = 4 \Omega$ ,  $R_2 = 5 \Omega$ ,  $R_3 = 20 \Omega$  και  $U = 23,2 \text{ V}$ .

Νά βρεθούν:

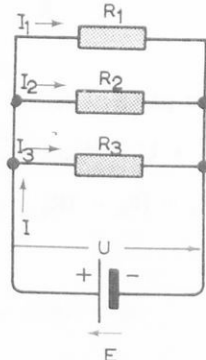
α) Η ισοδύναμη άντισταση των τριών συνδεσμολογιών.

β) Η τάση στά ακρα κάθε άντιστάτη.

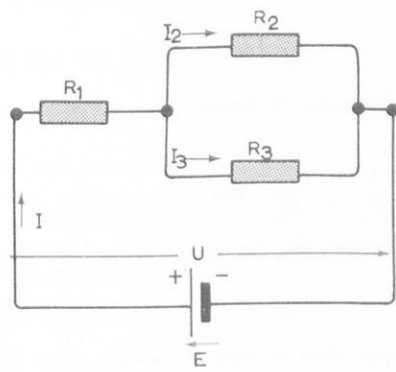
γ) Τό ρεῦμα, πού περνᾶ μέσα άπό κάθε άντιστάτη.



1. Συνδεσμολογία



2. Συνδεσμολογία



3. Συνδεσμολογία

**Σχ. 5.3δ.**

**Λύση.**

**Συνδεσμολογία 1.**

- a) Ισοδύναμη άντισταση, σύμφωνα με τήν έξισωση (1):

$$R = R_1 + R_2 + R_3 = 4 + 5 + 20 = 29$$

$$\underline{R = 29 \Omega}$$

β,γ) Στίς συνδεσμολογίες σειρᾶς ή ξενταση του ρεύματος I είναι ίδια σε δλους τούς άντιστάτες:

$$I = \frac{U}{R} = \frac{23,2}{29} = 0,8 \text{ A}$$

$$\underline{I = 0,8 \text{ A}}$$

Σύμφωνα μέ τήν έξισωση (1), έχομε:

$$U = U_1 + U_2 + U_3 \quad \text{η} \quad U_1 = IR_1 = 0,8 \cdot 4 = 3,2 \text{ V}$$

$$U = IR_1 + IR_2 + IR_3 \quad U_2 = IR_2 = 0,8 \cdot 5 = 4,0 \text{ V}$$

$$U_3 = IR_3 = 0,8 \cdot 20 = 16 \text{ V}$$

$$\text{Έπαλγθευση. } U = U_1 + U_2 + U_3 = 3,2 + 4 + 16 = 23,2 \text{ V}$$

### Συνδεσμολογία 2.

α) Σύμφωνα μέ τήν έξισωση (9) έχομε:

$$\frac{1}{R} = \frac{1}{R_1} + \frac{1}{R_2} + \frac{1}{R_3} \quad \text{και} \quad \frac{1}{R} = \frac{1}{4} + \frac{1}{5} + \frac{1}{20} = 0,5 \Omega$$

Η ισοδύναμη άντισταση της δεύτερης συνδεσμολογίας είναι:

$$\underline{R = 2 \Omega}$$

β) Η τάση, πού έφαρμόζεται σε κάθε άντιστάτη, είναι ίδια, δηλαδή:

$$\underline{U = 23,2 \text{ V}}$$

Από τό νόμο του Ohm, σε κάθε άντιστάτη παίρνομε:

$$I_1 = \frac{U}{R_1} = \frac{23,2}{4} = 5,8 \text{ A}$$

$$\underline{I_1 = 5,8 \text{ A}}$$

$$I_2 = \frac{U}{R_2} = \frac{23,2}{5} = 4,64 \text{ A}$$

$$I_3 = \frac{U}{R_3} = \frac{23,2}{20} = 1,16 \text{ A}$$


---


$$\underline{I_2 = 4,64 \text{ A}}$$

$$\underline{I_3 = 1,16 \text{ A}}$$

### Συνδεσμολογία 3.

- a) Οι άντιστάτες  $R_2$  και  $R_3$  συνδέονται παράλληλα. Από τήν έξισωση (13), βρίσκουμε τήν ίσοδύναμη τους άντισταση  $R_{2,3}$ :

$$R_{2,3} = \frac{R_2 R_3}{R_2 + R_3} = \frac{5 \cdot 20}{5 + 20} = 4 \Omega$$

Οι άντιστάτες  $R_{2,3}$  και  $R_1$  συνδέονται σέ σειρά.  
Η ίσοδύναμη άντισταση της συνδεσμολογίας είναι:

$$R = R_{2,3} + R_1 = 4 + 4 = 8$$

$$\underline{R = 8 \Omega}$$

- β) Τό δόλικό ρεῦμα  $I$ , σύμφωνα μέ τό νόμο τοῦ Ohm, είναι:

$$I = \frac{U}{R} = \frac{23,2}{8} = 2,9 \text{ A}$$

Τό ρεῦμα  $I$  περνᾶ ἀπό τόν άντιστάτη  $R_1$ , ἄρα:

$$\underline{I_1 = I = 2,9 \text{ A}}$$

Η τάση στά ἄκρα τοῦ άντιστάτη  $R_1$  είναι:

$$U_1 = IR_1 = 2,9 \cdot 4 = 11,6 \text{ V}$$

Η δόλική τάση  $U = U_1 + U_{2,3}$ , δπου:

$U_{2,3} =$  ή τάση στά ἄκρα τῶν άντιστατῶν  $R_2, R_3$

$$U_{2,3} = U - U_1 = 23,2 - 11,6 = 11,6 \text{ V}$$


---


$$\underline{U_1 = 11,6 \text{ V}}$$

$$\underline{U_{2,3} = 11,6 \text{ V}}$$

---


$$\underline{I_1 = 2,9 \text{ A}}$$

- γ) Τήν ξνταση  $I_1$  τήν ξχομε ύπολογίσει:

$$I_2 = \frac{U_{2,3}}{R_2} = \frac{11,6}{5} = 2,32 \text{ A}$$


---


$$\underline{I_2 = 2,32 \text{ A}}$$

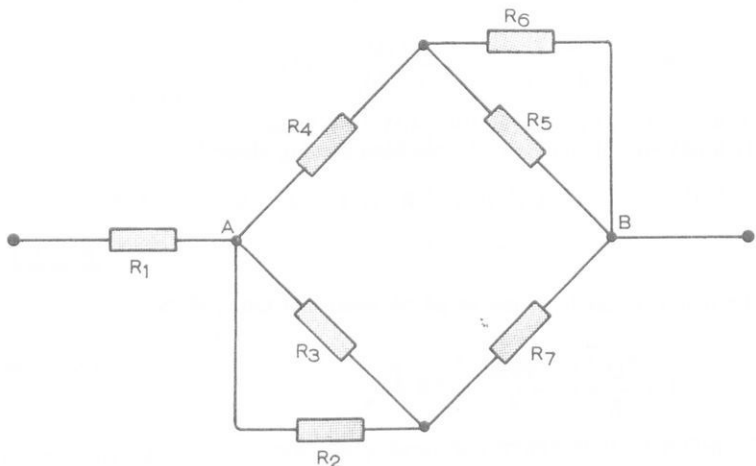
$$I_3 = \frac{U_{2,3}}{R_3} = \frac{11,6}{20} = 0,58 \text{ A}$$

$$\underline{I_3 = 0,58 \text{ A}}$$

**Επαλήθευση.**  $I_1 = I_2 + I_3 = 2,32 + 0,58 = 2,9 \text{ A}$

- 2) Νά βρεθεῖ ή ισοδύναμη άντισταση  $R$  της συνδεσμολογίας του παρακάτω σχήματος 5.3ε.

Δίνεται:  $R_1 = R_2 = R_3 = R_4 = R_5 = R_6 = R_7 = 4 \Omega$



Σχ. 5.3ε.

**Αύση.**

Οι άντιστάτες  $R_2$  και  $R_3$  συνδέονται παράλληλα:

$$R_{2,3} = \frac{R_2 R_3}{R_2 + R_3} = \frac{16}{8} = 2 \Omega$$

Οι άντιστάτες  $R_5$  και  $R_6$  συνδέονται παράλληλα:

$$R_{5,6} = \frac{R_5 R_6}{R_5 + R_6} = 2 \Omega$$

Οι άντιστάτες  $R_{2,3}$  και  $R_7$  συνδέονται σε σειρά:

$$R_{2,3,7} = 2 + 4 = 6 \Omega$$

Οι άντιστάτες  $R_{5,6}$  και  $R_4$  συνδέονται σέ σειρά:

$$R_{4,5,6} = 6 \Omega$$

Οι άντιστάτες  $R_{2,3,7}$  και  $R_{4,5,6}$  συνδέονται παράλληλα:

$$R_{A,B} = \frac{R_{2,3,7} \cdot R_{4,5,6}}{R_{2,3,7} + R_{4,5,6}} = \frac{6 \cdot 6}{6 + 6} = 3 \Omega$$

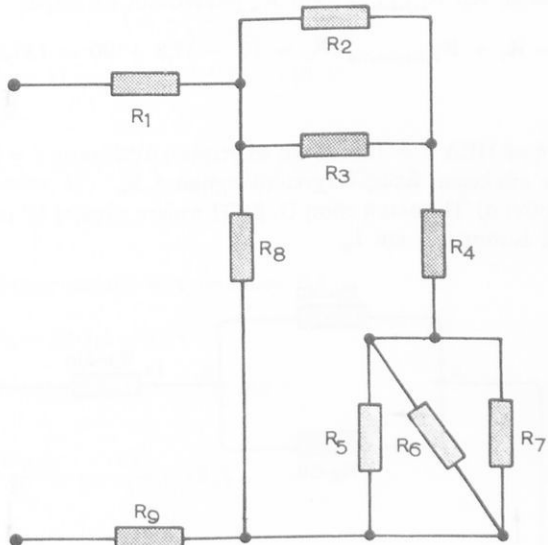
Οι άντιστάτες  $R_1$  και  $R_{A,B}$  συνδέονται σέ σειρά:

$$R = R_1 + R_{A,B} = 4 + 3 = 7 \Omega$$

$$\underline{R = 7 \Omega}$$

- 3) Νά βρεθεί ή ίσοδύναμη άντισταση  $R$  τής συνδεσμολογίας τοῦ παρακάτω σχήματος 5.3στ.

Δίνονται:  $R_1 = 10 \Omega$ ,  $R_2 = 20 \Omega$ ,  $R_3 = 30 \Omega$ ,  $R_4 = 40 \Omega$ ,  $R_5 = 50 \Omega$ ,  $R_6 = 60 \Omega$ ,  $R_7 = 70 \Omega$ ,  $R_8 = 80 \Omega$ ,  $R_9 = 90 \Omega$ .



*Σχ. 5.3στ.*

*Ανση.*

Οι άντιστάτες  $R_2$  και  $R_3$  συνδέονται παράλληλα:

$$R_{2,3} = \frac{R_2 \cdot R_3}{R_2 + R_3} = \frac{20 \cdot 30}{20 + 30} = \frac{600}{50} = 12 \Omega$$

Οι άντιστάτες  $R_5$ ,  $R_6$  και  $R_7$  συνδέονται παράλληλα:

$$\frac{1}{R_{5,6,7}} = \frac{1}{R_5} + \frac{1}{R_6} + \frac{1}{R_7} = \frac{1}{50} + \frac{1}{60} + \frac{1}{70} = 0,051 \Omega$$

$$R_{5,6,7} = 19,60 \Omega$$

Οι άντιστάτες  $R_{2,3}$ ,  $R_4$  και  $R_{5,6,7}$  συνδέονται σέ σειρά:

$$R_{2,3,4,5,6,7} = R_{2,3} + R_4 + R_{5,6,7} = 12 + 40 + 19,60 = 71,60 \Omega$$

Οι άντιστάτες  $R_{2,3,4,5,6,7}$  και  $R_8$  συνδέονται παράλληλα:

$$R_{2,3,4,5,6,7,8} = \frac{R_{2,3,4,5,6,7} \cdot R_8}{R_{2,3,4,5,6,7} + R_8} = \frac{71,60 \cdot 80}{71,60 + 80} = 37,8 \Omega$$

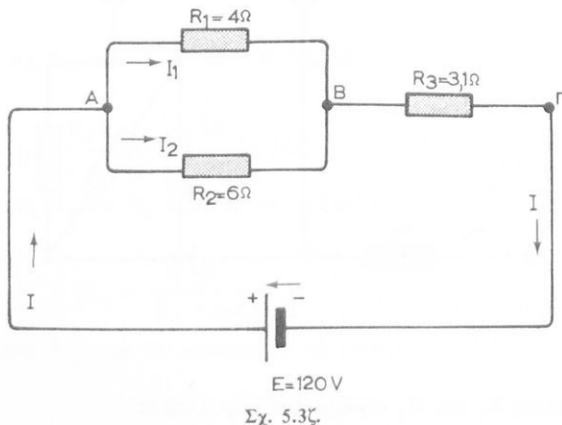
Οι άντιστάτες  $R_1$ ,  $R_{2,3,4,5,6,7,8}$  και  $R_9$  συνδέονται σέ σειρά:

$$R = R_1 + R_{2,3,4,5,6,7,8} + R_9 = 10 + 37,8 + 90 = 137,8 \Omega$$

$$\underline{R = 137,8 \Omega}$$

- 4) Μία πηγή μέ ΗΕΔ  $E = 120$  V, και έσωτερική άντισταση  $r = 0,5 \Omega$  τροφοδοτεῖ ένα κύκλωμα, δημοσιεύει τό σχήμα 5.3ζ.

Νά βρεθοῦν: α) Ή πολική τάση  $U$ . β) Ή πτώση τάσεως  $U'$  μέσα στήν πηγή. γ) Οι έντασεις  $I_1$  και  $I_2$ .



**Ανση.**

- a) Οι άντιστάτες  $R_1$  και  $R_2$  είναι συνδεδεμένοι παράλληλα. Από τήν έξισωση (13), έχομε:

$$R_{1,2} = \frac{R_1 R_2}{R_1 + R_2} = \frac{4 \cdot 6}{4 + 6} = 2,4 \Omega$$

Οι άντιστάτες  $R_{1,2}$  και  $R_3$  είναι συνδεδεμένοι σέ σειρά:

$$R_{1,2,3} = R_{1,2} + R_3 = 2,4 + 3,1 = 5,5 \Omega$$

Από τήν έξισωση (3) τής παραγράφου 4.5, έχομε:

$$I = \frac{E}{R + r} \quad (R = R_{1,2,3} = 5,5 \Omega)$$

Άρα:

$$I = \frac{120}{5,5 + 0,5} = 20 \text{ A}$$

Πολική τάση:  $U = IR = 20 \cdot 5,5 = 110 \text{ V}$

$$\underline{U = 110 \text{ V}}$$

β) Πτώση τάσεως  $U'$ :  $U' = Ir = 20 \cdot 0,5 = 10 \text{ V}$

$$\underline{U' = 10 \text{ V}}$$

γ) Πτώση τάσεως μεταξύ τῶν σημείων B,Γ:

$$U_{B,\Gamma} = IR_3 = 20 \cdot 3,1 = 62 \text{ V}$$

$$U_{A,B} = U - U_{B,\Gamma} = 110 - 62 = 48 \text{ V}$$

$$I_1 = \frac{U_{A,B}}{R_1} = \frac{48}{4} = 12 \text{ A} \quad \underline{I_1 = 12 \text{ A}}$$

$$I_2 = \frac{U_{A,B}}{R_2} = \frac{48}{6} = 8 \text{ A} \quad \underline{I_2 = 8 \text{ A}}$$

β) Συνδεσμολογία ηλεκτρικῶν πηγῶν.

Κάθε ηλεκτρική πηγή παρουσιάζει δρισμένη ηλεκτρεγερτική δύναμη  $E$  και

είναι κατασκευασμένη έτσι, ώστε νά μπορεῖ νά άποδιδει όρισμένο ρεύμα, δταν είναι συνδεδεμένη στήν κατανάλωση, γιά τήν δποία έχει υπολογισθεί. Όταν στις διάφορες έφαρμογές τής ήλεκτροτεχνίας άπαιτεται μεγαλύτερη ΗΕΔ η μεγαλύτερο ρεύμα άπο δσο μπορεῖ νά διαθέσει μία πηγή, συνδέονται περισσότερες πηγές σέ σειρά η παράλληλα, η μικτά.

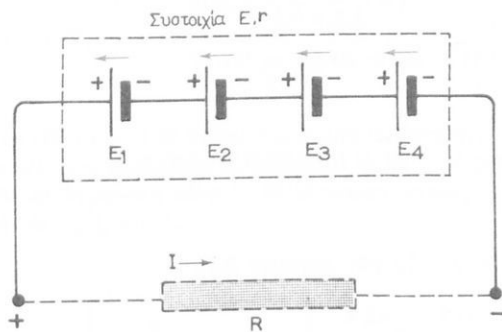
### — Σύνδεση πηγῶν σέ σειρά.

Στή σύνδεση πηγῶν σέ σειρά, ο άρνητικός πόλος τής πρώτης πηγῆς συνδέεται μέ τό θετικό πόλο τής δεύτερης, ο άρνητικός τής δεύτερης μέ τό θετικό πόλο τής τρίτης, κ.ο.κ. (σχ. 5.3η).

Όλόκληρο τό συγκρότημα τῶν πηγῶν όνομάζεται **συστοιχία**. Θετικός πόλος τής συστοιχίας είναι ο θετικός πόλος τής πρώτης πηγῆς, ένδι άρνητικός πόλος είναι ο άρνητικός πόλος τής τελευταίας πηγῆς.

Τήν ήλεκτρεγερτική δύναμη Ε και τήν έσωτερική άντισταση  $r$  τής συστοιχίας βρίσκομε, ἀν έφαρμόσουμε τό δεύτερο κανόνα τοῦ Kirchhoff στό κύκλωμα τοῦ σχήματος 5.3η. Γιά τή συστοιχία ίσχύει:

$$E = IR + Ir \quad (14)$$



Σχ. 5.3η.

Γιά τίς ξεχωριστές πηγές  $E_1, E_2, E_3, E_4$ , μέ τίς έσωτερικές τους άντιστάσεις  $r_1, r_2, r_3, r_4$ , παίρνομε στό ίδιο κύκλωμα:

$$E_1 + E_2 + E_3 + E_4 = IR + I(r_1 + r_2 + r_3 + r_4) \quad (15)$$

Μέ άντικατάσταση τοῦ γινομένου  $IR$  τής (15) στή (14) παίρνομε τήν ταυτότητα:

$$E - Ir = E_1 + E_2 + E_3 + E_4 - I(r_1 + r_2 + r_3 + r_4) \quad (16)$$

Άρα:

$$E = E_1 + E_2 + E_3 + E_4 \quad (17)$$

$$r = r_1 + r_2 + r_3 + r_4 \quad (18)$$

Από τις (17) και (18) έξαγομε τό συμπέρασμα διτι:

Η ήλεκτρεγερτική δύναμη  $E$  μιᾶς συστοιχίας είναι ίση με τό άθροισμα τῶν ήλεκτρεγερτικῶν δυνάμεων τῶν πηγῶν, πού τὴν ἀποτελοῦν καί ή έσωτερική τῆς ἀντίσταση  $r$  είναι ίση με τό άθροισμα τῶν έσωτερικῶν ἀντιστάσεων τῶν πηγῶν.

$$E = \sum_v E_v \quad (19)$$

$$r = \sum_v r_v \quad (20)$$

Άν έχομε η δμοιες πηγές, δπως συμβαίνει συνήθως στήν πράξη, καί κάθε πηγή έχει ΗΕΔ  $E_1$  καί έσωτερική ἀντίσταση  $r_1$ , παίρνομε:

$$E = nE_1 \quad (21)$$

$$r = nr_1 \quad (22)$$

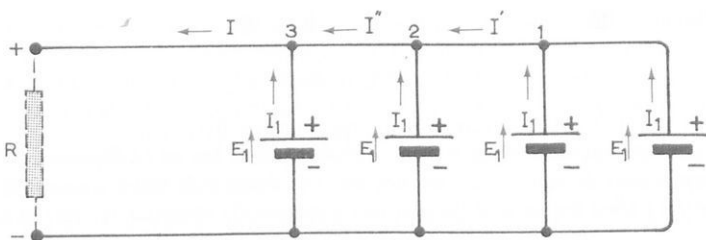
Άρα τή σύνδεση πηγῶν σέ σειρά χρησιμοποιοῦμε, δταν ἀπαιτοῦνται μεγαλύτερες ΗΕΔ. Τό μέγιστο ρεῦμα πού ἀποδίδει ή συστοιχία, δέν μπορεῖ νά είναι μεγαλύτερο ἀπό τό μέγιστο ρεῦμα κάθε πηγῆς καί είναι τό ίδιο σέ δλες τίς πηγές.

Άν κατά τή σύνδεση σέ σειρά, συνδεθεῖ ὁ ἀρνητικός ή θετικός πόλος μιᾶς πηγῆς ἀντίστοιχα μέ τόν ἀρνητικό ή θετικό πόλο τῆς ἐπόμενης πηγῆς, λέμε δτι ή πηγή αὐτή συνδέεται μέ ἀντίθετη **πολικότητα** στή συνδεσμολογία. Οι ήλεκτρεγερτικές δυνάμεις τῶν πηγῶν μέ ἀντίθετη πολικότητα ἀφαιροῦνται ἀπό τίς ΗΕΔ τῶν υπολοίπων πηγῶν. Αυτό γίνεται φανερό ἀπό τόν τύπο (17), στόν δποῦ οι πηγές μέ ἀντίθετη πολικότητα, λόγω τῆς ἀντίθετης φορᾶς τους στό κύκλωμα, ἐμφανίζονται μέ ἀρνητικό σημείο. Άντιθετα, ή έσωτερική ἀντίσταση τῆς συστοιχίας προκύπτει ἀπό τήν άθροιση τῶν έσωτερικῶν ἀντιστάσεων δλων τῶν πηγῶν, ἀνεξάρτητα ἀπό τήν πολικότητά τους, σύμφωνα μέ τοὺς τύπους (18) ή (22).

### — Παράλληλη σύνδεση πηγῶν.

Στήν παράλληλη σύνδεση πηγῶν ένώνονται οι θετικοί πόλοι δλων τῶν πηγῶν καί σχηματίζονται τό θετικό πόλο τῆς συνδεσμολογίας καί οι ἀρνητικοί τόν ἀρνητικό (σχ. 5.30).

Στήν παράλληλη σύνδεσμολογία πρέπει δλες οι πηγές νά είναι δμοιες μετα-



Σχ. 5.30.

ξύ τους. Σέ αντίθετη περίπτωση, ή διαφορά τῶν ΗΕΔ σέ εἶναι βρόχο τῆς συνδεσμολογίας δημιουργεῖ ἕνα ρεῦμα, πού ρέει συνεχῶς στὸ βρόχο, ἀνεξάρτητα ἀπό τὸ ἄν ή συνδεσμολογία εἶναι συνδεδεμένη η δχι σέ κατανάλωση. Αὐτό ἔχει σάν συνέπεια ἀπώλεια ἡλεκτρικῆς ἐνέργειας. "Οταν οἱ ΗΕΔ τῶν πηγῶν εἶναι ἵσες, δὲν ρέει ρεῦμα μεταξὺ τῶν πηγῶν, γιατί σέ ὅποιοδήποτε βρόχο τῆς συνδεσμολογίας τὸ ἄθροισμα τῶν ΗΕΔ κατά τὸν 2 κανόνα τοῦ Kirchhoff, εἶναι ἵσο μέ τὸ μηδέν.

"Εστω διτὶ ἔχομε 4 ὅμοιες πηγές παράλληλα συνδεδεμένες σέ μία κατανάλωση  $R$  (σχ. 5.30). Κάθε πηγή δίνει ρεῦμα  $I_1$ , σύμφωνα μέ τὸ νόμο τοῦ Ohm:

$$I_1 = \frac{E_1}{R} \quad (23)$$

"Ἐφαρμόζοντας τὸν πρῶτο κανόνα τοῦ Kirchhoff στοὺς κόμβους 1, 2 καὶ 3, παίρνομε διαδοχικά:

$$\begin{aligned} I &= I_1 + I_1 = 2I_1 \\ I'' &= I + I_1 = 3I_1 \\ I &= I'' + I_1 = 4I_1 \end{aligned} \quad (24)$$

"Ἄρα τὸ ὀλικό ρεῦμα  $I$  μᾶς παράλληλης συνδεσμολογίας ὁμοίων πηγῶν εἶναι ἵσο μέ τὸ γινόμενο τοῦ ρεύματος μᾶς πηγῆς ἐπί τὸν ἀριθμὸ τῶν πηγῶν. "Αν ἔχομε πέντε ὅμοιες παράλληλες πηγές τότε:

$$I = nI_1 \quad (25)$$

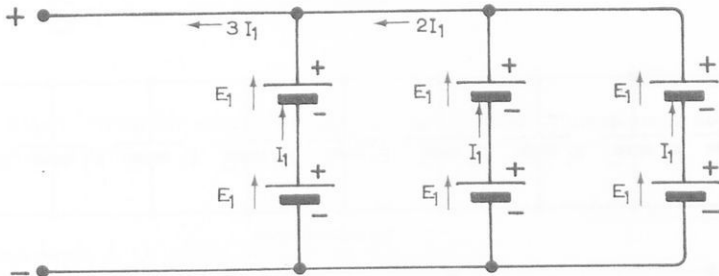
"Ἐπομένως, τὴν παράλληλη συνδεσμολογία πηγῶν χρησιμοποιοῦμε, δταν θέλομε νά ἀναπτύξομε ἴσχυρό ρεῦμα.

Οἱ ἐσωτερικές ἀντιστάσεις  $r_1$  τῶν πηγῶν εἶναι παράλληλα συνδεδεμένες, ἥρα ή ὀλική ἐσωτερική ἀντίσταση  $r$  μᾶς συνδεσμολογίας η ὁμοίων πηγῶν προκύπτει ἀπό τὸν τύπο:

$$\frac{1}{r} = \frac{1}{r_1} + \frac{1}{r_1} + \frac{1}{r_1} + \dots = \frac{n}{r_1} \quad (26)$$

### - Μικτή σύνδεση πηγών.

Στή μικτή σύνδεση πηγών συνδέομε παράλληλα κλάδους πηγών, καθένας άπό τους όποιους σχηματίζεται άπό τη σύνδεση σε σειρά ίσου αριθμού όμοιων πηγών, δπως φαίνεται στό σχήμα 5.3ι.



Σχ. 5.3ι.

Έστω ότι έχομε τη κλάδους και ότι ο κάθε κλάδος περιλαμβάνει η πηγές μέχαρακτηριστικά  $E_1$ ,  $I_1$ ,  $r_1$ .

Η ΗΕΔ Ε της συνδεσμολογίας είναι ίση με την ΗΕΔ ένός κλάδου:

$$E = nE_1 \quad (27)$$

Η έσωτερική άντισταση γ της συνδεσμολογίας προκύπτει άπό την παράλληλη σύνδεση των έσωτερικών άντιστάσεων των τη κλάδων:

$$r = \frac{n r_1}{m} \quad (28)$$

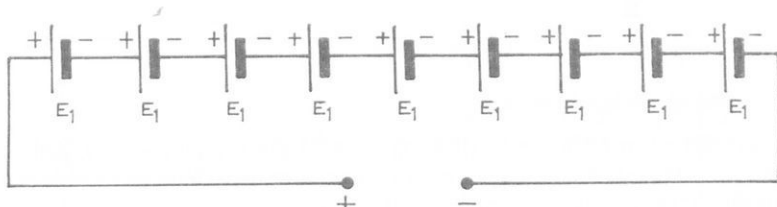
Τό δίλικό ρεῦμα I της συνδεσμολογίας είναι τη φορές μεγαλύτερο άπό τό ρεῦμα ένός κλάδου:

$$I = mI_1 \quad (29)$$

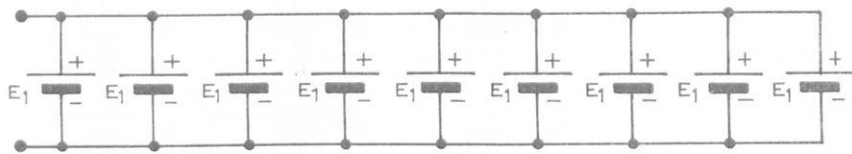
Από τίς σχέσεις (27) και (29) γίνεται φανερό, δτι τή μικτή σύνδεση χρησιμοποιούμε, δταν χρειαζόμαστε ταυτόχρονα μεγάλη ΗΕΔ και ίσχυρό ρεῦμα.

### Άριθμητικό παράδειγμα.

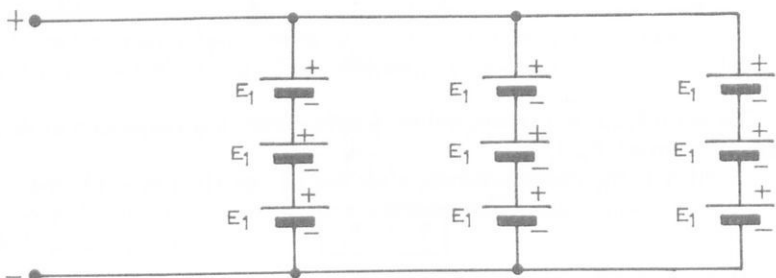
Έννέα (9) δμοιες πηγές συνδέονται μεταξύ τους δπως δείχνουν τά σχήματα 5.3ια.



1. Συνδεσμολογία



2. Συνδεσμολογία



3. Συνδεσμολογία

Σχ. 5.3ia.

Δίνονται:

$$\text{ΗΕΔ κάθε πηγής: } E_1 = 1,5 \text{ V}$$

$$\text{Έσωτερική άντίσταση κάθε πηγής: } r_1 = 0,5 \Omega$$

$$\text{Μέγιστο ρεύμα που μπορεῖ νά άποδιδει κάθε πηγή: } I_1 = 1 \text{ A}$$

Νά βρεθοῦν:

- a) Τη δίλική ΗΕΔ Ε κάθε συνδεσμολογίας.
- β) Τη δίλική έσωτερική άντίσταση κάθε συνδεσμολογίας.
- γ) Τη δίλική ένταση I που μπορεῖ νά άποδιδει συνδεσμολογία.

**Συνδεσμολογία 1.** Οι πηγές συνδέονται σέ σειρά:

$$a) E = \sum E_1 = nE_1 = 9E_1 = 9 \cdot 1,5 = 13,5 \text{ V}$$

$$\underline{E = 13,5 \text{ V}}$$

$$\beta) r = \sum r_1 = nr_1 = 9 \cdot 0,5 = 4,5$$

$$\underline{r = 4,5 \Omega}$$

γ) Η διλική ένταση δέν μπορεῖ νά είναι μεγαλύτερη άπό τή μεγαλύτερη ένταση κάθε πηγής:

$$\underline{I = I_1 = 1 \text{ A}}$$

**Συνδεσμολογία 2.** Οι πηγές συνδέονται παράλληλα:

$$a) E = E_1 = 1,5 \text{ V}$$

$$\underline{E = 1,5 \text{ V}}$$

$$\beta) r = \frac{r_1}{n} = \frac{0,5}{9} = 0,0555 \Omega$$

$$\underline{r = 0,0555 \Omega}$$

$$\gamma) I = nI_1 = 9 \cdot 1 = 9$$

$$\underline{I = 9 \text{ A}}$$

**Συνδεσμολογία 3.** Οι πηγές συνδέονται μικτά, ( $n = 3$   $m = 3$ ):

$$a) E = nE_1 = 3 \cdot 1,5 = 4,5$$

$$\underline{E = 4,5 \text{ V}}$$

$$\beta) r = \frac{n r_1}{m} = \frac{3 \cdot 0,5}{3} = 0,5$$

$$\underline{r = 0,5 \Omega}$$

$$\gamma) I = mI_1 = 3 \cdot 1 = 3$$

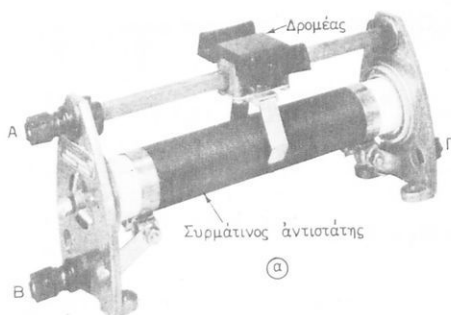
$$\underline{I = 3 \text{ A}}$$

**γ) Ρύθμιση τῆς έντάσεως τοῦ ρεύματος — Ροοστάτες.**

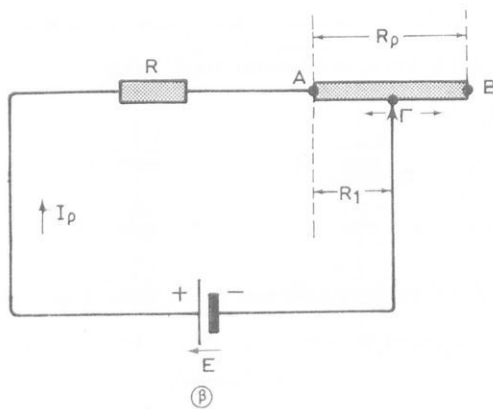
Γιά τή ρύθμιση τῆς έντάσεως τοῦ ρεύματος σέ ἓνα κύκλωμα, χρησιμοποιοῦμε ἓνα μεταβλητό ἀντιστάτη, δηλαδή ἓνα ἀντιστάτη μέρ ρυθμιζόμενη ἀντίσταση, πού ὁνομάζεται **ροοστάτης**. Ό ροοστάτης σχηματίζεται συνήθως άπό ἕνα σύρμα τυλιγμένο πυκνά σέ ἓνα σωλήνα άπό μονωτικό ψύλικό (πορσελάνη κλπ.). Κατά μῆκος τοῦ σωλήνα μπορεῖ νά κινεῖται ἕνας δρομέας, πού ἀκουμπᾶ στό σύρμα καί είναι ἐπίσης ἀγώγιμα συνδεδεμένος μέρ ἕνα ἀκροδέκτη Γ. Τά ἄκρα τοῦ σύρματος καταλήγουν σέ δύο ἀκροδέκτες Α καί Β [σχ. 5.3ιβ(α)].

Ό ροοστάτης συνδέεται σέ σειρά στό κύκλωμα, δπως δείχνει τό σχῆμα 5.3ιβ(β).





(a)



Σχ. 5.3ιβ.

Έστω διτί  $R_p$  είναι ή διλική άντισταση τοῦ ροοστάτη μεταξύ τῶν ἀκροδεκτῶν A καὶ B. Είναι φανερό διτί, δταν μετακινήσομε τό δρομέα πρός τά ἀριστερά, ή άντισταση  $R_1$  μικραίνει καί, δταν φθάσει ό δρομέας στόν ἀκροδέκτη A, τότε  $R_1 = 0$ . Δηλαδή ή άντισταση τοῦ ροοστάτη  $R_p$  είναι διόλοκληρη «έκτος κυκλώματος». Ή ἔνταση τοῦ ρεύματος I, πού διαρρέει τό κύκλωμα στήν περίπτωση αυτή είναι:

$$I = \frac{E}{R} \quad (30)$$

(Η άντισταση τῶν ἀγωγῶν τοῦ κυκλώματος καὶ ἡ ἐσωτερική ἀντίσταση τῆς πηγῆς γ περιλαμβάνονται στήν ἀντίσταση R).

Αντίθετα, ἂν ὁ δρομέας μετακινηθεῖ, πρός τὰ δεξιά, τότε ἡ ἀντίσταση R<sub>1</sub> μεγαλώνει καὶ, δταν φθάσει στὸν ἀκροδέκτη B γίνεται R<sub>1</sub> = R<sub>p</sub>, δηλαδὴ ὀλόκληρη ἡ ἀντίσταση τοῦ ροοστάτη εἶναι «ἐντός κυκλώματος».

Η ἔνταση I στήν περίπτωση αὐτή εἶναι:

$$I = \frac{E}{R + R_p} \quad (31)$$

Αν ὁ δρομέας βρίσκεται σὲ μία όποιαδήποτε ἐνδιάμεση θέση στό ροοστάτη, τότε ἡ ἔνταση τοῦ ρεύματος I<sub>p</sub> εἶναι:

$$I_p = \frac{E}{R + R_1} \quad (32)$$

δπου R<sub>1</sub> ἡ ἀντίσταση τοῦ ροοστάτη μεταξύ τῶν ἀκροδεκτῶν A καὶ Γ.

Διαιρώντας κατά μέλη τίς ἔχεισθεις (32) καὶ (31) παίρνομε:

$$\frac{I_p}{I} = \frac{R + R_p}{R + R_1}$$

καὶ

$I_p = I \frac{R + R_p}{R + R_1}$

(33)

Παρατηροῦμε δτι τό ρεῦμα τοῦ κυκλώματος ἔχει στάση από τήν ἀντίσταση R<sub>1</sub> τοῦ ροοστάτη.

Ανάλογα λοιπόν μέ τήν ἀντίσταση R<sub>1</sub>, πού παρεμβάλλεται στό κύκλωμα, αὐξομειώνεται τό ρεῦμα καὶ ρυθμίζεται ἡ ἔντασή του I<sub>p</sub> στήν ἐπιθυμητή τιμή.

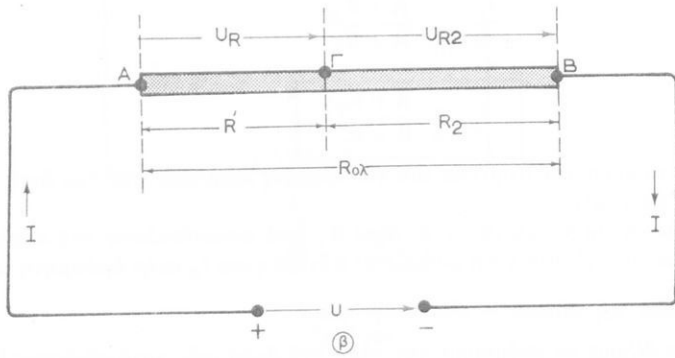
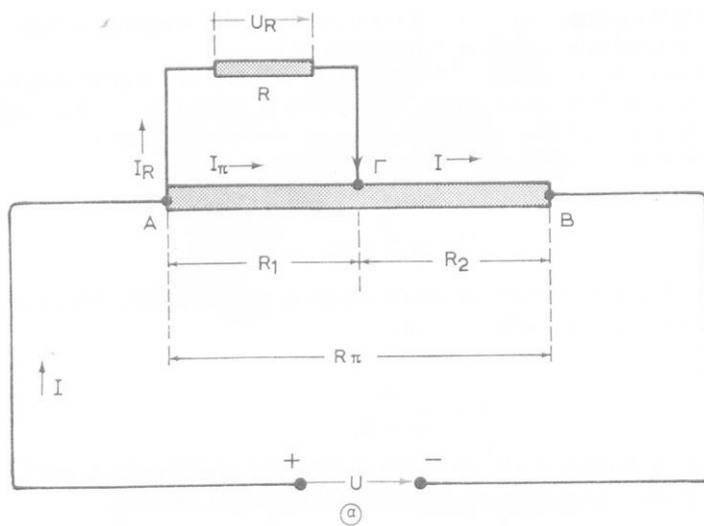
### **δ) Ρυθμιση τῆς τάσεως – Ποτενσιόμετρα.**

Οταν θέλομε νά ρυθμίσουμε τήν τάση στά ἄκρα μιᾶς καταναλώσεως (ἀντίστατη) R, χρησιμοποιοῦμε παρόμοιες συσκευές μέ τοὺς ροοστάτες, πού δυναμάζονται **καταμεριστές τάσεως**, η **ποτενσιόμετρα** (ἀπό τόν δρο Potential = δυναμικό). Τό ποτενσιόμετρο ἔχει ἐπίσης δύο ἀκροδέκτες A καὶ B στά ἄκρα του καὶ ἔνα ἀκροδέκτη Γ, συνδεδεμένο μέ τό δρομέα.

Ἐστω δτι ἡ ἀντίσταση τοῦ ποτενσιόμετρου μεταξύ τῶν ἀκροδεκτῶν A καὶ B εἶναι R<sub>p</sub>. Οἱ ἀκροδέκτες A,B συνδέονται σὲ μία πηγή μέ πολική τάση U. Ή κατανάλωση R συνδέεται μέ τό ἔνα ἄκρο τῆς στόν ἀκροδέκτη A καὶ μέ τό ἄλλο στόν ἀκροδέκτη Γ, δηλαδὴ στό δρομέα [σχ. 5.3ιγ(a)].

Οταν μετακινεῖται ὁ δρομέας Γ πρός τὰ ἀριστερά, ἡ ἀντίσταση R<sub>1</sub> μικραί-





Σχ. 5.31γ.

νει, ένω ή άντισταση  $R_2$  μεγαλώνει. Όταν ό δρομέας θά έχει φθάσει στόν άκρο-δέκτη Α θά έχομε:

$$R_1 = 0 \quad R_2 = R_\pi \quad (34)$$

$$I_R = 0 \quad I = I_\pi$$

$$U_R = 0$$

"Οταν μετακινεῖται ό δρομέας Γ πρός τά δεξιά, ή άντισταση  $R_1$  μεγαλώνει ενώ ή άντισταση  $R_2$  μικραίνει. "Οταν ό δρομέας θά είναι στόν άκρο δέκτη Β, θά έχουμε:

$$\begin{aligned} R_1 &= R_\pi, & R_2 &= 0 \\ I &= I_R + I_\pi \\ U_R &= U \end{aligned} \quad (35)$$

"Οταν ό δρομέας βρίσκεται σέ μία όποιαδή ποτε ένδιαμεση θέση, οι άντιστάσεις  $R$  και  $R_1$  είναι παράλληλα συνδεδεμένοι μεταξύ τους, ό δέ  $R_2$  είναι συνδεδεμένος μέ αυτούς σέ σειρά. "Ετσι ή ίσοδύναμη διλική άντισταση  $R_{o\lambda}$  τού ποτενσιομέτρου είναι:

$$R_{o\lambda} = \frac{R R_1}{R + R_1} + R_2 = R' + R_2 \quad (36)$$

οπου  $R'$  ή άντισταση τῶν παραλλήλων άντιστατῶν καί μποροῦμε νά άντικαταστήσουμε τό κύκλωμα τοῦ σχήματος 5.3ιγ(α) μέ τό ίσοδύναμο κύκλωμα τοῦ σχήματος 5.3ιγ(β).

Στά άκρα τοῦ άντιστάτη  $R'$  έπικρατεῖ ή ίδια τάση  $U_R$ , πού ύπάρχει στά άκρα τῆς καταναλώσεως  $R$ , ένω ό  $R'$  διαρρέεται άπό τό ίδιο ρεῦμα  $I$ , πού διαρρέει τόν άντιστάτη  $R_2$ . "Αρα:

$$U_R = IR' = I \frac{R R_1}{R + R_1} \quad (37)$$

$$U = IR_{o\lambda} = I \left( \frac{R R_1}{R_2 + R_1} + R_2 \right) \quad (38)$$

Διαιρώντας κατά μέλη τίς έξισώσεις (37), (38) παίρνομε:

$$\begin{aligned} \frac{U_R}{U} &= \frac{R R_1}{R(R_1 + R_2) + R_1 R_2} = \frac{R R_1}{R R_\pi + R_1 R_2} \\ \boxed{\frac{U_R}{U} = \frac{R}{R_\pi} + \frac{R_2}{R}} \quad & \quad (39) \end{aligned}$$

"Η έξισωση (39) μᾶς δίνει τήν τάση  $U_R$  στά άκρα τῆς καταναλώσεως  $R$  σέ συνάρτηση μέ τήν τάση  $U$  στά άκρα τοῦ ποτενσιομέτρου. Παρατηροῦμε ότι ή

$U_R$  έξαρταται άπο τό φορτίο  $R$ .

"Όταν  $R = \infty$ , δηλαδή δταν δέν ύπάρχει κατανάλωση μεταξύ των άκρων  $A, G$  και τό ποτενσιόμετρο έργαζεται σέ κενό, παίρνομε άπο τόν τύπο (39):

$$U_R = U \frac{R_1}{R_\pi} \quad (40)$$

### Αριθμητικό παράδειγμα.

Δίνεται ένα ποτενσιόμετρο άντιστάσεων  $R_\pi = 100 \Omega$ , πού συνδέεται στά άκρα μιᾶς πηγῆς, πολικής τάσεως  $U = 220 V$  [σχ. 5.3ιγ(a)].

"Αν ο δρομέας τοῦ ποτενσιομέτρου βρίσκεται στή μέση τοῦ άντιστάτη  $R_\pi$ , νά βρεθοῦν:

a) Η τάση  $U_R$  στά άκρα τῆς καταναλώσεως  $R$ , δταν:

$$R = 1000 \Omega \text{ και } R = 5000 \Omega$$

β) Η τάση  $U_R$ , δταν  $R = \infty$  (λειτουργία σέ κενό).

### Αύση.

"Επειδή ο δρομέας βρίσκεται στή μέση τοῦ ποτενσιομέτρου είναι:

$$R_1 = R_2 = 50 \Omega$$

a) Γιά κατανάλωση  $R = 1000 \Omega$ .

"Από τήν έξισωση (39), παίρνομε:

$$U_R = \frac{U}{\frac{R_\pi}{R_1} + \frac{R_2}{R}} = \frac{220}{\frac{100}{50} + \frac{50}{1000}} = \frac{220}{2,05} = \underline{107,31 V}$$

β) Γιά κατανάλωση  $R = 5000 \Omega$ .

$$U_R = \frac{U}{\frac{R_\pi}{R_1} + \frac{R_2}{R}} = \frac{220}{\frac{100}{50} + \frac{50}{5000}} = \frac{220}{2,01} = \underline{109,45 V}$$

γ)  $R = \infty$ .

$$\text{Άπο τήν έξισωση (40), έχομε: } U_R = U \frac{R_1}{R_\pi} = 220 \frac{50}{100}$$

$$\underline{U_R = 110 V}$$

### ε) Παραδείγματα ἀναλύσεως κυκλωμάτων.

Μέ τή βοήθεια τοῦ νόμου τοῦ Ohm καὶ τῶν δύο κανόνων τοῦ Kirchhoff, εἴναι δυνατή ἡ ἀνάλυση διοιουδήποτε κυκλώματος, δηλαδή ὁ προσδιορισμός τῶν ρευμάτων καὶ τῶν πτώσεων τάσεως στοὺς κλάδους τοῦ κυκλώματος, διὰ τούτων εἶναι γνωστές οἱ πηγές καὶ οἱ κατανάλωσεις του. Η διαδικασία, πού ἀκολουθοῦμε γιὰ τό σκοπό αὐτό, εἶναι ή ἔξῆς:

Ἐστω διτὸ τό κύκλωμα ἔχει / κλάδους καὶ π κόμβους. Σημειώνομε σέ κάθε κλάδο ἀπό ἕνα ρένμα ( $I_1, I_2, I_3, \dots$ ) μέ αὐθαίρετη φορά. Προκύπτει ἐτσι ἀριθμός ρευμάτων, ἵσος μέ τόν ἀριθμό τῶν κλάδων, δηλαδή / ρεύματα.

Τά ρεύματα αὐτά εἶναι οἱ ἄγνωστοι τοῦ προβλήματος. Γιά νά τά προσδιορίσμε, πρέπει νά σχηματίσομε ἔνα σύστημα ἔξισώσεων, μέ ἀριθμό ἀνεξαρτήτων ἔξισώσεων ἵσο μέ τόν ἀριθμό τῶν ρευμάτων. Ἀνεξάρτητη εἶναι μία ἔξισωση, διὰ τούτων δέν προκύπτει ἀπό συνδυασμό (πρόσθεση, ἀφαίρεση, κλπ.) ἄλλων ἔξισώσεων τοῦ συστήματος.

Μέ τόν πρώτο κανόνα τοῦ Kirchhoff μποροῦμε νά γράψομε γιά κάθε κόμβο τοῦ κυκλώματος μία ἔξισωση:

$$\sum I = 0$$

ἐνῶ μέ τό δεύτερο κανόνα μποροῦμε νά γράψομε γιά κάθε βρόχο τοῦ κυκλώματος μία ἔξισωση:

$$\sum E = \sum IR$$

Συνολικά προκύπτουν περισσότερες ἀπό / ἔξισώσεις. Ἀπό αὐτές δμως, μόνο / ἔξισώσεις εἶναι ἀνεξάρτητες, δοσα εἶναι δηλαδή τά ἄγνωστα ρεύματα. Γιά νά λύσομε λοιπόν τό πρόβλημα, θά πρέπει νά ἐκλέξουμε / ἀνεξάρτητες ἔξισώσεις κόμβων καὶ βρόχων.

Ἀπό τή λύση τοῦ συστήματος, πού εἶναι ἀπλή, ἐπειδή τό σύστημα εἶναι πάντοτε πρώτου βαθμοῦ, προκύπτει ἡ ἔνταση τοῦ ρεύματος σέ κάθε κλάδο μέ θετικό ἡ ἀρνητικό σημεῖο. Θετικό σημεῖο ἐνός ρεύματος, σημαίνει διτὶ ἡ σωστή φορά τοῦ ρεύματος εἶναι αὐτή, πού δρίσαμε αὐθαίρετα. Ἐνῶ, ἀρνητικό σημαίνει διτὶ τό ρεῦμα ἔχει ἀντίθετη φορά. Ἀφοῦ λύσομε ἐπομένως τό σύστημα, πρέπει νά διορθώσομε, σύμφωνα μέ τά πιό πάνω, τή φορά τῶν ρευμάτων στούς κλάδους.

Οι πτώσεις τάσεως U στίς κατανάλωσεις R τοῦ κυκλώματος, προσδιορίζονται ἀπό τό νόμο τοῦ Ohm. Γιά κάθε κατανάλωση ἴσχύει:

$$U = IR$$

ὅπου I ή ύπολογισμένη ἔνταση ρεύματος πού διαρρέει τήν κατανάλωση καὶ R

ή δοσμένη άντισταση της καταναλώσεως.

Μέ τη βοήθεια άριθμητικῶν παραδειγμάτων, θά δοῦμε στή συνέχεια πῶς γίνεται ή άνάλυση διαφόρων κυκλωμάτων.

### Άριθμητικά παραδείγματα.

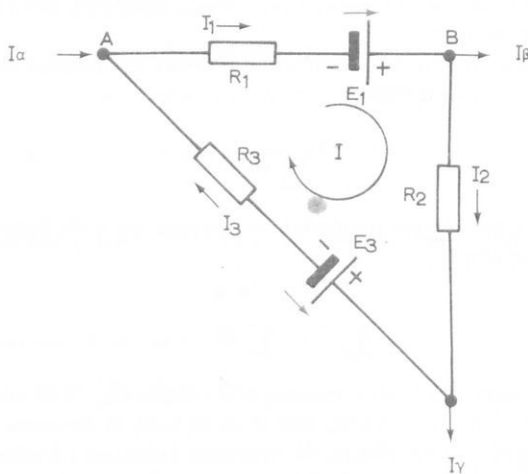
#### Παράδειγμα 1.

Δίνεται τό παρακάτω δίκτυο του σχήματος 5.3ιδ.

$$\text{ὅπου: } I_a = 6,5 \text{ A}, \quad I_\beta = 4,8 \text{ A}$$

$$E_1 = 16 \text{ V}, \quad E_3 = 10 \text{ V}$$

$$R_1 = 2 \Omega, \quad R_2 = 5 \Omega, \quad R_3 = 0,4 \Omega$$



Σχ. 5.3ιδ.

Νά βρεθοῦν:

α) Τά ρεύματα  $I_1$ ,  $I_2$  και  $I_3$ , πού περνοῦν μέσα άπό τούς άντιστάτες  $R_1$ ,  $R_2$  και  $R_3$  και τό ρεῦμα  $I_y$  (οι έσωτερικές άντιστάσεις τῶν πηγῶν  $E_1$  και  $E_3$  συμπεριλαμβάνονται στίς άντιστάσεις  $R_1$  και  $R_3$ ).

β) Η πτώση τάσεως στούς άντιστάτες  $R_1$ ,  $R_2$  και  $R_3$ .

#### Αύση.

α) Έχομε νά ύπολογίσομε τέσσερα άγνωστα ρεύματα  $I_1$ ,  $I_2$ ,  $I_3$  και  $I_y$ . Άρα άπαιτοῦνται τέσσερις άνεξάρτητες έξισώσεις. Έκλεγμε αύθαίρετα τή φορά τῶν ρευμάτων  $I_1$ ,  $I_2$ ,  $I_3$  και τή φορά τοῦ βρόχου  $I$  (σχ. 5.3ιδ).

Σύμφωνα μέ τόν πρώτο κανόνα τοῦ Kirchhoff, έχομε:

$$\text{Γιά τόν κόμβο } A: \quad I_a + I_3 - I_1 = 0 \quad (1)$$

$$\text{Γιά τόν κόμβο } B: \quad I_1 - I_2 - I_\beta = 0 \quad (2)$$

$$\text{Γιά τόν κόμβο } \Gamma: \quad I_2 - I_3 - I_\gamma = 0 \quad (3)$$

Σύμφωνα μέ τό δεύτερο κανόνα τοῦ Kirchhoff, έχομε:

$$\text{Γιά τό βρόχο } I: E_1 - E_3 = I_1 R_1 + I_2 R_2 + I_3 R_3 \quad (4)$$

$$\text{'Από τήν έξισωση (1) έχομε: } I_3 = I_1 - I_a$$

$$\text{'Από τήν έξισωση (2) έχομε: } I_2 = I_1 - I_\beta$$

Τίς παραπάνω τιμές τῶν ρευμάτων  $I_2$  καὶ  $I_3$  τοποθετοῦμε στήν έξισωση (4) καὶ βρίσκομε:

$$I_1 = \frac{E_1 - E_3 + I_\beta R_2 + I_a R_2}{R_1 + R_2 + R_3} = 4,4 \text{ A}$$

'Από τίς έξισώσεις (1), (2) καὶ (3) βρίσκομε:

$$\underline{I_1 = 4,4 \text{ A}}$$

$$\underline{I_2 = -0,4 \text{ A}}$$

$$\underline{I_3 = -2,1 \text{ A}}$$

$$\underline{I_\gamma = 1,7 \text{ A}}$$

Τά ρεύματα  $I_1$  καὶ  $I_\gamma$  έχουν τή φορά πού εἶναι σημειωμένη στό σχῆμα 5.3ιδ, ἐνῷ τά  $I_2$  καὶ  $I_3$  έχουν ἀντίθετη φορά.

$$\beta) \text{Πτώση τάσεως στόν ἀντιστάτη } R_1: \quad I_1 R_1 = 4,4 \cdot 2 = 8,8 \text{ V}$$

$$\text{Πτώση τάσεως στόν ἀντιστάτη } R_2: \quad I_2 R_2 = -0,4 \cdot 5 = -2 \text{ V}$$

$$\text{Πτώση τάσεως στόν ἀντιστάτη } R_3: \quad I_3 R_3 = -2,1 \cdot 0,4 = -0,84 \text{ V}$$

### *Έπαλγθευση.*

$$\text{Η έξισωση (4) γράφεται: } E_1 - E_3 - I_1 R_1 - I_2 R_2 - I_3 R_3 = 0 \\ 16 - 10 - 8,8 + 2 + 0,84 = 0,04 \approx 0 \text{ V}$$

(Η διαφορά τῶν 0,04 V εἶναι ἐπιτρεπόμενο ύπολογιστικό λάθος).

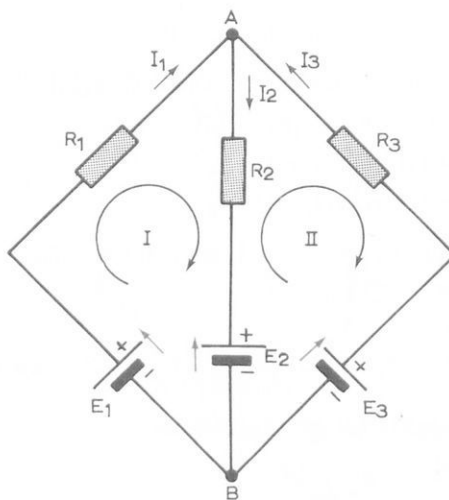
### *Παράδειγμα 2.*

Δίνεται πρός ἀνάλυση τό δίκτυο τοῦ σχήματος 5.3ιε, δπου:

$$E_1 = 20 \text{ V} \quad R_1 = 2,0 \Omega$$

$$E_2 = 80 \text{ V} \quad R_2 = 3,0 \Omega$$

$$E_3 = 12,0 \text{ V} \quad R_3 = 4,0 \Omega$$



Σχ. 5.3ε.

Nά βρεθοῦν:

- a) Τά ρεύματα  $I_1$ ,  $I_2$  και  $I_3$ , που περνοῦν μέσα από τους άντιστάτες  $R_1$ ,  $R_2$  και  $R_3$ .
- β) Οι πτώσεις τάσεως  $U_1$ ,  $U_2$  και  $U_3$  στους άντιστοιχους άντιστάτες  $R_1$ ,  $R_2$  και  $R_3$ .

**Σημείωση.** Οι άντιστάτες  $R_1$ ,  $R_2$  και  $R_3$  περιλαμβάνουν τις έσωτερικές άντιστάσεις τῶν πηγῶν και τις άντιστάσεις τῶν άγωγῶν.

### Λύση.

- a) Υπολογισμός τριῶν (3) άγνώστων ρευμάτων  $I_1$ ,  $I_2$  και  $I_3$ . Άρα άπαιτοῦνται τρεῖς άνεξάρτητες έξισώσεις. Έκλεγομε ανθαίρετα τις φορές τῶν ρευμάτων  $I_1$ ,  $I_2$ ,  $I_3$  και τις φορές τῶν βρόχων I και II.

Σύμφωνα μέ τὸν πρῶτο κανόνα τῶν Kirchhoff ἔχομε:

$$\text{Γιὰ τὸν κόμβο } A: \quad I_1 - I_2 + I_3 = 0 \quad (1)$$

Σύμφωνα μέ τὸ δεύτερο κανόνα τοῦ Kirchhoff ἔχομε:

$$\text{Γιά τό βρόχο I: } E_1 - E_2 = I_1 R_1 + I_2 R_2 \quad (2)$$

$$\text{Γιά τό βρόχο II: } E_2 - E_3 = -I_2 R_2 - I_3 R_3 \quad (3)$$

Από τήν έπιλυση τοῦ παραπάνω συστήματος (3 έξισώσεις, 3 άγνωστοι) βρίσκουμε:

$$\underline{I_1 = 2,768 \text{ A}}$$

$$\underline{I_2 = 2,152 \text{ A}}$$

$$\underline{I_3 = -0,616 \text{ A}}$$

β) Πτώσεις τάσεως:

$$U_1 = I_1 R_1 = 2,768 \cdot 2 = 5,536 \text{ V} \quad \underline{U_1 = 5,536 \text{ V}}$$

$$U_2 = I_2 R_2 = 2,152 \cdot 3 = 6,456 \text{ V} \quad \underline{U_2 = 6,456 \text{ V}}$$

$$U_3 = I_3 R_3 = -0,616 \cdot 4 = -2,464 \text{ V} \quad \underline{U_3 = -2,464 \text{ V}}$$

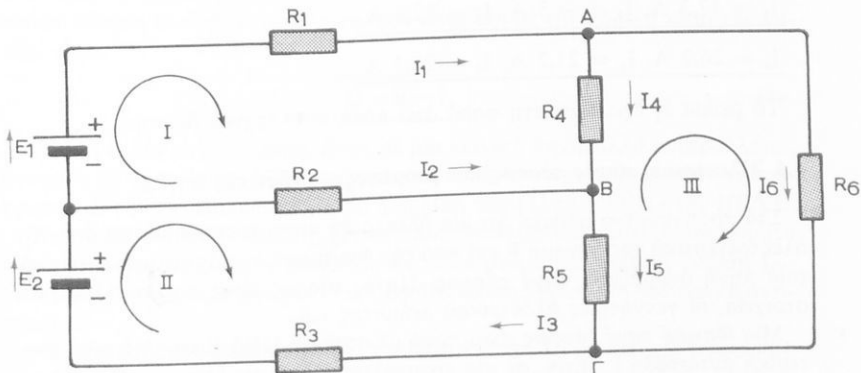
Τό ρεῦμα  $I_3$  έχει άντιθετη φορά από αυτή που δρίσαμε άρχικά. Οι έξισώσεις τοῦ συστήματος έπαληθεύονται, άφού βέβαια λάβομε ύπ' άψη ένα μικρό ή πολογιστικό λάθος.

### Παράδειγμα 3.

Δίνεται πρός έπιλυση τό παρακάτω δίκτυο τοῦ σχήματος 5.3ιστ., δηλαδή:

$$E_1 = 110 \text{ V}, E_2 = 110 \text{ V}$$

$$R_1 = 0,1 \Omega, R_2 = 0,05 \Omega, R_3 = 0,1 \Omega, R_4 = 4 \Omega, R_5 = 5 \Omega, R_6 = 10 \Omega$$



Σχ. 5.3ιστ.

**Σημείωση.** Οι άντιστάτες  $R_1, R_2$  και  $R_3$  περιλαμβάνουν τίς έσωτερικές άντιστάσεις των πηγών και τίς άντιστάσεις των άγωγών.

Νά βρεθοῦν:

Τά ρεύματα  $I_1, I_2, I_3, I_4, I_5$  και  $I_6$ , πού περνοῦν μέσα από τους άντιστάτες  $R_1, R_2, R_3, R_4, R_5$  και  $R_6$ .

**Αύση.**

Υπολογισμός  $\ddot{\Sigma}$  (6) άγνώστων ρευμάτων  $I_1, I_2, I_3, I_4, I_5, I_6$ . Άρα άπαιτούνται  $\ddot{\Sigma}$  (6) άνεξάρτητες  $\ddot{\Sigma}$  σώσεις. Έκλεγομε ανθαίρετα τίς φορές των ρευμάτων  $I_1, I_2, I_3, I_4, I_5$  και  $I_6$  και τῶν βρόχων I, II και III (σχ. 5.3ιστ).

Από τὸν πρῶτο κανόνα τοῦ Kirchhoff  $\ddot{\Sigma}$  ξομε:

$$\text{Γιά τὸν κόμβο A: } I_1 - I_4 - I_6 = 0 \quad (1)$$

$$\text{Γιά τὸν κόμβο B: } I_2 + I_4 - I_5 = 0 \quad (2)$$

$$\text{Γιά τὸν κόμβο Γ: } -I_3 + I_5 + I_6 = 0 \quad (3)$$

Από τὸ δεύτερο κανόνα τοῦ Kirchhoff  $\ddot{\Sigma}$  ξομε:

$$\text{Γιά τὸ βρόχο I: } E_1 = I_1R_1 + I_4R_4 - I_2R_2 \quad (4)$$

$$\text{Γιά τὸ βρόχο II: } E_2 = I_2R_2 + I_5R_5 + I_3R_3 \quad (5)$$

$$\text{Γιά τὸ βρόχο III: } 0 = -I_4R_4 + I_6R_6 - I_5R_5 \quad (6)$$

Λύνομε μέ τοὺς γνωστούς τρόπους τὸ παραπάνω σύστημα τῶν  $\ddot{\Sigma}$  (6) άνεξαρτήτων  $\ddot{\Sigma}$  σώσεων και βρίσκομε:

$$\underline{I_1 = 47,3 \text{ A}, I_2 = -5 \text{ A}, I_3 = 42,3 \text{ A}}$$

$$\underline{I_4 = 26,2 \text{ A}, I_5 = 21,2 \text{ A}, I_6 = 21,1 \text{ A}}$$

Τό ρεῦμα  $I_2$  έχει άντιθετη φορά από αὐτή πού άρχικά όρισαμε.

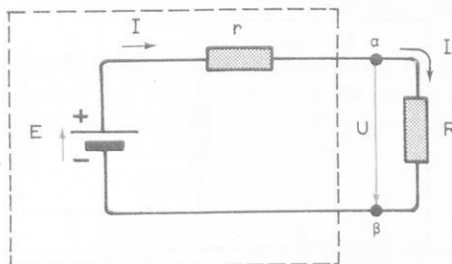
#### 5.4 Ήλεκτρικές πηγές τάσεως και ρεύματος – Ιδανικές πηγές.

Στά προηγούμενα μάθαμε δτι μία ήλεκτρική πηγή χαρακτηρίζεται από τὴν ήλεκτρεγερτική της δύναμη  $E$  και από τὴν έσωτερική της άντισταση  $r$ . Μία τέτοια πηγή δύναμέται **πηγή τάσεως**. Πηγές τάσεως είναι π.χ. τά ήλεκτρικά στοιχεῖα, οι γεννήτριες ήλεκτρικοῦ ρεύματος κ.ἄ.

Μία **ιδανική πηγή τάσεως** είναι πηγή μέ σταθερή  $HEΔ$   $E$  και μηδενική έσωτερική άντισταση  $r$ . Έτσι, σέ μία κατανάλωση, πού συνδέεται στούς πόλους τῆς πηγῆς, ή τάση είναι σταθερή και άνεξάρτητη από τό ρεῦμα, πού περνᾶ από τὴν κατανάλωση.

Ίδανικές πηγές τάσεως δέν ύπάρχουν στήν πραγματικότητα, έπειδή μία πηγή έχει πάντοτε δρισμένη άντισταση. "Οπως ειδαμε στήν περίπτωση τού νόμου τοῦ Ohm σε πλήρες κύκλωμα (παράγραφος 4.5), ἀν συνδέσομε μία κατανάλωση σέ μία πηγή, ή πολική τάση μεταβάλλεται, ἀνάλογα μέ τό ρεῦμα πού περνᾶ ἀπό τήν κατανάλωση, ἐξ αἰτίας τῆς πτώσεως τάσεως στήν ἐσωτερική άντισταση τῆς πηγῆς.

**Mία πραγματική πηγή τάσεως, τήν παριστάνομε στά κυκλωματικά σχέδια μέ μία ίδανική πηγή μέ σταθερή ΗΕΔ Ε καί ἔνα ἀντιστάτη r ἵσο μέ τήν ἐσωτερική άντισταση τῆς πηγῆς, συνδεδεμένο σέ σειρά (σχ. 5.4a).**



Σχ. 5.4a.

Άν φαντασθοῦμε δτι τό κύκλωμα αύτό βρίσκεται μέσα σέ ἓνα κλειστό κουτί ἀπό τό δόπιο βγαίνουν μόνο οί ἀκροδέκτες α καί β, τό κουτί αύτό θά συμπεριφέρεται δπως ή πραγματική πηγή. "Άν δηλαδή συνδέσομε στούς ἀκροδέκτες α,β, τήν κατανάλωση R, ἀνάλογα μέ τό μέγεθος τῆς R, περνᾶ ρεῦμα I ἀπό τό κύκλωμα καὶ δημιουργεῖται πτώση τάσεως Ir στήν ἐσωτερική άντισταση. Ή πτώση τάσεως U στήν κατανάλωση, πού είναι ἴση μέ τήν πολική τάση τῆς πηγῆς, είναι:

$$U = E - I_r \quad (1)$$

Έτσι ή U δέν είναι σταθερή, δπως σέ μία ίδανική πηγή, ἀλλά μεταβάλλεται, ἀνάλογα μέ τό ρεῦμα I. "Όσο μικρότερη είναι ή ἐσωτερική άντισταση r, συγκριτικά μέ τήν κατανάλωση R, τόσο ή πολική τάση U πλησιάζει στήν ΗΕΔ E.

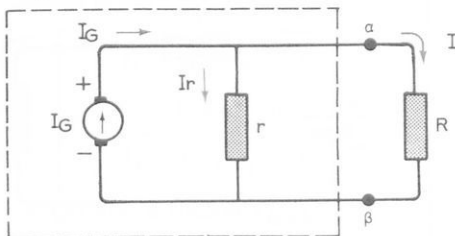
Έκτος ἀπό τίς πηγές τάσεως, χρησιμοποιούνται σέ ηλεκτρονικά κυκλώματα **πηγές ρεύματος**. Mία πηγή ρεύματος ἀποδίδει ρεῦμα μέ σταθερή ἔνταση  $I_G$ , δταν είναι βραχυκυκλωμένη καὶ παρουσιάζει ἐπίσης δρισμένη ἐσωτερική άντισταση r.

**Mία ίδανική πηγή ρεύματος**, έχει σταθερή ἔνταση  $I_G$  καὶ ἀπειρη ἐσωτερική άντισταση r. "Έτσι, τό ρεῦμα πού ἀποδίδει ή πηγή σέ μία κατανάλωση, δέν ἐπηρεάζεται ἀπό τό μέγεθος τῆς καταναλώσεως.

Ίδανικές πηγές ρεύματος δέν ύπάρχουν στήν πραγματικότητα. Mία πραγ-

ματική πηγή ρεύματος είναι μία πηγή τάσεως μέ πολύ μεγάλη έσωτερική άντισταση  $r$ , στήν όποια συνδέεται μικρή κατανάλωση  $R$ . Στήν περίπτωση αυτή, τό ρεῦμα που άποδίδει ή πηγή, έξαρταται ούσιαστικά άπο τήν έσωτερική άντισταση  $r$  και δέν μεταβάλλεται αισθητά μέ τίς μεταβολές τής μικρῆς καταναλώσεως  $r$ .

**Τήν πραγματική πηγή ρεύματος παριστάνομε στά κυκλωματικά σχέδια μέ μία ιδανική πηγή ρεύματος  $I_G$  και ένα άντιστάτη  $r$ , συνδεδεμένο παράλληλα στήν πηγή (σχ. 5.4β). Τό κύκλωμα αυτό μπορούμε νά φαντασθούμε δτι βρίσκεται έπισης σέ ένα κλειστό κουτί άπο τό δύοιο βγαίνουν μόνο οι άκροδέκτες α και β. Τό κουτί αυτό συμπεριφέρεται δπως ή πραγματική πηγή ρεύματος.**



Σχ. 5.4β.

Αν συνδέσομε στούς άκροδέκτες α,β τής πηγῆς μία κατανάλωση  $R$ , ή κατανάλωση αυτή θά είναι παράλληλα συνδεδεμένη μέ τόν άντιστάτη  $r$  και τό ρεῦμα  $I_G$  θά διακλαδίζεται σέ ένα ρεῦμα  $I_r$  τοῦ άντιστάτη  $r$  και σέ ένα ρεῦμα  $I$  τής καταναλώσεως  $R$ .

$$I_G = I_r + I \quad (2)$$

Οσο πιό μεγάλη είναι ή έσωτερική άντισταση τής πηγῆς  $r$ , συγκριτικά μέ τήν κατανάλωση  $R$ , τόσο πιό πολύ πλησιάζει τό ρεῦμα  $I$  στό ρεῦμα  $I_G$ .

Οι πηγές τάσεως άποδίδουν μεγάλο ρεῦμα και είναι αυτές πού χρησιμοποιούνται κυρίως γιά τήν παραγωγή ήλεκτρικής ένέργειας. Οι πηγές ρεύματος, άντιθετα, άποδίδουν μικρό ρεῦμα.

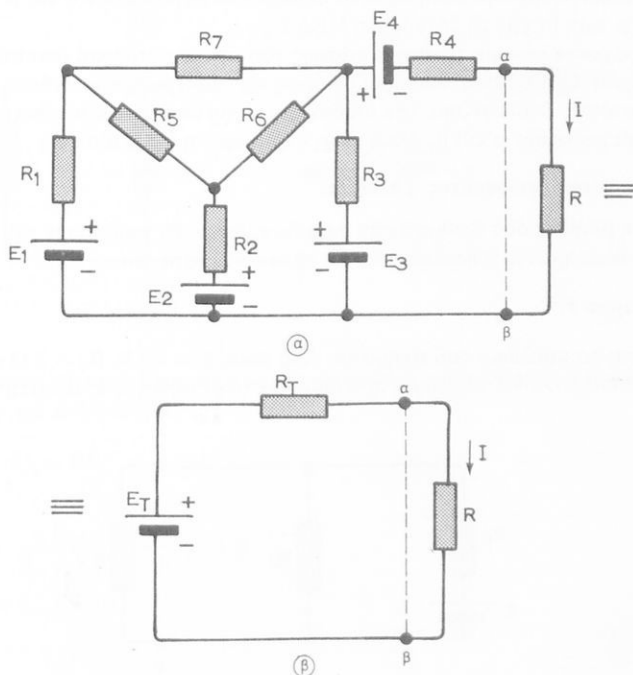
## 5.5 Τό θεώρημα τοῦ Thevenin – Έφαρμογές.

Πολλές φορές, έχομε στήν πράξη ένα σύνθετο κύκλωμα άπο πηγές και άντιστάτες και μᾶς ένδιαφέρει νά προσδιορίσουμε τό ρεῦμα και τήν πτώση τάσεως σέ ένα μόνο άντιστάτη τοῦ κυκλώματος. Στήν περίπτωση αυτή, μπορούμε βέβαια νά έπιλυσουμε τό κύκλωμα μέ τή βοήθεια τοῦ νόμου τοῦ Ohm και τῶν κανόνων τοῦ Kirchhoff, δπως περιγράψαμε στήν παράγραφο 5.3(ε). Ο τρόπος δμως αυτός είναι συνήθως έπιπονος, γιατί είμαστε ύποχρεωμένοι να προσδιορίσουμε τά ρεύματα και στούς ύπόλοιπους κλάδους τοῦ δικτύου, πού δέν μᾶς χρειάζονται.

Ἐπίσης ἔχομε πολλές φορές ἓνα σύνθετο κύκλωμα μέ μία **μεταβλητή κατανάλωση** και μᾶς ἐνδιαφέρει νά ξέρομε τό ρεῦμα, πού περνᾶ ἀπό τήν κατανάλωση σέ κάθε τιμή της. Ἡ ἐπίλυση μέ τή βοήθεια τῶν κανόνων τοῦ Kirchhoff εἶναι ἐπίσης πολὺ ἐπίπονη, ἐπειδή θά πρέπει νά ἐπιλύσουμε γενικά τό κύκλωμα ώς πρός τό ζητούμενο ρεῦμα και νά προσδιορίζουμε τήν τιμή του γιά κάθε ξεχωριστή τιμή τῆς καταναλώσεως ἀπό τό γενικό τύπο, πού μπορεῖ νά εἶναι ἔξαιρετικά σύνθετος.

Ὄταν μᾶς ἐνδιαφέρει νά προσδιορίσουμε τό ρεῦμα σέ μία μόνο κατανάλωση ἡ, πιό γενικά, σέ ἓνα κλάδο ἀπό καταναλώσεις ἐνός κυκλώματος, μποροῦμε νά ἀντικαταστήσουμε τό υπόλοιπο σύνθετο κύκλωμα, δηλαδή τό κύκλωμα ἐκτός ἀπό τήν κατανάλωση ἡ τόν κλάδο, μέ ἓνα ἀπλό, πού δυμώς εἶναι **ἰσοδύναμο** μέ τό σύνθετο.

**Δύο κυκλώματα, πού περιλαμβάνουν ήλεκτρικές πηγές, εἶναι ισοδύναμα, ὅταν δημιουργοῦν τό ίδιο ρεῦμα στήν ίδια κατανάλωση.** Τό σχῆμα 5.5α π.χ. δείχνει δύο ισοδύναμα κυκλώματα (a) και (b). Καί στά δύο, ρέει στήν κατανάλωση R τό ίδιο ρεῦμα I.



Σχ. 5.5α.

Σύμφωνα μέ τό θεώρημα τοῦ Thevenin, δύοιοιδήποτε σύνθετο γραμμικό κύκλωμα, συνδεδεμένο σέ δύο σημεῖα σέ ἕνα ἄλλο κύκλωμα (π.χ. σέ μία κατανάλωση), μπορεῖ νά ἀντικατασταθεῖ μέ ἕνα ἀπλό ίσοδύναμο κύκλωμα, ἀποτελούμενο ἀπό μία ιδιαίκη πηγή τάσεως  $E_T$  καὶ ἕνα ἀντιστάτη  $R_T$  σέ σειρά. (Γραμμικό κύκλωμα λέγεται ἕνα κύκλωμα, πού ἀποτελεῖται ἀπό γραμμικούς ἀντιστάτες καὶ πηγές. Γραμμική εἶναι μία πηγή μέ γραμμική ἐσωτερική ἀντίσταση, δηλαδή ἀντίσταση σταθερή καὶ ἀνεξάρτητη ἀπό τό ρεῦμα πού τή διαρρέει).

Τό σχῆμα 5.5α δείχνει ἕνα σύνθετο κύκλωμα (α) καὶ τό ίσοδύναμό του (β), σύμφωνα μέ τό θεώρημα Thevenin. Τό ἀριστερό μέρος τοῦ κυκλώματος (α) μεταξύ τῶν ἀκροδεκτῶν α καὶ β ἔχει ἀντικατασταθεῖ μέ τήν πηγή  $E_T$ , σέ σειρά μέ τόν ἀντιστάτη  $R_T$ . Στό δεξιό μέρος τῶν δύο κυκλωμάτων βρίσκεται ἡ ἴδια κατανάλωση  $R$ .

Γιά νά προσδιορίσομε τήν ΗΕΔ  $E_T$  καὶ τήν ἀντίσταση  $R_T$  τοῦ ίσοδυνάμου κυκλώματος, ἐργαζόμαστε ώς ἔξης:

- 1) Ἀποσυνδέομε τό σύνθετο κύκλωμα, πού θά ἀπλοποιηθεῖ, ἀπό τό ύπόλοιπο κύκλωμα, ὅστε νά παρουσιάσει δύο ἀκροδεκτές α, β.
- 2) Ὑπολογίζομε τήν τάση σέ κενό μεταξύ τῶν ἀκροδεκτῶν α καὶ β. Ἡ τάση αὐτή ἔχει τιμή ἵση μέ τή ζητούμενη ΗΕΔ  $E_T$ .

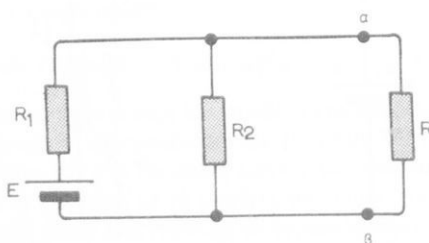
- 3) Βραχυκυκλώνομε τίς πηγές τάσεως τοῦ κυκλώματος καὶ ἀνοικτοκυκλώνομε τίς πηγές ρεύματος, διατηροῦμε δυμώς τίς ἐσωτερικές ἀντίστασεις τῶν πηγῶν. Κατόπιν, ύπολογίζομε τήν ίσοδύναμη ἀντίσταση τοῦ κυκλώματος, μεταξύ τῶν ἀκροδεκτῶν α καὶ β. Αὐτή εἶναι ἡ ζητούμενη ἀντίσταση  $R_T$ .

### Έφαρμογή τοῦ θεωρήματος Thevenin.

Μέ τή βοήθεια δύο ἀριθμητικῶν παραδειγμάτων, θά γνωρίσομε τήν έφαρμογή τοῦ θεωρήματος Thevenin καὶ τά πλεονεκτήματά του.

#### Παράδειγμα 1.

Δίνεται τό κύκλωμα τοῦ σχήματος 5.5β δύον  $E = 20 \text{ V}$ ,  $R_1 = 2 \Omega$  καὶ  $R_2 = 2 \Omega$ . Νά ύπολογισθεῖ τό ρεῦμα, πού διαρρέει τό μεταβλητό ἀντιστάτη  $R$ , δταν:



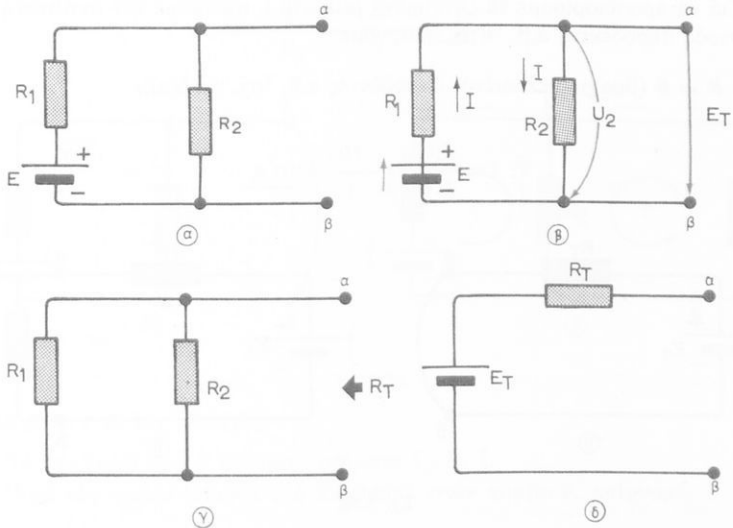
Σχ. 5.5β.

$R = 0 \Omega$ ,  $R = 1 \Omega$ ,  $R = 9 \Omega$  και  $R = \infty$ .

- α) Μέ τη βοήθεια του θεωρήματος του Thevenin.
- β) Μέ τη βοήθεια τῶν κανόνων του Kirchhoff.

### I) Λύση μέ τό θεώρημα Thevenin.

- a) Άποσυνδέομε τόν άντιστάτη  $R$  από τό κύκλωμα, ώστε νά παραμείνει τό σύνθετο κύκλωμα, πού θά άπλοποιήσομε, μέ τούς άκροδεκτες του  $\alpha$  και  $\beta$  [σχ. 5.5γ(α)].



Σχ. 5.5γ.

- β) Η τάση σέ κενό  $E_T$  μεταξύ τῶν άκροδεκτῶν  $\alpha, \beta$ , είναι ίση μέ τήν τάση  $U_2$  στά άκρα τοῦ άντιστάτη  $R_2$  [σχ. 5.5γ(β)].

$$E_T = U_2 = IR_2$$

$$I = \frac{E}{R_1 + R_2} = \frac{20}{4} = 5 \text{ A}$$

$$E_T = 5 \cdot 2 = 10 \text{ V}$$

$$\underline{E_T = 10 \text{ V}}$$

- γ) Βραχυκλώνομε τήν πηγή τάσεως  $E$ . Έτσι, προκύπτει τό κύκλωμα τοῦ σχήματος 5.5γ(γ).

Η ισοδύναμη άντισταση  $R_T$  μεταξύ των άκρων δεκτῶν α,β, βρίσκεται άπό τήν παράλληλη σύνδεση των άντιστασῶν  $R_1, R_2$ :

$$R_T = \frac{R_1 R_2}{R_1 + R_2} = \frac{2 \cdot 2}{2 + 2} = 1 \Omega$$

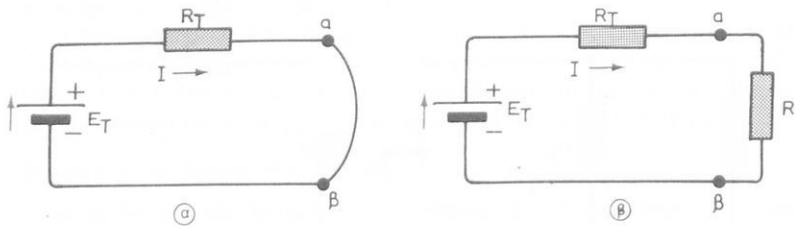
$$\underline{R_T = 1 \Omega}$$

Τό σχῆμα 5.5γ(δ) δίνει τό ισοδύναμο κύκλωμα Thevenin.

Γιά νά προσδιορίσουμε τά ζητούμενα ρεύματα I, συνδέομε τόν άντιστάτη R στούς άκροδέκτες α,β. Έτσι, παίρνομε:

Γιά  $\mathbf{R = 0}$  (βραχυκυκλωμένοι άκροδέκτες α,β, [σχ. 5.5δ(α)]:

$$I = \frac{E_T}{R_T} = \frac{10}{1} = \underline{10 \text{ A}}$$



Σχ. 5.5δ.

Γιά  $\mathbf{R = 1 \Omega}$  [σχ. 5.5δ(β)]:

$$I = \frac{E_T}{R_T + R} = \frac{10}{1 + 1} = \underline{5 \text{ A}}$$

Γιά  $\mathbf{R = 9 \Omega}$  [σχ. 5.5δ(β)]:

$$I = \frac{E_T}{R_T + R} = \frac{10}{1 + 9} = \underline{1 \text{ A}}$$

Γιά  $\mathbf{R = \infty}$  [σχ. 5.5γ(δ)]:

$$I = \frac{E_T}{R_T + R} = \frac{E}{\infty} = \underline{0 \text{ A}}$$

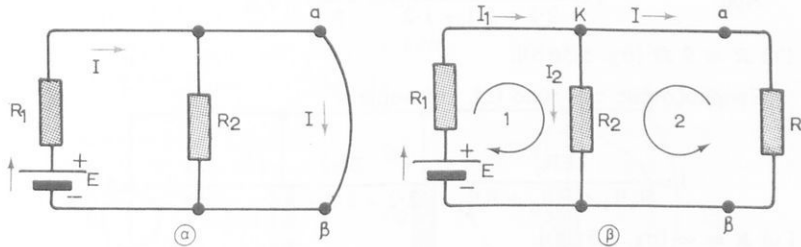
Το άποτέλεσμα είναι βέβαια άμεσως φανερό άπό τό σχήμα 5.5γ(δ), γιατί δ- ταν έχουμε άνοικτό κύκλωμα, δέν ρέει ρεύμα μεταξύ των άκρων δεκτών α,β.

## 2) Λύση μέ τούς κανόνες τοῦ Kirchhoff.

Γιά  $R = O \Omega$  [σχ. 5.5ε(α)].

Ο άντιστάτης  $R_2$  είναι βραχυκυκλωμένος και δέν ρέει ρεύμα άπό αυτόν.  
Αρα:

$$I = \frac{E}{R_1} = \frac{20}{2} = 1 \text{ A}$$



Σχ. 5.5ε.

Γιά  $R = I \Omega$  [σχ. 5.5ε(β)].

Τό κύκλωμα έχει 3 αγνωστα ρεύματα  $I_1$ ,  $I_2$ ,  $I$ .

Από τόν πρώτο κανόνα τοῦ Kirchhoff, στόν κόμβο K παίρνομε:

$$I_1 = I_2 + I \quad (1)$$

Από τό δεύτερο κανόνα τοῦ Kirchhoff, στούς βρόχους 1 και 2 έχομε:

$$E = I_1 R_1 + I_2 R_2 \quad (2)$$

$$I_2 R_2 - IR = 0 \quad (3)$$

Η (1) στή (2) δίνει:

$$E = (I_2 + I) R_1 + I_2 R_2 = I_2(R_1 + R_2) + IR_1$$

και

$$I_2 = \frac{E - IR_1}{R_1 + R_2} \quad (4)$$

Η (4) στήν (3) δίνει:

$$\frac{E - IR_1}{R_1 + R_2} R_2 - IR = 0$$

$$\text{η } ER_2 - IR_1 R_2 - IRR_1 - IRR_2 = 0$$

και  $I = \frac{ER_2}{R_1 R_2 + RR_1 + RR_2}$  (5)

Άρα:  $I = \frac{20 \cdot 2}{2 \cdot 2 + 2 \cdot 1 + 1 \cdot 2} = \frac{40}{8} = 5 \text{ A}$

Γιά  $R = 9 \Omega$  [σχ. 5.5ε(β)].

Έφαρμόζοντας τόν τύπο (5), παίρνουμε:

$$I = \frac{ER_2}{R_1 R_2 + RR_1 + RR_2} = \frac{20 \cdot 2}{2 \cdot 2 + 9 \cdot 2 + 9 \cdot 2} = \frac{40}{40} = 1 \text{ A}$$

Γιά  $R = \infty$  [σχ. 5.5γ(α)].

Μεταξύ τῶν ἀκροδεκτῶν  $\alpha, \beta$  δέν ρέει ρεῦμα. Άρα:

$$I = 0$$

Συγκρίνοντας τά ἀποτελέσματα, πού πήραμε μέ τίς δυό μεθόδους, διαπιστώνομε δτι εἶναι τά ίδια σέ κάθε περίπτωση. Μέ τή μέθοδο δυως τοῦ Thevenin, τό ρεῦμα στόν ἀντιστάτη  $R$  ύπολογίζεται ἀμέσως, ἐνῶ μέ τούς κανόνες τοῦ Kirchhoff, χρειάζεται ἀρκετή διαδικασία. Καί ή διαδικασία αὐτή εἶναι τόσο πιό πολύπλοκη, δσο πιό σύνθετο εἶναι τό δίκτυο πού ἐπιλύομε.

### Παράδειγμα 2.

Δίνεται τό κύκλωμα τοῦ σχήματος 5.5στ.

Νά ύπολογισθεῖ τό ισοδύναμο κύκλωμα Thevenin.

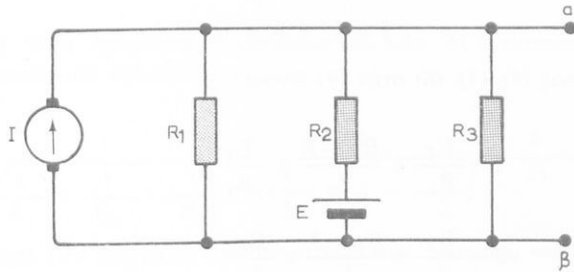
*Αύση.*

a) *Υπολογισμός τῆς  $E_T$ .*

Η  $E_T$  εἶναι ή τάση σέ κενό μεταξύ τῶν ἀκροδεκτῶν  $\alpha$  καὶ  $\beta$ . Η τάση αὐτή εἶναι ίδια στά ἄκρα τῶν ἀντιστατῶν  $R_1$  καὶ  $R_3$  (σχ. 5.5ζ).

Άρα:

$$I_1 = \frac{E_T}{R_1} \quad (6)$$



$$I = 2 \text{ A}$$

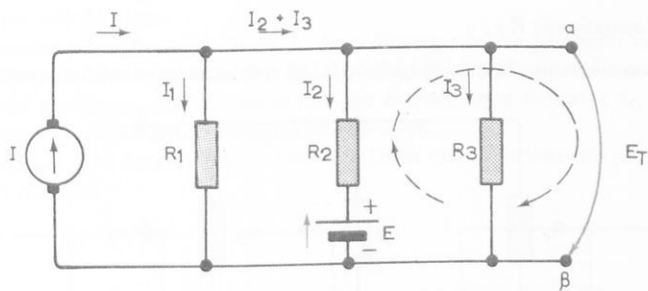
$$E = 3 \text{ V}$$

$$R_1 = 3 \Omega$$

$$R_2 = 1 \Omega$$

$$R_3 = 2 \Omega$$

$\Sigma \chi, 5.5 \sigma \tau.$



$\Sigma \chi, 5.5 \zeta,$

$$I_3 = \frac{E_T}{R_3} \quad (7)$$

Για τό ρεῦμα  $I_2$  στόν κλάδο 2 παίρνομε, ἂν θεωρήσομε τό βρόχο πού είναι σημειωμένος στό σχῆμα 5.5ζ:

$$E = -I_2 R_2 + E_T$$

καὶ

$$I_2 = \frac{E_T - E}{R_2} \quad (8)$$

Τό ρεῦμα  $I$  διαμοιράζεται στά ρεύματα  $I_1$ ,  $I_2$  καί  $I_3$ . Άρα, ἐφαρμόζοντας τόν πρῶτο κανόνα τοῦ Kirchoff στόν κόμβο  $K$ , παίρνομε:

$$I = I_1 + I_2 + I_3 \quad (9)$$

Oí éξισώσεις (6), (7), (8) στήν (9) δίνουν:

$$I = \frac{E_T}{R_1} + \frac{E_T - E}{R_2} + \frac{E_T}{R_3} \quad (10)$$

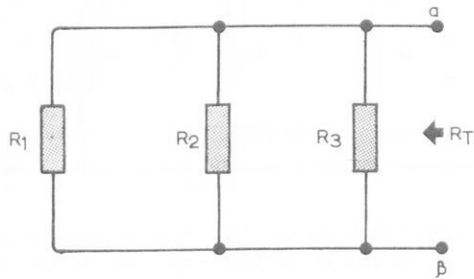
$$\eta \quad 2 = \frac{E_T}{3} + \frac{E_T - 3}{1} + \frac{E_T}{2}$$

$$\eta \quad 12 = 2E_T + 6E_T - 18 + 3E_T$$

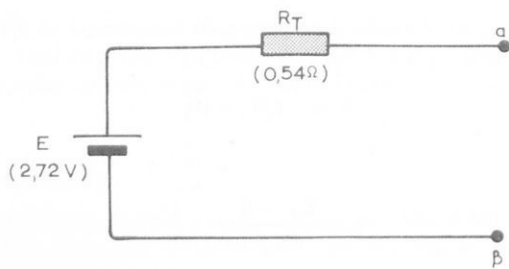
και  $E_T = \frac{30}{11} = 2,72 \text{ V}$

### β) Υπολογισμός της $R_T$ .

Βραχυκυκλώνομε τήν πηγή τάσεως  $E$  και ἀνοικτοκυκλώνομε τήν πηγή ρεύ-



Σχ. 5.5η.



Σχ. 5.5θ.

ματος I. Έτσι, προκύπτει τό κύκλωμα του 5.5η. Η άντισταση  $R_T$  μεταξύ των άκρων α,β είναι:

$$R_T = \frac{1}{\frac{1}{R_1} + \frac{1}{R_2} + \frac{1}{R_3}} = \frac{1}{(\frac{1}{3} + 1 + \frac{1}{2})} = \frac{6}{11} = 0,54 \Omega$$

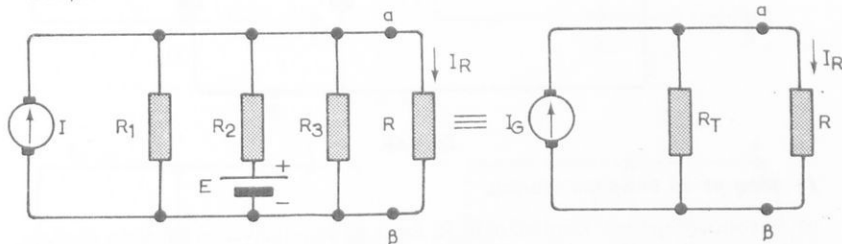
Τό σχήμα 5.5θ δείχνει τό ισοδύναμο κύκλωμα Thevenin, τού κυκλώματος 5.5στ.

### 5.6 Τό θεώρημα τού Norton – Έφαρμογές.

Ένα άλλο θεώρημα πού μᾶς βοηθά νά προσδιορίσουμε τό ρεῦμα σέ ένα άντιστάτη ή κλάδο ένός συνθέτου δικτύου, δπως τό θεώρημα Thevenin, είναι τό θεώρημα τού Norton.

Σύμφωνα μέ τό θεώρημα Norton, **δποιοδήποτε σύνθετο γραμμικό κύκλωμα, συνδεδεμένο σέ δύο σημεῖα σέ ένα άλλο κύκλωμα, μπορεῖ νά άντικατασταθεῖ μέ ένα άπλο ισοδύναμο, άποτελουμένο άπό μία ίδανικη πηγή ρεύματος  $I_G$  και ένα άντιστάτη  $R_T$ , παράλληλα συνδεδεμένο στήν πηγή.**

Τό σχήμα 5.6α δείχνει ένα σύνθετο κύκλωμα και τό ισοδύναμο μέ αυτό κύκλωμα Norton.



Σχ. 5.6α.

Γιά νά προσδιορίσουμε τό ρεῦμα τῆς πηγῆς  $I_G$  και τήν άντισταση  $R_T$  τού κυκλώματος Norton, ἐργαζόμαστε ως έξης:

1) Αποσυνδέομε τό σύνθετο κύκλωμα, πού θά άπλοποιηθεῖ, άπό τό ύπόλοιπο κύκλωμα (κατανάλωση, κλάδο κλπ.), ώστε νά παρουσιάσει δύο άκροδεκτες α και β.

2) Βραχυκυκλώνομε τούς άκροδεκτες α,β, και ύπολογίζομε τό ρεῦμα βραχυκυκλώσεως πού περνά μεταξύ των άκρων άκροδεκτῶν. Τό ρεῦμα αυτό είναι ίσο μέ τό ρεῦμα  $I_G$  τῆς πηγῆς ρεύματος.

3) Βραχυκυκλώνομε τίς πηγές τάσεως και άνοικτοκυκλώνομε τίς πηγές ρεύματος, διατηρώντας τίς άντιστάσεις τῶν πηγῶν, δπως άκριβῶς στήν περίπτωση τού κυκλώματος Thevenin. Κατόπιν ύπολογίζομε τήν ισοδύναμη άντιστα-

ση τοῦ κυκλώματος μεταξύ τῶν ἀκροδεκτῶν α καὶ β. Ἡ ἀντίσταση αὐτῆς εἶναι ἡ ἀντίσταση τοῦ κυκλώματος Norton καὶ, ἐπειδή εἶναι λίδια μὲν ἐκείνη τοῦ κυκλώματος Thevenin, τῇ συμβολίζομε μέν  $R_T$ .

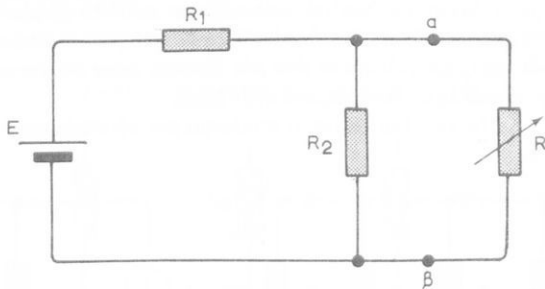
### Ἐφαρμογή τοῦ θεωρήματος Norton.

Δύο ἀριθμητικά παραδείγματα θά μᾶς βοηθήσουν νά γνωρίσομε τήν ἐφαρμογή τοῦ θεωρήματος Norton.

#### Παράδειγμα 1.

Δίνεται τό κύκλωμα τοῦ σχήματος 5.6β, διόπου  $E = 6 \text{ V}$ ,  $R_1 = 3 \Omega$  καὶ  $R_2 = 6 \Omega$ . Νά ύπολογισθεῖ τό ρεῦμα, πού διαρρέει τό μεταβλητό ἀντιστάτη  $R$  διταν:  $R = 0 \Omega$ ,  $R = 2 \Omega$  καὶ  $R = \infty$ .

- Μέ τή βοήθεια τοῦ θεωρήματος Norton.
- Μέ τή βοήθεια τῶν κανόνων τοῦ Kirchhoff.



Σχ. 5.6β.

#### 1) Λύση μέ τό θεώρημα Norton.

- Αποσυνδέομε τήν κατανάλωση  $R$ , ὥστε νά παραμείνει τό σύνθετο κύκλωμα, πού θά ἀπλοποιηθεῖ, μέ τούς ἀκροδέκτες  $\alpha$ ,  $\beta$  [σχ. 5.6γ(α)].
- Βραχυκυκλώνομε τούς ἀκροδέκτες  $\alpha$ ,  $\beta$ . Έτσι, προκύπτει τό κύκλωμα τοῦ σχήματος 5.6γ(β).

Τό ρεῦμα  $I_G$  εἶναι:

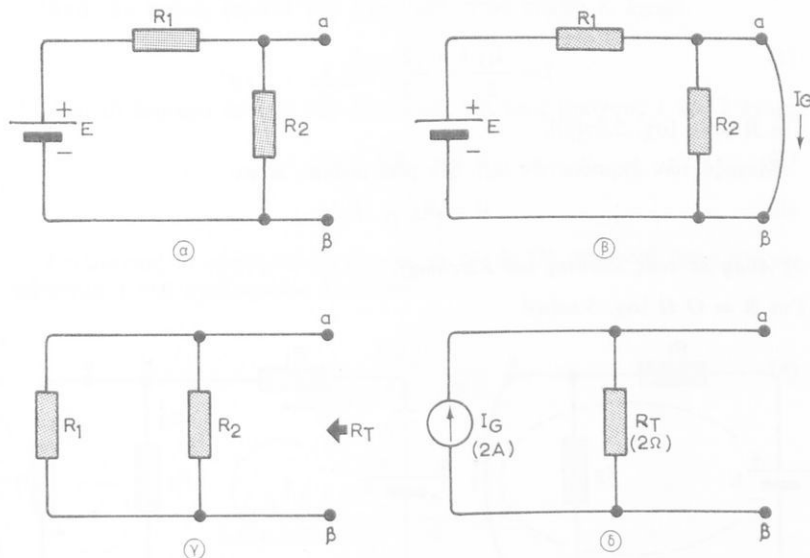
$$I_G = \frac{E}{R_1} = \frac{6}{3} = 2 \text{ A}$$

- Βραχυκυκλώνομε τήν πηγή τάσεως  $E$  [σχ. 5.6γ(γ)] καὶ ύπολογίζομε τήν  $R_T$ :

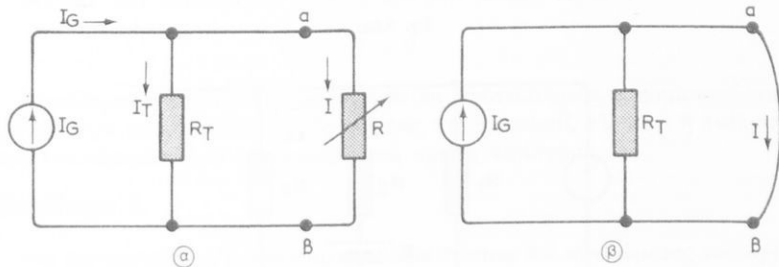
$$R_T = \frac{R_1 R_2}{R_1 + R_2} = \frac{3 \cdot 6}{3 + 6} = \frac{18}{9} = 2 \Omega$$

Τό ίσοδύναμο κύκλωμα Norton φαίνεται στό σχήμα 5.6γ(δ).

Γιά νά προσδιορίσουμε τά ζητούμενα ρεύματα  $I$ , συνδέομε τό μεταβλητό άντιστάτη  $R$ , στούς άκροδέκτες  $\alpha, \beta$  τού ίσοδυνάμου κυκλώματος [σχ. 5.6δ(α)].



Σχ. 5.6γ.



Σχ. 5.6δ.

Γιά  $R = 0 \Omega$  (βραχύκυκλωμένοι άκροδέκτες  $\alpha, \beta$ , σχήμα [5.6δ(β)]):

Από τήν  $R_T$  δέν ρέει ρεύμα. Έτσι:

$$I = I_G = 2 \text{ A}$$

Γιά  $R = 2 \Omega$  [σχ. 5.6δ(a)].

Τό ρεῦμα  $I_G$  διαμοιράζεται σέ δύο ίσα ρεύματα  $I$  και  $I_T$  (έπειδή  $R = R_T$ ).  
Άρα:

$$I = \frac{I_G}{2} = \frac{2}{2} = 1 \text{ A}$$

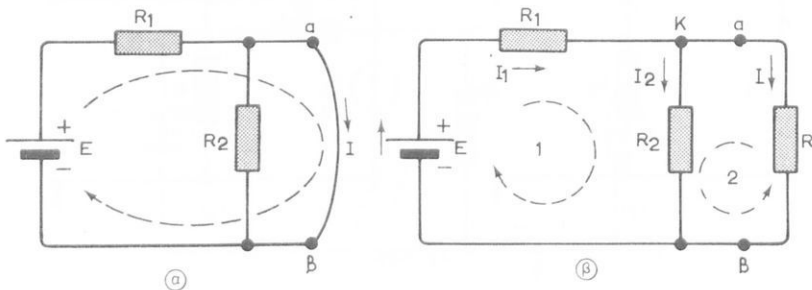
Γιά  $R = \infty$  [σχ. 5.6γ(δ)].

Μεταξύ τῶν ἀκροδεκτῶν  $\alpha, \beta$ , δέν ρέει ρεῦμα. Άρα:

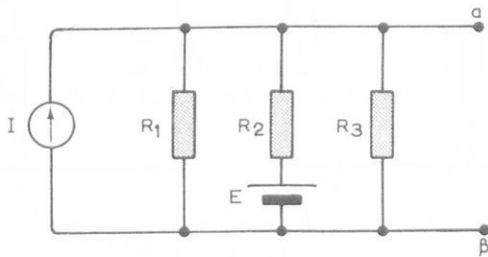
$$I = 0$$

2) Λύση μέ τούς κανόνες τοῦ Kirchhoff.

Γιά  $R = 0 \Omega$  [σχ. 5.6ε(a)].



Σχ. 5.6ε



Σχ. 5.6ετ.

Από τό βρόχο πού εἶναι σημειωμένος στό σχῆμα 5.6ε(a), ἔχουμε:

$$E = IR_1$$

$$I = \frac{E}{R_1} = \frac{6}{3} = 2 \text{ A}$$

Γιά  $R = 2 \Omega$  [σχ. 5.6ε(β)].

Από τόν πρώτο κανόνα τοῦ Kirchhoff, στόν κόμβο Κ έχομε:

$$I_1 = I_2 + I \quad (1)$$

Από τό δεύτερο κανόνα τοῦ Kirchhoff, γιά τούς βρόχους 1 και 2 έχομε:

$$E = I_1 R_1 + I_2 R_2 \quad (2)$$

$$I_2 R_2 - IR = 0 \quad (3)$$

Έπιλύοντας τό σύστημα τῶν ἔξισώσεων (1) ὥς (3), παίρνομε δπως στό παράδειγμα 1 τοῦ κυκλώματος Thevenin:

$$I = \frac{ER_2}{R_1 R_2 + RR_1 + RR_2} \quad (4)$$

Άρα:

$$I = \frac{6 \cdot 6}{3 \cdot 6 + 2 \cdot 3 + 2 \cdot 6} = \frac{36}{36} = 1 \text{ A}$$

Γιά  $R = \infty$  [σχ. 5.6γ(α)].

Μεταξύ τῶν ἀκροδεκτῶν α και β δέν ρέει ρεῦμα. Άρα:

$$I = 0$$

Παρατηροῦμε καὶ ἐδῶ δτι παίρνομε τά ἴδια ἀποτελέσματα, χρησιμοποιώντας τό θεώρημα τοῦ Norton και τούς κανόνες τοῦ Kirchhoff, ἀλλά δτι ή ἀνάλυση τοῦ κυκλώματος εἶναι εὐκολότερη στή πρώτη περίπτωση.

## Παράδειγμα 2.

Νά ύπολογισθεῖ τό ισοδύναμο κύκλωμα Norton τοῦ κυκλώματος τοῦ σχήματος 5.6στ, δπου  $I = 2 \text{ A}$ ,  $R_1 = 3 \Omega$ ,  $R_2 = 2 \Omega$ ,  $R_3 = 1 \Omega$  και  $E = 3 \text{ V}$ .

### a) Προσδιορισμός τοῦ ρεύματος $I_G$ .

Βραχυκυκλώνομε τού ἀκροδέκτες α,β. Έτσι, βραχυκυκλώνονται οι ἀντιστάτες  $R_1$  και  $R_3$  και δημιουργεῖται τό κύκλωμα ποὺ δείχνει τό σχῆμα 5.6ζ(α).

Από τόν πρώτο κανόνα τοῦ Kirchhoff, στόν κόμβο Κ παίρνομε:

$$I_G = I_3 + I \quad (1)$$

Από τό δεύτερο κανόνα του Kirchhoff, στό σημειωμένο βρόχο έχομε:

$$E = I_3 R_3$$

και

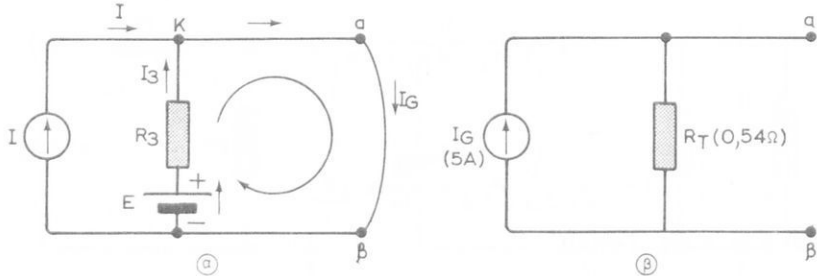
$$I_3 = \frac{E}{R_3} = \frac{3}{1} = 3 \text{ A} \quad (2)$$

Από τήν (1) και (2) προκύπτει:

$$I_G = 3 + 2 = \underline{5 \text{ A}}$$

### β) Προσδιορισμός της άντιστάσεως $R_T$ .

Βραχυκλώνοντας τήν Ε και άνοικτο κυκλώνοντας τήν I, παίρνομε τό κύκλωμα του σχήματος 5.6ζ.



Σχ. 5.6ζ.

Όπως στήν περίπτωση του παραδείγματος 2, τῶν ἐφαρμογῶν τοῦ θεωρήματος Thevenin, ή άντιστασή μεταξύ τῶν άκρων  $\alpha$  καὶ  $\beta$  εἶναι:

$$R_T = \frac{6}{11} = 0,54 \Omega$$

Τό σχῆμα 5.6ζ( $\beta$ ) δείχνει τό ζητούμενο ίσοδύναμο κύκλωμα Norton.

### 5.7 Ισοδυναμία τῶν κυκλώμάτων Thevenin καὶ Norton.

Στό σχῆμα 5.7α, τό (α) δείχνει τό ίσοδύναμο κύκλωμα Thevenin ἐνός συνθέτου κυκλώματος A καὶ τό (β) τό ίσοδύναμο κύκλωμα Norton τοῦ ιδίου κυκλώματος.

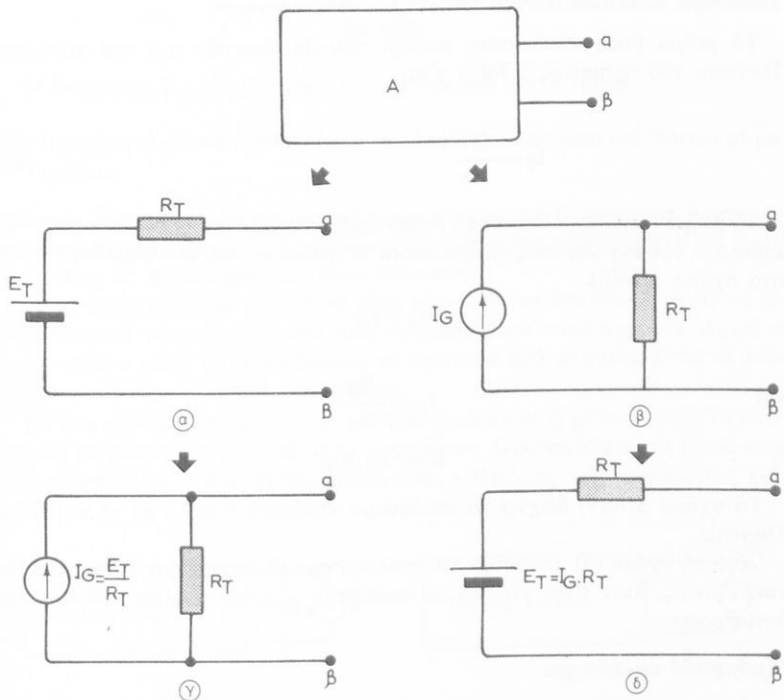
Μποροῦμε νά προσδιορίσομε τό ίσοδύναμο Thevenin τοῦ κυκλώματος Norton, πού είναι ταυτόχρονα καὶ τό ίσοδύναμο Thevenin τοῦ κυκλώματος A.

Έπισης, μπορούμε νά προσδιορίσουμε τό ίσοδύναμο Norton τοῦ κυκλώματος Thevenin, πού έπισης είναι ταυτόχρονα τό ίσοδύναμο Norton τοῦ κυκλώματος A.

### Ισοδύναμο κύκλωμα Thevenin τοῦ κυκλώματος Norton.

Η τάση σέ κενό μεταξύ τῶν ἀκροδεκτῶν α καί β τοῦ κυκλώματος Norton [σχ. 5.7a(β)] είναι:

$$E_o = I_G R_T \quad (1)$$



Σχ. 5.7a.

Έπειδή τό κύκλωμα Norton είναι ίσοδύναμο μέ τό A, ή τάση σέ κενό  $E_o$  είναι ίση μέ τήν τάση σέ κενό μεταξύ τῶν ἀκροδεκτῶν τοῦ κυκλώματος A, ἢρα ίση καί μέ τήν τάση  $E_T$  τοῦ ίσοδυνάμου μέ τό A κυκλώματος Thevenin τοῦ σχήματος 5.7a(a):

$$E_o = E_T \quad (2)$$

καὶ

$$E_T = I_G R_T$$

(3)

ΤΗ άντισταση  $R_T$  είναι ίδια καὶ στά δύο κυκλώματα Thevenin καὶ Norton ὅπως ηδη ἔχομε ἀποδεῖξεν.

Στό σχῆμα 5.7a(δ) φαίνεται τό ισοδύναμο κύκλωμα Thevenin μέ τό κύκλωμα Norton.

ΤΗ σχέση (3) δίνει τήν άντιστοιχία μεταξύ τάσεως καὶ ρεύματος τῶν δύο κυκλωμάτων. Τήν ίδια σχέση παίρνομε, ἂν ύπολογίσομε τό ισοδύναμο Norton μέ τό κύκλωμα Thevenin.

### *Ισοδύναμο κύκλωμα Norton τοῦ κυκλώματος Thevenin.*

Τό ρεῦμα βραχυκυκλώσεως μεταξύ τῶν ἀκροδεκτῶν  $\alpha, \beta$  στό κύκλωμα Thevenin τοῦ σχήματος 5.7a(a) είναι:

$$I_\beta = \frac{E_T}{R_T} \quad (4)$$

Τό ρεῦμα αὐτό είναι ίδιο μέ τό ρεῦμα βραχυκυκλώσεως μεταξύ τῶν ἀκροδεκτῶν  $\alpha, \beta$ , τοῦ κυκλώματος A, ἄρα ίσο μέ τό ρεῦμα  $I_G$  τοῦ κυκλώματος Norton στό σχῆμα 5.7a(β).

$$I_\beta = I_G \quad (5)$$

$$\text{καὶ} \quad I_G = \frac{E_T}{R_T} \quad (6)$$

$$\checkmark \quad E_T = I_G R_T \quad (3)$$

Τό σχῆμα 5.7a(γ) δείχνει τό ισοδύναμο κύκλωμα Norton μέ τό κύκλωμα Thevenin.

Από τή σχέση (3) μποροῦμε νά ύπολογίσομε τό ισοδύναμο Thevenin ἐνός κυκλώματος, δταν είναι γνωστό τό ισοδύναμο μέ αὐτό κύκλωμα Norton καὶ ἀντίστροφα.

### *Άριθμητικό παράδειγμα.*

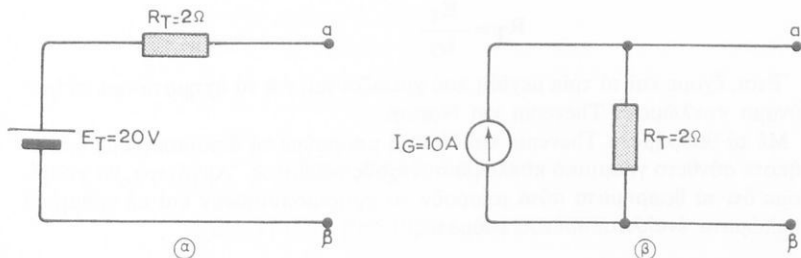
Δίνεται τό ισοδύναμο κύκλωμα Thevenin ἐνός συνθέτου κυκλώματος [σχ. 5.7β(α)].

Νά ύπολογισθεῖ τό ισοδύναμο κύκλωμα Norton τοῦ κυκλώματος αὐτοῦ.

### *Αύση.*

Από τή σχέση (3) ἔχομε:

$$I_G = \frac{E_T}{R_T} = \frac{20}{2} = 10 \text{ A}$$



Σχ. 5.7β.

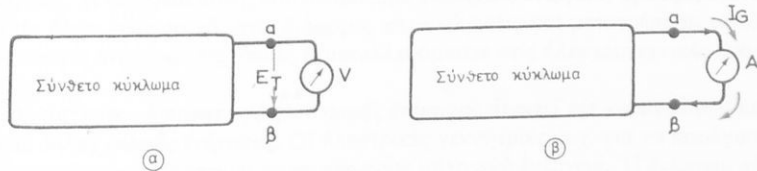
ΤΗ άντισταση  $R_T$  είναι ίδια στά δύο κυκλώματα [σχ. 5.7β(β)].

### 5.8 Προσδιορισμός τῶν ισοδυνάμων κυκλωμάτων Thevenin καὶ Norton μέτρησεις.

Μέχρι τώρα ύπολογίσαμε τά ισοδύναμα κυκλώματα Thevenin καὶ Norton ἀπό τό σύνθετο κύκλωμα, τό όποιο θεωρήσαμε δοσμένο μέ γνωστές ΗΕΔ Ε καὶ άντιστάτες  $R$ . Αυτό δημοσίευτο είναι άπαραίτητο.

Τό σύνθετο κύκλωμα μπορεῖ νά είναι κλεισμένο σέ ένα κουτί, χωρίς νά ξέρουμε τή δομή του, τίς πηγές καὶ τούς άντιστάτες πού περιλαμβάνει. Άρκει οί άκροδέκτες  $\alpha$  καὶ  $\beta$  τοῦ κυκλώματος νά βγαίνουν ἀπό τό κουτί, ώστε νά μπορούμε νά κάνουμε μετρήσεις σέ αὐτούς.

Μέ ένα κατάλληλο βολτόμετρο V (ήλεκτροστατικό ή μέ πολύ μεγάλη άντισταση) μετρούμε τήν τάση σέ κενό μεταξύ τῶν άκροδεκτῶν  $\alpha$  καὶ  $\beta$  τοῦ κουτιοῦ (σχ. 5.8α καὶ 5.8β). Τή τάση αὐτή είναι ή ΗΕΔ  $E_T$  τοῦ κυκλώματος Thevenin.



Σχ. 5.8.

Κατόπιν βραχυκυκλώνομε τούς άκροδέκτες  $\alpha, \beta$  καὶ μέ ένα άμπερόμετρο A, μέ πολύ μικρή άντισταση πού παρεμβάλλομε, μετρούμε τό ρεῦμα βραχυκυκλώσεως, πού περνᾶ μεταξύ τῶν  $\alpha$  καὶ  $\beta$ . Τό ρεῦμα αὐτό είναι τό ρεῦμα  $I_G$  τοῦ ισοδυνάμου κυκλώματος Norton. Από τά δύο μεγέθη  $E_T$  καὶ  $I_G$  εύκολα ύπολογίζεται ή άντισταση  $R_T$  τῶν ισοδυνάμων κυκλωμάτων, μέ τή βοήθεια τῆς σχέσεως (3) τῆς παραγράφου 5.7.

$$R_T = \frac{E_T}{I_G}$$

Έτσι, έχουμε και τά τρία μεγέθη πού χρειάζονται, γιά νά σχηματίσουμε τά ίσοδύναμα κυκλώματα Thevenin και Norton.

Μέ τά θεωρήματα Thevenin και Norton μποροῦμε νά άπλοποιήσουμε όποιοδήποτε σύνθετο γραμμικό κύκλωμα συνεχοῦς ρεύματος. Άργότερα, θά γνωρίσουμε δτι τά θεωρήματα αυτά μποροῦν νά χρησιμοποιηθοῦν και σέ γραμμικά κυκλώματα έναλλασσομένου ρεύματος.

---

## ΚΕΦΑΛΑΙΟ ΕΚΤΟ

### ΗΛΕΚΤΡΙΚΗ ΕΝΕΡΓΕΙΑ ΚΑΙ ΙΣΧΥΣ

#### 6.1 Οι διάφορες έκφρασεις της ήλεκτρικής ένέργειας.

Τό ήλεκτρικό ρεῦμα γίνεται άντιληπτό, δπως ξέρουμε, από τά άποτελέσματά του. Ήλεκτρικό ρεῦμα, πού διαρρέει άγωγούς και άντιστάτες, π.χ. τούς άντιστάτες μιᾶς ήλεκτρικής θερμάστρας, ένός ήλεκτρικού φούρνου κλπ., άναπτύσσει θερμότητα, έχει δηλαδή σάν άποτέλεσμα τήν έμφανιση **θερμικής ένέργειας**. Τό ήλεκτρικό ρεῦμα, πού διαρρέει ήλεκτρολύτες (ύγρα διαλύματα οξεών, βάσεων ή άλατων) προξενεῖ χημικές άντιδράσεις, π.χ. τήν παρασκευή άεριών, μετάλλων κλπ., δηλαδή έχει σάν άποτέλεσμα τήν έμφανιση **χημικής ένέργειας**. Τό ρεῦμα, πού διοχετεύεται σέ ήλεκτρικούς κινητήρες (κινητήρες ήλεκτρικῶν τραίνων, άντλιων άσσανσέρ κλπ.), δημιουργεῖ κίνηση, πού χρησιμοποιεῖται άπό τά διάφορα μηχανήματα, έμφανίζεται δηλαδή σάν **μηχανική ένέργεια**.

Σύμφωνα μέ τήν **άρχιη της διατηρήσεως της ένέργειας**, ένέργεια δρισμένης μορφής δέν μπορεῖ νά δημιουργηθεῖ άπό τό μηδέν, ούτε καί νά χαθεῖ. Προέρχεται πάντοτε άπό ένέργεια μιᾶς άλλης μορφής, πού μετατρέπεται στή νέα μορφή, άνω τό δόλικό ποσό της ένέργειας παραμένει σταθερό. Αύτό μᾶς δόηγει στό συμπέρασμα δτι τό ήλεκτρικό ρεῦμα, πού έχει σάν άποτέλεσμα τήν έμφανιση διαφόρων μορφῶν ένέργειας, πρέπει νά άποτελεῖ και τό ίδιο κάποια μορφή ένέργειας. Ή ένέργεια αυτή, πού δονομάζομε **ήλεκτρική ένέργεια**, προσφέρεται άπό τίς ήλεκτρικές πηγές στίς διάφορες καταναλώσεις και μετατρέπεται σέ άλλες μορφές ένέργειας τίς οποῖες έκμεταλλευόμαστε στίς ήλεκτροτεχνικές έφαρμογές\*.

Άντιστροφα, ή **παραγωγή ήλεκτρικής ένέργειας άπαιτει τήν κατανάλωση κάποιας άλλης μορφής ένέργειας**. Οι ήλεκτρικές γεννήτριες, π.χ. γιά νά παράγουν ήλεκτρικό ρεῦμα, πρέπει νά καταναλώσουν μηχανική ένέργεια. Ή ένέργεια αυτή χρησιμοποιεῖται γιά τό διαχωρισμό τῶν ήλεκτρικῶν φορτίων στό έσωτερο τής γεννήτριας και τή μεταφορά τους στούς άντιστοιχους πόλους, ώστε νά δημιουργηθεῖ ΗΕΔ.

Σέ ενα ύδροηλεκτρικό έργοστάσιο, τή μηχανική ένέργεια προσφέρει τό νερό, πού περνᾶ μέ πίεση μέσα άπό τούς ύδροστρόβιλους. Τούς κινεῖ και αυτοί

\* Μέ τόν δρό «καταναλώσεις» έννοοῦμε έδω κάθε είδους συσκευές ή μηχανές, πού χρησιμοποιούν ήλεκτρικό ρεῦμα γιά τήν έκτέλεση κάποιας έργασίας.

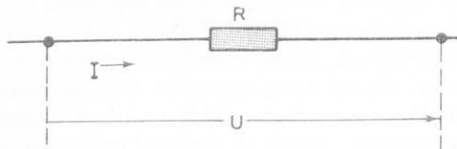
μέ τή σειρά τους κινοῦν τίς γεννήτριες. Σέ ενα θερμοηλεκτρικό έργοστάσιο ή χημική ένέργεια τῶν καυσίμων (πετρελαίου, ανθρακα κλπ.) μετατρέπεται κατά τήν καύση σε θερμική ένέργεια. Αντή χρησιμοποιεῖται γιά τή δημιουργία άτμου ύπο πίεση, ο διόπιος κινεῖ τούς άτμοστρόβιλους. Στούς άτμοστρόβιλους ή θερμική ένέργεια μετατρέπεται σέ μηχανική, πού προσφέρεται στίς γεννήτριες γιά νά μετατραπεῖ τέλος σέ ηλεκτρική ένέργεια.

Τήν ηλεκτρική ένέργεια, πού προσφέρεται μία πηγή σε μία κατανάλωση, μποροῦμε νά ύπολογίσουμε άπό τή θερμική, μηχανική κ.ο.κ. ένέργεια πού άποδιδεί ή κατανάλωση αυτή, έφ' δσον ίσχυει ή άρχη τῆς διατηρήσεως τῆς ένέργειας. Μέ αυτό τόν τρόπο ύπολόγισε ο Ἀγγλος Φυσικός Joule, στά μέσα τοῦ περασμένου αἰώνα, τήν ηλεκτρική ένέργεια πού προσφέρεται σέ ενα ώμικο άντιστάτη, μετρώντας τή θερμότητα πού άποδιδεί ή άντιστάτης. Γι' αυτό, ή θερμότητα αυτή δονομάστηκε **θερμότητα Joule**.

Ο Joule άπειδειε διτή ή ηλεκτρική ένέργεια A είναι άναλογη τοῦ τετραγώνου τῆς έντασεως τοῦ ρεύματος I, τῆς άντιστάσεως R τοῦ άντιστάτη καὶ τοῦ χρόνου t, πού διαρκεῖ ή ροή τοῦ ρεύματος (σχ. 6.1):

$$A = cI^2Rt \quad (1)$$

δπον c μία σταθερά έξαρτώμενη άπό τίς χρησιμοποιούμενες μονάδες τῶν μεγεθῶν A, I, R καὶ t.



Σχ. 6.1.

Μέ τίς μονάδες τοῦ συστήματος S.I. προκύπτει c = 1, γι' αυτό γράφομε:

$$A = I^2Rt \quad (2)$$

Από τή σχέση (2) προκύπτει διτή ή ηλεκτρική ένέργεια A είναι άνεξάρτητη άπό τή φορά τοῦ ρεύματος, έφ' δσον είναι άναλογη τοῦ τετραγώνου τῆς έντασεως I, καὶ διτή ή ύπο σταθερή ένταση I είναι τόσο μεγαλύτερη, δσο μεγαλύτερη είναι ή άντισταση R τῆς καταναλώσεως καὶ δσο μεγαλύτερο είναι τό διάστημα t κατά τό οποῖο ρέει τό ρεύμα. Από τήν (2) προκύπτει έπισης διτή:

$$I = \sqrt{\frac{A}{Rt}} \quad (3)$$

Η σχέση (3) έκφραζει τό γεγονός δτι, δταν δοθεῖ δρισμένο ποσό ένέργειας σε μία κατανάλωση R σέ δρισμένο χρόνο t, τό ρεῦμα πού άναπτύσσεται είναι άντιστροφα άνάλογο τής άντιστάσεως τής καταναλώσεως. Αυτό έρμηνεύεται ώς έξης:

Τό ποσό τής ήλεκτρικής ένέργειας, πού προσφέρεται στήν κατανάλωση R, χρησιμοποιεῖται γιά νά μεταφέρει τά ήλεκτρόνια άπό τήν άρχη στό τέρμα της. Άπό έκει, μέσω τῶν άγωγῶν συνδέσεως και τής πηγής τοῦ κυκλώματος, έπι-στρέφουν πάλι στήν άρχη τής καταναλώσεως. Κατά τή μετακίνηση αυτή, συγκρούονται τά ήλεκτρόνια μέ τά άτομα και τά ίόντα τοῦ ύλικοῦ τής καταναλώσεως και άποδίδουν σέ αυτά ένα μέρος τής ένέργειάς τους. Γιά νά διατηρεῖται έπομένως ή ροή τοῦ ρεύματος, πρέπει ή πηγή νά άναπληρώνει συνεχῶς τήν ένέργεια, πού χάνουν τά ήλεκτρόνια μέ τίς κρούσεις. Η ένέργεια πού προσλαμβάνουν τά άτομα και ίόντα, αιδέναι τήν κινητική ένέργεια τῶν μορίων τους, μέ άποτέλεσμα νά αυξήθει ή θερμοκρασία τής καταναλώσεως.

Η άντισταση R ένός ύλικοῦ, πού, δπως είδαμε στήν παράγραφο 4.1, έξαρται άπό τόν άριθμό τῶν έλευθέρων ήλεκτρονίων τοῦ ύλικοῦ, άποτελεῖ μέτρο τής δυσκολίας πού άντιμετωπίζουν τά ήλεκτρόνια στή μετακίνησή τους, έξ αιτίας τῶν κρούσεων. Η δυσκολία αυτή έκφραζεται μέ τήν ένέργεια πού πρέπει νά προσφέρεται συνεχῶς στά ήλεκτρόνια, γιά τή διατήρηση τής ροής. "Οσο μεγαλύτερη είναι ή δυσκολία, πού συναντοῦν τά ήλεκτρόνια στή μετακίνησή τους, τόσο μεγαλύτερη είναι ή άντισταση τοῦ ύλικοῦ και τόσο μεγαλύτερο ποσό ένέργειας πρέπει νά προσφέρεται γιά τή διατήρηση τής ροής τοῦ ρεύματος ή, άντιθετα, τόσο μικρότερο ρεῦμα μπορεῖ νά άναπτυχθεῖ, δταν προσφέρεται σταθερό ποσό ήλεκτρικής ένέργειας.

Έπειδή:

$$I = \frac{U}{R}$$

δπου U ή τάση στά άκρα τής καταναλώσεως R,  
ή σχέση (2) γράφεται έπίσης:

$$A = \frac{U^2}{R} t \quad (4)$$

και

$$A = UIt \quad (5)$$

Η ήλεκτρική ένέργεια, πού άπορροφᾶ όποιαδήποτε κατανάλωση, είναι ίση μέ τό γινόμενο τής τάσεως στά άκρα τής καταναλώσεως, τής έντάσεως τοῦ ρεύματος πού τή διαρρέει και τοῦ χρόνου πού διαρκεῖ ή ροή.

## 6.2 Ήλεκτρική ίσχυς.

Άπό τίς σχέσεις (1) ή (3) γίνεται φανερό δτι μπορεῖ νά άποδοθεῖ άπό μία

ηλεκτρική παγή ή νά άπορροφηθεῖ άπό μία κατανάλωση δύοιοδήποτε ποσό ένέργειας, άρκει νά είναι άρκετά μεγάλο τό χρονικό διάστημα, που θά λειτουργήσει ή πηγή ή η κατανάλωση.

Ωστόσο στήν τεχνική δέν ένδιαφέρει τό όλικό ποσό ένέργειας, που άποδιδεται ή καταναλώνεται σε δύοιοδήποτε χρονικό διάστημα, άλλα τό ποσό ένέργειας, που μπορεῖ νά άποδοθεῖ ή νά καταναλωθεῖ στή μονάδα του χρόνου, δηλαδή σε ένα δευτερόλεπτο. Τό ποσό αυτό δονομάζεται **Ισχύς** και είναι χαρακτηριστικό μέγεθος μιᾶς πηγῆς ή καταναλώσεως, γιατί άποτελεῖ μέτρο γιά τό πόσο γρήγορα μπορεῖ νά άποδώσει ένέργεια μία πηγή ή νά καταναλώσει ένέργεια μία κατανάλωση.

Σύμφωνα μέ τά άνωτέρω, ή **Ισχύς**, που συμβολίζεται μέ τό **λατινικό γράμμα P**, δίνεται άπό τό **πηλίκο της ένέργειας A**, που άποδιδεται ή άπορροφᾶται σε δρισμένο χρονικό διάστημα t, διά τοῦ διαστήματος αυτοῦ:

$$P = \frac{A}{t} \quad (1)$$

Από τόν τύπο (1) και τούς τύπους (2), (4), (5) της παραγράφου 6.1 προκύπτουν οι σχέσεις:

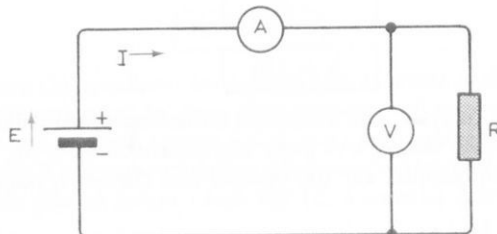
$$P = I^2 R \quad (2)$$

$$P = \frac{U^2}{R} \quad (3)$$

και

$$P = UI \quad (4)$$

Η τελευταία σχέση δριζει τήν ισχύ του ηλεκτρικοῦ ρεύματος ώς τό γινόμενο της τάσεως στούς πόλους μιᾶς πηγῆς ή στά άκρα μιᾶς καταναλώσεως επί τό ρεῦμα, που δημιουργεῖ ή τάση αυτή.



Σχ. 6.2.

Από τή σχέση (4) μπορούμε νά ύπολογίσομε τήν ίσχυ, μετρώντας τήν τάση μέντη βολτόμετρο και τήν ενταση μέντη άμπερόμετρο, δπως φαίνεται στό σχήμα 6.2 και πολλαπλασιάζοντας τίς τιμές τους. Τήν ίσχυ μπορούμε νά μετρήσομε επίσης κατ' εύθειαν μέντη ειδικό δργανο, πού δονομάζεται **βαττόμετρο**.

### 6.3 Μονάδες τής ήλεκτρικής ίσχυος.

Από τήν έξισωση (4) τής παραγράφου 6.2 έχομε γιά τήν ήλεκτρική ίσχυ:

$$P = UI$$

Στό σύστημα S.I. ή τάση U μετριέται σέ βόλτ V και ή ενταση I σέ άμπερ A. Έτσι, τό γινόμενο VA δίνει στό σύστημα αντό τή μονάδα μετρήσεως τής ίσχυος, τό **βάττ** (Watt), πού συμβολίζεται μέντη λατινικό γράμμα W:

$$1 \text{ W} = 1 \text{ VA} \quad (1)$$

$$(1 \text{ βάττ} = 1 \text{ βολταμπέρ})$$

*Ίσχυ ένός βάττ έχει ήλεκτρικό ρεῦμα τάσεως ένός βόλτ και έντασεως ένός άμπερ.*

Στίς τεχνικές έφαρμογές τού ήλεκτρισμού χρησιμοποιούνται πιό συχνά τά παρακάτω πολλαπλάσια ή ύποπολλαπλάσια τού βάττ:

a) Τό κιλοβάττ (kW), πού είναι ίσο μέντη χίλια W

$$1 \text{ kW} = 1000 \text{ W} = 10^3 \text{ W}$$

β) Τό μεγαβάττ (MW), πού είναι ίσο μέντη ενα έκατομμύριο βάττ:

$$1 \text{ MW} = 1.000.0000 = 10^6 \text{ W}$$

γ) Τό μιλλιβάττ (mW), πού είναι ίσο μέντη χιλιοστό τού βάττ:

$$1 \text{ mW} = \frac{1}{1000} \text{ W} = 10^{-3} \text{ W}$$

Στήν τεχνική συναντάται επίσης συχνά σάν μονάδα ίσχυος ο **ΐππος** (σύμβολο PS ή HP ή CV). Η άντιστοιχία μεταξύ ίππου και κιλοβάττ είναι:

$$1 \text{ PS} = 0,736 \text{ kW}$$

$$1 \text{ kW} = 1,36 \text{ PS} \quad (2)$$

Στήν παράγραφο 6.5 θά δεξηγήσομε πῶς προκύπτουν οί σχέσεις (2), δταν θά περιγράψουμε τό νόμο τού Joule.

#### 6.4 Μονάδες της ήλεκτρικής ένέργειας.

Από τη σχέση (5) της παραγράφου 6.1 και τη σχέση (1) της παραγράφου 6.2, παίρνουμε για την ήλεκτρική ένέργεια:

$$A = UIt = Pt \quad (1)$$

Από τη σχέση αυτή προκύπτει σάν μονάδα ήλεκτρικής ένέργειας στό σύστημα S.I. το Joule (σύμβολο J), δταν τά μεγέθη U,I,P και τι μετριούνται άντιστοιχα μέτρα μονάδες του συστήματος αυτού V,A,W και s.

$$1 \text{ Joule} = 1 \text{ J} = 1 \text{ VAs} = 1 \text{ Ws} \quad (2)$$

Στήν έπομενη παράγραφο θά άναφερθούμε πιο άναλυτικά στη μονάδα Joule.

Η μονάδα Joule είναι μικρή για τις πρακτικές έφαρμογές και γι' αυτό στήν τεχνική χρησιμοποιούνται βασικά οι μονάδες **βαττώρα** (Wh) και **κιλοβαττώρα** (kWh). Οι μονάδες αυτές προκύπτουν έπισης άπό τη σχέση (1), δταν ή ίσχυς P μετριέται σε W ή kW και δ χρόνος t σε ώρες (h).

**Ένέργεια μίας βαττώρας (Wh) καταναλώνεται σε διάστημα μίας ώρας (1h) άπό μία κατανάλωση μέτρη ίσχυος ένος βάττ (W).** Ένέργεια μίας κιλοβαττώρας (kWh) καταναλώνεται σε διάστημα μίας ώρας άπό μία κατανάλωση μέτρη ίσχυος κιλοβάττ (kW).

Έπειδή  $1h = 3600 \text{ s}$  έχομε:

$$1 \text{ Wh} = 3600 \text{ Ws} = 3600 \text{ J} \quad (3)$$

$$1 \text{ kWh} = 3,6 \cdot 10^6 \text{ Ws} = 3,6 \cdot 10^6 \text{ J}$$

Σύμφωνα μέτρα περιγράψαμε στήν παράγραφο 2.3, έχομε:

$$1 \text{ As} = 1 \text{ C}$$

Άρα:

$$1 \text{ J} = 1 \text{ Ws} = 1 \text{ VAs} = 1 \text{ VC} \quad (4)$$

Συνοπτικά, σύμφωνα μέτρα τά άνωτέρω ίσχύει:

$$1 \text{ kWh} = 10^3 \text{ Wh} = 3,6 \cdot 10^6 \text{ Ws} = 3,6 \cdot 10^6 \text{ J} \quad (5)$$

#### 6.5 Ο νόμος του Joule.

Στήν παράγραφο 6.1 είδαμε δτι η ήλεκτρική ένέργεια, πού προσφέρεται σε όποιαδήποτε κατανάλωση, μετατρέπεται σε άλλη μορφή ένέργειας.

Άν μία κατανάλωση άποτελείται απόκλειστικά άπό ωμικούς άντιστάτες, ή ήλεκτρική ένέργεια πού της προσφέρεται, μετατρέπεται άλλη μορφή ένέργειας. Αύτο συμβαίνει π.χ. σε μία ήλεκτρική θερμάστρα, σε ένα ήλεκτρικό σίδερο,

άλλα και στούς ώμικους άντιστάτες όποιουνδήποτε ήλεκτρονικού κυκλώματος.

Σέ αλλες, πιό σύνθετες καταναλώσεις, ή ήλεκτρική ένέργεια μετατρέπεται βασικά σε αλλες μορφές ένέργειας, π.χ. σε ένα ήλεκτροκινητήρα σε μηχανική ένέργεια, πάντοτε διαφοράς της μετατρέπεται σε θερμότητα. Αυτό διφεύλεται στό διτι οί άγωγοι του ήλεκτρικού ρεύματος και αλλα στοιχεῖα της καταναλώσεως παρουσιάζουν δρισμένη ώμικη άντισταση και ένα ποσό ένέργειας καταναλώνεται στήν ύπερνίκηση αυτής της άντιστάσεως.

Η θερμότητα αυτή είναι αρχηγητή για τήν κύρια λειτουργία της συσκευής και άντιπροσωπεύει μία **άπωλεια ένέργειας**, πού δονομάζεται **άπωλεια Joule**. Άκομα, είναι και έπιβλαβής, γιατί μπορεί νά προξενήσει ζημία στίς μονώσεις τῶν άγωγῶν και σε αλλα ξεπρότηματα της καταναλώσεως και πρέπει νά λαμβάνονται μέτρα για τή διοχέτευσή της στό περιβάλλον, ώστε νά μήν ύπερθερμαίνεται ή συσκευή. Αυτό βέβαια αυξάνει συνήθως τό κατασκευαστικό κόστος της καταναλώσεως.

Η θερμική ένέργεια (ή θερμότητα) μετριέται στό σύστημα S.I. σε **χιλιοθερμίδες** (Kilokalories), πού έχουν ώς σύμβολο τό kcal. Μία χιλιοθερμίδα δριζεται ώς τό ποσό της θερμότητας πού άπαιτεται για τήν άνυψωση της θερμοκρασίας ένός χιλιογράμμου μάζας καθαροῦ νεροῦ κατά ένα βαθμό Κελσίου ( $1^{\circ}\text{C}$ ) (γιά τήν άκριβεια άπό  $14,5$  σε  $15,5^{\circ}\text{C}$ ).

Τό ποσό της θερμότητας, πού άποδίδει ή ήλεκτρική ένέργεια, δταν μετατρέπεται έντελως σε θερμότητα, προσδιόρισε πειραματικά, δπως άναφέραμε στήν παράγραφο 6.1, ο **Άγγλος φυσικός Joule**, ο όποιος, άπό τό ποσό αυτό διετύπωσε και τή σχέση:

$$A = cI^2Rt$$

πού συνδέει τήν ήλεκτρική ένέργεια A μέ τά μεγέθη I, R και t.

Ο Joule βρήκε διτι ή μονάδα της ήλεκτρικής ένέργειας – 1 Joule – ίσοδυναμεί μέ 0,000239 kcal.

$$1 \text{ Joule} = 1 \text{ J} = 0,000239 \text{ kcal}$$

$$1 \text{ kcal} = 4184 \text{ J}$$

(1)

η

Αυτό σημαίνει διτι ήλεκτρικό ρεύμα 1 A άποδίδει σε άντιστάτη 1 Ω, σε διάστημα 1s, θερμότητα 0,000239 kcal.

Από τίς σχέσεις (2), (4) και (5) της παραγράφου 6.1, πού δίνουν τήν ήλεκτρική ένέργεια και τή σχέση (1) της ίσοδυναμίας ήλεκτρικής - θερμικής ένέργειας, προσδιορίζεται ή θερμότητα Q, πού άποδίδεται άπό τό ήλεκτρικό ρεύμα σε χρονικό διάστημα t δευτερολέπτων:

$$Q = 0,239 \cdot 10^{-3} I^2 Rt \quad \text{kcal} \quad (2)$$

$$Q = 0,239 \cdot 10^{-3} \frac{U^2}{R} t \quad \text{kcal} \quad (3)$$

$$\eta \quad Q = 0,239 \cdot 10^{-3} \text{ UIt} \quad \text{kcal} \quad (4)$$

$$\eta \quad Q = 0,239 \cdot 10^{-3} \text{ Pt} \quad \text{kcal} \quad (5)$$

Οι σχέσεις (2) έως (5) έκφραζουν τό **θερμικό νόμο του Joule**. Στίς σχέσεις αυτές, δύλα τά μεγέθη μετριούνται μέ τίς μονάδες τοῦ συστήματος S.I. (Ισχύς P σέ W, τάση U σέ V, ένταση I σέ A, άντισταση R σέ Ω, χρόνος t σέ s).

Όνομος τοῦ Joule δίνεται ἀπό τή σχέση (2), λέγει δτι:

α) Άν έχομε σταθερή άντισταση (R) καὶ δρισμένο χρόνο λειτουργίας (t), τότε ή θερμότητα πού ἀναπτύσσεται είναι άνάλογη τοῦ τετραγώνου τῆς έντασεως τοῦ ρεύματος ( $I^2$ ).

β) Άν έχομε σταθερή ένταση (I) καὶ δρισμένο χρόνο λειτουργίας (t), τότε ή θερμότητα πού ἀναπτύσσεται είναι άνάλογη τῆς άντιστάσεως (R).

γ) Άν έχομε σταθερή ένταση (I) καὶ σταθερή άντισταση (R), τότε ή θερμότητα πού ἀναπτύσσεται είναι άνάλογη μέ τό χρόνο λειτουργίας (t).

Άπό τή σχέση (3) τῆς παραγράφου 6.4:

$$1 \text{ kWh} = 3,6 \cdot 10^6 \text{ J}$$

καὶ τή σχέση (1):

$$1 \text{ J} = 0,000239 \text{ kcal}$$

προκύπτει δτι:

$$1 \text{ kWh} = 860 \text{ kcal} \quad (6)$$

Ή ίσοδυναμία αύτή χρησιμοποιεῖται πολύ συχνά στούς τεχνικούς ύπολογισμούς.

Στήν παράγραφο 6.3 ἀναφέραμε καὶ τόν **ἶπο**, ώς μονάδα ήλεκτρικῆς ίσχύος. Στήν πράξη, ή ισχύς τῶν ήλεκτροκινητήρων μετριέται συχνά καὶ σέ **ἶπο**ς (σύμβολο PS), μία μονάδα ίσχύος, πού δέν ἀνήκει σέ κανένα σύστημα μονάδων. Ένας ίπος είναι ή ισχύς πού ἀπαιτεῖται γιά άνυψωση βάρους 75 κιλογράμμων (kp) σέ υψος 1 μέτρου (1 m) μέσα σέ χρόνο ένός δευτερολέπτου (1 s). Δηλαδή:

$$1 \text{ PS} = 75 \frac{\text{mkp}}{\text{s}} \quad (7)$$

Γιά νά μετατρέπομε τή θερμότητα (η καὶ τήν ήλεκτρική ένέργεια) σέ μηχανική ένέργεια, χρησιμοποιοῦμε τή γνωστή πειραματική σχέση τῆς φυσικῆς:

$$1 \text{ kcal} = 426,9 \text{ mkp} \quad (8)$$

Από τις έξισώσεις (1) και (7) ξέχομε:

$$1 \text{ Ws} = 1 \text{ J} = \frac{426,9}{4184} \text{ mkp} = 0,102 \text{ mkp}$$

$$\eta = 1 \text{ kW} = 102 \frac{\text{mfp}}{\text{s}}$$

Έπομένως:

$$1 \text{ kW} = 1,36 \text{ PS} \quad (9)$$

$$\eta = 1 \text{ PS} = 0,736 \text{ kW} \quad (10)$$

Ο παρακάτω πίνακας 6.5.1 δίνει συγκεντρωτικά τή σχέση τῶν διαφόρων μονάδων μεταξύ τους.

*Πίνακας 6.5.1.*

	Ws (J)	kWh	kcal	mfp
1 Ws (J) =	1	$0,275 \cdot 10^{-6}$	$0,239 \cdot 10^{-3}$	0,102
1 kWh =	$3,6 \cdot 10^6$	1	860	$0,367 \cdot 10^6$
1 kcal =	4184	$1,163 \cdot 10^{-3}$	1	426,9
1 mfp	9,81	$2,72 \cdot 10^{-6}$	$3,34 \cdot 10^{-3}$	1

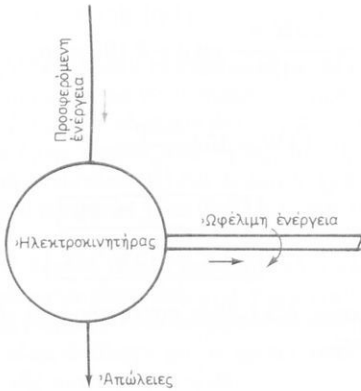
## 6.6 Βαθμός άποδόσεως.

Όποιαδήποτε συσκευή η μηχανή λειτουργεῖ με ήλεκτρικό ρεῦμα, άπορροφᾶ όρισμένη ήλεκτρική ένέργεια και τή μετατρέπει στή μορφή ένέργειας, πού είναι κατάλληλη γιά τήν έργασία πού έκτελεῖ.

Άν έξαιρέσομε τίς ώμικές καταναλώσεις, στίς δύοιες διλόκληρη η προσφερόμενη ήλεκτρική ένέργεια μετατρέπεται πρακτικά σέ θερμότητα, στά άλλα είδη καταναλώσεων ένα μόνο τμῆμα άπό τήν προσφερόμενη ήλεκτρική ένέργεια. Α πρ μετατρέπεται στή μορφή ένέργειας πού έξυπηρετεῖ τό σκοπό τής καταναλώσεως. Αύτή δονομάζεται **ώφελμη ένέργεια A<sub>ωφ</sub>**. Ή ύπόλοιπη μετατρέπεται σέ άλλες μορφές ένέργειας, πού είναι άχρηστες γιά τόν προορισμό τής καταναλώσεως και γι' αυτό δονομάζονται **άπώλειες A<sub>απ</sub>**.

Σέ ένα ήλεκτροκινητήρα π.χ. η προσφερόμενη ήλεκτρική ένέργεια μετατρέπεται κατά τό μεγαλύτερο μέρος τής σέ ώφελμη μηχανική ένέργεια, πού έξυπηρετεῖ τό σκοπό τού ήλεκτροκινητήρα, δηλαδή τήν παροχή κινήσεως. Η ύπόλοιπη μετατρέπεται σέ άχρηστη γιά τό σκοπό τού κινητήρα θερμότητα Joule, θερμότητα τριβῶν κ.ο.κ. πού άποτελούν τίς άπωλειες. Τό σχήμα 6.6 δείχνει παραστατικά τήν κατανομή τῶν ένεργειών στόν ήλεκτροκινητήρα.

Έπειδή μία κατανάλωση δέν παράγει ή ίδια ήλεκτρική ένέργεια, άλλα μόνο



Σχ. 6.6.

μετατρέπει τήν ένέργεια πού τής προσφέρεται, σύμφωνα μέ τήν άρχη τής διατηρήσεως τής ένέργειας ίσχύει πάντοτε ή σχέση:

$$A_{\pi\rho} = A_{\omega\varphi} + A_{\alpha\pi} \quad (1)$$

Άν στήν κατανάλωση προσφέρεται σταθερή ήλεκτρική ένέργεια σέ κάθε δευτερόλεπτο, δηλαδή σταθερή ίσχυς  $P_{\pi\rho}$ , τότε και ή άποδιδόμενη ωφέλιμη ένέργεια σέ κάθε δευτερόλεπτο — ή ωφέλιμη ίσχυς  $P_{\omega\varphi}$  — είναι σταθερή και οι άπωλειες σέ κάθε δευτερόλεπτο — ή ίσχυς άπωλειών  $P_{\alpha\pi}$  — είναι σταθερές. Έτσι, μποροῦμε νά γράψουμε:

$$P_{\pi\rho} = P_{\omega\varphi} + P_{\alpha\pi} \quad (2)$$

Τό λόγο τής άποδιδόμενης ωφέλιμης ίσχυός  $P_{\omega\varphi}$  πρός τήν προσφερόμενη ήλεκτρική ίσχυ δύναμαζομε «βαθμό ή συντελεστή άποδόσεως» τής καταναλώσεως και τόν συμβολίζομε μέ τό μικρό γράμμα η τού έλληνικού άλφαβήτου.

$$\eta = \frac{P_{\omega\varphi}}{P_{\pi\rho}} = \frac{P_{\omega\varphi}}{P_{\omega\varphi} + P_{\alpha\pi}} \quad (3)$$

Ο βαθμός άποδόσεως άποτελεῖ μέτρο τής ίκανότητας τής καταναλώσεως νά

χρησιμοποιεῖ ἀποτελεσματικά τήν προσφερόμενη ἡλεκτρική ἐνέργεια, γιά τό σκοπό πού ἔχει κατασκευασθεῖ.

Ο βαθμός ἀποδόσεως εἶναι ἀδιάστατο μέγεθος καὶ εἶναι πάντοτε μικρότερος ἢ ίσος μὲ τή μονάδα, ἐφ' ὅσον ἡ ὠφέλιμη ἴσχυς, στήν καλύτερη περίπτωση, μπορεῖ νά εἶναι ἵση μὲ τήν προσφερόμενη ἴσχυ, δταν δηλαδή δέν ὑπάρχουν ἀπώλειες. Συχνά ὁ βαθμός ἀποδόσεως δίνεται ὅχι σάν ἀπόλυτος ἀριθμός, ἀλλά σέ ποσοστά %, π.χ. ἀντί η = 0,85 δίνεται η = 85%.

Γιά τόν προσδιορισμό τοῦ βαθμοῦ ἀποδόσεως, μποροῦμε νά χρησιμοποιήσομε, ἀντί τῶν ἴσχυων, τήν προσφερόμενη ἡλεκτρική ἐνέργεια  $A_{\pi\rho}$  καὶ τήν ἀποδιδόμενη ὠφέλιμη ἐνέργεια  $A_{\omega\rho}$  σέ όρισμένο χρονικό διάστημα. Ἐτσι, ἔχομε:

$$\eta = \frac{A_{\omega\rho}}{A_{\pi\rho}} \quad (4)$$

Ἄν ἡ προσφερόμενη ἴσχυς εἶναι σταθερή, ὁ λόγος (4) εἶναι ίσος μὲ τό λόγο τῶν ἴσχυων (3). Ἀν ἡ ἴσχυς δέν παραμένει σταθερή σέ διάστημα  $t$ , ὁ βαθμός ἀποδόσεως μεταβάλλεται μὲ κάθε μεταβολή τῆς ἴσχυος καὶ ἡ σχέση (4) δίνει τό μέσο βαθμό ἀποδόσεως στό διάστημα  $t$ .

## 6.7 Υπολογισμοί καταναλισκόμενης ἴσχυος καὶ ἐνέργειας ἀπό διάφορες ἡλεκτρικές συσκευές.

Μέ τή βοήθεια μερικῶν παραδειγμάτων, ἔξηγεται στή συνέχεια πῶς χρησιμοποιοῦνται οἱ σχέσεις πού γνωρίσαμε στίς προηγούμενες παραγράφους γιά τόν ύπολογισμό τῆς καταναλισκόμενης ἴσχυος καὶ ἐνέργειας ἀπό διάφορες ἡλεκτρικές συσκευές.

### Παράδειγμα 1.

Ἐνας ἡλεκτρικός λαμπτήρας φωτισμοῦ ἴσχυος 100 W, τοποθετεῖται μέσα σέ ἓνα δοχεῖο γεμάτο μὲ νερό μάζας 4 kg.

Ἀν παραδεχθοῦμε δτι δέν ὑπάρχει καμία ἀπώλεια θερμότητας πρός τό περιβάλλον, νά βρεθοῦν:

- α) Ἡ θερμότητα, πού ἀποδίδει ὁ λαμπτήρας σέ χρόνο λειτουργίας μιᾶς ὥρας (1 h) καὶ ἡ ἡλεκτρική ἐνέργεια A, πού προσφέρεται σέ αὐτόν.
- β) Κατά πόσους βαθμούς Κελσίου Δθ θά ἀνυψωθεῖ ἡ θερμοκρασία τοῦ νεροῦ, σέ χρόνο λειτουργίας μιᾶς ὥρας (1 h).

### Λύση.

$$P = 100 \text{ W}, \quad t = 1 \text{ h} = 3600 \text{ s}$$

α) Ἀπό τόν τύπο (5) τῆς παραγράφου 6.5 ἔχομε:

$$Q = 0,239 \cdot 10^{-3} \cdot P \cdot t = 0,239 \cdot 10^{-3} \cdot 100 \cdot 3600 = \underline{86,0 \text{ kcal}}$$

Σχεδόν όλοκληρη ή προσφερόμενη ήλεκτρική ένέργεια στό λαμπτήρα μετατρέπεται σέ θερμότητα (1-2% μόνο μετατρέπεται σέ φῶς). Έπομένως δεχόμαστε ότι ο βαθμός άποδόσεως του λαμπτήρα είναι  $\eta = 1$  (100%), δύοτε η προσφερόμενη ένέργεια A στό λαμπτήρα είναι ίση μέ τήν άποδιδόμενη ένέργεια Q.

\*Από τόν τύπο (6) της παραγράφου 6.5 έχομε:  $1 \text{ kWh} = 860 \text{ kcal}$

$$1 \text{ kcal} = 1,163 \cdot 10^{-3} \text{ kWh}$$

\*Αρα, ή προσφερόμενη ένέργεια είναι:

$$A = 1,163 \cdot 10^{-3} \cdot Q = 1,163 \cdot 10^{-3} \cdot 86,0 = 0,1 \text{ kWh}$$

- β) Τό ένα (1) kcal άνυψωνει τή θερμοκρασία ένός (1) kg νερού κατά  $1^{\circ}\text{C}$ . Έπομένως τά Q kcal θά άνυψωσουν τή θερμοκρασία τῶν m = 4 kg νερού κατά  $\Delta\theta$ , δου:

$$\Delta\theta = \frac{Q}{m} = \frac{Q}{4} = \frac{86}{4} = 21,5^{\circ}\text{C}$$

\*Αρα ή θερμοκρασία θά αυξηθεῖ κατά  $\Delta\theta = 21,5^{\circ}\text{C}$ .

\*Αν ή άρχική θερμοκρασία π.χ. είναι  $\theta_1 = 15^{\circ}\text{C}$ , ή τελική  $\theta_2$  θά είναι:  $\theta_2 = \theta_1 + 21,5 = 36,5^{\circ}\text{C}$ . Προϋπόθεση βέβαια είναι ότι δέν λαμβάνονται ύπ' οψη οι άπωλειες θερμότητας πρός τό περιβάλλον.

## Παράδειγμα 2.

\*Ένας ήλεκτρικός βραστήρας, χωρητικότητας 5 λίτρων καθαρού νερού, έχει βαθμό άποδόσεως  $\eta = 80\%$  και βράζει τό νερό μέσα σέ 10 λεπτά.

\*Αν ή άρχική θερμοκρασία του νερού είναι  $\theta_1 = 20^{\circ}\text{C}$ , νά βρεθεῖ ή ίσχύς του βραστήρα.

## Λύση.

\*Ένα λίτρο είναι ίσο μέ 1000 cm<sup>3</sup> και μπορεῖ νά περιλάβει καθαρό νερό 1 kg. \*Αρα δι βραστήρας γεμίζει μέ 5 kg καθαρού νερού. Αφού δι βρασμός του νερού γίνεται στους  $100^{\circ}\text{C}$  και ή άρχική θερμοκρασία είναι  $20^{\circ}\text{C}$ , τότε, γιά νά βράσει τό νερό τῶν 5 kg, άπαιτεῖται ώφελιμη θερμότητα, σύμφωνα μέ δσα άναφέραμε στήν παράγραφο 6.5:

$$Q = m (100 - \theta_1) = 5 (100 - 20) = 400 \text{ kcal}$$

\*Η ένέργεια, πού δίνει ή ήλεκτρική πηγή στό βραστήρα, είναι μεγαλύτερη, γιατί ένα μέρος της προσφερόμενης ένέργειας δέν καταναλώνεται γιά τήν άνυ-

ψωση τῆς θερμοκρασίας του νερού. Σύμφωνα μέ τόν τύπο 4 τῆς παραγράφου 6.6, έχουμε:

$$\text{Προσφερόμενη ένέργεια} = \frac{\text{ώφελημη ένέργεια}}{\eta} = \frac{400}{0,8} = 500 \text{ kcal}, \quad \eta$$

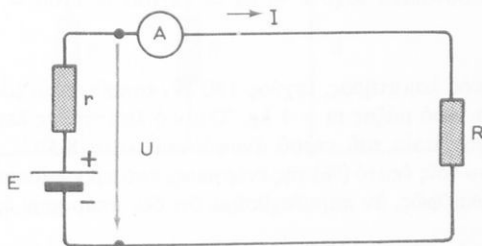
$$\text{προσφερόμενη ένέργεια} = 1,163 \cdot 10^{-3} \cdot 500 = 0,5814 \text{ kWh}$$

Η ένέργεια τῶν 500 kcal (0,5814 kWh) προσφέρεται μέσα σέ 10 λεπτά = 1/6 ώρες. Άρα η πηγή προσφέρει σέ μία ώρα ένέργεια  $6 \times 500 = 3000 \text{ kcal} = 3,488 \text{ kWh}$ . Η ένέργεια αυτή είναι ίση άριθμητικά μέ την ίσχυ του βραστήρα.

**Ισχύς του βραστήρα:**  $P = 3,488 \text{ kW} \approx 3,5 \text{ kW}$

### Παράδειγμα 3.

Ένας συσσωρευτής, ήλεκτρεγερτικής δυνάμεως  $\text{ΗΕΔ } E = 12 \text{ V}$  και έσωτερικής άντιστασεως  $r = 0,015 \Omega$ , τροφοδοτεῖ μία κατανάλωση  $R$ . Μέ ένα άμπερόμετρο μετράμε, σέ κατάσταση λειτουργίας  $I = 100 \text{ A}$  (σχ. 6.7a).



Σχ. 6.7a.

Νά βρεθοῦν:

- α) Η κατανάλωση.
- β) Η πολική τάση του συσσωρευτή.
- γ) Η συνολική ίσχυς που καταναλώνεται.

### Αύση.

α) Σύμφωνα μέ τόν τύπο (3) τῆς παραγράφου 4.5, είναι:

$$E = I \cdot (R + r) \quad \eta \quad R = \frac{E}{I} - r = 0,12 - 0,015 = 0,105 \Omega$$


---


$$R = 0,105 \Omega$$

β) Σύμφωνα μέ τόν τύπο (5) τῆς παραγράφου 4.5, είναι:

$$U = E - Ir = 12 - 100 \cdot 0,015 = 10,5 \text{ V}$$

Τό τοιο άποτέλεσμα βρίσκομε και άπό τόν τύπο:

$$U = IR = 100 \cdot 0,105 = 10,5 \text{ V}$$

$$\underline{\underline{U = 10,5 \text{ V}}}$$

γ) Ή ισχύς στήν κατανάλωση R, σύμφωνα μέ τόν τύπο (2) τῆς παραγράφου 6.2, εἶναι:

$$P_R = I^2 R = 100^2 \cdot 0,105 = 1050 \text{ W} = 1,05 \text{ kW}$$

Ίσχυς στήν έσωτερική άντισταση r:

$$P_r = I^2 r = 100^2 \cdot 0,015 = 150 \text{ W} = 0,15 \text{ kW}$$

$$\text{Σύνολο τῆς ίσχύος: } \underline{\underline{P = P_R + P_r = 1,2 \text{ kW}}}$$

#### Έπαλψθενση.

Ή πηγή δίνει συνολικά ίσχύ  $P = EI = 12 \cdot 100 = 1200 = 1,2 \text{ kW}$

#### Παράδειγμα 4.

Ένας ήλεκτρικός λαμπτήρας, ισχύος 180 W, τοποθετεῖται μέσα σέ ένα δοχείο πού περιέχει νερό μάζας m = 1 kg. Όταν ό λαμπτήρας λειτουργήσει έπι 10/3 min ή θερμοκρασία τοῦ νεροῦ άνυψωνεται κατά 8,4°C.

Νά βρεθεῖ πόσο τοῖς έκατό (%) τῆς ένέργειας, πού προσφέρεται στό λαμπτήρα, μετατρέπεται σέ φῶς, ἀν παραδεχθούμε ότι δέν ύπάρχουν ολλας άπώλειες θερμότητας.

#### Αύση.

$$P = 180 \text{ W} = 0,18 \text{ kW}$$

$$t = \frac{10}{3} \text{ min} = \frac{10}{3} \cdot 60 = 200 \text{ s}$$

Προσφερόμενη ήλεκτρική ένέργεια στό λαμπτήρα:  $A_{πρ} = 0,18 \cdot 200 = 36 \text{ kWs}$ .

Θερμότητα, πού δίνει ό λαμπτήρας, γιά νά άνυψωθεῖ ή θερμοκρασία τοῦ νεροῦ κατά 8,4°C ( $\theta_2 - \theta_1 = 8,4^\circ\text{C}$ ):

$$Q = \frac{\theta_2 - \theta_1}{m} = 8,4 \text{ kcal}$$

$\eta$

$$Q = 0,9767 \cdot 10^{-2} \text{ kWh}$$

η

$$Q = 35,16 \text{ kWs}$$

Προσφερόμενη ένέργεια:  $A_{\pi\rho} = \text{Θερμότητα (Q)} + \text{ένέργεια φωτός (A_\varphi)}$

$$36,00 \text{ kWs} = 35,16 + \text{ένέργεια φωτός (A_\varphi)}$$

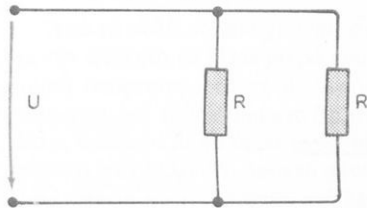
και

$$A_\varphi = 36,00 - 35,16 = 0,84 \text{ kWs}$$

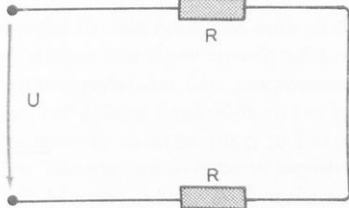
Άρα μετατρέπεται σέ φῶς ποσοστό  $\frac{0,84}{36} \cdot 100 = \underline{\underline{2,33 \%}}$   
τῆς προσφερόμενης ένέργειας.

### Παράδειγμα 5.

Μία ήλεκτρική συσκευή, π.χ. ένα ήλεκτρικό μαξιλάρι, άποτελεῖται από δύο οδιούς ώμικους άντιστάτες  $R$ , που συνδέονται πότε παράλληλα (σχ. 6.7β) και πότε σέ σειρά (σχ. 6.7γ).



Σχ. 6.7β.



Σχ. 6.7γ.

Η συσκευή αυτή συνδέεται μέ μία ήλεκτρική πηγή πολικής τάσεως  $U = 220 \text{ V}$  και, δταν οι δύο άντιστάτες είναι συνδεδεμένοι παράλληλα, καταναλώνει ίσχυ  $P = 80 \text{ W}$ .

Νά βρεθοῦν:

- Η τιμή τῆς ώμικής άντιστάσεως  $R$ .
- Η ίσχυς που καταναλώνει ή συσκευή, δταν οι άντιστάτες συνδέονται σέ σειρά.

### Ανση.

a) Αφοῦ οι δύο άντιστάτες είναι ίσοι, πρέπει ό καθένας νά καταναλώνει ίσχυ  $P_R = P/2 = 80/2 = 40 \text{ W}$ .

Από τόν τύπο 3 τῆς παραγράφου 6.2, έχουμε:

$$R = \frac{U^2}{P_R} = \frac{220^2}{40} = 1210 \Omega$$

$$\underline{\underline{R = 1210 \Omega}}$$

β) Ισχύς στή σύνδεση σειρᾶς:

$$R' = R + R = 2 \cdot 1210 = 2420 \Omega$$

$$P = \frac{U^2}{R'} = \frac{220^2}{2420} = 20 \text{ W}$$

P = 20 W

---

## ΤΡΙΤΟ ΜΕΡΟΣ

### ΤΟ ΜΑΓΝΗΤΙΚΟ ΠΕΔΙΟ

#### ΚΕΦΑΛΑΙΟ ΕΒΔΟΜΟ

##### ΜΑΓΝΗΤΙΣΜΟΣ

###### 7.1 Φυσικοί καὶ τεχνητοί μαγνήτες.

Ἄπο τά πολύ παλαιά χρόνια, εἶχε παρατηρηθεῖ διτί ἔνα δρισμένο δρυκτό εἴλη τήν ἰδιότητα νά ἔλκει μικρά κομμάτια ἀπό σιδηρο πού εἶχαν τοποθετηθεῖ σε μικρή ἀπόσταση ἀπό αὐτό. Ἀκόμα, εἶχε παρατηρηθεῖ διτί δύο μακρόστενα κομμάτια ἀπό τό ἴδιο δρυκτό ἄλλοτε ἔλκονταν καὶ ἄλλοτε ἀπωθοῦσε τό ἔνα τό ἄλλο, ἀνάλογα μέ τά ἄκρα τους, τά δποια βρίσκονταν τά ἄκρα τους, τό ἔνα ἀπέναντι στό ἄλλο. Τό δρυκτό αὐτό οἱ ἀρχαῖοι Ἑλληνες τό δνόμασαν **μαγνήτη λίθο**, ἐπειδή πρωτοβρέθηκε στή Μαγνησία τῆς Μικρᾶς Ἀσίας καὶ ἀναφέρεται ἡδη τό 500 π.Χ. ἀπό τό Θαλή τό Μιλήσιο.

Ως μαγνήτη **χαρακτηρίζομε σήμερα κάθε σῶμα ἢ διάταξη, πού ἔχει τήν ἰδιότητα νά ἔλκει καὶ νά ἀπωθεῖ κομμάτια σιδήρου, δπως ὁ μαγνήτης λίθος. Τό φαινόμενο αὐτό δνομάζομε «μαγνητισμό».**

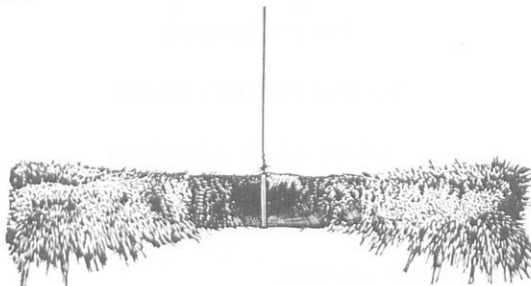
Τούς μαγνήτες διακρίνομε σέ **φυσικούς** καὶ **τεχνητούς**. Οἱ φυσικοί προέρχονται, δπως καὶ ὁ μαγνήτης λίθος, ἀπό τό δρυκτό **μαγνητίτη**, ἔνα δξείδιο τοῦ σιδηρο ( $Fe_3O_4$ ), πού βρίσκεται σήμερα σέ μεγάλες ποσότητες στή Σουηδία, Νορβηγία, Ρουμανία, στά Ούράλια δρη καὶ στίς Η.Π.Α. Στήν τεχνική, οἱ φυσικοί μαγνήτες δέν ἔχουν σήμερα σημασία, γιατί μποροῦμε νά κατασκευάσομε τεχνητούς, μέ πολύ καλύτερες μαγνητικές ἰδιότητες.

Οἱ **τεχνητοί μαγνήτες** κατασκευάζονται, δπως θά γνωρίσομε ἀργότερα, συνήθως μέ τή βοήθεια ἡλεκτρικοῦ ρεύματος εἴτε ἀπό σκληρό χάλυβα (χάλυβα πού σκληρύνθηκε μέ κατάλληλη θερμική ἐπεξεργασία), εἴτε ἀπό μαλακό σιδηρο. Οἱ μαγνήτες ἀπό σκληρό χάλυβα λέγονται **μόνιμοι μαγνήτες**, ἐπειδή διατηροῦν καὶ μέ τήν πάροδο τοῦ χρόνου τίς μαγνητικές τους ἰδιότητες. Οἱ μαγνήτες, ἀπό μαλακό σιδηρο λέγονται **ἡλεκτρομαγνήτες**, ἐπειδή συμπεριφέρονται σάν μαγνήτες, μόνο δσο διαρκεῖ ἡ ροή τοῦ ἡλεκτρικοῦ ρεύματος.

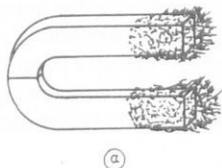
Ἀν πάρομε ἔνα μαγνήτη μέ μορφή ράβδου καὶ τόν βυθίσομε μέσα σέ ξύσματα (ρινίσματα) σιδήρου, θά παρατηρήσομε διτί στά δύο ἄκρα τοῦ μαγνήτη σχη-

ματίζονται σωροί άπό ξύσματα που προσκολλώνται σε αυτά, ένω στή μέση του δέν ύπάρχουν κολλημένα ξύσματα (σχ. 7.1a).

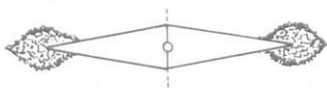
Τό ίδιο θά παρατηρήσομε στά άκρα και στή μέση ένός **πεταλοειδούς μαγνήτη** [σχ. 7.1β(α)] ή ένός μαγνήτη μέδιο ποιαδήποτε άλλη μορφή, π.χ. σε μία **μαγνητική βελόνη**, που είναι ένας πολύ λεπτός και έλαφρός μαγνήτης σε σχήμα ρόμβου [σχ. 7.1β(β)].



Σχ. 7.1a.



(α)



(β)

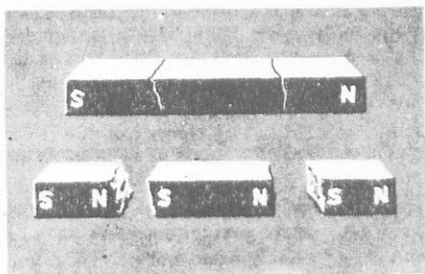
Σχ. 7.1β.

Τά δύο άκρα τοῦ μαγνήτη, στά όποια παρουσιάζεται ή μεγαλύτερη μαγνητική δράση, δονομάζονται **πόλοι**, ένω ή περιοχή, δπου δέν έμφανίζεται τέτοια, λέγεται **οὐδέτερη ζώνη**.

Άν τώρα κρεμάσομε μία μαγνητική βελόνη μέδιο νήμα από τό κέντρο βάροντς της, ώστε νά μπορεῖ νά περιστρέφεται έλευθερα, θά παρατηρήσομε ότι, άφοῦ πραγματοποιήσει μερικές ταλαντώσεις, ισορροπεῖ πάντοτε στήν ίδια θέση, άνεξάρτητα από τή θέση από δπου ξεκίνησε. Στή θέση αυτή, δένας πόλος της δείχνει πρός τό βορρά και γι' αυτό τόν δονομάζομε **βόρειο πόλο** και ό αλλος πρός τό νότο και τό λέμε νότιο πόλο. Τό βόρειο πόλο συμβολίζομε μέ τό γράμμα N (άπό τή λέξη Nord = βορράς), τό νότιο μέ τό γράμμα S (άπό τή λέξη Sud = νότος). Τήν ίδιότητα τής μαγνητικής βελόνης χρησιμοποιούμε, δπως θά δούμε πιό κάτω, γιά νά προσανατολιζόμαστε μέ τή βοήθεια είδικῶν όργάνων, που δονομάζονται **πυξίδες**.

Κάθε μαγνήτης, άνεξάρτητα από τή μορφή του, έχει δύο πόλους, ένα βόρειο και ένα νότιο, που προσδιορίζονται δπως οί πόλοι τής μαγνητικής βελόνης. Οι

πόλοι τῶν μαγνητῶν ἐμφανίζονται πάντοτε κατά ζεύγη καὶ δέν μποροῦν νά ξεχωρισθοῦν. Ἀν κόψομε ἔνα μαγνήτη στή μέση, θά δημιουργηθοῦν δύο μαγνῆτες μέ βόρειο καὶ νότιο πόλο ό καθένας (σχ. 7.1γ). Αὐτό συμβαίνει πάντοτε σέ δσο μικρά κομμάτια καὶ ἄν τεμαχίσομε ἔνα μαγνήτη καὶ μᾶς δόηγει στό συμπέρασμα δτι κάθε μόριο, ἀλλά καὶ κάθε ἀτομο τοῦ μαγνήτη εἶναι καὶ αὐτό ἔνας στοιχειώδης μαγνήτης μέ βόρειο καὶ νότιο πόλο.



Σχ. 7.1γ.

Ἀν πλησιάσομε τούς πόλους δύο μαγνητῶν, παρατηροῦμε δτι, ἄν οἱ πόλοι εἶναι **δύμώνυμοι**, δηλαδή καὶ οἱ δύο βόρειοι η νότιοι, **ἀπωθοῦνται**, ἐνῷ ἄν εἶναι **έτερώνυμοι**, δηλαδή ό ἔνας βόρειος καὶ ό ἄλλος νότιος, **ἔλκονται**. ሚν οἱ πόλοι βρίσκονται κοντά, η ἔλξη η ἀπωση εἶναι πιό ισχυρή ἀπό δτι εἶναι δσο ἀπομακρύνονται μεταξύ τους. ሚκόμα, παρατηροῦμε τό έξης, δταν ό ἔνας μαγνήτης εἶναι σταθερά τοποθετημένος σέ κάποια θέση στό χῶρο, ἐνῷ ό ἄλλος μπορεῖ νά περιστρέφεται ἐλεύθερα, γύρω ἀπό ἔνα σταθερό σημεῖο στό χῶρο (ἄς φαντασθοῦμε π.χ. μία μαγνητική βελόνη, ἀναρτημένη ἀπό τό κέντρο βάρους της σέ κάποιο σημεῖο κοντά στόν πρώτο μαγνήτη): ሚ δεύτερος αὐτός μαγνήτης στρέφεται καὶ **προσανατολίζεται** σέ μία διεύθυνση πού ἔξαρτᾶται ἀπό τή θέση του στό χῶρο. Δηλαδή ἄλλη διεύθυνση παίρνει σέ ἔνα σημεῖο τοῦ χώρου καὶ ἄλλη σέ ἄλλο.

Ἀν στόν πόλο ἔνός μαγνήτη πλησιάσομε μία σιδερένια η χαλύβδινη ράβδο, παρατηροῦμε δτι οἱ μαγνήτης ἔλκει τή ράβδο καὶ ἀκόμα δτι η ράβδος **μαγνητίζεται**, γίνεται δηλαδή καὶ αὐτή μαγνήτης, ἄλλα μέ πόλους ἀντίθετους ἀπό τούς πόλους τοῦ ἀρχικοῦ μαγνήτη. ሚ τό ἄκρο της πλησιάσει τό βόρειο πόλο γίνεται νότιος πόλος, ἐνῷ ἄν πλησιάσει τό νότιο γίνεται βόρειος. ሚάλογα μέ τό ύλικο ἀπό τό δποιο εἶναι φτιαγμένη η ράβδος, μαγνητίζεται μόνιμα η παροδικά. Ράβδοι ἀπό σκληρό χάλυβα διατηροῦν τίς μαγνητικές τους ίδιότητες καὶ δταν ἀπομακρυνθοῦν ἀπό τό μαγνήτη, ἐνῷ ράβδοι ἀπό μαλακό σίδηρο τίς χάνουν σύντομα. Τή μαγνήτιση αὐτή δνομάζομε **μαγνήτιση ἀπό ἐπιδραση**.

Φαινόμενα μαγνητίσεως παρατηροῦνται δχι μόνο στό σίδηρο καὶ χάλυβα, πού ἀναφέραμε προηγουμένως, ἄλλα καὶ σέ μία σειρά ἄλλων ύλικῶν, δπως

στό νικέλιο, στό κοβάλτιο, σέ διάφορα κράματα κλπ. Τά ύλικά αυτά δνομάζονται **σιδηρομαγνητικά ύλικα**.

Τήν έρμηνεία τοῦ φαινομένου τῆς μαγνητίσεως θά γνωρίσομε ἀργότερα, διατανθάνομενον τοῦ διαφόρων ύλικῶν. Προκαταβολικά, σημειώνομε ἐδῶ, διτι μαγνητικά φαινόμενα δημιουργούνται πάντοτε καὶ μόνο διατανθάνομενον τοῦ **ήλεκτρικοῦ ρεύματος** καὶ γενικά κίνηση ἡλεκτρικῶν φορτίων. Τό ἡλεκτρικό ρεῦμα εἶναι δηλαδὴ ἑκεῖνο πού δημιουργεῖ τό μαγνητίσμον. Στήν περίπτωση τῶν μονίμων μαγνητῶν δημιουργούνται ἀπό τήν περιστροφή τῶν ἡλεκτρονίων μέσα στά ἄτομα τοῦ ύλικοῦ.

## 7.2 Μαγνητικό πεδίο καὶ μαγνητικές γραμμές.

Από δισα ἀναφέραμε προηγουμένως, γίνεται φανερό διτι ἔνας μαγνήτης ἔξασκεῖ δύναμη σέ ἄλλους μαγνήτες καὶ σέ κομμάτια σιδηρομαγνητικῶν ύλικῶν, πού βρίσκονται στό χῶρο γύρω του καὶ διτι ἡ δύναμη αυτή προκαλεῖ ἄλλοτε τήν ἔλξη καὶ ἄλλοτε τήν ἄπωσή τους.

**Τό χῶρο, μέσα στόν διποῖο ἀσκοῦνται μαγνητικές δυνάμεις, δνομάζομε γενικά «μαγνητικό πεδίο».**

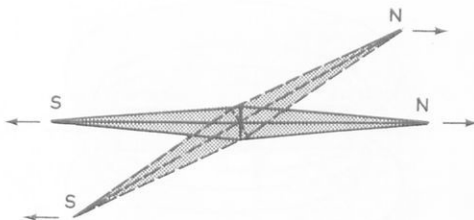
Από τά προηγούμενα, προκύπτει ἀκόμα, διτι ἡ δύναμη, πού ἀσκεῖ ἔνας μαγνήτης, εἶναι διαφορετική κατά **μέτρο** καὶ **διεύθυνση** στά διάφορα σημεῖα τοῦ χώρου γύρω του. Τό μέτρο τῆς ἔχει π.χ. μεγάλη τιμή κοντά στούς πόλους καὶ ἐλάχιστη κοντά στήν οὐδέτερη ζώνη. Έπίσης, ἡ διεύθυνσή της ἀλλάζει στά διάφορα σημεῖα, ἐφ' δισον διαφορετικά προσανατολίζεται, δπως εἴπαμε, ἔνας μαγνήτης ἀνάλογα μέτρη θέση του στό χῶρο.

Ἐνα μαγνητικό πεδίο μποροῦμε νά τό περιγράψομε, ἀν ἔρομε τή δύναμη πού ἀσκεῖ σέ κάθε σημεῖο του στόν πόλο ἐνός μαγνήτη, μέτρο, τή διεύθυνσή της καὶ τή φορά της.

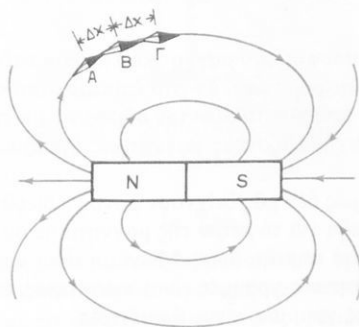
Γιά τόν προσδιορισμό τῆς δυνάμεως αυτῆς, μποροῦμε νά χρησιμοποιήσομε τή μαγνητική βελόνη πού γνωρίσαμε προηγουμένως. Ἄν ἀναρτήσομε τή βελόνη ἀπό τό κέντρο βάρους της σέ τυχόν σημεῖο τοῦ πεδίου, ὅστε νά μπορεῖ νά περιστρέφεται ἐλεύθερα, θά ἀσκηθεῖ στό βόρειο πόλο της δρισμένη δύναμη καὶ μία ἰστη καὶ ἀντίθετη δύναμη στό νότιο. Οι δύο δυνάμεις δημιουργούν ροπή στρέψεως, μέτρο πού ἔκτελέσει τή βελόνη **ταλαντώσεις** περί τόν αξού της καὶ τελικά νά ἰσορροπήσει στή **διεύθυνση**, πού ἀσκεῖται ἡ δύναμη τοῦ μαγνητικοῦ πεδίου στό σημεῖο αυτό.

Τή φορά τῆς δυνάμεως δρίζεται **συμβατικά** ἀπό τό νότιο πρός τό βόρειο πόλο τῆς βελόνης. Έτσι, προσδιορίζομε, τή διεύθυνση καὶ τή φορά τῆς μαγνητικῆς δυνάμεως, δηλαδὴ τή διεύθυνση καὶ τή φορά τοῦ μαγνητικοῦ πεδίου σέ ὅποιοδήποτε σημεῖο του (σχ. 7.2a).

Γιά τόν προσδιορισμό τοῦ **μέτρου** τῆς δυνάμεως, μποροῦμε π.χ. νά χρησιμο-



Σχ. 7.2α.

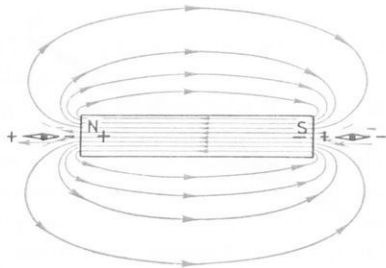


Σχ. 7.2β.

ποιήσομε τόν άριθμό τῶν ταλαντώσεων, πού πραγματοποιεῖ ἡ βελόνη σέ δρι-  
σμένο χρονικό διάστημα, π.χ. σέ 1 δευτερόλεπτο. "Οσο πιό μεγάλη είναι ἡ δύ-  
ναμη, τόσο πιό γρήγορα πάλλεται ἡ βελόνη καὶ τόσο μεγαλύτερος είναι ὁ ἀριθ-  
μός τῶν ταλαντώσεών της ἀνά δευτερόλεπτο.

"Αν τώρα, ξεκινώντας ἀπό ἓνα όποιοδήποτε σημεῖο Α τοῦ πεδίου, προχωρή-  
σομε τῇ μαγνητικῇ βελόνῃ στή διεύθυνση, πού ἔχει τό πεδίο στό σημεῖο αὐτό,  
κατά μία πολύ μικρή ἀπόσταση  $\Delta x$  ὡς τό σημεῖο Β, ἡ βελόνη θά τοποθετηθεῖ  
γενικά σέ μία νέα διεύθυνση (σχ. 7.2β). Προχωρώντας στή νέα διεύθυνση πάλι  
κατά ἀπόσταση  $\Delta x$  ὡς τό σημεῖο Γ, θά πάρομε νέα **διεύθυνση**. Έπαναλαμβά-  
νοντας διαδοχικά τή διαδικασία αὐτή καὶ ἐνώνοντας τά σημεῖα Α,Β,Γ... παίρ-  
νομε μία καμπύλη, σέ κάθε σημεῖο τῆς δροίας ἡ διεύθυνση τοῦ πεδίου δίνεται  
ἀπό τήν ἐφαπτομένη τῆς καμπύλης στό θεωρούμενο σημεῖο. Ἡ καμπύλη, πού  
προκύπτει μέ αὐτό τόν τρόπο, δονομάζεται **μαγνητική γραμμή τῆς ἐπαγωγῆς τοῦ  
πεδίου** ή, ἀπλά, **μαγνητική γραμμή**.

Ξεκινώντας ἀπό ἓνα ἄλλο σημεῖο τοῦ πεδίου, παίρνομε μία δεύτερη μαγνη-  
τική γραμμή κ.ο.κ. Σχεδιάζοντας ἀρκετές μαγνητικές γραμμές σέ ἓνα ἐπίπεδο  
γύρω ἀπό ἓνα μαγνήτη, δπως φαίνεται στό σχῆμα 7.2γ, παίρνομε μία πολύ πα-



Σχ. 7.2γ.

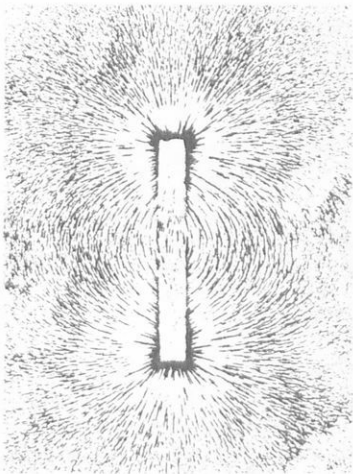
ραστατική είκόνα τῆς μορφῆς τοῦ μαγνητικοῦ πεδίου στό ἐπίπεδο αὐτό. Ἀνάλογη είκόνα παίρνομε πειραματικά, ἀν στό ἐπίπεδο αὐτό σκορπίσομε ξύσματα σιδήρου. Τά ξύσματα προσανατολίζονται σύμφωνα μέ τή διεύθυνση τοῦ πεδίου σέ κάθε σημεῖο σχηματίζοντας μαγνητικές γραμμές δπως φαίνεται στό σχῆμα 7.2δ.

Οἱ μαγνητικές γραμμές δέν μᾶς δείχνουν μόνο τή διεύθυνση τοῦ πεδίου, ἀλλά ἀποτελοῦν καὶ ἔνδειξη γιά τό **μέτρο** τῆς μαγνητικῆς δυνάμεως. Συγκεκριμένα, παρατηροῦμε δτι στά σημεῖα, δπου ἡ δύναμη εἶναι μεγαλύτερη, π.χ. κοντά στούς πόλους, οἱ μαγνητικές γραμμές εἶναι **πυκνότερες**, ἐνῶ, δπου εἶναι ἀσθενέστερη, οἱ μαγνητικές γραμμές εἶναι **ἀραιότερες**.

Σέ κάθε μαγνητική γραμμή σημειώνομε τή συμβατική φορά τῆς δυνάμεως, πού ἀσκεῖται σέ μία μαγνητική βελόνη ἐπάνω στή γραμμή. Ἐτσι, οἱ μαγνητικές γραμμές δείχνουν καὶ τή **φορά** τοῦ μαγνητικοῦ πεδίου σέ κάθε σημεῖο τοῦ χώρου.

Στό σχῆμα 7.2γ βλέπομε δτι οἱ μαγνητικές γραμμές, σύμφωνα μέ τή συμβατική φορά τοῦ πεδίου, «βγαίνουν» ἀπό τό βόρειο πόλο τοῦ μαγνήτη καὶ «μπαίνουν» στό νότιο πόλο. Ὄπως θά γνωρίσομε ἀργότερα, οἱ μαγνητικές γραμμές σχηματίζουν πάντοτε **κλειστές καμπύλες**, χωρίς ἀρχή καὶ τέλος. Ἐτσι, δεχόμαστε δτι οἱ μαγνητικές γραμμές συνεχίζονται στό ἐσωτερικό τοῦ μαγνήτη, κατευθυνόμενες ἀπό τό νότιο πρός τό βόρειο πόλο σχηματίζοντας τίς κλειστές διαδρομές πού φαίνονται στό σχῆμα.

Γιά νά ἀποφύγομε παρεξηγήσεις, πρέπει νά τονισθεῖ δτι οἱ μαγνητικές γραμμές μᾶς βοηθοῦν νά ἀποκτήσομε μία παραστατική είκόνα τοῦ μαγνητικοῦ πεδίου, δέν ἀποτελοῦν δμως οἱ ἴδιες ἔνα φυσικό μέγεθος. Ὁ ἀριθμός τῶν μαγνητικῶν γραμμῶν, πού σχεδιάζομε σέ ἔνα ἐπίπεδο, ἐκλέγεται αὐθαίρετα, ἀνάλογα μέ τήν κλίμακα σχεδιάσεως πού μᾶς ἔχουν πρετεῖ. Μποροῦμε π.χ. νά σχεδιάσομε 1 γραμμή ἀνά cm ἢ 2 γραμμές ἀνά cm στό ἐσωτερικό τοῦ μαγνήτη (σχ. 7.2γ) καὶ νά συνεχίσομε τίς μαγνητικές γραμμές στό ἐσωτερικό του, μέ τή διαδικασία τῆς μαγνητικῆς βελόνης πού περιγράψαμε. Ἐτσι, προκύπτουν πεδία μέ διαφορετικό ἀριθμό γραμμῶν, πού ἔχουν δμως τήν ἴδια μορφή. Ἐπίσης, πειρα-



Σχ. 7.2δ.

ματικά προκύπτει διαφορετικός άριθμός μαγνητικῶν γραμμῶν, ἀνάλογα μὲ τό πάχος τῶν ξυσμάτων τοῦ σιδήρου, πού χρησιμοποιοῦμε στό πείραμα.

Οπως θά γνωρίσομε ἀργότερα, τίς μαγνητικές γραμμές χρησιμοποιοῦμε γιά νά ἐκφράσομε ἔνα βασικό μέγεθος τοῦ μαγνητισμοῦ, τή μαγνητική ἐπαγωγή.

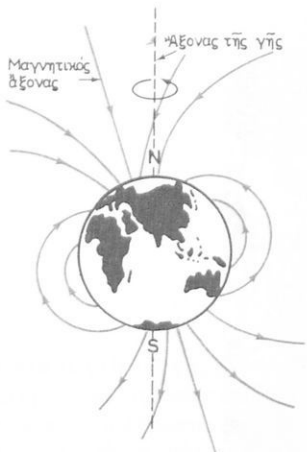
### 7.3 Γήινος μαγνητισμός – Μαγνητική πυξίδα.

Οπως γνωρίσαμε στήν παράγραφο 7.1, σέ όποιοδήποτε σημεῖο τῆς γῆς μία μαγνητική βελόνη, ἐλεύθερα ἀναρτημένη, προσανατολίζεται πάντοτε στήν κατεύθυνση βορρά - νότου. Αὐτό ἀποδεικνύει τήν 禋παρξη ἐνός **γήινου μαγνητικοῦ πεδίου**, πού ἐπιδρᾶ ἐπάνω στή βελόνη.

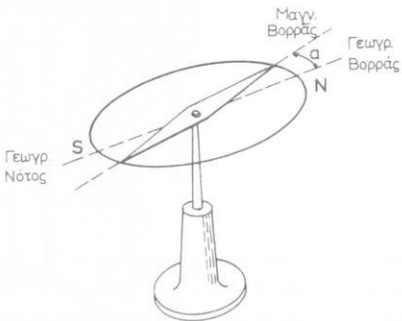
Ἡ γῆ συμπεριφέρεται σάν ἔνας τεράστιος μαγνήτης. Οἱ πόλοι τοῦ μαγνήτη αὐτοῦ δέν συμπίπτουν ἀκριβῶς μέ τοὺς γεωγραφικούς πόλους, δπως φαίνεται στό σχῆμα 7.3α. Ἐτσι, ἡ διεύθυνση βορρά - νότου, πού δείχνει ἡ μαγνητική βελόνη, πρέπει νά διορθωθεῖ, γιά νά δώσει τή διεύθυνση τοῦ γεωγραφικοῦ βορρά - νότου. Ἡ ἐπίπεδη γωνία α ἥ ἡ ἀντίστοιχή της δίεδρη γωνία, πού σχηματίζεται ἀπό τά ἐπίπεδα τοῦ γεωγραφικοῦ μεσημβρινοῦ καὶ τοῦ μαγνητικοῦ μεσημβρινοῦ, δνομάζεται **ἀπόκλιση** (σχ. 7.3β).

Ἐφ' δσον ἔχομε δρίσει ώς βόρειο πόλο τῆς μαγνητικῆς βελόνης τόν πόλο πού δείχνει πρός τό βορρά καὶ εἶναι ἐπίσης γνωστό δτι ἐτερώνυμοι πόλοι ἔλκονται, ἔπειται, δτι κοντά στό βόρειο γεωγραφικό πόλο εἶναι ὁ νότιος μαγνητικός πόλος καὶ κοντά στό νότιο γεωγραφικό ὁ βόρειος μαγνητικός.

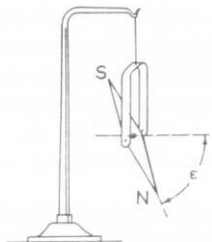
Ἡ μορφή τοῦ γήινου μαγνητικοῦ πεδίου γίνεται φανερή ἀπό τίς μαγνητικές του γραμμές. Οἱ γραμμές αὐτές δέν συναντοῦν τήν ἐπιφάνεια τῆς γῆς κάθετα,



Σχ. 7.3α.



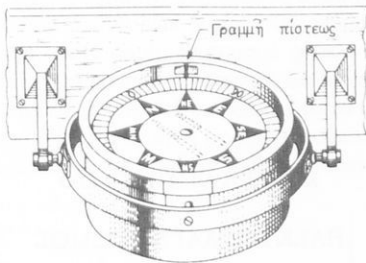
Σχ. 7.3β.



Σχ. 7.3γ.

ἀλλά λοξά, ἐκτός ἀπό τίς περιοχές τῶν μαγνητικῶν πόλων. Ἐτσι, μία μαγνητική βελόνη στήν ἐπιφάνεια τῆς γῆς, ἐπειδὴ προσανατολίζεται στή διεύθυνση τῶν μαγνητικῶν γραμμῶν, σχηματίζει ὁρισμένη γωνία εώς πρός τό ὁριζόντιο ἐπίπεδο. Ἡ γωνία αὐτή δονομάζεται **ἔγκλιση** και κυμαίνεται ἀπό  $0^{\circ}$  στὸν  $i\sigma\mu\epsilon\rho\iota\pi\omega$ , δπου οἱ μαγνητικές γραμμές εἶναι ὁριζόντιες στήν ἐπιφάνεια τῆς γῆς, ως  $90^{\circ}$  στούς πόλους, δπου εἶναι κάθετες (σχ. 7.3γ).

Γιά τόν προσανατολισμό μέ τή βοήθεια τοῦ μαγνητικοῦ πεδίου τῆς γῆς, ἀναρτᾶται ἡ μαγνητική βελόνη στό κέντρο ἐνός κυλινδρικοῦ κουτιοῦ. Στή βάση τοῦ κουτιοῦ εἶναι σχεδιασμένα τά σημεῖα τοῦ ὁρίζοντα, δηλαδή τό ἀνεμολόγιο, ἐνῶ ἡ δροφή του κλείνει μέ διαφανές καπάκι. Ἐτσι, δημιουργεῖται ἔνα δργανό πού δονομάζεται **πνεύμα**.



Σχ. 7.3δ.

Στίς ναυτικές πυξίδες, τό άνεμολόγιο είναι σχεδιασμένο σέ δίσκο πού περιστρέφεται μαζί με τή βελόνη (σχ. 7.3δ). Ή πυξίδα είναι άναρτημένη έτσι, ώστε νά διατηρεῖ πάντοτε τήν όριζόντια θέση. Στό έσωτερικό τοίχωμά της έχει σημειωμένη μία γραμμή, πού δείχνει τό διαμήκη αξονα τοῦ πλοίου. Ή γραμμή αυτή δονομάζεται *γραμμή πίστεως* τοῦ πλοίου. Όταν τό πλοϊο στρέφεται, στρέφεται μαζί του και ή γραμμή πίστεως ένω τό άνεμολόγιο διατηρεῖ άμετάβλητη τή θέση του. Τό σημεῖο τοῦ όριζοντα, πού συμπίπτει με τή γραμμή πίστεως, δίνει τήν πορεία τοῦ πλοίου.



## ΚΕΦΑΛΑΙΟ ΟΓΔΟΟ

### ΗΛΕΚΤΡΟΜΑΓΝΗΤΙΣΜΟΣ

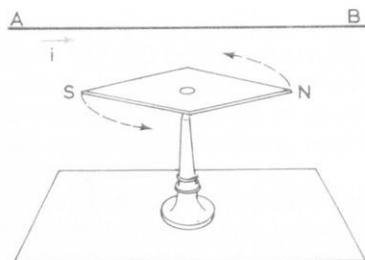
Τό 1819 ό Δανός φυσικός *H.C. Oersted* άνεκάλυψε ότι το ήλεκτρικό ρεῦμα, που διαρρέει άγωγούς, προκαλεῖ μαγνητικές δράσεις, διπος ένας μαγνήτης. Τά μαγνητικά φαινόμενα, που δφείλονται στο ήλεκτρικό ρεῦμα άγωγών, ονομάζονται **ήλεκτρομαγνητικά** και μέ τα φαινόμενα αυτά θά άσχοληθούμε στή συνέχεια.

Στήν άρχη, θά έξετάσουμε το μαγνητικό πεδίο, που δημιουργεῖται άπό ένα εύθυγραμμο άγωγό και τό πεδίο, πρό δημιουργεῖται άπό ένα πηνίο, δταν άγωγός και πηνίο διαρρέονται άπό ρεῦμα. Κατόπιν, θά όρισουμε τά μεγέθη και τίς μονάδες, μέ τίς όποιες περιγράφονται τά μαγνητικά πεδία και παράλληλα θά γνωρίσουμε τίς βασικές τους ιδιότητες.

#### 8.1 Τό μαγνητικό πεδίο εύθυγραμμου άγωγού και πηνίου.

##### a) *Εύθυγραμμος άγωγός.*

Έξετάζομε ένα μακρύ εύθυγραμμό άγωγό που διαρρέεται άπό συνεχές ρεῦμα έντάσεως I (σχ. 8.1a). Αν, σέ όποιοδήποτε σημείο κοντά στόν άγωγό, τοποθετήσουμε μία μαγνητική βελόνη, έλευθερα άναρτημένη άπό τό κέντρο βάρους της, θά παρατηρήσουμε ότι έκτελεί ταλαντώσεις και τελικά ίσορροπεῖ σέ όρισμένη θέση, άνεξάρτητη άπό τήν άρχική. Αν ό άγωγός δέν διαρρέεται άπό την άρχική της θέση,

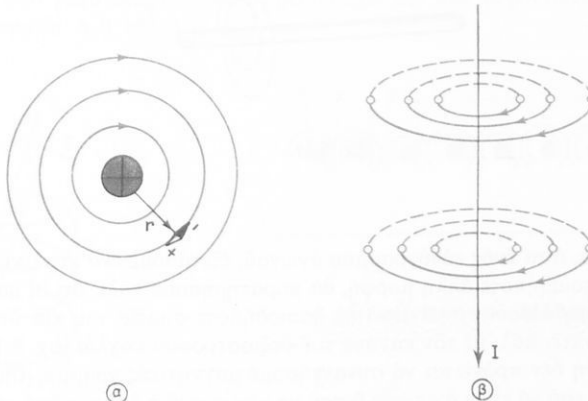


Σχ. 8.1a.

a) Πεδίο πρισματικής ράβδου. β) Πεδίο πηνίου.

Αύτό μᾶς δδηγεῖ στό συμπέρασμα ότι στή βελόνη ἀσκεῖται μαγνητική δύναμη ἀπό μαγνητικό πεδίο, πού δημιουργεῖ ή ροή τοῦ ρεύματος στόν ἄγωγό.

Ἐξετάζοντας τή θέση, στήν όποια ἰσορροπεῖ ή βελόνη, παρατηροῦμε ότι βρίσκεται σέ ἓνα ἐπίπεδο κάθετο στόν ἄγωγό καί διτή ή διεύθυνσή της εἶναι κάθετη στήν εὐθεία πού ἐνώνει ἐπάνω στό ἐπίπεδο αὐτό τό κέντρο βάρους της μέτόν ἄγωγό. Στό σχῆμα 8.1β(α) δ ἄγωγός διαπερνᾶ κάθετα τό ἐπίπεδο τοῦ χαρτοῦ. Στό ἐπίπεδο αὐτό ἰσορροπεῖ ή βελόνη μέ διεύθυνση κάθετη στήν ἀκτίνα γ.



Σχ. 8.1β.

Ἄν σχεδιάσουμε τίς μαγνητικές γραμμές τοῦ πεδίου μέ τή βοήθεια μᾶς μαγνητικῆς βελόνης, δπως κάναμε στήν παράγραφο 7.2, θά παρατηρήσομε ότι προκύπτουν **δύμοκεντροι κύκλοι** μέ κέντρο τόν ἄγωγό, οἱ όποιοι βρίσκονται σέ ἐπίπεδα κάθετα πρός αὐτόν [σχ. 8.1β(β)].

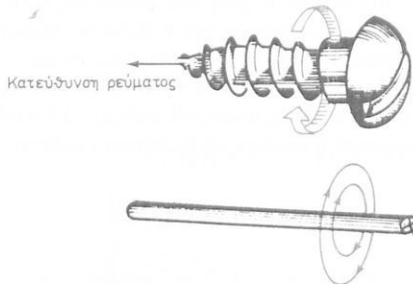
Ἡ φορά τῶν μαγνητικῶν γραμμῶν ἔξαρτᾶται ἀπό τή φορά τοῦ ρεύματος στόν ἄγωγό καί ἀντιστρέφεται δταν αὐτή ἀλλάξει. Στό σχῆμα 8.1β(α) τό ρεῦμα μπαίνει στό ἐπίπεδο τοῦ βιβλίου καί ή φορά τῶν μαγνητικῶν γραμμῶν συμπίπτει μέ τή φορά κινήσεως τῶν δεικτῶν τοῦ ρολογιοῦ.

Τή φορά τῶν μαγνητικῶν γραμμῶν προσδιορίζομε εὔκολα μέ τή βοήθεια ἑνός δεξιόστροφου κοχλίας (βίδας). *Ἄν φαντασθοῦμε ότι ὁ κοχλίας περιστρέφεται, ὥστε νά προχωρεῖ κατά μῆκος τοῦ ἄγωγον στή φορά τοῦ ρεύματος, ή φορά περιστροφῆς τον συμπίπτει μέ τή φορά τῶν μαγνητικῶν γραμμῶν (σχ. 8.1γ) (κανόνας δεξιόστροφου κοχλίας).*

Πειραματικά, ἀποδεικνύεται δτι τό μέτρο  $F$  τῆς δυνάμεως  $\vec{F}$ , πού ἀσκεῖται ἐπάνω στή μαγνητική βελόνη, εἶναι ἀνάλογο τῆς ἐντάσεως τοῦ ρεύματος  $I$  καὶ ἀντίστροφα ἀνάλογο τῆς κάθετης ἀποστάσεως  $r$  ἀπό τόν ἄγωγό:

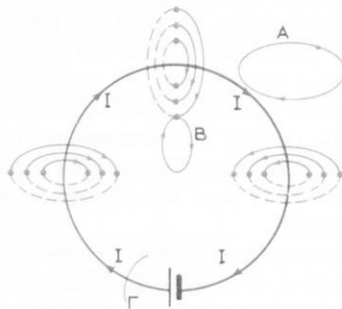
$$F \sim \frac{I}{r}$$

Κατεύθυνση μαγνητικῶν γραμμῶν



Σχ. 8.1γ.

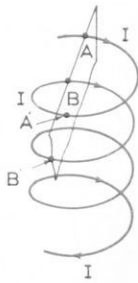
Ἄν τώρα, ἀντί ένός εὐθύγραμμου ἀγωγοῦ, ἔξετάσομε ἔνα κυκλικό ἡ ἔνα ἀ-  
γωγό μέ δόπιαδήποτε ἄλλη μορφῇ, θά παρατηρήσομε πάλι, διτοί οἱ μαγνητικές  
γραμμές **περιβάλλον** τὸν ἀγωγό σὲ δόπιοδήποτε σημεῖο του καὶ διτοί ἡ φορά  
τους προκύπτει πάλι μέ τὸν κανόνα τοῦ δεξιόστροφου κοχλία (σχ. 8.1δ). Που-  
θενά δηλαδή δέν πρόκειται νά συναντήσομε μαγνητικές γραμμές τῆς μορφῆς  
Α ἡ Β ἡ Γ, πού νά είναι ἀνοικτές ἡ πού νά μήν περνᾶ ὁ ἀγωγός ἀπό μέσα τους.  
Αὐτό μᾶς ὀδηγεῖ στό σπουδαῖο συμπέρασμα διτοί οἱ **μαγνητικές γραμμές εἰναι**  
**πάντοτε κλειστές** καὶ διτοί συνδέονται μέ τό ρεῦμα πού τίς προκαλεῖ, δπως οἱ  
κρίκοι μιᾶς ἀλυσίδας. Ἐτσι, λέμε διτοί ρεῦμα καὶ γραμμές είναι ἀλληλοδεμένες  
καὶ ὀνομάζομε τό φαινόμενο αὐτό **ἀλληλένδεση**.



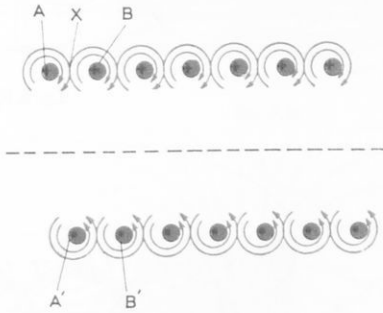
Σχ. 8.1δ.

**β) Πηνίο.**

Έξετάζουμε τώρα ένα πηνίο, διαρρεόμενο άπό συνεχές ρεῦμα, έντάσεως I. Γιά νύ προσδιορίσουμε τή μορφή τοῦ μαγνητικοῦ του πεδίου, φανταζόμασθε δτι τό πηνίο κόβεται κατά μῆκος τοῦ ἄξονά του άπο ένα ἐπίπεδο, δπως φαίνεται στό σχῆμα 8.1ε. Κάθε σπείρα τοῦ πηνίου κόβεται τό ἐπίπεδο αὐτό σέ δύο σημεία, π.χ. τά A, A', τά B, B', κ.ο.κ., στά όποια τό ρεῦμα έχει **ἀντίθετη** φορά. Αντίθετα, σέ δύο γειτονικές σπεῖρες τό ρεῦμα έχει τήν ίδια φορά, δπως φαίνεται π.χ. στά σημεῖα A, B καὶ A', B'.



Σχ. 8.1ε.

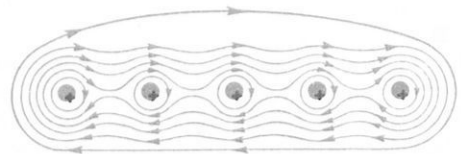


Σχ. 8.1στ.

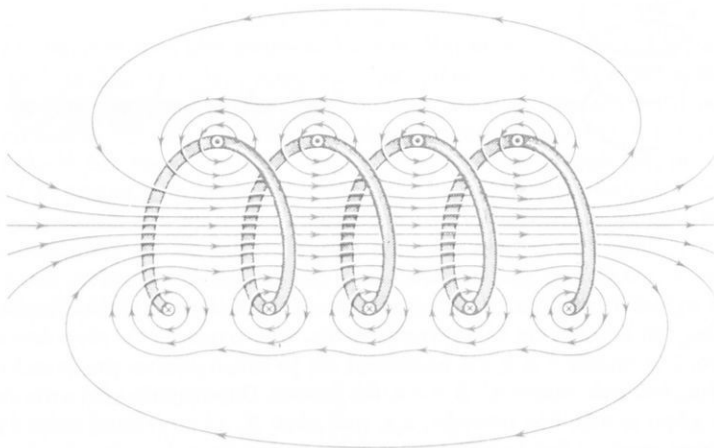
Τό σχῆμα 8.1στ δίνει τήν τομή τῶν σπειρῶν τοῦ πηνίου μέ τό ἐπίπεδο τῆς σελίδας τοῦ βιβλίου καὶ τό μαγνητικό πεδίο, πού σχηματίζεται γύρω άπό κάθε ἀγωγό. Στά σημεῖα A, B κ.ο.κ. ύποθέτομε δτι τό ρεῦμα μπαίνει στό ἐπίπεδο τῆς σελίδας, ἐνῶ στά σημεῖα A', B' κ.ο.κ. δτι βγαίνει. Παρατηροῦμε δτι στόν ἐνδιάμεσο χῶρο μεταξύ δύο σπειρῶν, π.χ. στό χῶρο X, τά μαγνητικά πεδία έχουν ἀντίθετες φορές. Αὐτό έχει σάν ἀποτέλεσμα νά ξεουδετερώνονται τά πεδία ολικά ή μερικά, δπως οί ἀντίθετες μηχανικές δυνάμεις. Άκριβῶς στό κέντρο μεταξύ τῶν δύο ἀγωγῶν, τά πεδία είναι ίσα καὶ ἀντίθετα καὶ τό ολικό πεδίο μηδέν. Στό χῶρο AX ύπερισχύει τό πεδίο τοῦ ἀγωγοῦ A, ἐνῶ στό XB τό πεδίο τοῦ B.

Από τή σύνθεση τῶν πεδίων μεταξύ τῶν σπειρῶν, δηλαδή άπό τή διανυσματική πρόσθεση τῶν δυνάμεων, πού δημιουργοῦν τά πεδία, προκύπτει δτι οί μαγνητικές γραμμές τοῦ πηνίου έχουν τή μορφή, πού δείχνει τό σχῆμα 8.1ζ. Τό σχῆμα 8.1η δείχνει πιο παραστατικά τή μορφή τοῦ πεδίου.

Οι μαγνητικές γραμμές είναι κλειστές καὶ περιβάλλουν δλους, ή μεγάλο άριθμό τῶν ἀγωγῶν τοῦ πηνίου. Όταν οί σπεῖρες ἀπέχουν μεταξύ τους, δπως στά σχήματα 8.1ζ καὶ 8.1η, οἱ μαγνητικές γραμμές παρουσιάζουν μία κυμάτωση στό χῶρο μεταξύ τῶν σπειρῶν, πού δμως μειώνεται, δσο ἀπομακρυνόμαστε



Σχ. 8.1ζ.



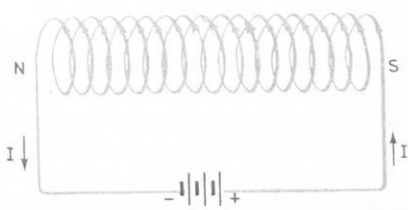
Σχ. 8.1η.

άπο τούς άγωγούς. Όταν οι σπείρες είναι πολύ κοντά ή μία στήν άλλη, δπως στό πηνίο τοῦ σχήματος 8.1θ, προκύπτει τό μαγνητικό πεδίο τοῦ σχήματος 8.1ι.

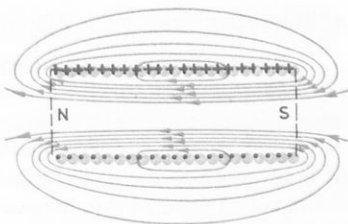
Οι μαγνητικές γραμμές διασχίζουν τό έσωτερικό τοῦ πηνίου σέ μία κατεύθυνση. Στό ίκρο του χωρίζονται και έπιστρέφουν μέσα άπο τόν έξωτερικό χώρο στό ίκλο ίκρο. Σέ ένα ίρκετά μακρύ πηνίο, συγκριτικά μέ τή διάμετρό του, μπορούμε νά θεωρήσουμε κατά προσέγγιση δτι οι μαγνητικές γραμμές στό έσωτερικό τοῦ πηνίου είναι **παράλληλες** μεταξύ τους και δτι ο διάριθμός τους είναι ίδιος σέ όποιαδήποτε κάθετη τομή στόν ίξονα τοῦ πηνίου.

Συγκρίνοντας τό μαγνητικό πεδίο τοῦ πηνίου μέ τό πεδίο ένός μόνιμου μα-

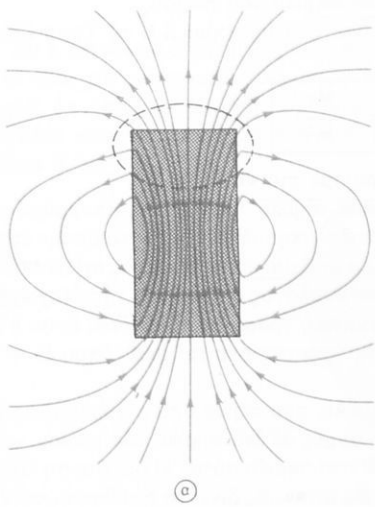
γνήτη, που έχει μορφή πρισματικής ράβδου, παρατηροῦμε δτι τά δύο πεδία παρουσιάζουν πάρα πολύ μεγάλη δμοιότητα [σχ. 8.1a(α,β)]. Έτσι συμπεραίνομε δτι ή ράβδος και τό πηνίο πρέπει νά έχουν τήν ίδια μαγνητική συμπεριφορά. Και αντό έπιβεβαιώνεται πειραματικά.



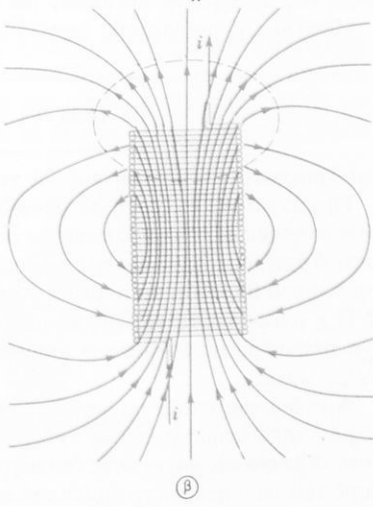
Σχ. 8.1θ.



Σχ. 8.1η.



(α)



(β)

Σχ. 8.1α.

Όπως και στό μόνιμο μαγνήτη, ώς βόρειο πόλο N τοῦ πηνίου χαρακτηρίζομε τό άκρο του, άπό δπου έξέρχονται οι μαγνητικές γραμμές και νότιο τό άκρο, άπό δπου είσέρχονται. Ή φορά τῶν μαγνητικῶν γραμμῶν προσδιορίζεται εύκολα μέ τόν κανόνα τοῦ δεξιόστροφου κοχλία. Ἀν περιστρέψομε τόν κοχλία στή φορά πού ρέει τό ρεῦμα στίς σπεῖρες, δ κοχλίας θά προχωρήσει πρός τό βόρειο πόλο τοῦ πηνίου.

Ἐνα πηνίο διαρρέομενο ἀπό ρεῦμα ἔλκει ή ἀπωθεῖ ἄλλο πηνίο ἐπίσης διαρρέομενο ἀπό ρεῦμα ή ἔνα μόνιμο μαγνήτη, δπως ἀκριβῶς συμβαίνει μέ δύο μό-

νιμους μαγνήτες. Άντιθετα δυνατός μέ αύτούς, ή μαγνητική δράση του πηνίου διαρκεί μόνο δύο ρέει τό ρεύμα άπο αύτό. Τό μαγνητικό πεδίο εξαφανίζεται, δηταν σταματήσει ή ροή τού ρεύματος.

## 8.2 Μεγέθη και μονάδες τού μαγνητικού πεδίου.

### a) Μαγνητική έπαγωγή – Μαγνητική ροή.

Τη δύναμη  $\vec{F}$ , πού άσκει τό μαγνητικό πεδίο σέ ξνα τυχόν σημείο του στόν πόλο ένός μαγνήτη, άποδεικνύεται δτι είναι άνάλογη ένός μεγέθους, πού χαρακτηρίζει τό πεδίο στό σημείο αύτό και πού δονομάζεται **μαγνητική έπαγωγή**. Ή μαγνητική έπαγωγή είναι διανυσματικό μέγεθος και γι' αύτό συμβολίζεται μέ β και τό μέτρο της μέ B. Ή διεύθυνση και ή φορά της είναι ίδιες μέ τή διεύθυνση και τή φορά τών μαγνητικῶν γραμμῶν, δηλαδή τού μαγνητικού πεδίου, γιατί οι μαγνητικές γραμμές δίνουν, δπως ηδη γνωρίσαμε, τή διεύθυνση και τή φορά τής μαγνητικῆς δυνάμεως, σέ κάθε σημείο τού πεδίου.

Μονάδα τής μαγνητικῆς έπαγωγῆς είναι στό σύστημα S.I. τό Tesla (T):

$$1 \text{ Tesla} = 1 \text{ T} = 1 \frac{\text{Vs}}{\text{m}^2} \quad (1)$$

και προκύπτει άπο σχέση πού θά γνωρίσομε πιο κάτω.

Τή μαγνητική έπαγωγή σέ δποιοδήποτε σημείο τού πεδίου, μποροῦμε νά παραστήσομε μέ τή βοήθεια τῶν μαγνητικῶν γραμμῶν, ἄν τίς σχεδιάσομε ἔτσι, ὅστε ού άριθμός αύτῶν πού περνοῦν κάθετα άπο μία έπιφάνεια ένός  $\text{m}^2$  (τοποθετημένη στό θεωρούμενο σημείο), νά είναι άνάλογος τού **μέτρου τής έπαγωγῆς B**. Π.χ. μποροῦμε νά σχεδιάζομε μία μαγνητική γραμμή άνά  $\text{m}^2$  έκει, δπου ή B έχει μέτρο ίσο μέ 1  $\text{Vs}/\text{m}^2$ , 5 μαγνητικές γραμμές άνά  $\text{m}^2$  έκει, δπου B = 5  $\text{Vs}/\text{m}^2$  κ.ο.κ.

Άρα ού άριθμός τῶν μαγνητικῶν γραμμῶν, πού περνά άπο μία έπιφάνεια ένός  $\text{m}^2$  τοποθετημένη κάθετα πρός τίς γραμμές σέ ξνα σημείο τού πεδίου, μᾶς δίνει τό **μέτρο τής μαγνητικῆς έπαγωγῆς B** στό σημείο αύτό. Ή διεύθυνση και ή φορά τῶν μαγνητικῶν γραμμῶν στό σημείο αύτό μᾶς δίνει τή διεύθυνση και τή φορά τής μαγνητικῆς έπαγωγῆς.

Όταν ή μαγνητική έπαγωγή  $\vec{B}$  είναι σταθερή χρονικά σέ κάθε σημείο τού πεδίου, τό πεδίο όνομάζεται **μόνιμο ή στατικό μαγνητικό πεδίο**. Σέ άντιθετη περίπτωση, δονομάζεται **μεταβαλλόμενο μαγνητικό πεδίο**.

Τό μαγνητικό πεδίο, πού οφείλεται σέ συνεχές ρεύμα είναι μόνιμο, ένω ἄν οφείλεται σέ έναλλασσόμενο είναι μεταβαλλόμενο.

Όταν ή μαγνητική έπαγωγή  $\vec{B}$  ένός πεδίου είναι σταθερή χρονικά και ίδια παντού, δηλαδή έχει τό ίδιο μέτρο, τήν ίδια διεύθυνση και τήν ίδια φορά σέ δλα τά σημεῖα τού πεδίου, τότε τό πεδίο δονομάζεται **όμογενές ή όμοιόμορφο**. Σέ άντιθετη περίπτωση δονομάζεται **άνομοιόμορφο**.

Όμοιογενές είναι π.χ. τό πεδίο στό έσωτερικό ένός μακρόστενου πηνίου, πού διαρρέεται άπό ρεῦμα, ένω άνομοιόμορφο είναι τό πεδίο γύρω άπό ένα ρευματοφόρο άγωγό.

### β) Μαγνητική ροή.

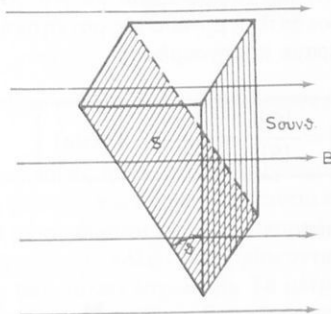
Έφ' δσον ή μαγνητική έπαγωγή  $B$  δίνει τόν άριθμό τῶν μαγνητικῶν γραμμῶν, πού περνοῦν κάθετα άπό μία έπιφάνεια ένός  $m^2$ , ενδοκαλα ύπολογίζεται ού άριθμός τῶν μαγνητικῶν γραμμῶν, πού διαπερνοῦν μία έπιφάνεια  $S m^2$ .

Ο δίλικός άριθμός τῶν μαγνητικῶν γραμμῶν, πού διαπερνᾶ μία έπιφάνεια, όνομάζεται «μαγνητική ροή τῆς μαγνητικῆς έπαγωγῆς  $B$ » ή άπλα «μαγνητική ροή» καί συμβολίζεται μέ τό γράμμα  $\Phi$ .

Άν η έπιφάνεια είναι κάθετη στίς μαγνητικές γραμμές καί τό πεδίο είναι ομοιογενές σέ δλα τά σημεία τῆς έπιφάνειας, τότε:

$$\boxed{\Phi = B \cdot S} \quad (2)$$

Άν η έπιφάνεια  $S$  σχηματίζει δρισμένη γωνία  $\theta$  μέ τό έπίπεδο, πού είναι κάθετο πρός τίς μαγνητικές γραμμές, γιά νά ύπολογίζομε τή ροή  $\Phi$  πού τή διαπερνᾶ, ύπολογίζομε τή ροή πού διαπερνᾶ τήν κάθετη έπιφάνεια πρός τίς μαγνητικές γραμμές  $S$  συνθ καί πού είναι ίδια μέ τή ροή  $\Phi$ , δπως φαίνεται άπό τό σχῆμα 8.2a.



Σχ. 8.2a.

Έφ' δσον τό πεδίο είναι ομοιογενές, ή  $\Phi$  δίνεται άπό τόν τύπο:

$$\boxed{\Phi = B \cdot S \sin \theta} \quad (3)$$

Άν η  $B$  δέν είναι ίδια σέ δλη τήν έπιφάνεια  $S$ , δηλαδή τό πεδίο είναι άνομοιόμορφο, παίρνομε ένα πολύ μικρό τμῆμα τῆς έπιφάνειας  $dS$  (στοιχειώδες τμῆμα), στό δόποιο μποροῦμε νά ύπολογίσομε δτί ή  $B$  είναι σταθερή καί έφαρμόζομε τούς τύπους (2) καί (3), γιά νά ύπολογίσομε τή στοιχειώδη μαγνητική ροή  $d\Phi$ , πού διαπερνᾶ τήν έπιφάνεια  $dS$ .

"Όταν τό πεδίο είναι κάθετο στήν έπιφάνεια  $dS$ , έχουμε:

$$d\Phi = BdS \quad (4)$$

ένω, δταν ή  $dS$  σχηματίζει γωνία  $\theta$  μέ τό έπιπεδο πού είναι κάθετο στό πηνίο:

$$d\Phi = B \sin \theta dS \quad (5)$$

Η διλική ροή  $\Phi$  βρίσκεται, αν προσθέσουμε δλες τίς στοιχειώδεις ροές  $d\Phi$  τής έπιφάνειας  $S$ , ή, δπως λέμε, αν **δλοκληρώσουμε** τίς σχέσεις (4) και (5) σέ δλη τήν έπιφάνεια  $S$ . Άρα έχουμε άπό τή σχέση (4):

$$\boxed{\Phi = \int_S BdS} \quad (6)$$

και άπό τή σχέση (5):

$$\boxed{\Phi = \int_S B \sin \theta dS} \quad (7)$$

Μονάδα τής μαγνητικής ροής είναι στό σύστημα S.I. τό Vs (βολτδευτερόλεπτο), πού προκύπτει άπό σχέση πού δίνεται άργότερα στήν παράγραφο 10.3. Τό Vs δονομάζεται Weber και συμβολίζεται μέ Wb.

Άπό τή σχέση (2) προκύπτει ή μονάδα τής μαγνητικής έπαγωγής 1T (Tesla) = 1 Vs/m<sup>2</sup>, πού άναφέραμε προηγουμένως:

$$\boxed{[B] = \frac{[\Phi]}{[S]} = \frac{Vs}{m^2} \quad (\text{Tesla})}$$

### Άριθμητικά παραδείγματα.

#### Παράδειγμα 1.

Δίνεται ένα μακρόστενο πηνίο μέ διάμετρο  $d = 2$  cm, διαρρεόμενο άπό συνέχες ρεύμα. Η μαγνητική έπαγωγή  $B$  στό έσωτερικό τοῦ πηνίου είναι 0,1 T. Νά υπολογισθεῖ ή μαγνητική ροή  $\Phi$  στό έσωτερικό τοῦ πηνίου.

#### Αύση.

Χρησιμοποιοῦμε τόν τύπο (2):

$$\Phi = B \cdot S$$

Η έπιφάνεια  $S$  τοῦ πηνίου, πού είναι κάθετη πρός τίς μαγνητικές γραμμές και τή διαπερνᾶ δλη ή μαγνητική ροή, είναι ή διατομή τοῦ πηνίου μέ έμβαδό:

$$S = \frac{\pi d^2}{4}$$

Αρα  $\Phi = B \frac{\pi d^2}{4} = 0,1 \frac{\pi \cdot 0,02^2}{4} = 3,14 \cdot 10^{-5}$

$$\underline{\Phi = 3,14 \cdot 10^{-5} \text{ Vs}}$$

### Παράδειγμα 2.

Η μαγνητική ροή που διαπερνά τό έπιπεδο  $S = 80 \text{ cm}^2$  τού μαγνητικού πεδίου τού σχήματος 8.2α είναι:  $\Phi = 0,0076 \text{ Vs}$ . Νά ύπολογισθεῖ ή μαγνητική έπιαγωγή  $B$  τού πεδίου, αν ή γωνία, που σχηματίζει τό έπιπεδο  $S$  μέ τό κάθετο πρός τίς μαγνητικές γραμμές έπιπεδο, είναι  $\theta = 30^\circ$ .

### Λύση.

Χρησιμοποιοῦμε τόν τύπο (3):

$$\Phi = B \cdot S \sin \theta$$

$$B = \frac{\Phi}{S \sin \theta} = \frac{0,0076}{80 \cdot 10^{-4} \cdot 0,866} = 1,1 \text{ Vs/m}^2$$

$$\underline{B = 1,1 \text{ T}}$$

γ) *Μαγνητοστατικός νόμος τοῦ Coulomb. Συντελεστής μαγνητικῆς διαπερατότητας.*

Όταν δύο μόνιμοι μαγνήτες η δύο πηνία διαρρεόμενα άπό ρεῦμα έχουν μεγάλο μήκος καὶ μικρή διατομή καὶ άκόμα βρίσκονται σέ μεγάλη άπόσταση μεταξύ τους, συγκριτικά μέ τίς διαστάσεις τους, μποροῦμε νά θεωρήσουμε διά δύναμη ἀσκεῖται μόνο μεταξύ τῶν πόλων ποὺ βρίσκονται άπέναντι καὶ δχι μεταξύ τοῦ ἄλλου ζεύγους τῶν πόλων (σχ. 8.2β). Τό μέτρο τῆς δυνάμεως, πού ἀσκεῖται μεταξύ τῶν δύο άπέναντι πόλων, βρίσκεται πειραματικά διά είναι ἀνάλογο τοῦ γινομένου τῶν μαγνητικῶν ροῶν  $\Phi_1$  καὶ  $\Phi_2$  τῶν δύο πόλων καὶ ἀντιστροφα ἀνάλογο τοῦ τετραγώνου τῆς ἀποστάσεως  $r$ , (οἱ ροές  $\Phi_1$ ,  $\Phi_2$  ύπολογίζονται γιά έπιφάνειες ποὺ περιβάλλουν τούς πόλους).

$$F = \frac{1}{\mu} \frac{\Phi_1 \Phi_2}{r^2}$$

(9)



Σχ. 8.2β.

Ο συντελεστής μ δύναται να γραφεται ως **μαγνητική διαπερατότητα** και έχει τη μονάδα Vs/Am.

Η μαγνητική διαπερατότητα του κενού χώρου συμβολίζεται με  $\mu_0$  και έχει τη μονάδα Vs/Am.

$$\boxed{\mu_0 = 4\pi \cdot 10^{-7} \text{ Vs/Am}} \quad (10)$$

Η τιμή αυτή προκύπτει από σχέση που θα γνωρίσουμε στήν παράγραφο 11.3.

Η μονάδα Vs/Am προκύπτει από τη σχέση (9), αν θέσουμε τη ροή  $\Phi$  σε Vs, τη δύναμη  $F$  σε νιούτον (N) και λάβομε όπως διηγήμετρη την τιμή  $1 \text{ N} \cdot 1 \text{ m} = 1 \text{ J} = 1 \text{ VAs}$ . Δηλαδή:

$$[\mu_0] = \frac{\text{V}^2 \text{ s}^2}{\text{VA sm}} = \frac{\text{Vs}}{\text{Am}} \quad (11)$$

Για όποιοδήποτε ύλικο, δίνεται ή μαγνητική διαπερατότητα μεταξύ της σχέσης:

$$\boxed{\mu = \mu_0 \mu_r} \quad (12)$$

Ο συντελεστής  $\mu_r$  δύναται να γραφεται ως «**σχετική μαγνητική διαπερατότητα**» και έχει τη μονάδα Vs/Am.

$$\boxed{\mu_r = \frac{\mu}{\mu_0}} \quad (13)$$

Από τη σχέση (13) προκύπτει ότι η  $\mu_r$  είναι αδιάστατο μέγεθος. Έτσι ή μέχει την ίδια μονάδα με τη  $\mu_0$ , δηλαδή το Vs/Am.

Η μαγνητική διαπερατότητα μεταξύ της σχέσης (13) προκύπτει από τη σχέση (9), αν θέσουμε τη δύναμη  $F$  σε N, τη ροή  $\Phi$  σε Vs, τη μονάδα  $\mu_0$  σε Vs/Am και λάβομε την τιμή  $1 \text{ N} \cdot 1 \text{ Vs} = 1 \text{ J} = 1 \text{ VAs}$ .

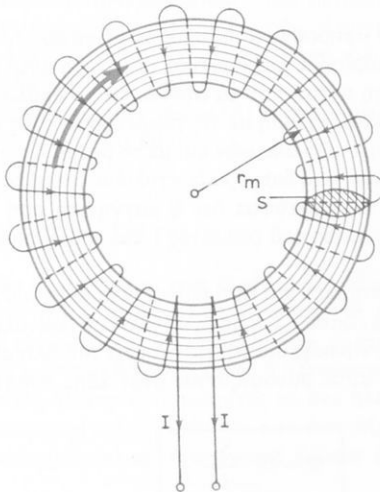
Άντιθετα, στά μέταλλα της κατηγορίας των **σιδηρομαγνητικών ύλικων**, δηλαδή των μεταλλικών μεταλλικών, δύναται να γραφεται τη μονάδα  $\mu_r$  ως  $\mu_r = \frac{\mu}{\mu_0}$ . Η  $\mu_r$  έχει τη μονάδα Vs/Am.

Ο τύπος (9) είναι άναλογος του ηλεκτροστατικού νόμου του Coulomb, που δίνει την άσκοψην δύναμη μεταξύ δύο ηλεκτρικών φορτίων σε ηρεμία. Για αυτό, δύναται να γραφεται τη μονάδα  $\mu_r = \frac{\mu}{\mu_0}$ .

**δ) Μαγνητική άντισταση – Τύπος τοῦ Hopkinson.**

Στά προηγούμενα, γνωρίσαμε τή μαγνητική έπαγωγή και τή μαγνητική ροή και είδαμε ποιά σχέση συνδέει τά δύο αυτά μεγέθη. Γιά νά γνωρίσομε πῶς δημιουργεῖται στήν πράξη ή μαγνητική ροή και άπό ποιά μεγέθη έχαρταται, σχηματίζομε τίς έξης πολύ άπλες διατάξεις:

Τό πηνίο τοῦ σχήματος 8.1θ τό κάμπτομε, ώστε τά δύο άκρα του νά έλθουν σέ πολύ μικρή άπόσταση μεταξύ τους και νά σχηματισθεῖ ἕνα δακτυλίδι διπως φαίνεται στό σχῆμα 8.2γ. Έστω  $r_m$  ή μέση άκτινα τοῦ δακτυλιδιοῦ και  $S$  ή διατομή του. Τό έσωτερικό τοῦ δακτυλιδιοῦ είναι άδειο και έτσι μποροῦμε μέ κατάλληλα δργανα νά κάνομε μετρήσεις σέ αὐτό.



Σχ. 8.2γ.

Κατόπιν παίρνομε διάφορα ύλικά, δπως ξύλο, σίδηρο, χαλκό κλπ. και κατασκευάζομε δακτυλίδια μέ διαφορετικές διαστάσεις  $r_m$  και  $S$  τό καθένα. Στά δακτυλίδια αυτά τυλίγομε άγώγιμο, μονωμένο σύρμα, ώστε νά δημιουργηθεῖ στό καθένα ένα πηνίο, άλλα μέ διαφορετικό άριθμό σπειρῶν. Κάθε πηνίο τό συνδέομε σέ πηγή συνεχοῦς ρεύματος Ε και μέ τό μεταβλητό άντιστάτη  $R$  ρυθμίζομε νά περνᾶ άπό αὐτό ρεῦμα μέ δρισμένη ένταση  $I$ .

Σάν άποτέλεσμα τής ροής τοῦ ρεύματος, άναπτύσσεται σέ κάθε πηνίο δρισμένο μαγνητικό πεδίο, δπως γνωρίσαμε στήν παράγραφο 8.1β. Σέ άντιθεση δμως μέ τό άνοικτό πηνίο τοῦ σχήματος 8.1θ, διαπιστώνομε έδδ μέ τή βοήθεια μᾶς μαγνητικῆς βελόνης, δτι δέν δπάρχει μαγνητικό πεδίο στόν έσωτερικό χώρο τῶν πηνίων. Άρα δλες οί μαγνητικές γραμμές πρέπει νά περνοῦν άπό τό

έσωτερικό τῶν πηνίων καὶ μέσα ἀπό τὸ ύλικό κάθε δακτυλιδιοῦ. Αὐτό μποροῦμε νά τό ἐπιβεβαιώσουμε πειραματικά, τοποθετώντας τή μαγνητική βελόνη στό έσωτερικό τοῦ ἄδειου πηνίου. Ή διεύθυνση τῶν μαγνητικῶν γραμμῶν προκύπτει καὶ ἔδω μέ τόν κανόνα τοῦ δεξιόστροφου κοχλία.

Τό πεδίο, πού δημιουργεῖται στό έσωτερικό τῶν πηνίων πού περιγράψαμε, εἶναι πρακτικά όμοιόμορφο, δταν ἡ ἀκτίνα  $r_m$  εἶναι ἀρκετά μεγάλη, συγκριτικά μέ τήν ἀκτίνα τῆς διατομῆς S. Έτσι, ἡ μαγνητική ροή  $\Phi$ , πού περνᾶ ἀποκλειστικά ἀπό τό έσωτερικό κάθε πηνίου, δίνεται ἀπό τή σχέση (2):

$$\Phi = B \cdot S$$

δπου B τό μέτρο τῆς μαγνητικῆς ἐπαγωγῆς στό έσωτερικό τοῦ πηνίου καὶ S ἡ διατομή του.

Τά μεγέθη B καὶ  $\Phi$  μποροῦν νά μετρηθοῦν μέ κατάλληλα δργανα. Έτσι, εἶναι δυνατό νά προσδιορίσουμε πειραματικά τά μεγέθη αὐτά στά διάφορα δακτυλίδια καὶ νά βροῦμε τή σχέση πού τά συνδέει μέ τά ύπόλοιπα χαρακτηριστικά μεγέθη τῶν δακτυλιδῶν, δηλαδή μέ τίς γεωμετρικές τους διαστάσεις, μέ τό ύλικό τους, μέ τόν ἀριθμό τῶν σπειρῶν καὶ μέ τό ρεῦμα I, πού περνᾶ ἀπό αὐτές.

Ἄπο σειρά μετρήσεων στά διάφορα δακτυλίδια καὶ μέ διαφορετικές ἐντάσεις ρεύματος I στό καθένα, προκύπτει δτι ἡ μαγνητική ροή  $\Phi$  εἶναι:

a) ἀνάλογη τῆς ἐντάσεως τοῦ ρεύματος I καὶ τοῦ όλικοῦ ἀριθμοῦ τῶν σπειρῶν n τοῦ πηνίου,

b) ἀνάλογη τῆς διατομῆς S καὶ ἀντίστροφα ἀνάλογη τοῦ μέσου μῆκους l τοῦ δακτυλιδιοῦ ( $l = 2\pi r_m$ , δπου  $r_m$  ἡ μέση ἀκτίνα τοῦ δακτυλιδιοῦ),

γ) ἀνάλογη τῆς μαγνητικῆς διαπερατότητας μ τοῦ ύλικοῦ τοῦ δακτυλιδιοῦ.

Τά συμπεράσματα αὐτά συνοψίζονται στόν ἔξῆς τύπο:

$$\boxed{\Phi = In \frac{S}{l} \mu} \quad (14)$$

Ο τύπος (14) γράφεται ἐπίσης:

$$\boxed{\Phi = \frac{In}{S\mu}} \quad (15)$$

Στή μορφή αὐτή, παρατηροῦμε δτι ὁ παρονομαστής ἔξαρταται ἀποκλειστικά ἀπό τίς διαστάσεις καὶ τό ύλικό τοῦ δακτυλιδιοῦ καὶ δτι εἶναι ἐντελῶς ἀνάλογος στή δομή του μέ τήν ἡλεκτρική ἀντίσταση ἐνός σύρματος μέ μῆκος l, διατομή S καὶ εἰδική ἀγωγιμότητα κ.

Γιά τό λόγο αὐτό, χαρακτηρίζεται ὁ παρονομαστής ἀνάλογα **μαγνητική ἀντίσταση R<sub>m</sub>**:

$$R_m = \frac{l}{S\mu} \quad (16)$$

Άρα ο τύπος (15) γίνεται:

$$\Phi = \frac{In}{R_m} \quad \text{ή} \quad R_m = \frac{In}{\Phi} \quad (15a)$$

άπό τό διόπτο προκύπτει ότι ή μαγνητική άντισταση μετριέται σέ A/Vs =  $\frac{1}{\Omega_s}$

Όπως φαίνεται άπό τόν τύπο (16) ή μαγνητική διαπερατότητα μ εχει τή θέση μιᾶς **ειδικῆς μαγνητικῆς άγωγμοτήτας**. Όσο μεγαλύτερη είναι ή μ, τόσο μικρότερη είναι ή άντισταση  $R_m$ , πού συναντοῦν οι μαγνητικές γραμμές κατά τή διάβασή τους άπό τό ύλικό καί τόσο μεγαλύτερη είναι ή μαγνητική ροή  $\Phi$ , πού άναπτύσσεται ύπό σταθερό γινόμενο  $In$ .

Η σημασία τοῦ άριθμητή στόν τύπο (15) γίνεται άντιληπτή ἀν συγκρίνομε τόν τύπο αὐτό μέ τό νόμο τοῦ Ohm:

$$I = \frac{E}{R} \quad (17)$$

Άν θεωρήσομε διτι ή μαγνητική ροή  $\Phi$  είναι ένα είδος μαγνητικοῦ ρεύματος, πού κυκλοφορεῖ στό δακτυλίδι ύπερνικώντας τή μαγνητική άντισταση  $R_m$ , τότε οι σπεῖρες καί τό ρεῦμα πού τίς διαρρέει, πρέπει νά θεωρηθοῦν ως ή αιτία τῆς έμφανίσεως μαγνητικῆς ροῆς, δπως ή ήλεκτρεγερτική δύναμη  $E$  είναι ή αιτία τῆς έμφανίσεως ήλεκτρικοῦ ρεύματος σέ ένα ήλεκτρικό κύκλωμα. Γι' αὐτό, τό γινόμενο ρεύματος καί σπειρῶν  $In$ , πού δονομάζεται **άμπεροστροφές η άμπερελίγματα, χαρακτηρίζεται μαγνητεγερτική δύναμη (ΜΕΔ)M.**

$$M = In \quad (18)$$

Η μαγνητεγερτική δύναμη μετριέται σέ A.

Έτσι ο τύπος (15) γίνεται τελικά:

$$\Phi = \frac{M}{R_m} \quad (19)$$

Ο τύπος αὐτός δονομάζεται **τύπος τοῦ Hopkinson** καί χαρακτηρίζεται ως ο νόμος τοῦ Ohm τῆς μαγνητικῆς ροῆς σέ ένα μαγνητικό κύκλωμα. **Μαγνητικό κύκλωμα δονομάζομε κάθε κλειστή διαδρομή μιᾶς δέσμης μαγνητικῶν γραμμῶν, δηλαδή μαγνητικῆς ροῆς.**

Όπωσδήποτε πρέπει νά τονισθεῖ διτι ή άναλογία μεταξύ ήλεκτρικοῦ ρεύματος καί μαγνητικῆς ροῆς είναι μόνο τυπική, γιατί δέν πραγματοποιεῖται στήν

περίπτωση τής μαγνητικής ροής όποιαδήποτε ροή σωματιδίων, δηλαδή συμβαίνει μέ τό ήλεκτρικό ρεύμα. Ή τυπική αυτή συσχέτιση δύναται μᾶς βοηθᾶ νά αντιμετωπίσουμε σύνθετα προβλήματα τού ήλεκτρομαγνητισμού, μέ τίς άπλες μεθόδους τῶν κυκλωμάτων τού ήλεκτρικού ρεύματος.

Άκομα, θά πρέπει νά παρατηρήσουμε έδω δτι ή μαγνητική διαπερατότητα μέν είναι σταθερή σέ δλα τά ύλικά. Στά **σιδηρομαγνητικά ύλικά**, πού μᾶς ένδιαφέρουν ιδιαίτερα, ή μ εξαρτάται άπό τή μαγνητική ροή  $\Phi$ . Έτσι, δέν μπορούμε νά ύπολογίσουμε τήν  $\Phi$  άπό τόν τύπο (15), άφου είναι άγνωστη ή μ στή ζητούμενη μαγνητική ροή. Στήν περίπτωση αυτή, ή  $\Phi$  ύπολογίζεται διαφορετικά, δηλαδή διαφορετικά από τόν παράγραφο 9.5.

### Άριθμητικό παράδειγμα.

Τό δακτυλίδι τού σχήματος 8.2γ είναι κατασκευασμένο άπό μαλακό σίδηρο και έχει διατομή  $S = 10 \text{ cm}^2$ . Στό δακτυλίδι είναι τυλιγμένο ένα πηνίο μέ  $n = 100$  σπείρες, πού διαρρέεται άπό ρεύμα  $10 \text{ A}$ . Υποθέτομε δτι δλη ή μαγνητική ροή περνά άποκλειστικά άπό τό έσωτερικό τού δακτυλιδιού. Τό μέσο μηκος τῶν μαγνητικῶν γραμμῶν στό δακτυλίδι είναι  $l = 100 \text{ cm}$ , ένω ή μαγνητική διαπερατότητα τού ύλικου βρίσκεται μέ μέτρηση δτι είναι  $\mu_r = 1000$  (δηλαδή άναφέραμε ή μαγνητική διαπερατότητα τῶν σιδηρομαγνητικῶν ύλικῶν δέν είναι σταθερή, άλλα έξαρτάται άπό τή μαγνητική ροή  $\Phi$ , πού διαπερνά τό ύλικό). Έτσι, μόνο γιά όρισμένη  $\Phi$  (ή  $B$ ) μπορούμε νά δώσουμε τή  $\mu_r$ ). Νά ύπολογισθεῖ ή μαγνητική ροή  $\Phi$  στό έσωτερικό τού δακτυλιδιού.

### Λύση.

Έφαρμόζομε τόν τύπο (15a):

$$\Phi = \frac{In}{R_m} = \frac{In}{\frac{l}{S\mu_0\mu_r}}$$

δπου  $In$  οί άμπεροστροφές,  $R_m$  ή μαγνητική άντίσταση τού δακτυλιδιού,

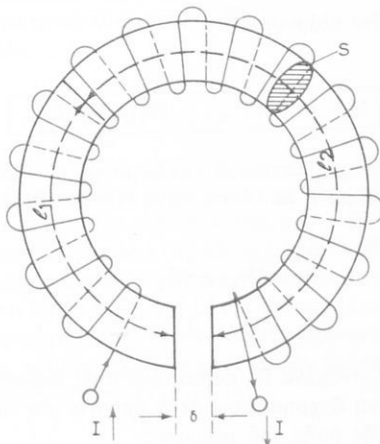
$$\mu_0 = 4\pi \cdot 10^{-7} \frac{\text{Vs}}{\text{Am}} \quad [\text{μαγνητική διαπερατότητα κενοῦ χώρου} - \text{τύπος (10)}]:$$

$$\Phi = \frac{10 \cdot 100}{\frac{1}{10 \cdot 10^{-4} \cdot 4\pi \cdot 10^{-7} \cdot 1000}} = 4\pi \cdot 10^{-4} = 12,56 \cdot 10^{-4} \text{ Vs}$$

$$\underline{\Phi = 12,56 \cdot 10^{-4} \text{ Vs}}$$

*ε) Μαγνητική τάση.*

Έξετάζομε ένα πηνίο μέ σπεῖρες, τυλιγμένο έπάνω σέ ένα δακτυλίδι και διαρρεόμενο άπό συνεχές ρεῦμα I. Τό δακτυλίδι είναι κατασκευασμένο άπό δύο κομμάτια (1 καί 2) διαφορετικού ύλικού τό καθένα, μέ μαγνητική διαπερατότητα άντιστοιχα  $\mu_1$ ,  $\mu_2$ , πού έχουν τήν ίδια διατομή S άλλα διαφορετικά μήκη  $l_1, l_2$ . Τό δακτυλίδι είναι έπισης κομμένο σέ ένα μικρό τμῆμα του, ώστε νά δημιουργεῖται ένα πολύ στενό διάκενο άέρα μέ μήκος δ (σχ. 8.2δ).



Σχ. 8.2δ.

Όπως προηγουμένως, ή μαγνητεγερτική δύναμη  $I\Phi$  δημιουργεῖ στό δακτυλίδι μαγνητική ροή  $\Phi$ . Έπειδή οί μαγνητικές γραμμές είναι πάντοτε κλειστές, θά πρέπει, στήν περίπτωσή μας, νά περάσουν μέσα άπό τό κομμάτι 1, άπό τό κομμάτι 2 καί άπό τό διάκενο του άέρα γιά νά κλείσει ή διαδρομή τους. Τά τρία διμούς αυτά τμήματα έχουν διαφορετικές μαγνητικές άντιστάσεις  $R_{m1}$ ,  $R_{m2}$  καί  $R_{m3}$  συνδεδεμένες σέ σειρά. Συγκεκριμένα:

$$\begin{aligned} R_{m1} &= \frac{l_1}{S\mu_1} \\ R_{m2} &= \frac{l_2}{S\mu_2} \\ R_{m3} &= \frac{\delta}{S\mu_0} \end{aligned} \quad (20)$$

Άρα ή  $\text{ΜΕΔ } M = I_n$  θά πρέπει νά ύπερνικήσει τήν διλική μαγνητική άντισταση του δακτυλιδιού  $R_m$ , δημο:

$$R_m = R_{m1} + R_{m2} + R_{m3} \quad (21)$$

και ή ροή, που θά δημιουργήσει, θά προκύψει άπό τόν τύπο (15a):

$$\Phi = \frac{I_n}{R_{m1} + R_{m2} + R_{m3}} \quad (22)$$

Από τόν τύπο αυτό παίρνομε:

$$M = I_n = \Phi R_{m1} + \Phi R_{m2} + \Phi R_{m3} \quad (23)$$

Στήν περίπτωση ένός ήλεκτρικού κυκλώματος μέ 3 άντιστάτες σέ σειρά, διαρρεόμενους άπό ρεῦμα  $I$ , που δίνει πηγή ΗΕΔ  $E$ , έχομε τήν άνάλογη σχέση:

$$E = IR_1 + IR_2 + IR_3 \quad (24)$$

$$\eta \quad E = U_1 + U_2 + U_3 \quad (25)$$

Στή σχέση (24) τά γινόμενα  $IR$  παριστάνονται τίς **πτώσεις τάσεως** στίς άντιστάσεις  $R$ , ένω ή πηγή  $E$  χρησιμεύει στήν ύπερνικηση τῶν πτώσεων τάσεως και στή διατήρηση τής ροής του ρεύματος.

Ή σχέση (25) έκφραζει τό ίδιο γεγονός, άλλα κάπως διαφορετικά. Έδω φαίνεται δι ή ΗΕΔ  $E$  διαμοιράζεται σέ τρεις τάσεις  $U_1, U_2, U_3$ . Κάθε τάση δρᾶ στά ακρα ένός άντιστάτη και προκαλεῖ τή ροή ρεύματος  $I$  άπό αυτόν.

Συγκρίνοντας τίς σχέσεις (23) και (24), βλέπομε δι ή τή θέση τῶν πτώσεων τάσεως  $IR$  του ήλεκτρικού κυκλώματος έχουν στό μαγνητικό κύκλωμα τά γινόμενα  $\Phi R_m$ . Μπορούμε έπομένως νά θεωρήσομε δι ή τά γινόμενα αυτά παριστάνονται **μαγνητικές πτώσεις τάσεως**, τίς όποιες ύπερνικά ή  $\text{ΜΕΔ } M$ .

Άνάλογα μέ τόν τύπο (25) μπορούμε έπίσης νά γράψομε τόν τύπο (23):

$$M = I_n = U_{m1} + U_{m2} + U_{m3} \quad (26)$$

και νά θεωρήσομε δι ή  $\text{ΜΕΔ } M$  διαμοιράζεται σέ **μαγνητικές τάσεις  $U_m$** , που δρούν στά ακρα τῶν μαγνητικῶν άντιστάσεων  $R_m$  και δημιουργούν τή μαγνητική ροή  $\Phi$ .

Γενικά, χαρακτηρίζομε σάν μαγνητική τάση  $U_m$  τό γινόμενο  $\Phi R_m$ :

$$U_m = \Phi R_m \quad (27)$$

σε άναλογία με τήν ηλεκτρική τάση:

$$U = IR \quad (28)$$

Η μαγνητική τάση μετριέται με είδικά δργανα, τους **μετρητές μαγνητικής τάσεως**, που συνδέονται, δπως τά βολτόμετρα, στά άκρα τού τμήματος που θέλομε νά μετρήσουμε τή μαγνητική του τάση.

Η τυπική άναλογία μεταξύ ένός ηλεκτρικού και ένός μαγνητικού κυκλώματος, που περιγράψαμε, δέν είναι πλήρης. Μεταξύ τῶν δύο κυκλωμάτων ύπάρχει μία σημαντική διαφορά.

Σέ ενα κλειστό ηλεκτρικό κύκλωμα, τό άθροισμα τῶν πτώσεων τάσεως είναι πάντοτε ίσο με μηδέν:

$$\sum_v U_v = 0 \quad (29)$$

Αύτό συμβαίνει άναγκαστικά, έπειδή ή πηγή είναι **μέρος τοῦ κυκλώματος** και ή πολική τάση, που μετράμε στά άκρα της, ή  $U = E - Ir$  (δπου  $Ir$  ή πτώση τάσεως στήν έσωτερη άντίσταση τής πηγῆς), έχει **άντιθετη φορά** άπό τό ρεύμα  $I$  και άπό τίς πτώσεις τάσεως στίς άντιστάσεις τού κυκλώματος. Έχει έπισης τιμή άκριβως ίση με τό άθροισμα τῶν πτώσεων τάσεως. Έτσι, πολική τάση πηγῆς και έξωτερικές πτώσεις τάσεως έξουδετερώνονται. Αντίθετα, σέ ενα μαγνητικό κύκλωμα, τό άθροισμα τῶν μαγνητικῶν πτώσεων τάσεως είναι πάντοτε ίσο με τή μαγνητεγερτική δύναμη  $In$ :

$$\sum_v U_{mv} = In = M \quad (30)$$

Αύτό διφείλεται στό διτι μποροῦμε νά μετρήσουμε **σέ δλόκληρο τό κύκλωμα** δηλαδή και στό κομμάτι, δπου είναι τυλιγμένο τό πηνίο που δημιουργεῖ τή ΜΕΔ, τίς μαγνητικές πτώσεις τάσεως, χωρίς νά έμφανισθεῖ πουθενά άντιθετη πτώση τάσεως άπό τήν ΜΕΔ. Τό άθροισμα τῶν πτώσεων τάσεως, που μετροῦμε, προκύπτει διτι είναι ίσο με τό γινόμενο  $In$ , δηλαδή με τή ΜΕΔ τού κυκλώματος.

### *Άριθμητικά παραδείγματα.*

#### *Παράδειγμα 1.*

Στό δάκτυλιδι τού σχήματος 8.2δ τό πηνίο έχει 200 σπεῖρες, τό τμῆμα 1 έχει μέσο μῆκος  $l_1 = 30$  cm και  $\mu_{r1} = 1000$ , τό τμῆμα 2  $l_2 = 70$  cm και  $\mu_{r2} = 3000$ , τό δέ διάκενο άέρα  $\delta = 0,2$  cm. Η διατομή τού πηνίου είναι  $15$  cm<sup>2</sup>. Νά βρεθεῖ τό ρεύμα  $I$ , που περνᾶ άπό τό πηνίο, ἀν ή μαγνητική ροή  $\Phi$  είναι  $200 \cdot 10^{-4}$  Vs.

**Ανάση.**

Από τόν τύπο (22) έχουμε:

$$\Phi = \frac{In}{R_{m1} + R_{m2} + R_{m3}}$$

και

$$I = \frac{\Phi(R_{m1} + R_{m2} + R_{m3})}{n}$$

$$R_{m1} = \frac{l_1}{S\mu_0\mu_r} = \frac{0,3}{15 \cdot 10^{-4} \cdot 4\pi \cdot 10^{-7} \cdot 10^3} = 15,92 \cdot 10^4 \text{ 1/Ωs}$$

$$R_{m2} = \frac{l_2}{S\mu_0\mu_r} = \frac{0,7}{15 \cdot 10^{-4} \cdot 4\pi \cdot 10^{-7} \cdot 3 \cdot 10^3} = 12,38 \cdot 10^4 \text{ 1/Ωs}$$

$$R_{m3} = \frac{\delta}{S\mu_0} = \frac{0,2 \cdot 10^{-2}}{15 \cdot 10^{-4} \cdot 4\pi \cdot 10^{-7}} = 106,15 \cdot 10^4 \text{ 1/Ωs}$$

$$I = \frac{200 \cdot 10^{-4} (15,92 + 12,38 + 106,15) 10^4}{200} =$$

$$= \frac{200 \cdot 134,45}{200} = 134,45 \text{ A}$$

$$\underline{I = 134,45 \text{ A}}$$

Στό δακτυλίδι τού σχήματος 8.2δ μετριέται μαγνητική τάση στό τμῆμα 1,  $U_{m1} = 12 \text{ A}$ , στό τμῆμα 2,  $U_{m2} = 8 \text{ A}$  και στό διάκενο άέρα  $U_\delta = 30 \text{ A}$ . Αν ἀπό τό πηνίο τού δακτυλιδιού περνᾶ ρεῦμα  $I = 1 \text{ A}$ , νά βρεθεῖ ὁ άριθμός τῶν σπειρῶν η τού πηνίου.

**Ανάση.**

Από τόν τύπο (26) έχουμε:

$$M = In = U_{m1} + U_{m2} + U_\delta$$

και

$$n = \frac{U_{m1} + U_{m2} + U_\delta}{I} = \frac{12 + 8 + 30}{1} = 50$$

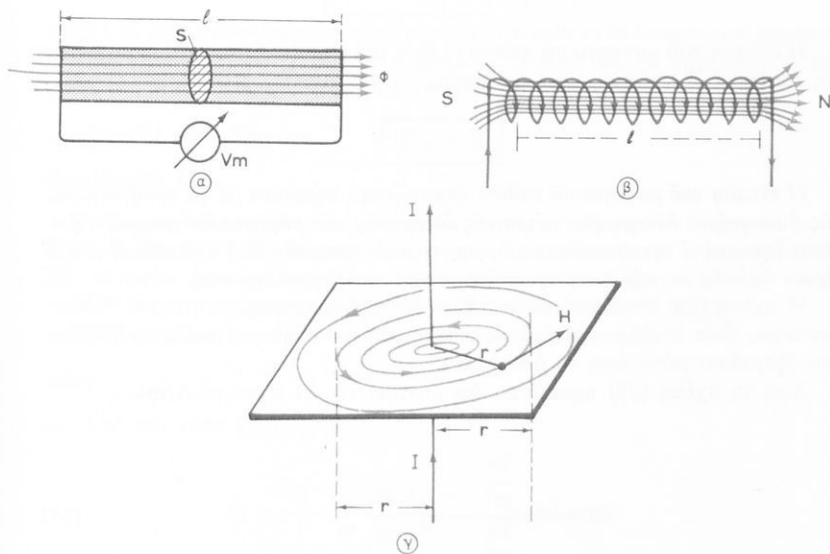
$$\underline{n = 50}$$

**στ) Ένταση μαγνητικού πεδίου – Θεώρημα του Ampère.**

Θεωροῦμε ένα τμήμα μαγνητικού κυκλώματος μέ μήκος  $l$ , διατομή  $S$  και ύλικό μαγνητικής διαπερατότητας  $\mu$ , μέσα άπό τό όποιο περνᾶ όμοιόμορφα μαγνητική ροή  $\Phi$  [σχ. 8.2ε(α)].

Για τήν ύπερνίκηση τῆς άντιστάσεως  $R_m$  τοῦ τμήματος αὐτοῦ, πρέπει νά δρᾶ στά άκρα του μαγνητική τάση  $U_m$ , σύμφωνα μέ τόν τύπο:

$$U_m = \Phi R_m = \Phi \frac{l}{S\mu} \quad (31)$$



Σχ. 8.2ε.

Η τάση αὐτή θά πρέπει νά μετριέται μέ ένα μετρητή μαγνητικής τάσεως  $V_m$  στά άκρα τοῦ τμήματος.

Εισάγοντας στόν τύπο (31) τή μαγνητική έπαγωγή τοῦ κυκλώματος:

$$B = \frac{\Phi}{S} \quad (32)$$

παίρνουμε:

$$U_m = B \frac{l}{\mu} \quad (33)$$

$$\bar{H} = \frac{U_m}{l} = \frac{B}{\mu} \quad (34)$$

Τό πηλίκο  $U_m/l$  μᾶς δίνει τή μαγνητική τάση άνά μονάδα μήκους τού κυκλώματος, δηλαδή άνά μονάδα μήκους τῶν μαγνητικῶν γραμμῶν. Τό πηλίκο αὐτό ἀποτελεῖ τό μέτρο  $H$  ἐνός διανυσματικοῦ μεγέθους, πού συμβολίζομε μέ  $\vec{H}$  καὶ τό ὄνομάζομε **ἔνταση τοῦ μαγνητικοῦ πεδίου**. Ἀρα:

$$H = \frac{U_m}{l} = \frac{B}{\mu} \quad (35)$$

Ἡ ἔνταση τοῦ μαγνητικοῦ πεδίου  $\vec{H}$  ἔχει τήν ἴδια διεύθυνση μέ τή μαγνητική ἐπαγωγή  $\vec{B}$  καὶ ἐπομένως μποροῦμε νά γράψομε:

$$\vec{B} = \mu \vec{H} \quad (36)$$

*Ἡ ἔνταση τοῦ μαγνητικοῦ πεδίου ἔμφανῆται, σύμφωνα μέ τά προηγούμενα, ως ἡ κινητήρια δύναμη άνά μέτρο τῆς διαδρομῆς τῶν μαγνητικῶν γραμμῶν, ἡ δοποία δημιουργεῖ τήν πυκνότητα τῶν μαγνητικῶν γραμμῶν  $\vec{B}$ . Τά μεγέθη  $\vec{H}$  καὶ  $\vec{B}$  ἔχουν δηλαδή μεταξύ τῶν τή σχέση αἰτίας καὶ ἀποτελέσματος.*

Ἡ σχέση (36) εἶναι ἀπό τίς πιό βασικές τοῦ ἡλεκτρομαγνητισμοῦ. Ὅπως φαίνεται, εἶναι ἀνεξάρτητη ἀπό τίς διαστάσεις τοῦ σώματος πού μαγνητίζεται καὶ ἔχαρτάται μόνο ἀπό τό ὄλικό του.

Ἄπό τή σχέση (35) προκύπτει δτι μονάδα τῆς  $H$  εἶναι τό  $A/m$ :

$$[H] = \frac{\frac{Vs}{m^2}}{\frac{Vs}{Am}} = \frac{A}{m} \quad (37)$$

Ἀπό τή σχέση (36) γίνεται φανερό δτι μποροῦμε νά παραστήσομε γραφικά τήν ἔνταση τοῦ πεδίου  $\vec{H}$  μέ γραμμές, δπως παραστήσαμε τή μαγνητική ἐπαγωγή  $\vec{B}$ . Οι γραμμές αὐτές ὄνομάζονται **δυναμικές γραμμές τῆς ἔντάσεως τοῦ μαγνητικοῦ πεδίου** καὶ ἔχουν τήν ἴδια μορφή μέ τίς μαγνητικές γραμμές τῆς ἐπαγωγῆς. Τό μόνο πού ἀλλάζει εἶναι ἡ κλίμακα, μέ τήν δποία ἀπεικονίζονται.

Τό σχῆμα 8.2e(β) δείχνει τίς δυναμικές γραμμές τῆς ἔντάσεως μαγνητικοῦ πεδίου στό ἐσωτερικό ἐνός μακρόστενου πηνίου, ἐνῶ τό σχῆμα 8.2e(γ) στό χῶρο γύρω ἀπό ἓνα μακρύ εὐθύγραμμο ἀγωγό.

Ἡ ἔνταση τοῦ πεδίου  $\vec{H}$  σέ ὅποιοδήποτε σημεῖο στό **ἐσωτερικό τοῦ πηνίου** εχει μέτρο:

$$H = \frac{nI}{l} \quad (38)$$

διαρρέει. Η διεύθυνση και ή φορά της  $\vec{H}$  είναι ίδια με τη διεύθυνση και τη φορά της έπαγωγής  $\vec{B}$  στό έσωτερικό του πηνίου, δηλαδή από το νότιο πρός τό βόρειο πόλο του πηνίου.

Η ένταση του πεδίου  $\vec{H}$  σε ένα σημείο του χώρου στό έξωτερικό του εύθυγραμμου άγωγού έχει μέτρο:

$$H = \frac{I}{2\pi r} \quad (39)$$

διαρρέει τόν άγωγό και γ κάθετη απόσταση του σημείου μέτρο τον άγωγό. Η διεύθυνση και ή φορά της  $\vec{H}$  είναι ίδια με τη διεύθυνση και φορά της  $\vec{B}$  και προκύπτει με τόν κανόνα του δεξιόστροφου κοχλία.

### Άριθμητικά παραδείγματα.

#### Παράδειγμα 1.

Μέσα από ένα μακρόστενο κυλινδρικό πηνίο μέ μήκος  $l = 80$  cm και  $n = 1440$  σπεῖρες από χάλκινο μονωμένο σύρμα, ρέει ρεῦμα  $I = 8$  A [σχ. 8.3e(β)]. Αν τό πηνίο έχει διάμετρο  $d = 12$  cm, νά ύπολογισθοῦν:

- a) Ή ένταση του μαγνητικού πεδίου στό έσωτερικό του πηνίου.
- β) Ή μαγνητική ροή στό έσωτερικό του πηνίου.

#### Αύση.

α) Από τόν τύπο (38) έχομε:

$$H = \frac{nI}{l} = \frac{1440 \cdot 8}{0,8} = 14400 \text{ A/m}$$

$$H = 14400 \text{ A/m}$$

β) Από τούς τύπους (2) και (36) έχομε:

$$\Phi = B \cdot S = \mu_0 \cdot HS$$

διαρρέει Η ή ένταση του μαγνητικού πεδίου στό έσωτερικό του πηνίου και  $S$  ή έπιφανεια μιᾶς κάθετης τομῆς του πηνίου.

$$S = \frac{\pi d^2}{4}, \quad \mu_0 = 4\pi \cdot 10^{-7} \frac{\text{Vs}}{\text{Am}} \quad [\text{τύπος (10)}]$$

$$\text{Άρα } \Phi = \mu_0 H \frac{\pi d^2}{4} = 4\pi \cdot 10^{-7} \cdot 14400 \frac{\pi (0,12)^2}{4} = 2,05 \cdot 10^{-4} \text{ Vs}$$

$$\underline{\Phi = 2,05 \cdot 10^{-4} \text{ Vs}}$$

### Παράδειγμα 2.

Ένας μακρύς εύθυγραμμος άγωγός διαρρέεται από ρεύμα  $I = 900 \text{ A}$  [σχ. 8.2ε(γ)]. Νά ύπολογισθεί το μέτρο της έντασεως του μαγνητικού πεδίου σε κάθετη απόσταση  $l = 15 \text{ cm}$  από τόν άγωγό.

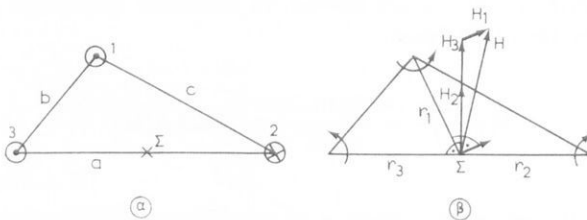
*Αύση.*

Ο τύπος (39) δίνει:

$$H = \frac{I}{2\pi r} = \frac{1}{2\pi} \frac{900}{0,15} = 955 \text{ A/m}$$

### Παράδειγμα 3.

Τρεῖς παράλληλοι άγωγοι μέ αποστάσεις μεταξύ τους  $a = 830 \text{ mm}$ ,  $b = 400 \text{ mm}$  και  $c = 650 \text{ mm}$  διαρρέονται από ρεύματα  $I_1 = 20 \text{ A}$ ,  $I_2 = 55 \text{ A}$  και  $I_3 = 35 \text{ A}$  (σχ. 8.2στ). Ή φορά τῶν ρευμάτων  $I_1$  και  $I_3$  είναι από τό έπίπεδο τοῦ βιβλίου πρός τόν άναγνώστη, ένω τοῦ  $I_2$  από τόν άναγνώστη πρός τό έπίπεδο τοῦ βιβλίου. Νά προσδιορισθεί ή ένταση τοῦ μαγνητικού πεδίου στό μέσο τής αποστάσεως μεταξύ τῶν άγωγῶν 2 και 3 (σημείο  $\Sigma$ ).



Σχ. 8.2στ.

*Αύση.*

Η ένταση τοῦ μαγνητικού πεδίου  $\vec{H}$  στό σημείο  $\Sigma$  είναι ίση μέ τό διανυσματικό άθροισμα τῶν έντασεων  $\vec{H}_1$ ,  $\vec{H}_2$  και  $\vec{H}_3$  τῶν τριῶν μαγνητικῶν πεδίων στό σημείο αὐτό.

Τά μέτρα τῶν ἐντάσεων  $\vec{H}_1$ ,  $\vec{H}_2$ ,  $\vec{H}_3$  προκύπτουν ἀπό τὸν τύπο (39) μὲν τὴν ἀπόσταση τοῦ σημείου  $\Sigma$  ἀπό κάθε ἀγωγό. Ἡ ἀπόσταση  $r_1$  ὑπολογίζεται εὐκολὰ ἀπό τὸ τρίγωνο 1 - 2 - 3, ἢν σχεδιάσομε τίς πλευρές του ὑπό κλίμακα. Ἀν  $\pi \cdot \chi \cdot 1 \text{ cm} \triangleq 200 \text{ mm}$ , μετρώντας τὴν  $r_2$  βρίσκομε διὰ εἶναι 1,7 cm. Ἀρα  $r_1 = 1,7 \cdot 200 = 340 \text{ mm}$ .

$$H_1 = \frac{I_1}{2\pi r_1} = \frac{20}{2\pi \cdot 0,34} \cong 10 \text{ A/m}$$

$$H_2 = \frac{I_2}{2\pi r_2} = \frac{55}{2\pi \cdot 0,415} = 21,1 \text{ A/m}$$

$$H_3 = \frac{I_3}{2\pi r_3} = \frac{35}{2\pi \cdot 0,415} = 13,4 \text{ A/m}$$

Τά διανύσματα  $\vec{H}_1$ ,  $\vec{H}_2$ ,  $\vec{H}_3$  εἶναι κάθετα, ἀντίστοιχα στὶς ἀκτίνες  $r_1$ ,  $r_2$ ,  $r_3$ , καὶ ἡ φορά τους προκύπτει σύμφωνα μὲν τὸν κανόνα τοῦ δεξιόστροφου κοχλία. Γιά νά τὰ προσθέσομε, σχεδιάζομε τά μέτρα τους ὑπό κλίμακα, διὰ φαίνεται στὸ σχῆμα 8.2στ. Ἀν  $\pi \cdot \chi \cdot 1 \text{ cm} \triangleq 20 \text{ A/m}$ , τὸ μέτρο τοῦ διανύσματος  $\vec{H}$ , ποὺ προκύπτει ἀπό τὴν πρόσθεση τῶν διανύσμάτων  $\vec{H}_1$ ,  $\vec{H}_2$ ,  $\vec{H}_3$ , βρίσκομε διὰ εἶναι 2 cm. Ἀρα:  $H = 2 \cdot 20 = 40 \text{ A/m}$ .

$$\underline{H = 40 \text{ A/m}}$$

Ἡ φορά τῆς ἐντάσεως  $H$  φαίνεται στὸ σχῆμα 8.2στ.

### Ω Θεώρημα τοῦ Ampère ἢ νόμος τοῦ διαρρεύματος.

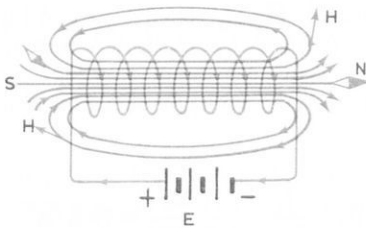
Ἀν θέσομε στὸν τύπο (30):

$$U_{mv} = H_v l_v \quad (40)$$

ὅπου  $H_v$  τὸ μέτρο τῆς ἐντάσεως τοῦ μαγνητικοῦ πεδίου στὸ τμῆμα  $v$  τοῦ μαγνητικοῦ κυκλώματος καὶ  $l_v$  τὸ μῆκος τῶν μαγνητικῶν γραμμῶν, στά ἄκρα τῶν ὁποίων μετριέται ἡ μαγνητική τάση  $U_{mv}$ , παίρνομε γιὰ **δλόκληρο** τὸ μαγνητικό κύκλωμα:

$$\sum_v U_{mv} = \sum_v H_v l_v = I_n \quad (41)$$

Τό σχῆμα 8.2ζ δείχνει ἔνα πηνίο μὲν τὸ σπεῖρες διαρρεόμενο ἀπό ρεῦμα  $I$  καὶ μερικές δύναμικές γραμμές τοῦ πεδίου, ποὺ δημιουργεῖ. Παρατηροῦμε διὰ κάθε



Σχ. 8.2ζ.

δυναμική γραμμή περνᾶ μέσα από κάθε σπείρα, δηλαδή κάθε σπείρα είναι συνδεδεμένη μέσα μία δυναμική γραμμή, δπως οι κρίκοι μιᾶς άλυσίδας. Έπειδή τώρα από κάθε σπείρα περνᾶ ρεῦμα  $I_1$ , ή δυναμική γραμμή περικλείει  $I_1$  ρεύματα της ίδιας φοράς. Στό σχήμα 8.2ζ π.χ., τά π ρεύματα περνοῦν τή δυναμική γραμμή από κάτω πρός τά πάνω. Τό γινόμενο  $I_1$  είναι δηλαδή τό ολικό ρεῦμα, μέ τό όποιο είναι άλληλοδεμένη ή δυναμική γραμμή.

Άρα ή σχέση (41) μᾶς λέει διτί **τό ǎθροισμα τῶν μαγνητικῶν τάσεων κατά μῆκος μιᾶς κλειστῆς δυναμικῆς γραμμῆς, είναι ǐσο μέ τό ǎθροισμα τῶν ρευμάτων, τά όποια περικλείει ή δυναμική γραμμή καί μέ τά όποια είναι άλληλοδεμένη σπώς οι κρίκοι μιᾶς άλυσίδας.** Ό κανόνας αυτός όνομάζεται **θεώρημα τοῦ Ampère** ή **νόμος τοῦ διαρρεύματος** καί διατυπώνεται γενικά από τή σχέση:

$$\sum_v H_v l_v = \sum_{\mu} I_{\mu} = \Theta \quad (42)$$

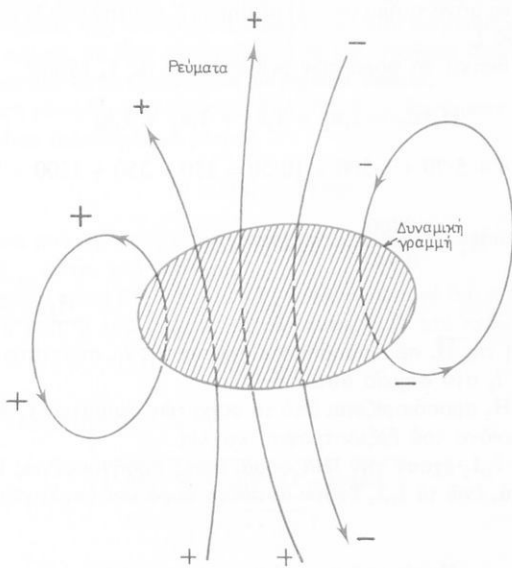
Στόν τύπο (42) τό ǎθροισμα τῶν ρευμάτων είναι άλγεβρικό. Γιά νά τό ύπολογίσομε, θεωροῦμε δλα τά ρεύματα πού περικλείει ή δυναμική γραμμή θετικά πρός μία κατεύθυνση καί τά ǎθροίζουμε καί άρνητικά πρός τήν άντιθετη καί τά άφαιρούμε (σχ. 8.2η).

Άν σχηματίσομε τό ǎθροισμα τῶν μαγνητικῶν τάσεων δχι κατά μῆκος μιᾶς κλειστῆς δυναμικῆς γραμμῆς, άλλά όποιασδήποτε άλλης κλειστῆς διαδρομῆς μέσα στό μαγνητικό πεδίο, τό ǎθροισμα αυτό θά είναι πάλι ǐσο μέ τό ǎθροισμα τῶν ρευμάτων, πού περικλείει ή διαδρομή. Άν ή διαδρομή δέν περικλείει ρεύματα, τό ǎθροισμα τῶν μαγνητικῶν τάσεων θά είναι ǐσο μέ μηδέν.

### Άριθμητικό παράδειγμα.

Τό σιδερένιο δακτυλίδι τοῦ σχήματος 8.2γ ẽχει έσωτερική διάμετρο  $d_1 = 200$  mm, έξωτερική  $d_2 = 400$  mm καί φέρει 4 πηνία (τυλίγματα), 1 ως 4, μέ:

$n_1 = 14$ σπεῖρες	καί $I_1 = 25$ A
$n_2 = 70$ σπεῖρες	καί $I_2 = 5$ A
$n_3 = 200$ σπεῖρες	καί $I_3 = 6$ A
$n_4 = 50$ σπεῖρες	καί $I_4 = 10$ A



Σχ. 8.2η.

Νά ύπολογισθεῖ ή ἔνταση τοῦ μαγνητικοῦ πεδίου  $\vec{H}$  στό μέσο τοῦ δακτυλιδιοῦ, ἀν ή φορά τοῦ ρεύματος:

- εἶναι ίδια καὶ στά 4 πηνία,
- εἶναι ίδια, δῶς προηγουμένως, στά πηνία 1,2 καὶ ἀντίθετη στά πηνία 3,4.

### Αύση.

Μία δυναμική γραμμή στό μέσο τοῦ δακτυλιδιοῦ ἔχει μῆκος:

$$l_1 = \pi d_3 = \pi (d_1 + \frac{d_2 - d_1}{2})$$

καὶ περικλείει τά ρεύματα:

$$I_1 n_1, \quad I_2 n_2, \quad I_3 n_3, \quad I_4 n_4$$

\*Εφαρμόζομε τόν τύπο (42) τοῦ διαρρεύματος:

$$\sum_v H_v l_v = \sum_{\mu} I_{\mu} = \Theta$$

Έδω έχουμε ένα μόνο τμήμα ( $v = 1$ ) μέ μηκος  $l_1$  και τήν ίδια ένταση  $I_1$  σέ όλα τά σημεία τοῦ  $l_1$ .

a) Θεωρώντας θετική τή φορά τῶν ρευμάτων  $I_1$  ὡς  $I_4$  έχουμε:

$$H_1 \pi d_3 = I_1 n_1 + I_2 n_2 + I_3 n_3 + I_4 n_4$$

$$H_1 \pi \cdot 0,3 = 25 \cdot 14 + 5 \cdot 70 + 6 \cdot 200 + 10 \cdot 50 = 350 + 350 + 1200 + 500 = 2400$$

$$H_1 = \frac{2400}{0,942} = 2547,8 \text{ A/m}$$

$$\underline{H_1 = 2547,8 \text{ A/m}}$$

Η διεύθυνση τῆς  $\vec{H}$ , σέ όποιοδήποτε σημεῖο τῆς  $l_1$ , συμπίπτει μέ τήν έφαπτομένη τῆς  $l_1$  στό σημεῖο αὐτό.

Η φορά τῆς  $H_1$  προσδιορίζεται ἀπό τή φορά τῶν ρευμάτων  $I_1$  ὡς  $I_4$ , σύμφωνα μέ τόν κανόνα τοῦ δεξιόστροφου κοχλία.

b) Τά ρεύματα  $I_1, I_2$  έχουν τήν ίδια φορά, δπως προηγουμένως και ύπολογίζονται θετικά, ἐνῷ τά  $I_3, I_4$  έχουν ἀντίθετη φορά και ύπολογίζονται ἀρνητικά:

$$H_1 \pi d_3 = I_1 n_1 + I_2 n_2 - I_3 n_3 - I_4 n_4$$

$$\eta H_1 \pi \cdot 0,3 = 25 \cdot 14 + 5 \cdot 70 - 6 \cdot 200 - 10 \cdot 50 = 350 + 350 - 1200 - 500 = \\ 700 - 1700 = - 1000$$

$$H_1 = - \frac{1000}{0,942} = - 1061,6 \text{ A/m}$$

$$\underline{H_1 = 1061,6 \text{ A/m}}$$

Τό ἀρνητικό ἀλγεβρικό σημεῖο τῆς  $H_1$  σημαίνει δτι ή φορά τῆς έντάσεως τοῦ μαγνητικοῦ πεδίου  $\vec{H}$  στό ἑσωτερικό τοῦ πηνίου προσδιορίζεται ἀπό τή φορά τῶν ρευμάτων  $I_3$  και  $I_4$ , πού ύπερισχύουν στά ρεύματα  $I_1$  και  $I_2$ .

### *η) Μαγνητική ροπή.*

Όπως εἶδαμε στά προηγούμενα, σέ μία μαγνητική βελόνη και γενικά σέ ένα μακρόστενο μαγνήτη ἀσκεῖται μέσα σέ ένα μαγνητικό πεδίο **μηχανική ροπή**, πού τόν ἀναγκάζει νά στραφεῖ και νά προσανατολισθεῖ στή διεύθυνση τοῦ πεδίου.

Όπως ξέρομε, οί δύο πόλοι ένός μαγνήτη έμφανιζονται πάντοτε κατά ζεύγη και δέν μποροῦν νά διαχωρισθοῦν. Ἀν δμως ή δράση τοῦ ένός εἶναι πρακτικά ἀνεξάρτητη ἀπό τή δράση τοῦ ἄλλου πόλου, δπως π.χ. συμβαίνει σέ ένα πολύ λεπτό και μακρύ μαγνήτη, μποροῦμε νά ύποθέσουμε δτι έχουμε δύο ἀνεξάρτητους πόλους μέ μαγνητική ροή  $\Phi$  ο καθένας, ἐπάνω στούς όποιους ἀσκοῦνται ἀπό τό πεδίο δύο ἀντίθετες δυνάμεις  $\vec{F}$  (σχ. 8.2θ).

Αν ύποθέσουμε άκόμα ότι ή μαγνητική ροή  $\Phi$  κάθε πόλου είναι συγκεντρωμένη σέ εννα σημείο, π.χ. στό άκρο τού μαγνήτη, τότε παίρνομε δύο **σημειακούς μαγνητικούς πόλους** μέ διδια σταθερή ροή  $\Phi$  και σταθερή άπόσταση  $l$  μεταξύ τους. Τό σύστημα αυτό διονομάζεται **μαγνητικό δίπολο**.

Η μηχανική ροπή  $\vec{M}$ , πού άσκεται άπό τό ζεύγος δυνάμεων  $\vec{F}$  στό μαγνητικό δίπολο, είναι διάνυσμα μέ μέτρο:

$$M = Fd = F/l \eta \mu \theta \quad (41)$$

ὅπου θ ή γωνία πού σχηματίζει ή ενταση τού μαγνητικού πεδίου  $H$  μέ τή διεύθυνση βορρά - νότου τού διπόλου.

Αποδεικνύεται τώρα ότι ή δύναμη  $F$ , πού άσκεται σέ εννα πόλο, είναι ίση μέ τή μαγνητική ροή  $\Phi$  τού πόλου έπι τήν ενταση  $H$  τού πεδίου:

$$F = \Phi H \quad (42)$$

Η σχέση (42) στήν (41) δίνει:

$$M = \Phi / H \eta \mu \theta = P_m H \eta \mu \theta \quad (43)$$

$$P_m = \Phi / l \quad (44)$$

ὅπου

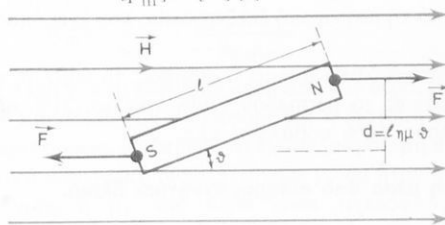
Τό γινόμενο τής μαγνητικής ροής  $\Phi$  ένός πόλου έπι τήν άπόσταση  $l$  τῶν δύο πόλων είναι τό μέτρο  $P_m$  ένός διανύσματος  $\vec{p}_m$ , πού διονομάζεται **μαγνητική ροπή τού διπόλου**.

Τό διάνυσμα  $\vec{p}_m$  έχει διεύθυνση τήν ευθεία, πού ένώνει τούς δύο σημειακούς πόλους και φορά άπό τό νότιο πρός τό βόρειο πόλο τού διπόλου.

Η μηχανική ροπή  $\vec{M}$  έχει διεύθυνση κάθετη στό έπιπεδο τῶν  $\vec{p}_m$  και  $\vec{B}$  και ή φορά τής προκύπτει σύμφωνα μέ τόν κανόνα τού δεξιόστροφου κοχλία, δταν περιστρέψομε τό διάνυσμα  $\vec{p}_m$  στήν κατεύθυνση τής  $\vec{B}$  άπό τό συντομότερο δρόμο (σχ. 8.2θ).

Άπό τόν τύπο (44) προκύπτει ή μονάδα τής μαγνητικής ροπής τού διπόλου:

$$[p_m] = [\Phi] [l] = 1 \text{ Vs m}$$



Σχ. 8.2θ.

## ΚΕΦΑΛΑΙΟ ΕΝΑΤΟ

### ΜΑΓΝΗΤΙΚΑ ΥΛΙΚΑ – ΜΑΓΝΗΤΙΚΑ ΚΥΚΛΩΜΑΤΑ

Στό κεφάλαιο αυτό θά έξετάσουμε τή συμπεριφορά τῶν ύλικῶν στό μαγνητισμό καί ίδιαίτερα τῶν σιδηρομαγνητικῶν ύλικῶν, πού παρουσιάζουν τό μεγαλύτερο ένδιαφέρον στήν ήλεκτροτεχνία. Τέτοια ύλικά είναι ό σιδηρος, τό κοβάλτιο, τό νικέλιο καί διάφορα κράματα. Στό ίδιο κεφάλαιο, θά μελετήσουμε τή δημιουργία μαγνητικῶν κυκλωμάτων, θά διατυπώσουμε τά προβλήματα πού παρουσιάζουν καί θά άναφέρουμε τίς μεθόδους πού χρησιμοποιοῦνται γιά τήν έπιλυσή τους.

#### 9.1 Διαμαγνητικά, παραμαγνητικά καί σιδηρομαγνητικά ύλικά.

Άναλογα μέ τή μαγνητική συμπεριφορά τους, διακρίνομε τά ύλικά σέ 3 μεγάλες κατηγορίες: σέ διαμαγνητικά, παραμαγνητικά καί σιδηρομαγνητικά ύλικά.

— Τά **διαμαγνητικά ύλικά** έχουν μαγνητική διαπερατότητα μερ ελάχιστα μικρότερη άπό 1, άνεξάρτητη άπό μεταβολές τῆς θερμοκρασίας καί άπό τήν έπιδραση έξωτερικοῦ μαγνητικοῦ πεδίου. Τέτοια ύλικά είναι ό χαλκός, ό αργυρός, ό μόλυβδος, τό νερό κλπ.

— Τά **παραμαγνητικά ύλικά** έχουν μαγνητική διαπερατότητα μερ ελάχιστα μεγαλύτερη άπό 1 καί άνεξάρτητη άπό τήν έπιδραση έξωτερικοῦ μαγνητικοῦ πεδίου. Αδξηση τῆς θερμοκρασίας προκαλεῖ μείωση τῆς μαγνητικῆς διαπερατότητάς τους. Τέτοια ύλικά είναι τό άλουμινιο, τό βολφράμιο, τό μαγνήσιο κ.ἄ.

— Τά **σιδηρομαγνητικά ύλικά** έχουν μαγνητική διαπερατότητα μερ πολύ μεγαλύτερη, άπό 1 μέχρι καί 100.000. Ή μαγνητική τους διαπερατότητα μεταβάλλεται μέ τή θερμοκρασία, μέ τήν ένταση έξωτερικοῦ μαγνητικοῦ πεδίου καί έξαρτᾶται έπισης άπό τή μαγνητική έπεξεργασία, πού έχει ύποστει προηγουμένως τό ύλικο.

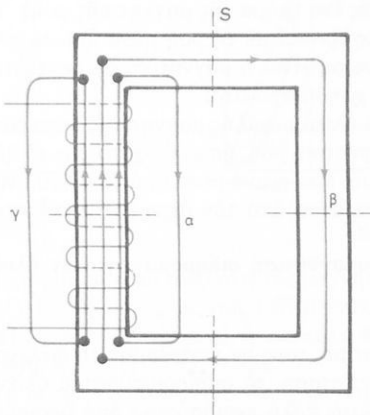
Στά σιδηρομαγνητικά ύλικά άνήκει ό σιδηρος, τό νικέλιο, τό κοβάλτιο καί διάφορα κράματα, δπως τό permalloy (79% νικέλιο, 21% σιδηρος), τό permendur (50% σιδηρος, 50% κοβάλτιο) κλπ.

#### 9.2 Μαγνητική ροή μέσα άπό σιδηρομαγνητικά ύλικά.

Παίρνομε ένα πλαίσιο άπό σιδηρομαγνητικό ύλικό, δπως αυτό πού χρησι-

μοποιεῖται π.χ. σὲ ἕνα μετασχηματιστή (σχ. 9.2).

Στό ἔνα σκέλος τοῦ πλαισίου τοποθετοῦμε ἔνα πηνίο καί ἀφήνομε νά περάσει ἀπό αὐτό συνεχές ρεῦμα. ἐντάσεως I. Ἀποτέλεσμα τῆς ροῆς τοῦ ρεύματος εἶναι ἡ δημιουργία μαγνητικῆς ροῆς Φ στό πηνίο. Μᾶς ἐνδιαφέρει νά διαπιστώσουμε ποῦ κατευθύνεται ἡ μαγνητική ροή καί πῶς κλείνουν οἱ μαγνητικές γραμμές.



Σχ. 9.2.

Οἱ διαδρομές πού μπορεῖ νά ἀκολουθήσει ἡ μαγνητική ροή εἰναι τρεῖς: οἱ  $\alpha$  καὶ  $\gamma$ , πού περνοῦν κατά μεγάλο μέρος μέσα ἀπό τὸν ἄερα καί ἡ  $\beta$  πού περνᾶ ἀποκλειστικά μέσα ἀπό τὸ σιδηρομαγνητικό ύλικό.

Γιά νά προσδιορίσουμε τὴ διαδρομή ἡ τίς διαδρομές πού θά ἀκολουθηθοῦν, πρέπει νά ἐκτιμήσουμε τὴ μαγνητική ἀντίσταση πού παρουσιάζουν οἱ τρεῖς διαδρομές στὴ διέλευση τῶν μαγνητικῶν γραμμῶν. Σὲ αὐτό μᾶς βοηθᾶ ὁ τύπος (16) τοῦ προηγουμένου κεφαλαίου, πού δίνει τὴ μαγνητική ἀντίσταση μιᾶς διαδρομῆς:

$$R_m = \frac{l}{S\mu} = \frac{l}{S\mu_0\mu_r} \quad (1)$$

Οἱ διαδρομές  $\alpha$  καὶ  $\gamma$ , πού κλείνουν μέσα ἀπό τὸν ἄερα, ἔχουν μικρότερο μῆκος  $l$  ἀπό τὴ  $\beta$ . Ἐπομένως, ἂν ὑποθέσουμε διτὶ ἡ διατομὴ  $S$  εἴναι περίπου ἵδια καὶ στίς τρεῖς περιπτώσεις, θά ἐπρεπε νά ἔχουν μικρότερη ἀντίσταση ἀπό τὴ  $\beta$ , ἐφ' δοσον ἡ σχετική μαγνητική διαπερατότητα μη θά ἥταν ἡ ἵδια στὸν ἄερα καὶ στὸ σιδηρο. Ὄμως ἡ  $\mu_r$  τοῦ ἄερα εἴναι σχεδόν 1, ἐνῶ ἡ  $\mu_r$  τῶν σιδηρομαγνητικῶν ύλικῶν εἴναι πάρα πολὺ μεγάλη. Σὲ ειδικά κράματα σιδή-

ρου καί νικελίου, δπως τό permalloy ή μ<sub>r</sub> φθάνει τιμές μέχρι 100.000. Έτσι, ή αντίσταση τής διαδρομῆς μέσα από τό πλαίσιο είναι κατά πολύ μικρότερη από τίς αντίστάσεις τῶν διαδρομῶν μέσα από τόν άέρα, καί αυτή τή διαδρομή άκολουθεῖ βασικά ή μαγνητική ροή.

Βέβαια, οί διαδρομές α, β, καί γ είναι παράλληλες μεταξύ τους καί δπως στήν περίπτωση παραλλήλων αντίστασεων σέ κυκλώματα ήλεκτρικοῦ ρεύματος, περνᾶ καί από αυτές ένα τμῆμα τής μαγνητικῆς ροής. Τό τμῆμα δημιουργεῖται πολύ μικρό συγκριτικά μέ τή ροή μέσα από τό πλαίσιο. Καί γίνεται μικρότερο, δσο μεγαλύτερη είναι ή μαγνητική διαπερατότητα τοῦ σιδηρομαγνητικοῦ ύλικοῦ, πού χρησιμοποιεῖται.

Μέ σιδηρομαγνητικά ύλικά μεγάλης μαγνητικῆς διαπερατότητας, μποροῦμε νά διοχετεύσομε τή μαγνητική ροή, δπως διοχετεύομε τό ήλεκτρικό ρεῦμα μέσα από άγωγούς. Τή ροή, πού περνᾶ μέσα από τό ύλικο δνομάζομε **κύρια ροή**, ένω τή ροή πού κλείνει μέσα από τόν άέρα **ροή σκεδάσεως**.

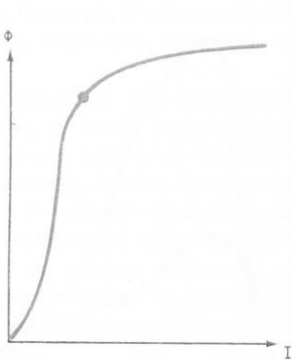
### 9.3 Μαγνήτιση καί άπομαγνήτιση σιδηρομαγνητικῶν ύλικῶν.

#### a) *Μαγνήτιση ύλικων.*

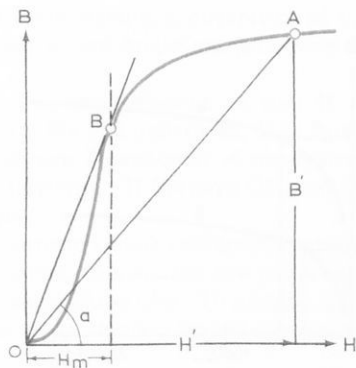
Έξ αιτίας τής ίκανότητάς τους νά έπιτρέπουν τή διέλευση τής μαγνητικῆς ροῆς μέ πολύ μικρή αντίσταση, τά σιδηρομαγνητικά ύλικά μᾶς ένδιαφέρουν στά μαγνητικά κυκλώματα πολύ περισσότερο από δποιαδήποτε άλλα ύλικά. Τίς μαγνητικές ίδιότητες ένός σιδηρομαγνητικοῦ ύλικοῦ μποροῦμε νά μελετήσομε μέ ένα δακτυλίδι από τό ύλικό, δμοιο μέ αυτό πού γνωρίσαμε στήν παράγραφο 8.2, γύρω από τό όποιο έχομε τυλίξει ένα πηνίο (σχ. 8.2γ).

Άπο τό πηνίο άφηνομε νά περάσει συνεχές ρεῦμα, ξεκινώντας από τήν τιμή  $I = 0$  καί προχωρώντας διαδοχικά πρός μεγαλύτερες έντάσεις. Σέ κάθε ένταση  $I$  μετράμε τή μαγνητική ροή  $\Phi$ , πού δημιουργεῖται. Τίς αντίστοιχες τιμές  $I$  καί  $\Phi$  τοποθετοῦμε σέ ένα σύστημα δρθιογνώμων συντεταγμένων, μέ τετμημένη τό  $I$  καί τεταγμένη τό  $\Phi$ . Ένώνοντας κατόπιν τά διαδοχικά σημεῖα, παίρνομε μία καμπύλη, πού άπεικονίζει τή συνάρτηση  $\Phi = f(I)$  καί έχει τή μορφή πού δείχνει τό σχήμα 9.3α. Ή καμπύλη αυτή δνομάζεται **καμπύλη μαγνητίσεως** τοῦ σιδηρομαγνητικοῦ ύλικοῦ  $\eta$ , μέ πιό μεγάλη άκριβεια, δπως θά δούμε πιό κάτω, **παρθενική καμπύλη μαγνητίσεως** τοῦ ύλικοῦ αυτοῦ.

Στήν καμπύλη μαγνητίσεως παρατηροῦμε, δτι ή μαγνητική ροή  $\Phi$  δέν αυξάνεται άναλόγα μέ τό ρεῦμα  $I$ . Στήν άρχη αυξάνεται άργά, κατόπιν άπότομα, στερεά πάλι άργα καί τέλος, γιά μεγάλες τιμές  $I$ , ή αυξηση είναι έλαχιστη. Τήν τελευταία αυτή κατάσταση, στήν δποία φθάνει τό σιδηρομαγνητικό ύλικό, δνομάζομε **μαγνητικό κόρο**, γιατί τό ύλικό συμπεριφέρεται σάν νά μπορεῖ νά περιλάβει ορισμένο μόνο άριθμό μαγνητικῶν γραμμῶν καί, άφού τόν φθάσει, αυξηση τοῦ ρεύματος δέν προκαλεῖ πιά ούσιαστική αυξηση τής μαγνητικῆς ροῆς.



Σχ. 9.3α.



Σχ. 9.3β.

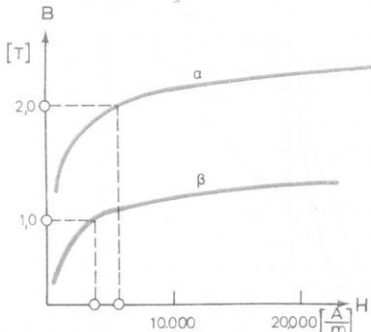
Έπειδή ή μαγνητική ροή  $\Phi$  είναι άνάλογη της μαγνητικής έπαγωγῆς  $B$  [τύπος (3.6) της 8.2] και ή ένταση του ρεύματος  $I$  είναι άνάλογη της έντασεως του μαγνητικού πεδίου  $H$  [τύπος (39) της 8.2], ή καμπύλη  $\Phi = f(I)$  δίνει μέχρι αλληλη κλίμακα τή συνάρτηση  $B = f(H)$  (σχ. 9.3β).

Από τήν καμπύλη αύτή γίνεται φανερό διαπερατότητα μέν είναι σταθερή, άλλα έξαρταται από τήν ένταση  $H$  του πεδίου. Για όρισμένο  $H'$  παίρνουμε τό μέρος τήν κλίση της ενθείας  $OA$ , ή δοπία συνδέει τήν άρχη τών συντεταγμένων  $O$  μέτό σημεῖο  $A$  της καμπύλης, πού άντιστοιχεί στήν ένταση  $H'$ .

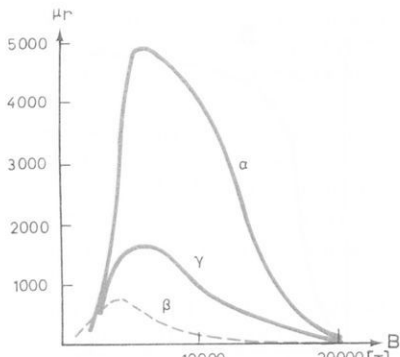
$$\boxed{t_{ga} = \frac{B'}{H'}} = \mu_r \quad (1)$$

Τή μεγαλύτερη διαπερατότητα  $\mu_r$  παρουσιάζεται γιά  $H = H_m$  στό σημεῖο  $B$ , δοπία ή κλίση της  $OA$  είναι μέγιστη, ένδι γιά μικρότερες και μεγαλύτερες έντασεις πεδίου  $H$  από τήν  $H_m$ , ή  $\mu_r$  μειώνεται απότομα. Είναι άξιοσημείωτο δια γιά μεγάλες έντασεις  $H$  ή  $\mu_r$  είναι σχεδόν 1, γεγονός πού σημαίνει δια ισχυρά μαγνητισμένο σιδηρομαγνητικό ύλικό, δέν διαφέρει στή συμπεριφορά του πολύ από τό κενό ή τόν άέρα.

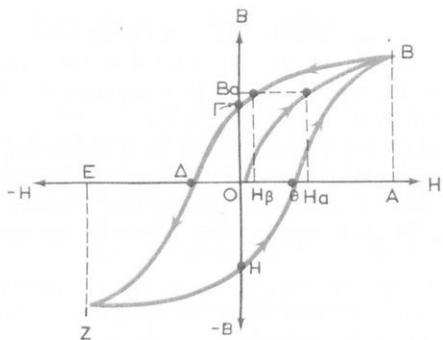
Τά διάφορα κράματα σιδήρου έχουν διαφορετικές καμπύλες μαγνητίσεως. Ιδιαίτερη σημασία στή διαμόρφωση τής καμπύλης έχει ή περιεκτικότητα σέ ανθρακα του κράματος. Στό σχήμα 9.3γ ή καμπύλη α είναι γιά έλλασματα δυναμό και χυτοχάλυβα, ή β γιά χυτοσίδηρο. Τό σχήμα 9.3δ δείχνει τή μεταβολή του  $\mu_r$  σέ δύο διαφορετικά είδη χυτοχάλυβα (καμπύλες α, γ) και σέ χυτοσίδηρο (καμπύλη β). Σέ είδικά κράματα, δπως στό permalloy, ή άρχικη σχετική μαγνητική διαπερατότητα  $\mu_r$  είναι περίπου 1200, ένδι ή μέγιστη  $\mu_r$  φθάνει τιμές 80.000 - 100.000.



Σχ. 9.3γ.



Σχ. 9.3δ.



Σχ. 9.3ε.

Στό χυτοσίδηρο, ή μέγιστη  $\mu_r$  δέν φθάνει περισσότερο άπό 200 ώς 250.

### β) Απομαγνήση όλικῶν — Βρόχος ύστερησεως.

Άς ύποθεσόμε οτι άπο κάποιο σημείο τῆς παρθενικῆς καμπύλης μαγνητίσεως (στό δόποιο έχουμε φθάσει αὐξάνοντας τήν ενταση τοῦ πεδίου  $H$ ), π.χ. άπο τό σημεῖο  $B$ , άρχιζομε νά έλαττώνομε τήν ενταση τοῦ πεδίου  $H$ , έλαττώνοντας τήν ενταση τοῦ ρεύματος  $I$  τοῦ πηνίου (σχ. 9.3ε). Θά παρατηρήσομε οτι μειώνεται ή μαγνητική έπαγωγή  $B$ , δηλαδή ο σίδηρος άρχιζει νά **ἀπομαγνητίζεται**. Κατά τήν άπομαγνήση δύμως αυτή, διαπιστώνομε οτι δέν άκολουθεῖται πιά ή καμπύλη  $OB$  άλλα μία νέα καμπύλη  $GB$ , στήν δύοια οι τιμές έπαγωγῆς  $B$  είναι ύψηλότερες άπο τίς άντιστοιχες τῆς καμπύλης  $OB$  γιά τίς ίδιες εντάσεις  $H$ . Μέ άλλα λόγια, τό σιδηρομαγνητικό όλικό άποκτᾶ μία δρισμένη τιμή έπαγωγῆς  $B_a$  τῆς καμπύλης  $OB$ , δχι στήν άντιστοιχη ενταση  $H_a$  τῆς καμπύλης  $OB$ , άλλα μέ καθυστέρηση σέ μία τιμή  $H_\beta$ , πού είναι μικρότερη άπο τήν  $H_a$ . Οι

τιμές έπαγωγής Β μένουν πίσω κατά τήν άπομαγνήτιση, συγκριτικά μέ τις τιμές της παρθενικής καμπύλης. Τό φαινόμενο αύτο δονομάζεται **μαγνητική ύστερηση**.

Άποτελεσμα της ύστερησεως είναι δι, δταν φθάσομε σέ τιμή  $H = 0$ , δηλαδή γιά  $I = 0$ , ή μαγνητική έπαγωγή Β δέν έχει μηδενισθεῖ, άλλα έχει όρισμένη τιμή ΟΓ. Αύτό σημαίνει δι ό σίδηρος έξακολουθεῖ νά παραμένει μαγνητισμένος, δηλαδή έχει γίνει μόνιμος μαγνήτης. Ή έπαγωγή ΟΓ, πού παραμένει, δονομάζεται **παραμένων μαγνητισμός**.

Τοποθετώντας σέ ένα πηνίο ένα άμαγνήτιστο κομμάτι σιδηρομαγνητικοῦ ύλικοῦ και κατόπιν κλείνοντας και άνοιγοντας τό κύκλωμα τοῦ ρεύματος τοῦ πηνίου, μπορούμε νά μαγνητίσομε μόνιμα τό ύλικό αυτό. Τό μέγεθος τοῦ μαγνητισμοῦ, πού παραμένει, άποτελεῖ μέτρο γιά τό πόσο ισχυρά μαγνητίσθηκε τό ύλικό.

Γιά νά άπομαγνητίσομε έντελῶς τό ύλικό, έξουδετερώνοντας τό μαγνητισμό πού παραμένει σέ αυτό, πρέπει νά άλλάξομε τή φορά τοῦ πεδίου  $H$ , δηλαδή νά διοχετεύσομε ρεῦμα στό πηνίο σέ **άντιθετη φορά**. Παρατηρούμε τότε δι ό Β έξακολουθεῖ νά μειώνεται, σύμφωνα μέ τήν καμπύλη ΓΔ και δι μηδενίζεται γιά όρισμένη τιμή τοῦ πεδίου ΟΔ. Τήν τιμή αυτή τής έντάσεως  $H$  δονομάζομε **συνεκτική δύναμη** τοῦ σιδηρομαγνητικοῦ ύλικοῦ. Τό μέγεθος τής συνεκτικῆς δυνάμεως άποτελεῖ μέτρο τής ίκανότητας τοῦ ύλικοῦ νά διατηρεῖ τό μαγνητισμό του. "Οσο πιο μεγάλη είναι ή συνεκτική δύναμη, τόσο πιο δύσκολα άπομαγνητίζεται τό ύλικό, δηλαδή τόσο πιο μεγάλη είναι ή ένταση τοῦ πεδίου, πού πρέπει νά έφαρμοσθεῖ γιά τήν άπομαγνήτισή του.

"Αν έξακολουθήσομε νά αυξάνομε τήν ένταση τοῦ πεδίου σέ άντιθετη φορά, παρατηρούμε δι ό Β σέ άντιθετη φορά, δηλαδή τό ύλικό μαγνητίζεται πάλι, άλλα οι μαγνητικές γραμμές έχουν άντιθετη φορά άπό πρίν. Στήν τιμή τοῦ πεδίου  $H = OE = OA$  παρατηρούμε δι ό  $B = EZ = AB$ .

Έλαττώνοντας τώρα πάλι τήν ένταση  $H$ , μέ σταδιακή μείωσή τοῦ ρεύματος I, παρατηρούμε δι ό Β διαγράφει τήν καμπύλη ZH και δι σέ ένταση  $H = 0$  τό ύλικό παρουσιάζει όρισμένη έπαγωγή ΟΗ, δπου ΟΗ = ΟΓ, δηλαδή τό μαγνητισμό πού παραμένει, δπως τό συναντήσαμε προηγουμένως, άλλα μέ άντιθετη φορά.

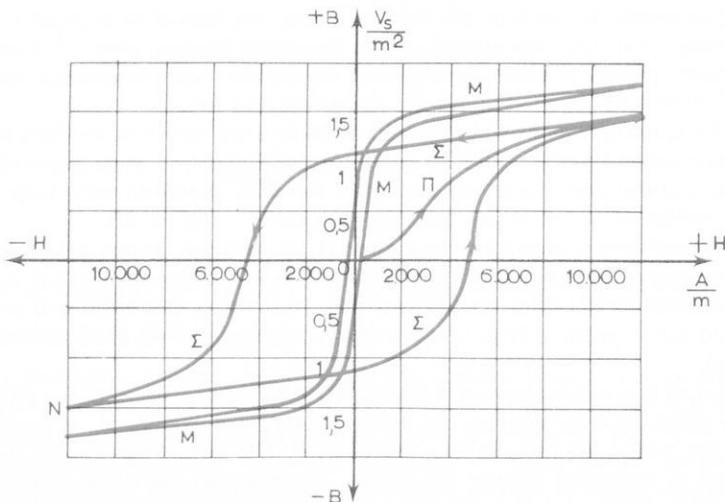
Γιά νά άπομαγνητίσομε πάλι έντελῶς τό ύλικό, πρέπει νά άλλάξομε τή φορά τοῦ πεδίου  $H$ , διοχετεύοντας στό πηνίο ρεῦμα στήν άρχική φορά. Ή Β μειώνεται και, γιά ένταση πεδίου ΟΘ, μηδενίζεται. Η ΟΘ είναι ίση μέ τήν ΟΔ, δηλαδή μέ τή συνεκτική δύναμη τοῦ ύλικοῦ. Συνεχίζοντας τήν αυξήση τής έντάσεως  $H$ , φθάνομε γιά  $H = OA$  στό σημεῖο B, άπό τό όποιο ξεκινήσαμε τήν άπομαγνήτιση. Έτσι, συμπληρώνεται μία κλειστή διαδρομή  $BΓΔΖΗΘΒ$ . Τήν κλειστή αυτή καμπύλη, πού σχηματίζεται στό έπίπεδο B - H, κατά τή διαδοχική μαγνήτιση και άπομαγνήτιση ένός σιδηρομαγνητικοῦ, δονομάζομε **βρόχο ύστερησεως**.

"Αν έπαναλάβομε άκριβῶς τή διαδικασία πού περιγράψαμε, θά σχηματίσομε

πάλι τόν προηγούμενο βρόχο ύστερήσεως, χωρίς νά περάσουμε άπό τήν άρχική καμπύλη μαγνητίσεως OB. Γι' αυτό, ή καμπύλη μαγνητίσεως OB, πού σχηματίζεται κατά τήν άρχικη μαγνητίση ένός άμαγνητιστου ύλικου, δνομάζεται **παρθενική καμπύλη μαγνητίσεως**.

Τήν παρθενική καμπύλη μαγνητίσεως μπορούμε νά ξαναπάρομε, ἀν διακόψουμε τή διαδικασία στά σημεῖα Δ ή Θ, στά όποια τό ύλικό έχει άπομαγνητισθεῖ έντελῶς και ξεκινήσουμε τή μαγνητίση άπό τήν άρχη. Έπισης, μπορούμε νά φθάσουμε διαδοχικά στό άρχικό σημεῖο O μέ **κυκλική μαγνήτιση - άπομαγνήτιση**, ἀν μειώνομε βαθμιαῖα τίς έντάσεις τοῦ πεδίου OA και OE, ὥστε δτου μηδενισθοῦν. Σέ μικρότερες τιμές OA (OE) άντιστοιχούν μικρότερες τιμές AB (EZ) και ἔτσι σχηματίζονται διαδοχικά μικρότεροι βρόχοι ύστερήσεως, ώσπου ὁ βρόχος ταυτίζεται μέ τό σημεῖο O. Ή κυκλική αυτή μαγνητίση - άπομαγνήτιση μπορεῖ νά πραγματοποιηθεῖ μέ έναλλασσόμενο ρεῦμα, στό όποιο μειώνεται σταδιακά τό πλάτος.

Από δσα περιγράψαμε γίνεται φανερό δτι σέ δρισμένη τιμή τῆς έντάσεως H τοῦ μαγνητικοῦ πεδίου δέν άντιστοιχεῖ πάντοτε ή ίδια τιμή B, ἀλλά, άνάλογα μέ τήν προϊστορία τοῦ ύλικου πού ξεκινήσουμε, προκύπτει και διαφορετική τιμή. Αυτό σημαίνει δτι άνάλογα προκύπτουν και διαφορετικές τιμές τῆς μαγνητίκης διαπερατότητας μ, ἐφ' δσον  $\mu = B/H$ .



$\Sigma$  = Σκληρός χάλυβας

M = Μαλακός οίδηρος

Σχ. 9.3στ.

Τή μορφή τοῦ βρόχου ύστερήσεως έξαρτᾶται άπό τό εἶδος τοῦ σιδηρομαγνητικοῦ ύλικου και είναι χαρακτηριστική γιά κάθε ύλικό. Ο σκληρός χάλυβας παρουσιάζει πλατύ βρόχο μέ μεγάλο παραμένοντα μαγνητισμό και μεγάλη

συνεκτική δύναμη. Άντιθετα, ο μαλακός σίδηρος παρουσιάζει στενό βρόχο, μικρό παραμένοντα μαγνητισμό και μικρή συνεκτική δύναμη (σχ. 9.3στ.). Από αυτό, γίνεται φανερό ότι ο σκληρός χάλυβας είναι κατάλληλος γιά τη δημιουργία μονίμων μαγνητών μέ μαγνήτιση, ένω ό μαλακός σίδηρος είναι άκατάλληλος, γιατί και μικρή μαγνήτιση έπιτυγχάνουμε μέ αυτόν και πολύ εύκολα χάνει τό μαγνητισμό του.

Άντιθετα, ο μαλακός σίδηρος είναι άπαραίτητος σέ μαγνητικά κυκλώματα, που έργαζονται μέ εναλλασσόμενο ρεύμα, π.χ. σέ μετασχηματιστές, σέ κινητήρες και γεννήτριες έναλλασσομένου ρεύματος κλπ. στά όποια άναγκαστικά έχομε συνεχή μαγνήτιση και άπομαγνήτιση τοῦ ύλικοῦ. Ή μαγνήτιση και άπομαγνήτιση δημιουργεῖ άπώλειες ένέργειας, τίς **άπώλειες ύστερήσεως**, που πρέπει νά καλύπτει ή πηγή τροφοδοτήσεως. Οι άπώλειες ύστερήσεως, που έμφανίζονται σάν άπώλειες τριβῆς και προκαλούν θέρμανση τοῦ ύλικοῦ, άποδεικνύεται δι τε είναι άναλογες τοῦ έμβαδοῦ τοῦ βρόχου ύστερήσεως. Έτσι, μαλακά μαγνητικά ύλικά μέ στενό βρόχο ύστερήσεως έχουν μικρές άπώλειες ύστερησεως και είναι κατάλληλα γιά λειτουργία σέ μεταβαλλόμενα μαγνητικά πεδία.

Στά μαλακά μαγνητικά ύλικά, έπειδή ό βρόχος ύστερήσεως είναι στενός, μπορούμε στήν πράξη νά θεωρήσομε δι τοῦ βρόχος αυτός ταυτίζεται μέ τήν παρθενική καμπύλη μαγνητίσεως τοῦ ύλικοῦ. Έτσι, γιά κάθε ένταση Η τοῦ πεδίου έχομε μία μόνο τιμή μαγνητικής έπαγωγῆς B. Τήν παρθενική καμπύλη μαγνητίσεως δνομάζομε, στήν περίπτωση αυτή, άπλα **καμπύλη μαγνητίσεως** τοῦ ύλικοῦ.

#### 9.4 Έρμηνεία τοῦ μαγνητισμοῦ.

Ή μαγνητική συμπεριφορά τῶν ύλικῶν έξηγείται σύντομα ώς ἔξης:

Κάθε ἄτομο όποιουδήποτε ύλικοῦ περιλαμβάνει, δπως ξέρομε, ήλεκτρόνια, που περιστρέφονται γύρω ἀπό τόν πυρήνα τοῦ ἀτόμου καί γύρω ἀπό τόν ἄξονά τους. Οι κινήσεις αυτές τῶν ήλεκτρονίων ίσοδυναμοῦν μέ στοιχειώδη ήλεκτρικά ρεύματα, που δημιουργοῦν στοιχειώδη μαγνητικά πεδία. Έτσι, κάθε ήλεκτρόνιο παρουσιάζει δρισμένη μαγνητική ροπή  $\vec{r}_m$ , έξ αιτίας τῆς περιστροφῆς του γύρω ἀπό τόν πυρήνα τοῦ ἀτόμου καί δρισμένη μαγνητική ροπή  $\vec{r}_m^*$ , έξ αιτίας τῆς περιστροφῆς γύρω ἀπό τόν ἄξονά του. Μέ διανυσματική πρόσθεση τῶν μαγνητικῶν ροπῶν τῶν ήλεκτρονίων ένός ἀτόμου, προκύπτει ή **διλοκή μαγνητική ροπή τοῦ ἀτόμου**.

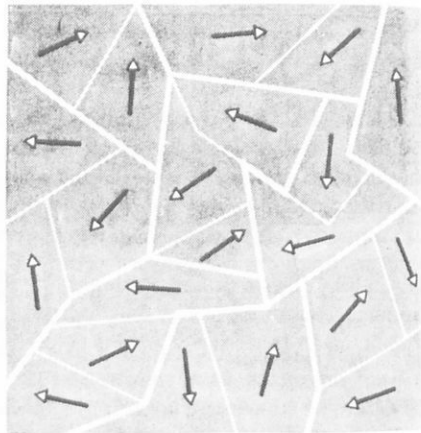
Στά **διαμαγνητικά ύλικά**, οι μαγνητικές ροπές τῶν **ήλεκτρονίων** κάθε ἀτόμου ἀλληλοαναρροῦνται, λόγω τῆς δομῆς τῶν ἀτόμων. Ή διλοκή μαγνητική ροπή κάθε ἀτόμου ξεχωριστά, δπως βέβαια καί τοῦ ύλικοῦ δλοκλήρου, μηδενίζεται, δταν τό ύλικό βρίσκεται έξω ἀπό τήν ἐπίδραση μαγνητικοῦ πεδίου. Κάτω ἀπό τήν ἐπίδραση μαγνητικοῦ πεδίου, έμφανίζεται στά ἄτομα μικρή μαγνητική ροπή, **άντιθετη** ἀπό τή διεύθυνση τοῦ έξωτερικοῦ πεδίου. Αύτό έχει σάν ἀποτέλεσμα τή μείωση κάπως τῆς μαγνητικῆς ροῆς τοῦ έξωτερικοῦ πεδίου, που περνᾶ

ἀπό τό ύλικό καί τήν ἐμφάνιση μαγνητικῆς διαπερατότητας, ἐλάχιστα μικρότερης ἀπό τή μονάδα.

Στά **παραμαγνητικά ύλικά**, κάθε **ἄτομο**, ἀπό τή δομή του, παρουσιάζει ὁρισμένη μαγνητική ροπή, ἀκόμα καί ὅταν βρίσκεται ἔξω ἀπό τήν ἐπίδραση μαγνητικοῦ πεδίου. Κάθε ἄτομο συμπεριφέρεται σάν ἑνας στοιχειώδης μαγνήτης. Οἱ μαγνητικές ροπές ὅμως τῶν ἀτόμων, εἶναι τυχαῖα προσανατολισμένες καὶ ἀλληλοαναιροῦνται, μέ την ἐπίδραση τοῦ πεδίου.

Οταν ἐφαρμοσθεῖ ἐξωτερικό μαγνητικό πεδίο, οἱ μαγνητικές ροπές τῶν ἀτόμων προσανατολίζονται κάπως πρός τή διεύθυνση τοῦ ἐξωτερικοῦ πεδίου. Αὐτό ἔχει ὡς ἀποτέλεσμα νά ἐνισχύσουν λίγο μέ τή ροή τους τήν ἐξωτερική μαγνητική ροή καὶ νά ἐμφανισθεῖ τό ύλικό μέ μαγνητική διαπερατότητα, πού εἶναι ἐλάχιστα μεγαλύτερη ἀπό τό 1.

Στά **σιδηρομαγνητικά ύλικά** ἐπίσης, κάθε **ἄτομο**, ἀπό τή δομή του, παρουσιάζει ὁρισμένη μαγνητική ροπή, ὅπως στά παραμαγνητικά ύλικά. Ἐδῶ ὅμως, οἱ μαγνητικές ροπές τῶν ἀτόμων ἐμφανίζονται ἐντελῶς προσανατολισμένες, μέσα σέ πολὺ μικρές περιοχές τοῦ ύλικοῦ, πού ὀνόμαζονται περιοχές Weiss. Οἱ όλικές μαγνητικές ροπές τῶν διαφόρων περιοχῶν εἶναι τυχαῖα προσανατολισμένες καὶ ἀλληλοαναιροῦνται, ὥστε τό ύλικό νά ἐμφανίζεται πάλι ἀμαγνήτιστο. Στό σχῆμα 9.4 διακρίνονται οἱ κρύσταλλοι ἐνός σιδηρομαγνητικοῦ ύλικοῦ (χονδρή διαχωριστική γραμμή) καὶ οἱ περιοχές Weiss μέσα στούς κρυστάλλους (λεπτή διαχωριστική γραμμή).



Σχ. 9.4.

Κάτω ἀπό τήν ἐπίδραση ἐξωτερικοῦ μαγνητικοῦ πεδίου, οἱ μαγνητικές ροπές τῶν περιοχῶν Weiss προσανατολίζονται καὶ τό ύλικό μαγνητίζεται. Ὁ προσανατολισμός τῶν ροπῶν συντελεῖται σταδιακά, ὥσπου, κάτω ἀπό τήν ἐπί-

δραση ίσχυρού πεδίου, νά προσανατολισθοῦν δσο εἶναι δυνατόν οι ροπές και τό όντικό νά φθάσει στήν κατάσταση τοῦ **μαγνητικοῦ κόρου**.

Κατά τήν ἀπομαγνήτιση τοῦ όντικοῦ, οἱ περιοχές δέν ἐπιστρέφουν ἀπόλυτα στήν ἀρχική τους κατάσταση μέ τον ἐντελῶς τυχαίους προσανατολισμούς, γιατί ἀντιδροῦν δυνάμεις μεταξύ τῶν κρυστάλλων τοῦ όντικοῦ. Ἐτσι ὁρισμένες περιοχές μένουν προσανατολισμένες και ἐμφανίζεται **δ παραμένων μαγνητισμός**.

Ἡ αὐξηση τῆς **θερμοκρασίας** δέν ἐπηρεάζει τή μαγνητική διαπερατότητα τῶν διαμαγνητικῶν όντικῶν, γιατί τό μαγνητικό φαινόμενο συντελεῖται στό ἐσωτερικό τῶν ἀτόμων και δέν ἐπηρεάζεται ἀπό τή θερμική τους κίνηση. Ἡ κίνηση αὐτή, ἀντίθετα, ἐπηρεάζει τά παραμαγνητικά όντικά, γιατί ἐμποδίζει τόν πλήρη προσανατολισμό τῶν στοιχειωδῶν μαγνητῶν, πού ἀποτελοῦν τά ἀτομα. Ἐπίσης, ἐπηρεάζει τά σιδηρομαγνητικά όντικά, γιατί ἐμποδίζει τόν πλήρη προσανατολισμό τῶν στοιχειωδῶν μαγνητικῶν ροπῶν, μέσα στίς περιοχές Weiss.

Οταν ἡ θερμοκρασία ύπερβεῖ ὁρισμένο δριο στά σιδηρομαγνητικά όντικά, ἐξαφανίζεται δ προσανατολισμός τῶν μαγνητικῶν ροπῶν στίς περιοχές Weiss και τό όντικό μετατρέπεται σέ παραμαγνητικό, μέ ταυτόχρονη ἀλλαγή τῆς κρυσταλλικῆς του δομῆς. Ἡ θερμοκρασία αὐτή ὀνομάζεται **θερμοκρασία Curie** και εἶναι π.χ. γιά τό σίδηρο  $785^{\circ}\text{C}$ , γιά τό νικέλιο  $305^{\circ}\text{C}$  κ.ο.κ.

## 9.5 Ἐπίλυση μαγνητικῶν κυκλωμάτων.

Ἐνα μαγνητικό κύκλωμα σχηματίζεται ἀπό κλειστές διαδρομές μαγνητικῆς ροής. Ἡ μαγνητική ροή εἶναι δυνατό νά περνᾶ εἴτε μέσα ἀπό τόν ἄερα, εἴτε μέσα ἀπό διάφορα όντικά. Στήν πράξη, ἀποφεύγομε τίς διαδρομές μέσα ἀπό τόν ἄερα, ἐκτός ἂν ύπάρχει εἰδικός λόγος πού νά τό ἐπιβάλλει. Αὐτό, γιατί ὁ ἄερας ἔχει πολύ μεγάλη μαγνητική ἀντίσταση. Τή μαγνητική ροή διοχετεύομε μέσα ἀπό σιδηρομαγνητικά όντικά, πού ἔχουν πολύ μικρή μαγνητική ἀντίσταση. Βέβαια, σέ όποιοδήποτε μαγνητικό κύκλωμα, ὁρισμένο τμῆμα τῆς μαγνητικῆς ροῆς, **ἡ ροή σκεδάσεως**, περνᾶ πάντοτε μέσα ἀπό τόν ἄερα, παρά τή θέλησή μας. Ἡ ροή σκεδάσεως μειώνει τήν **κύρια ροή**, πού περνᾶ ἀποκλειστικά μέσα ἀπό τό σιδηρομαγνητικό όντικό. Ἐτσι, πρέπει νά λαμβάνεται ύπ' δψη στούς ύπολογισμούς τῶν κυκλωμάτων, δταν δέν εἶναι πολύ μικρή, συγκριτικά μέ τήν κύρια ροή. Ἐμεῖς ύποθέτομε στά ἐπόμενα, γιά λόγους ἀπλουστεύσεως, δτι ὅλοκληρη ἡ μαγνητική ροή, πού δημιουργεῖται σέ Ἑνα μαγνητικό κύκλωμα, περνᾶ ἀποκλειστικά μέσα ἀπό τό σιδηρομαγνητικό όντικο και ἀπό τά κενά ἄερα, πού σκόπιμα κατασκευάζομε. Ἡ ύπόθεση αὐτή ισχύει ἐπίσης στά λυμένα παραδείγματα και στίς ἀσκήσεις πρός λύση, στό τέλος τοῦ βιβλίου.

Τό σχῆμα 9.5α δείχνει, γιά παράδειγμα, ἑνα μαγνητικό κύκλωμα, πού σχηματίζεται ἀπό ἑνα μεταλλικό πλαίσιο μέ 3 σκέλη. Στά δύο ἀπό τά 3 σκέλη ύπάρχουν πηνία, πού διαρρέονται ἀπό ρεῦμα και δημιουργοῦν μαγνητική ροή.

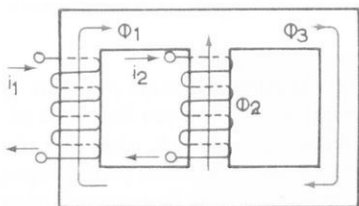
Μέ βάση τό κύκλωμα αυτό, θά γνωρίσουμε τούς βασικούς κανόνες που χρησιμοποιούνται γιά τήν έπιλυση τῶν μαγνητικῶν κυκλωμάτων.

Τά προβλήματα, πού άντιμετωπίζομε στά μαγνητικά κυκλώματα, εἶναι **δύο ειδῶν**:

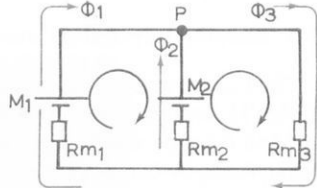
α) Δίνεται τό κύκλωμα μέ τίς διαστάσεις και τό ύλικό, άπό τό όποιο εἶναι κατασκευασμένο, καθώς και οί μαγνητικές ροές  $\Phi$ , πού πρέπει νά δημιουργηθοῦν στά διάφορα τμήματά του, άπό πηνία πού εἶναι τοποθετημένα σέ δρισμένες θέσεις και ζητοῦνται οί άπαιτούμενες μαγνητικές δυνάμεις  $M = In$  τῶν πηνίων.

β) Άντιστροφα, δίνεται τό κύκλωμα, πάλι μέ τίς διαστάσεις και τό ύλικό του, καθώς και οί μαγνητικές ροές  $\Phi$ , πού πρέπει νά δημιουργηθοῦν στά διάφορα τμήματά του, άπό πηνία πού εἶναι τοποθετημένα σέ δρισμένες θέσεις και ζητοῦνται οί άπαιτούμενες μαγνητικές δυνάμεις  $M = In$  τῶν πηνίων.

Ή δεύτερη περίπτωση έχει στήν πράξη μεγαλύτερη σπουδαιότητα, γιατί συνήθως εἶναι γνωστή ή ύπολογίζεται ή μαγνητική ροή, πού εἶναι άπαραίτητη γιά τή λειτουργία μιᾶς μηχανῆς ή συσκευῆς. Τό πρόβλημα εἶναι νά προσδιορισθοῦν οί άπαιτούμενες άμπεροστροφές, γιά νά δημιουργηθεῖ αυτή ή ροή. Οι διαστάσεις και τό ύλικό τού μαγνητικού κυκλώματος, πού θεωροῦνται γνωστά στά προηγούμενα προβλήματα, ύπολογίζονται άπό τά ίδιαίτερα χαρακτηριστικά τῆς μηχανῆς και δύοσδήποτε έπισης μέ οίκονομικά κριτήρια, ώστε νά κατασκευασθεῖ ή μηχανή μέ δρισμένες προδιαγραφές, άλλα μέ τό χαμηλότερο δυνατό κόστος.



Σχ. 9.5α.



Σχ. 9.5β.

Στό κύκλωμα τού σχήματος 9.5α εἶναι σχεδιασμένη ή φορά τῶν ρευμάτων στά δύο πηνία και ή φορά τῶν μαγνητικῶν ροῶν. Τό κύκλωμα αυτό εἶναι άπλοιοποιημένο, στό σχήμα 9.5β. Εἶναι τυπικά ίσοδύναμο πρός ένα ήλεκτρικό κύκλωμα μέ δύο, παράλληλα συνδεδεμένες πηγές, πού δημιουργοῦν ρεύματα  $i_1$ ,  $i_2$ ,  $i_3$ , ύπερνικώντας τίς άντιστάσεις  $R_1$ ,  $R_2$ ,  $R_3$ .

Έχετάζομε τό **πρώτο είδος** προβλημάτων μέ γνωστές τίς μαγνητικές δυνάμεις  $M_1$ ,  $M_2$  και τίς άντιστάσεις  $R_{m1}$ ,  $R_{m2}$ ,  $R_{m3}$  και άγνωστες τίς ροές  $\Phi_1$ ,  $\Phi_2$ ,  $\Phi_3$ . Ξεκινώντας άπό τήν τυπική άναλογία μεταξύ ήλεκτρικῶν και μαγνητικῶν κυκλωμάτων, χρησιμοποιούμε γιά τήν έπιλυση τού κυκλώματος τούς δύο κανόνες τού **Kirchhoff**. Έτσι, έχομε γιά τό σημείο  $P$  διτί τό άθροισμα τῶν μαγνητικῶν ροῶν  $\Phi$  εἶναι ίσο μέ μηδέν:

$$\Phi_1 + \Phi_2 - \Phi_3 = 0 \quad (1)$$

Γιά τούς δύο βρόχους τοῦ κυκλώματος, ἔχουμε δτι τὸ ἄθροισμα τῶν μαγνητικῶν δυνάμεων σὲ κάθε βρόχο εἶναι ἵσο μέ τὸ ἄθροισμα τῶν μαγνητικῶν πτώσεων τάσεως:

$$M_1 - M_2 = \Phi_1 R_{m1} - \Phi_2 R_{m2} \quad (2)$$

$$M_2 = \Phi_2 R_{m2} + \Phi_3 R_{m3} \quad (3)$$

Ἄπο τὴν ἐπίλυση τοῦ συστήματος τῶν τριῶν ἔξισώσεων (1) - (3), προσδιορίζονται οἱ 3 ἀγνωστες μαγνητικές ροές  $\Phi_1$ ,  $\Phi_2$ ,  $\Phi_3$ .

Ἡ χρησιμοποίηση τῶν κανόνων τοῦ Kirchhoff γιά τὸν προσδιορισμό τῶν ροῶν  $\Phi$ , ἔχει σάν προϋπόθεση δτι οἱ μαγνητικές ἀντιστάσεις  $R_m$  εἶναι γνωστές. Οἱ ἀντιστάσεις αὐτές ὑπολογίζονται σύμφωνα μέ τὸν τύπο (16) τῆς 8.2 ἀπό τὴ σχέση:

$$R_m = \frac{l_m}{S\mu}$$

ὅπου  $l_m$  τὸ μέσο μῆκος τῆς μαγνητικῆς διαδρομῆς,  $S$  ἡ διατομή της καὶ  $\mu$  ἡ μαγνητική διαπερατότητα τοῦ ὄλικοῦ.

Γιά τὸν ἀέρα, τὰ διαμαγνητικά καὶ τὰ παραμαγνητικά ὄλικά, τὸ μ εἶναι ἀνεξάρτητο ἀπό τὴ μαγνητική ροή  $\Phi$  καὶ ἵσο, πρακτικά, μέ τὴ μαγνητική διαπερατότητα τοῦ κενοῦ  $\mu_0 = 4\pi \cdot 10^{-7}$  Vsec/Am. Στὰ ὄλικά αὐτά μποροῦμε, ἐπομένως, νά χρησιμοποιήσουμε τοὺς κανόνες τοῦ Kirchhoff. Στὰ σιδηρομαγνητικά ὅμως ὄλικά τὸ μ δὲν εἶναι σταθερό, ἀλλά ἔξαρταται, δπως γνωρίσαμε, ἀπό τὴ ροή  $\Phi$ . Κατά κανόνα, δέν μπορεῖ νά ὀρισθεῖ προκαταβολικά, ὥστε νά ὑπολογίσουμε τίς ἀντιστάσεις.

Ἐτσι στὴν πράξη, δέν μποροῦμε νά χρησιμοποιήσουμε σὲ κυκλώματα ἀπό σιδηρομαγνητικό ὄλικό τίς ἔξισώσεις τοῦ Kirchhoff, μέ τὸν τρόπο πού περιγράψαμε προηγουμένως. Στὴν περίπτωση αὐτή, οἱ μαγνητικές ροές προσδιορίζονται ἐμψεσα μέ γραφικό τρόπο, πού βασίζεται στὴ λύση τοῦ δευτέρου εἰδούς προβλήματων.

Στὸ δεύτερο εἶδος προβλημάτων δίνονται οἱ μαγνητικές ροές  $\Phi_1$ ,  $\Phi_2$ ,  $\Phi_3$ , οἱ διαστάσεις καὶ τὸ ὄλικό τοῦ πλαισίου καθώς καὶ οἱ θέσεις τῶν πηνίων 1 καὶ 2 καὶ ζητοῦνται οἱ μαγνητεγερτικές δυνάμεις  $M_1$  καὶ  $M_2$  (σχ. 9.5a). Γιά τὴ λύση τοῦ προβλήματος αὐτοῦ, ἐργαζόμαστε ὡς ἔχης:

Ἀπό τίς ροές  $\Phi_1$ ,  $\Phi_2$ ,  $\Phi_3$  καὶ τὴ διατομή  $S$  τοῦ πλαισίου, ὑπολογίζομε τίς μαγνητικές ἐπαγωγές  $B_1$ ,  $B_2$ ,  $B_3$  στὶς 3 διαδρομές τίς μαγνητικῆς ροῆς:

$$B_1 = \frac{\Phi_1}{S}, \quad B_2 = \frac{\Phi_2}{S}, \quad B_3 = \frac{\Phi_3}{S} \quad (4)$$

Ἀπό τίς ἐπαγωγές  $B_1$ ,  $B_2$ ,  $B_3$  καὶ τὴν καμπύλη μαγνητίσεως τοῦ ὄλικοῦ τοῦ

πλαισίου, πού πρέπει έπισης νά είναι γνωστή, ύπολογίζουμε τίς έντασεις του μαγνητικού πεδίου  $H_1, H_2, H_3$  στίς 3 διαδρομές.

Τη ένταση έπι το μέσο μῆκος  $l_m$  μᾶς διαδρομής, δίνει τή μαγνητική τάση στά ακρα της καί, σέ μία κλειστή διαδρομή, τό άθροισμα τῶν μαγνητικῶν τάσεων είναι ίσο μέ τό άθροισμα τῶν μαγνητεγερτικῶν δυνάμεων  $In$ , σύμφωνα μέ τό νόμο του διαρρεύματος [τύπος (41) τῆς 8.2]. Αρα γιά τούς δύο βρόχους του κυκλώματος, έχομε:

$$M_1 - M_2 = H_1 l_{m1} - H_2 l_{m2} \quad (5)$$

$$M_2 = H_2 l_{m2} + H_3 l_{m3} \quad (6)$$

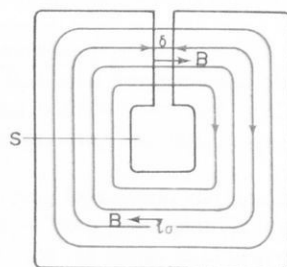
Από τίς έξισώσεις (5) καί (6) προσδιορίζονται οι άγνωστες μαγνητεγερτικές δυνάμεις:

$$M_1 = I_1 n_1 \quad \text{καί} \quad M_2 = I_2 n_2$$

Σημειώνομε δτι γιά τίς 3 ροές  $\Phi_1, \Phi_2, \Phi_3$  πρέπει νά ισχύει στό σημεῖο  $P$  ή σχέση (1). Αρα άρκει νά δοθοῦν δύο ροές, όπότε ύπολογίζεται ή τρίτη άπό τή σχέση αντή.

Όταν έχομε νά λύσουμε σέ σιδηρομαγνητικό κύκλωμα ένα πρόβλημα του **πρώτου ειδούς**, έργαζόμαστε ώς έξης:

Έστω δτι μᾶς δίνεται τό πλαίσιο του σχήματος 9.5γ μέ τίς διαστάσεις του, τήν καμπύλη μαγνητίσεως του ύλικού, άπό τό όποιο είναι κατασκευασμένο καί ή μαγνητεγερτική δύναμη  $M^*$  τού πηνίου. Μᾶς ζητεῖται νά προσδιορίσουμε τή μαγνητική ροή  $\Phi^*$  πού περνά άπό τό κύκλωμα.



Σχ. 9.5γ.

Έπειδή δέν μποροῦμε νά ύπολογίσουμε άμεσα τή μαγνητική άντίσταση  $R_m$  του κυκλώματος καί νά έφαρμόσουμε τόν τύπο του Hopkinson:

$$\Phi = \frac{M}{R_m} \quad (7)$$

έφ' δσον ή μαγνητική διαπερατότητα  $\mu_r$  τοῦ σιδηρομαγνητικοῦ ύλικοῦ εἶναι ἄγνωστη, προχωροῦμε ἔμμεσα, δίνοντας αὐθαίρετες τιμές  $\Phi_1, \Phi_2, \Phi_3, \dots$  στή μαγνητική ροή καὶ ὑπολογίζοντας τίς ἀντίστοιχες μαγνητεγερτικές δυνάμεις  $M_1, M_2, M_3, \dots$ , δπως σέ ἓνα πρόβλημα τοῦ δευτέρου εἰδούς.

Γιά δρισμένη τιμή  $\Phi$  ὑπολογίζεται ή  $M$ , σύμφωνα μέ τή διαδικασία πού περιγράψαμε προηγούμενως:

Από τή  $\Phi$  καὶ τή διατομή  $S$  τοῦ πλαισίου ὑπολογίζομε τή μαγνητική ἐπαγωγή  $B$  τοῦ κυκλώματος:

$$B = \frac{\Phi}{S} \quad (8)$$

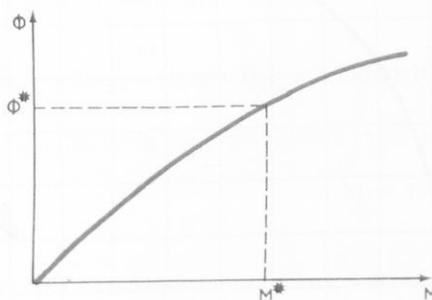
Από τή  $B$  καὶ τήν καμπύλη μαγνητίσεως τοῦ ύλικοῦ βρίσκομε τήν ἔνταση  $H_\sigma$  τοῦ πεδίου γιά τό τμῆμα τῆς ροῆς, πού περνᾶ μέσα ἀπό τό σιδηρομαγνητικό ύλικό. Ή ἔνταση τοῦ πεδίου  $H_\delta$  στό διάκενο ὑπολογίζεται ἀπό τή σχέση (35) τῆς 8.2:

$$H_\delta = \frac{B}{\mu_0} \quad (9)$$

Σύμφωνα μέ τό νόμο τοῦ διαρρεύματος, ἔχομε:

$$M = I_n = H_\sigma l_\sigma + H_\delta l_\delta \quad (10)$$

Τά ζεύγη τιμῶν  $\Phi - M$ , πού ὑπολογίζομε κατά τά ἀνωτέρω, τοποθετοῦμε σέ ἓνα σύστημα ὀρθογωνίων συντεταγμένων καὶ σχεδιάζομε τήν καμπύλη  $\Phi = f(M)$ . Ή καμπύλη αὐτή ὀνομάζεται **μαγνητική χαρακτηριστική** τοῦ κυκλώματος (σχ. 9.5δ).



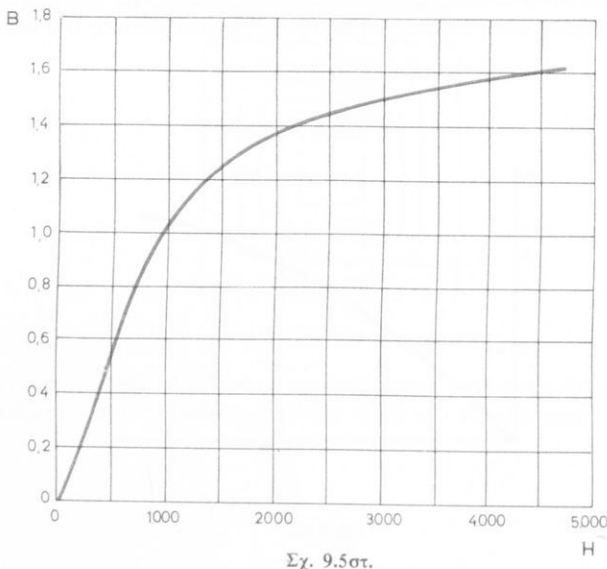
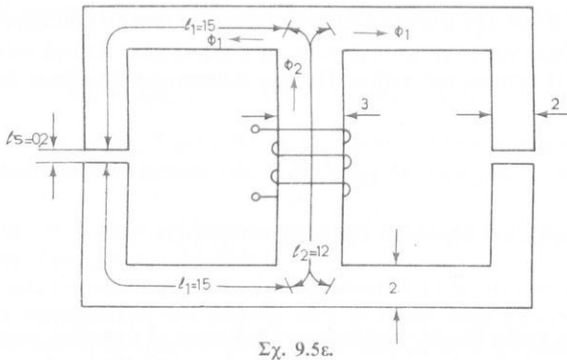
Σχ. 9.5δ.

Από τή μαγνητική χαρακτηριστική, βρίσκομε κατόπιν τή μαγνητική ροή  $\Phi^*$ , ή όποια άντιστοιχεῖ στή συγκεκριμένη τιμή  $M^*$  που μᾶς δόθηκε άρχικά.

### Άριθμητικά παραδείγματα.

#### Παράδειγμα 1.

Στό διπλό πλαίσιο τοῦ σχήματος 9.5ε νά ύπολογισθεῖ ή μαγνητεγερτική δύναμη  $M$ , πού άπαιτεῖται γιά νά δημιουργηθεῖ μαγνητική ροή  $\Phi_1 = 0,8 \cdot 10^{-3}$  Vs σε κάθε διάκενο άέρα. Τό πλαίσιο είναι κατασκευασμένο άπό μαλακό σίδηρο, πού ή καμπύλη μαγνητίσεώς του δίνεται στό σχήμα 9.5στ και έχει πάχος, σέ δύλα του τά σημεῖα, 5 cm. Οι διαστάσεις στό σχήμα είναι σέ cm.



### Λύση.

Από τόν τύπο (35) τῆς παραγράφου 8.2, έχουμε γιά τή μαγνητική έπαγωγή  $B_1$  στά πλευρικά σκέλη και στά διάκενα άέρα:

$$B_1 = B_0 = \frac{\Phi_1}{S_1} = \frac{0,8 \cdot 10^{-3}}{2 \cdot 5 \cdot 10^{-4}} = 0,8 \text{ T}$$

Από τήν καμπύλη μαγνητίσεως παίρνομε γιά  $B_1 = 0,8 \text{ T}$  ένταση μαγνητικοῦ πεδίου στά πλευρικά σκέλη  $H_1 = 700 \text{ A/m}$ . Ή ένταση τοῦ πεδίου στά διάκενα είναι, σύμφωνα μέ τόν τύπο (35) τῆς παραγράφου 8.2:

$$H_\delta = \frac{B_\delta}{\mu_0} = \frac{0,8}{4\pi \cdot 10^{-7}} = 6,37 \cdot 10^5 \text{ A/m}$$

Στό κεντρικό σκέλος έχουμε διπλάσια μαγνητική ροή  $\Phi_2$ , πού διαμοιράζεται σέ δύο ίσες ροές  $\Phi_1$ :

$$\Phi_2 = 2\Phi_1 = 2 \cdot 0,8 \cdot 10^{-3} = 1,6 \cdot 10^{-3} \text{ Vs}$$

Αρα ή μαγνητική έπαγωγή έδω είναι:

$$B_2 = \frac{\Phi_2}{S_2} = \frac{1,6 \cdot 10^{-3}}{3 \cdot 5 \cdot 10^{-4}} = 1,07 \text{ T}$$

Από τήν καμπύλη μαγνητίσεως παίρνομε γιά  $B_2 = 1,07 \text{ T}$

$$H_2 = 1100 \text{ A/m}$$

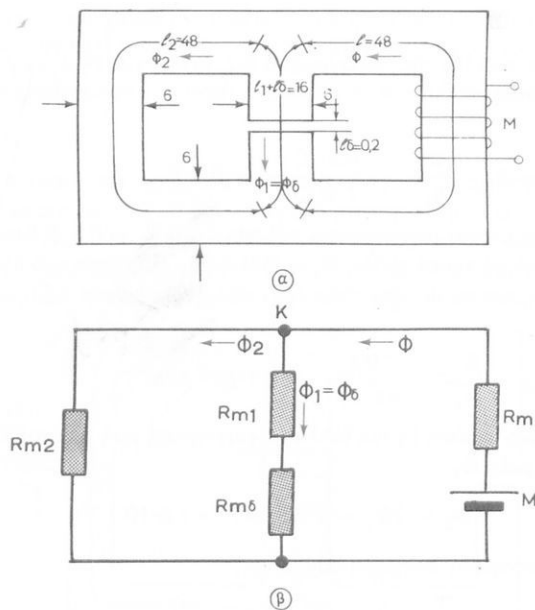
Έφαρμόζουμε τώρα τόν τύπο (41) τοῦ διαρρεύματος τῆς παραγράφου 8.2, στή σχεδιασμένη κλειστή διαδρομή:

$$M = In = \sum_v H_v l_v = 2H_1 l_1 + H_\delta l_\delta + H_2 l_2 = 2 \cdot 700 \cdot 15 \cdot 10^{-2} + \\ 6,37 \cdot 10^5 \cdot 0,2 \cdot 10^{-2} + 1100 \cdot 12 \cdot 10^{-2} = 210 + 1274 + 132 = 1616 \text{ άμπεροστροφές}$$

$$M = 1616 \text{ άμπεροστροφές}$$

### Παράδειγμα 2.

Δίνεται τό μαγνητικό κύκλωμα τοῦ σχήματος 9.5ζ(α). Νά ύπολογισθεῖ τό ρεύμα Ι τοῦ πηνίου, πού άπαιτεῖται γιά νά δημιουργηθεῖ μαγνητική ροή στό διάκενο άέρα  $\Phi_\delta = 2 \cdot 10^{-3} \text{ Vs}$ , ἢν τό πηνίο είναι τυλιγμένο στό δεξιό σκέλος



Σχ. 9.5ζ.

καί έχει 1000 σπεῖρες. Τό κύκλωμα έχει σέ δλα του τά σημεῖα πάχος 10 cm. Η μαγνητική καμπύλη του ύλικού του δίνεται στό σχήμα 9.5στ.

### Αύση.

Τό σχήμα 9.5ζ(β) δίνει άπλοποιημένα τό μαγνητικό κύκλωμα τού σχήματος 9.5ζ(α). Στό κεντρικό σκέλος έχομε:

$$B_1 = \frac{\Phi_\delta}{S_\delta} = \frac{2 \cdot 10^{-3}}{6 \cdot 10 \cdot 10^{-4}} = 0,33 \text{ T}$$

Από τή μαγνητική καμπύλη παίρνομε γιά  $B_1 = 0,33 \text{ T}$  τήν ένταση τού μαγνητικού πεδίου στό σιδερένιο τμῆμα τού μεσαίου σκέλους:

$$H_1 = 300 \text{ A/m}$$

Η ένταση  $H_\delta$  στό διάκενο άέρα τού μεσαίου σκέλους είναι:

$$H_\delta = \frac{B_1}{\mu_0} = \frac{0,33}{4\pi \cdot 10^{-7}} = 262.800 \text{ A/m}$$

Από τόν τύπο (41) έχουμε γιά τήν όλική μαγνητική τάση στό μεσαϊο σκέλος:

$$\begin{aligned} U_m &= U_{m1} + U_{m\delta} = H_1 l_1 + H_\delta l_\delta = 300 (16 - 0,2) \cdot 10^{-2} + 262.800 \cdot 0,2 \cdot 10^{-2} \\ &= 47,4 + 525,6 = 573 \text{ A} \end{aligned}$$

Η μαγνητική τάση  $U_m$  είναι ίση μέ τή μαγνητική τάση στά ακρα τού άριστερού σκέλους, έφ' δοσον τά δύο σκέλη είναι παράλληλα συνδεδεμένα και δέν ύπάρχει σέ αυτά μαγνητεγρητική δύναμη. Αρα:

$$U_m = H_2 l_2$$

και

$$H_2 = \frac{U_m}{l_2} = \frac{579}{48 \cdot 10^{-2}} = 1210 \text{ A/m}$$

Από τό διάγραμμα παίρνομε γιά  $H_2 = 1210 \text{ A/m}$ :

$$B_2 = 1,15 \text{ T}$$

Η μαγνητική ροή  $\Phi_2$  στό άριστερό σκέλος είναι:

$$\Phi_2 = B_2 \cdot S_2 = 1,15 \cdot 6 \cdot 10 \cdot 10^{-4} = 6,9 \cdot 10^{-3} \text{ Vs}$$

Από τόν κόμβο Κ έχουμε γιά τή μαγνητική ροή  $\Phi$  στό δεξιό σκέλος:

$$\Phi = \Phi_1 + \Phi_2 = 2 \cdot 10^{-3} + 6,9 \cdot 10^{-3} = 8,9 \cdot 10^{-3} \text{ Vs}$$

Αρα ή μαγνητική έπαγωγή έδω είναι:

$$B = \frac{\Phi}{S} = \frac{8,9 \cdot 10^{-3}}{6 \cdot 10 \cdot 10^{-4}} = 1,48 \text{ T}$$

Γιά  $B = 1,48 \text{ T}$  παίρνομε άπό τό διάγραμμα:

$$H = 2800 \text{ A/m}$$

Στά κλειστά κυκλώματα πού περιλαμβάνουν τή Μ, έχουμε:

$$M = Hl + H_1 l_1 = 1344 + 579 = 1923 \text{ A}$$

και

$$M = Hl + H_2 l_2 = 1344 + 579 = 1923 \text{ A}$$

Αρα, μέ όποιοδήποτε άπό τά δύο κυκλώματα προσδιορίζομε τή Μ.

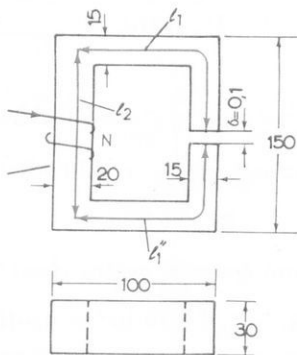
Επειδή τώρα  $M = In$ , παίρνομε γιά τό ρεῦμα I:

$$I = \frac{M}{n} = \frac{1923}{1000} = 1,92 \text{ A}$$

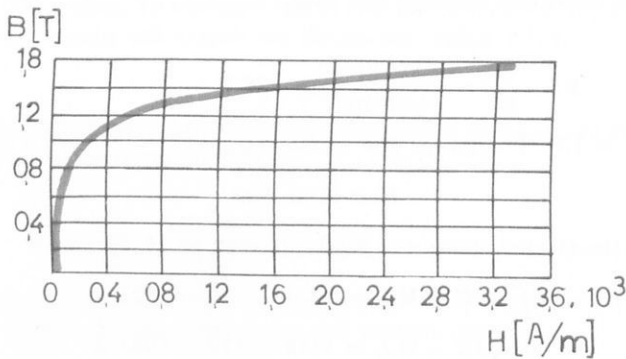
$$I = 1,92 \text{ A}$$

### Παράδειγμα 3.

Δίνεται τό μαγνητικό κύκλωμα τοῦ σχήματος 9.5η. Οἱ σημειωμένες διαστάσεις εἰναι σὲ mm. Τό πηνίο ἔχει 350 σπεῖρες καὶ διαρρέεται ἀπό ρεῦμα  $I = 1$  A. Ἡ μαγνητική καμπύλη τοῦ ύλικου τοῦ κυκλώματος δίνεται στό σχῆμα 9.50. Νά βρεθεῖ ἡ μαγνητική ἐπαγωγή  $B_\delta$  στό διάκενο ἀέρα.



Σχ. 9.5η.



Σχ. 9.5θ.

### Αύση.

Ἐδῶ ἔχομε ἔνα πρόβλημα δευτέρου εἰδους. Γιά νά το λύσομε, δίνομε αὐθαίρετα τιμές  $0.5, -1.1, -1.2$  καὶ  $1.3$  Wb/m<sup>2</sup> στή μαγνητική ἐπαγωγή  $B_\delta$  τοῦ

διακένου άέρα και ύπολογίζομε γιά κάθε τιμή τίς άντιστοιχες άμπεροστροφές, δηλαδή τή μαγνητεγρητική δύναμη  $M$  και τή μαγνητική ροή  $\Phi$ . Ή  $M$  και ή  $\Phi$  γιά όρισμένη  $B_\delta$ , π.χ. γιά  $B_\delta = 0,5 \text{ Wb/m}^2$  βρίσκονται ώς έξης:

Στό κύκλωμα τοῦ σχήματος 9.5η έχομε:

$$l_1 = l'_1 + l''_1 = 30 \text{ cm} \quad S_1 = 4,5 \text{ cm}^2$$

$$l_2 = 13,5 \text{ cm} \quad S_2 = 6 \text{ cm}^2$$

$$l_\delta = 0,01 \text{ cm} \quad S_\delta = 4,5 \text{ cm}^2$$

$$\Phi = B_\delta \cdot S_\delta = 0,5 \cdot 4,5 = 22,5 \cdot 10^{-5} \text{ Wb}$$

$B_1 = B_\delta = 0,5 \text{ Wb/m}^2$  έπειδή ή διατομή στό τμῆμα 1 και στό διάκενο άέρα είναι ίδια:

$$B_2 = \frac{\Phi}{S_2} = \frac{22,5 \cdot 10^{-5}}{6 \cdot 10^{-4}} = 0,375 \text{ Wb/m}^2$$

Από τή μαγνητική καμπύλη 9.5θ παίρνομε:

$$\text{γιά } B_1 = 0,5 \text{ Wb/m}^2, \quad H_1 = 50 \text{ A/m}$$

$$\text{γιά } B_2 = 0,375 \text{ Wb/m}^2, \quad H_2 = 25 \text{ A/m}$$

$$H_\delta = \frac{B_\delta}{\mu_0} = \frac{0,5}{4\pi \cdot 10^{-7}} = 4 \cdot 10^5 \text{ A/m}$$

$$M = In = \Sigma Hl$$

$$M = H_1 l_1 + H_2 l_2 + H_\delta \delta = 50 \cdot 0,3 + 25 \cdot 0,135 + 4 \cdot 10^5 \cdot 0,01 \cdot 10^{-2} = 58,38 \text{ άμπεροστροφές}$$

Έτσι ύπολογίζομε τή  $M$  και  $\Phi$  και γιά τίς ύπόλοιπες τιμές  $B$ . Ο πίνακας 9.5.1 δίνει τίς ένδιαμεσες και τελικές τιμές ύπολογισμοῦ.

Πίνακας 9.5.1.

$B_\delta \text{ Wb/m}^2$	0,5	1,1	1,2	1,3
$B_1 \text{ Wb/m}^2$	0,5	1,1	1,2	1,3
$B_2 \text{ Wb/m}^2$	0,375	0,825	0,9	0,975
$H_1 \text{ A/m}$	50	460	700	1020
$H_2 \text{ A/m}$	25	150	200	300
$H_\delta \text{ A/m}$	$4 \cdot 10^5$	$8,8 \cdot 10^5$	$9,6 \cdot 10^5$	$10,4 \cdot 10^5$
$\Sigma Hl / A$	58,3	246,3	333	450,5
$\Phi \text{ Wb}$	$22,5 \cdot 10^{-5}$	$49,5 \cdot 10^{-5}$	$54 \cdot 10^{-5}$	$58,5 \cdot 10^{-5}$

Από τις άντιστοιχες τιμές  $M - \Phi$ , σχεδιάζουμε τη μαγνητική χαρακτηριστική του κυκλώματος  $\Phi = f(M)$  και παίρνουμε από αυτήν γιά:

$$M = I_n = 1 \cdot 350 = 350 \text{ A}$$

$$\Phi = 55 \cdot 10^{-5} \text{ Wb/m}^2$$

Η ζητούμενη μαγνητική έπαγωγή  $B_\delta$  είναι:

$$B_\delta = \frac{\Phi}{S_\delta} = \frac{55 \cdot 10^{-5}}{4,5 \cdot 10^{-4}} = 1,21 \text{ Wb/m}^2$$

$$B_\delta = 1,21 \text{ Wb/m}^2$$

## ΚΕΦΑΛΑΙΟ ΔΕΚΑΤΟ

### ΗΛΕΚΤΟΜΑΓΝΗΤΙΚΗ ΕΠΑΓΩΓΗ

Στό κεφάλαιο αύτό έξετάζομε τά φαινόμενα πού παρουσιάζονται σέ άγωγούς και σέ κλειστά κυκλώματα. Όταν μεταβάλλεται ή μαγνητική ροή, πού τά διαπερνά. Τά φαινόμενα αυτά δονομάζονται γενικά φαινόμενα ήλεκτρομαγνητικής έπαγωγής ή, άπλα, **ήλεκτρομαγνητική έπαγωγή**.

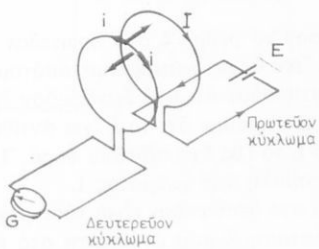
Τήν ήλεκτρομαγνητική έπαγωγή, άνακάλυψε καὶ διατύπωσε μαθηματικά ὁ Αγγλος έρευνητής *M. Faraday* τό 1831. Ο *Faraday* θεωρεῖται ό πατέρας τῆς σύγχρονης ένεργειακής τεχνικής, γιατί άπο αυτόν άνακαλύφθηκαν και ἐφαρμόσθηκαν γιά πρώτη φορά δλες οἱ βασικές ἀρχές, πάνω στίς όποιες στηρίζεται ἡ τεχνική αὐτή.

#### 10.1 Βασικά πειράματα ήλεκτρομαγνητικής έπαγωγῆς – Έπαγωγικό ρεῦμα.

Γιά τήν κατανόηση τοῦ φαινομένου τῆς έπαγωγῆς, ἐκτελοῦμε τά έξης τέσσερα ἄπλα πειράματα:

##### Πείραμα 1.

Σχηματίζομε δύο κλειστά κυκλώματα ἀπό σύρμα, δπως φαίνεται στό σχῆμα 10.1a. Στό ἕνα κύκλωμα, πού δονομάζομε **πρωτεύον**, τοποθετοῦμε μία πηγή συνεχοῦς ρεύματος *E*. Στό δεύτερο κύκλωμα, πού δονομάζομε **δευτερεύον**, συνδέομε ἔνα γαλβανόμετρο *G*. Τό γαλβανόμετρο είναι ἔνα πολὺ εὐαίσθητο δργανό, μέ τό δποιο μποροῦμε νά ἀλέγξομε τό μέγεθος και τή φορά πολὺ μικρῶν ρευμάτων. Τά δύο αυτά κυκλώματα μποροῦμε νά θεωρήσομε ὅτι είναι πηνία (ἢ τυλίγματα) μέ μία μόνο σπείρα (στροφή).



Σχ. 10.1a.

Όταν τά δύο κυκλώματα είναι άκινητα, παρατηροῦμε ότι στό πρωτεύον ρέει ορισμένο ρεύμα I, ένω στό δευτερεύον δέν ρέει, έφ' όσον στό κύκλωμα αυτό δέν ύπάρχει πηγή ρεύματος.

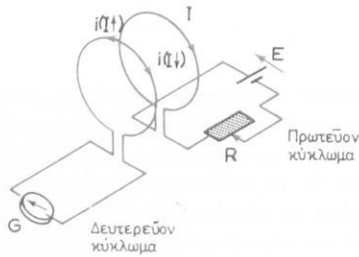
Άν πλησιάσουμε γρήγορα τό πρωτεύον στό δευτερεύον κύκλωμα η άντιστροφα τό δευτερεύον στό πρωτεύον η καί τά δύο ταυτόχρονα, θά παρατηρήσουμε ότι ό δεικτης τοῦ γαλβανομέτρου άποκλίνει. Αυτό δείχνει ότι άπό τό δευτερεύον περνᾶ ρεύμα i. Ή ροή τοῦ ρεύματος i διαρκεῖ, δσο διαρκεῖ η κίνηση τοῦ ένός η τῶν δύο κυκλωμάτων καί σταματᾶ μόλις αυτή σταματήσει.

Άν τώρα άπομακρύνομε τό πρωτεύον άπό τό δευτερεύον η άντιστροφα η καί τά δύο ταυτόχρονα, θά παρατηρήσουμε πάλι ότι ρέει ορισμένο ρεύμα i ή από τό δευτερεύον, άλλα μέ άντιθετη φορά άπό προηγουμένως. Ένω όταν πλησιάσαμε τά κυκλώματα, τό ρεύμα i είχε άντιθετη φορά άπό τό ρεύμα I τοῦ πρωτεύοντος, τώρα, πού τά άπομακρύνομε, τό ρεύμα i έχει τήν ίδια φορά μέ τό I.

Άκομα, παρατηροῦμε ότι η ένταση τοῦ ρεύματος i είναι τόσο μεγαλύτερη, όσο μεγαλύτερη είναι η ταχύτητα, μέ τήν όποια κινοῦμε (πλησιάζομε η άπομακρύνομε) τά κυκλώματα.

## Πείραμα 2.

Σχηματίζομε πάλι δύο κλειστά κυκλώματα, σπως στό πρώτο πείραμα, άλλα τοποθετοῦμε στό πρωτεύον ἐπί πλέον ἕνα μεταβλητό άντιστάτη, ώστε νά μποροῦμε νά μεταβάλλομε τό ρεύμα I τοῦ κυκλώματος αυτοῦ. Τά δύο κυκλώματα κρατοῦμε άκινητα σέ μικρή άπόσταση μεταξύ τους (σχ. 10.1β).



Σχ. 10.1β.

Παρατηροῦμε ότι, έφ' όσον τό ρεύμα I στό πρωτεύον είναι σταθερό, στό δευτερεύον δέν ρέει ρεύμα. Άν δημοσιεύμε άπότομα τό ρεύμα I μέ τό μεταβλητό άντιστάτη, παρατηροῦμε ότι στό δευτερεύον έμφανιζεται ρεύμα i. Αύξανοντας τό ρεύμα I, παρατηροῦμε ότι τό i έχει άντιθετη φορά άπό τό I. Άντιθετα ἄν έλαττώσουμε τό I, τό i θά έχει τήν ίδια φορά. Ή ροή τοῦ ρεύματος i διαρκεῖ δσο διαρκεῖ η μεταβολή τοῦ ρεύματος I.

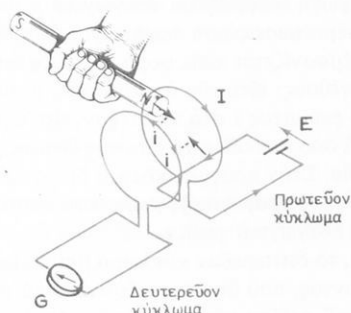
Ή ένταση τοῦ ρεύματος i στό δευτερεύον είναι τόσο μεγαλύτερη όσο ταχύτερα μεταβάλλομε τήν άντισταση R τοῦ άντιστάτη στό πρωτεύον.

### Πείραμα 3.

Τά δύο κυκλώματα τοῦ πρώτου πειράματος κρατοῦμε άκινητα σέ μικρή άπόσταση μεταξύ τους, κινοῦμε δῆμως ἔνα μόνιμο μαγνήτη στό ένδιάμεσο διάστημα (σχ. 10.1γ).

Παρατηροῦμε δτὶ δῆμο διαρκεῖ ἡ κίνηση τοῦ μαγνήτη, ἐμφανίζεται στό δευτερεύον ρεῦμα i. Ἡ φορά του εἶναι ἀντίθετη πρός τή φορά τοῦ I, δταν πλησιάζομε τό μαγνήτη στά κυκλώματα, ἐνῶ θά εἶναι ἴδια, δταν τόν ἀπομακρύνομε.

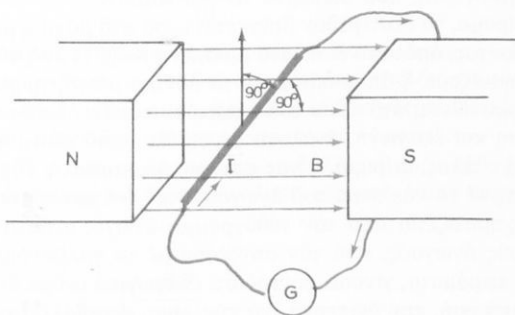
Ἡ ἑνταση τοῦ ρεύματος i στό δευτερεύον εἶναι τόσο μαγαλύτερη, δῆμο ταχύτερα κινοῦμε τό μαγνήτη.



Σχ. 10.1γ.

### Πείραμα 4.

Παίρνομε ἔνα εὐθύγραμμο ἀγωγό καὶ τόν τοποθετοῦμε κάθετα πρός τίς μαγνητικές γραμμές ἐνός πεδίου, πού σχηματίζεται μεταξύ τῶν πόλων N καὶ S δύο μονίμων μαγνητῶν ἡ ἐνός πεταλοειδοῦς μαγνήτη, δπως φαίνεται στό σχῆμα 10.1δ. Τόν ἀγωγό συνδέομε μέ ἔνα γαλβανόμετρο, πού βρίσκεται ἔξω ἀπό τό πεδίο.



Σχ. 10.1δ.

Τόσο ο άγωγός είναι άκινητος, δέν παρατηρούμε ροή ρεύματος στό γαλβανόμετρο. Άν δημοσίευμα με γρήγορα, σε διεύθυνση κάθετη πρός τις μαγνητικές γραμμές, παρατηρούμε ότι ρέει ρεῦμα ι από αυτόν. Ή ροή ρεύματος διαρκεῖ δύση διαρκεῖ ή κίνηση του άγωγού, ένω ή ένταση του ρεύματος είναι τόσο μεγαλύτερη, δύση ταχύτερα κινούμε τον άγωγό.

Στό πείραμα αυτό παίρνομε τά ίδια άποτελέσματα, αν μετακινήσουμε άντι τον άγωγό τους πόλους N και S, δηλαδή τό μαγνητικό πεδίο, μέσα στό όποιο βρίσκεται ο άγωγός.

Τό φαινόμενο της έμφανίσεως ρεύματος στό δευτερεύον κύκλωμα και στόν άγωγό δύναμέται **ήλεκτρομαγνητική έπαγωγή** ή άπλα, **έπαγωγή**, ένω τό ρεῦμα, πού διφεύλεται σέ έπαγωγή, δύναμέται **έπαγωγικό ρεῦμα**.

Άπό τις τέσσερις περιπτώσεις πού περιγράψαμε, σχηματίζεται ή έντυπωση διαφορετικού μεγέθους: είτε της άποστάσεως μεταξύ των κυκλωμάτων, είτε της έντασεως του ρεύματος I στό πρωτεύον, είτε της άποστάσεως του μόνιμου μαγνήτη άπό τα δύο κυκλώματα, είτε της θέσεως του άγωγού μέσα στό μόνιμο μαγνητικό πεδίο. Στήν πραγματικότητα δημοσίευμα πρόκειται γιά τή μεταβολή ένός μόνο μεγέθους: της **μαγνητικής ροής**, πού διαπερνά τό κύκλωμα, στό όποιο έμφανίζεται τό έπαγωγικό ρεῦμα.

Στό πρώτο πείραμα, τό δευτερεύον κύκλωμα βρίσκεται στό μόνιμο μαγνητικό πεδίο του πρωτεύοντος, πού δημιουργεῖται άπό τό ρεῦμα I, και δρισμένες μαγνητικές γραμμές του πεδίου αυτού, δηλαδή, δρισμένη μαγνητική ροή τό διαπερνά. Όταν πλησιάσουμε ή άπομακρύνομε τά κυκλώματα, αυξάνεται ή έλαττώνεται ή μαγνητική ροή αυτή. Όπως ξέρομε, οι μαγνητικές γραμμές του πρωτεύοντος είναι πικνότερες κοντά στόν άγωγό (δημοσίευμα ή έπαγωγή Β και ή ένταση του πεδίου Η είναι μεγαλύτερες). Οι γραμμές καθίστανται άραιότερες, δύση άπομακρυνόμαστε άπό τόν άγωγό (όπότε ή Β και ή Η μειώνονται).

Στό δεύτερο πείραμα, ή ένταση του πεδίου Η του πρωτεύοντος μεταβάλλεται, δταν μεταβάλλεται τό ρεῦμα I. Έτσι, μεταβάλλεται ή μαγνητική έπαγωγή Β και ή μαγνητική ροή, πού διαπερνά τό δευτερεύον.

Στό τρίτο πείραμα, τό δευτερεύον βρίσκεται μέσα στό μόνιμο μαγνητικό πεδίο του πρωτεύοντος, δύποτε τό διαπερνά δρισμένη ροή. Ή ροή αυτή μεταβάλλεται, δταν πλησιάζουμε ή άπομακρύνομε τό μόνιμο μαγνήτη, γιατί τό πεδίο του μαγνήτη προστίθεται στό πεδίο του πρωτεύοντος. Τό όλικό πεδίο έχει διαφορετική ένταση και έπαγωγή, άναλογα με τή θέση του μόνιμου μαγνήτη.

Στό τελευταίο τέλος πείραμα, είναι φανερή ή μεταβολή της μαγνητικής ροής, πού διαπερνά τό κύκλωμα του άγωγού, δταν ή άγωγός κινεῖται. Τό κύκλωμα αυτό σχηματίζεται άπό τόν εύθυγραμμο άγωγό, μέσα στό πεδίο και τούς έξωτερικούς άγωγούς, πού τόν συνδέονται μέ τό γαλβανόμετρο.

Άπό δλα τά πειράματα, γίνεται φανερό διτι έπαγωγικό ρεῦμα δημιουργεῖται, δταν ή μαγνητική ροή, πού διαπερνά ένα κύκλωμα, **μεταβάλλεται** μέ διποιοδή-ποτε τρόπο.

## 10.2 Όνομας της έπαγωγῆς.

Στά προηγούμενα πειράματα, διαπιστώσαμε ότι ή ένταση του έπαγωγικού ρεύματος είναι άναλογη της **ταχύτητας**, μέ τήν όποια μεταβάλλεται σε κάθε περίπτωση δρισμένο μέγεθος, π.χ. ή άπόσταση μεταξύ των κυκλωμάτων, ή ένταση του ρεύματος στό πρωτεύον, κ.ο.κ. 'Εφ' δσον τό μεταβαλλόμενο μέγεθος προκαλεῖ δπως είδαμε, μεταβολή της μαγνητικής ροής στό κύκλωμα πού έπαγεται τό ρεύμα, γίνεται φανερό ότι ή ένταση του έπαγωγικού ρεύματος είναι άναλογη της ταχύτητας, μέ τήν όποια μεταβάλλεται ή μαγνητική ροή στό κύκλωμα αυτό.

Άν η μαγνητική ροή μεταβάλλεται **όμοιόμορφα** σέ δρισμένο χρονικό διάστημα t άπό τήν τιμή  $\Phi_1$  στήν τιμή  $\Phi_2$ , ή ταχύτητα μεταβολῆς της είναι σταθερή και δίνεται άπό τό πηλίκο:

$$v_\phi = \frac{\Phi_2 - \Phi_1}{t} = \frac{\Phi}{t} \quad (1)$$

όπου  $\Phi = \Phi_2 - \Phi_1$ . Στήν περίπτωση αυτή ή ένταση του έπαγωγικού ρεύματος I είναι σταθερή σέ δλο τό διάστημα και άναλογη τού Φ/t:

$$I \sim \frac{\Phi}{t} \quad (2)$$

Άν τώρα η μεταβολή της μαγνητικής ροής δέν είναι όμοιόμορφη, ή ταχύτητα μεταβολῆς της δέν είναι σταθερή χρονικά. Στή γενική αυτή περίπτωση, μποροῦμε νά δρίσομε μόνο **τή στιγμαία ταχύτητα μεταβολῆς της μαγνητικής ροής**, κάποια χρονική στιγμή t. Ή  $v_\phi$  δίνεται άπό τό πηλίκο:

$$\dot{v}_\phi = \frac{d\Phi}{dt} \quad (3)$$

όπου  $d\Phi$  ή μεταβολή της μαγνητικής ροής σέ ένα πολύ μικρό διάστημα dt, πού έχει άρχη τή χρονική στιγμή t. Στό στοιχειώδες αυτό διάστημα, θεωροῦμε δτί ή ροή μεταβάλλεται όμοιόμορφα, δηλαδή δτί ή ταχύτητα μεταβολῆς της είναι σταθερή. Έτσι, μποροῦμε νά έφαρμόσομε τόν τύπο (1).

Ή ένταση του ρεύματος έπαγωγής μεταβάλλεται τώρα κάθε χρονική στιγμή και ή **στιγμαία έντασή του i** είναι άναλογη της στιγμαίας ταχύτητας μεταβολῆς της ροής  $v_\phi$ :

$$i \sim \frac{d\Phi}{dt} \quad (4)$$

Γιά νά προσδιωρίσουμε τό συντελεστή άναλογίας μεταξύ ρεύματος  $i$  και πηλίκου  $d\Phi/dt$ , κατασκευάζομε σέ κάθε πείραμα (1 ώς 3 της προηγούμενης παραγράφου) άρκετά δημοια στίς διαστάσεις τους δευτερεύοντα κυκλώματα, άλλα άπο διαφορετικό ύλικό, π.χ. άπο σίδηρο, χαλκό, άλουμινιο κλ., ώστε κάθε τέτοιο κύκλωμα νά παρουσιάζει και διαφορετική ώμικη άντίσταση  $R$ .

Άν επαναλάβομε κάθε πείραμα μέ διαφορετικό δευτερεύοντα κύκλωμα, παρατηροῦμε δτί κάθε φορά, μέ τήν ίδια άκριβως διαδικασία, έμφανίζεται διαφορετικό έπαγωγικό ρεῦμα  $i$ , άνάλογα μέ τήν άντίσταση τοῦ κυκλώματος. "Οσο μεγαλύτερη είναι ή άντίσταση, τόσο μικρότερο είναι τό έπαγωγικό ρεῦμα. Σέ δηλες δημοια τίς περιπτώσεις, τό γινόμενο  $iR$  τοῦ ρεύματος έπι τήν άντίσταση παραμένει σταθερό. Μποροῦμε έπομένως νά γράψουμε:

$$iR = - \frac{d\Phi}{dt} \quad (5)$$

Τό άρνητικό σημεῖο στόν τύπο (5) έχει σχέση μέ τή φορά τοῦ έπαγωγικοῦ ρεύματος. Τή σημασία του θά ξέηγγήσουμε στήν παράγραφο 10.4.

Άν τό δευτερεύοντα κύκλωμα δέν έχει μία μόνο, άλλα η σπείρες, δημιουργεῖται σέ κάθε σπείρα ρεῦμα  $i$ . Έπειδή, στήν περίπτωση αὐτή, ή διλική άντίσταση τοῦ κυκλώματος  $R_{o\lambda}$  είναι η φορές μεγαλύτερη άπο τήν  $R$ :

$$R_{o\lambda} = nR \quad (6)$$

Θά πρέπει νά ισχύει:

$$iR_{o\lambda} = iR = -n \frac{d\Phi}{dt} \quad (7)$$

Ή σχέση (7), πού έπαληθεύεται πειραματικά, έκφράζει τό νόμο τής έπαγωγῆς, πού διατύπωσε τό 1831 ο *M. Faraday*, έρμηνεύοντας πλήρως τό φαινόμενο τής έπαγωγῆς.

### Άριθμητικό παράδειγμα.

Ένας άγωγός μέ άντίσταση  $0,2 \Omega$  σχηματίζει ένα κλειστό κυκλικό κύκλωμα μέ διάμετρο  $5 \text{ cm}$ , πού διαρρέεται κάθετα άπο τίς μαγνητικές γραμμές πεδίου μέ μαγνητική έπαγωγή  $B_1 = 1 \text{ Vs/m}^2$ .

Νά ύπολογισθεῖ τό ρεῦμα  $I$ , πού έμφανίζεται στόν άγωγό, δταν διακόπτεται τό πεδίο και ή έπαγωγή  $B_1$  μεταβάλλεται δημοιόμορφα άπο τήν τιμή  $1 \text{ Vs/m}^2$  στήν τιμή  $B_2 = 0$  μέσα σέ διάστημα  $0,05 \text{ s}$ .

### Αύση.

Έφαρμόζομε τόν τύπο (7):

$$iR_{o\lambda} = -n \frac{d\Phi}{dt}$$

Έπειδή ή  $B_1$ , και έπομένως ή  $\Phi_1$ , μεταβάλλεται όμοιόμορφα, έχουμε:

$$IR_{o\lambda} = -n \frac{\Phi_2 - \Phi_1}{t} = -n \frac{0 - \Phi_1}{t} = n \frac{\Phi_1}{t}$$

και μέ  $\Phi_1 = B_1 \cdot S$

$$IR_{o\lambda} = nS \frac{B_1}{t}$$

$$\text{Άρα: } I = \frac{nSB_1}{R_{o\lambda} t} = \frac{1 \cdot 2\pi \cdot 5^2 \cdot 10^{-4} \cdot 1}{0,2 \cdot 0,05} = 1,57 \text{ A}$$

$$I = 1,57 \text{ A}$$

### 10.3 Ήλεκτρεγερτική δύναμη έξ έπαγωγῆς.

Αν συγκρίνουμε τή σχέση (7) τής παραγράφου 10.2 μέ τό νόμο τοῦ Ohm σέ ένα άπλο κύκλωμα μέ δύναμη άντισταση  $R_{o\lambda}$ , μέσα άπό τήν όποια ρέει ρεῦμα  $I$ , άπό μία πηγή ήλεκτρεγερτικῆς δυνάμεως  $E$ :

$$E = IR_{o\lambda} \quad (1)$$

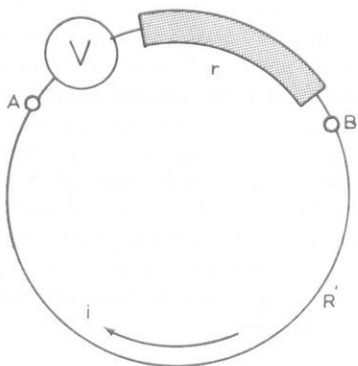
βλέπομε δτι τό πηλίκο  $i\Phi/dt$  μπορεῖ νά θεωρηθεῖ ώς ή ήλεκτρεγερτική δύναμη (ΗΕΔ)e, πού δημιουργεῖ τό ρεῦμα i (χρησιμοποιούμε έδω τό μικρό γράμμα e, γιά νά δηλώσουμε δτι πρόκειται γιά στιγμιαία ΗΕΔ, δηλαδή ΗΕΔ πού μεταβάλλεται χρονικά). Τήν ΗΕΔ αντή δονομάζομε **ήλεκτρεγερτική έξ έπαγωγῆς**:

$$e = -n \frac{d\Phi}{dt}$$

(2)

Η σχέση (2) έκφραζει έπισης τό **νόμο τῆς έπαγωγῆς** τοῦ Faraday. Τήν e μπορούμε νά μετρήσουμε στά άκρα A - B τοῦ δευτερεύοντος κυκλώματος (σχ. 10.3), μέ ένα βολτόμετρο, πού έχει πολύ μεγάλη άντισταση r συγκριτικά μέ τήν άντισταση R' τοῦ κυκλώματος αυτοῦ. Έτσι:

$$e = iR_{o\lambda} = i(r + R') \approx ir = -n \frac{d\Phi}{dt}$$



Σχ. 10.3.

Ή ε μετριέται σέ βόλτ, ώστε άπό τή σχέση (2) προκύπτει ή μονάδα τής μαγνητικής ροής  $1 \text{ Vs} = 1 \text{ Weber}$ , πού είχαμε γνωρίσει στήν παράγραφο 8.2, χωρίς νά δώσουμε τόν τύπο, άπό τόν όποιο προέρχεται:

$$[\Phi] = [e] [t] = \text{Vs}$$

Ο νόμος τής έπαγωγής μέ τή μορφή (2) μᾶς έξυπηρετεῖ πολύ, γιατί μπορούμε νά μεταχειρισθούμε τήν ε στά διάφορα κυκλώματα, δπού έμφανίζονται φαινόμενα έπαγωγής, δπως μία κοινή ΗΕΔ. Έτσι, μπορούμε νά έφαρμόσουμε άναλογα τούς γνωστούς κανόνες άναλυσεως κυκλωμάτων, δπως τό νόμο τοῦ Ohm, τούς κανόνες τοῦ Kirchhoff κλπ. Όμως δέν πρέπει νά ξεχνάμε δτι ή σχέση μεταξύ τής ΗΕΔ μᾶς πηγής ήλεκτρικού ρεύματος και τής ΗΕΔ έξ έπαγωγής είναι καθαρά **τυπική**. Δέν μπορούμε έξ άλλου νά δρίσουμε συγκεκριμένα ποῦ δημιουργεῖται ή ΗΕΔ έξ έπαγωγής. Μπορεῖ κανείς νά θεωρήσει δτι δημιουργεῖται σέ διλόκληρο τό κύκλωμα, ή και σέ ένα μόνο σημείο του.

### Αριθμητικό παράδειγμα.

Ένα πηνίο μέ 20 σπεῖρες και  $50 \text{ cm}^2$  διατομή βρίσκεται μέσα σέ μαγνητικό πεδίο, μέ μαγνητική έπαγωγή  $B_1 = 120 \cdot 10^{-4} \text{ Vs/m}^2$ . Οι μαγνητικές γραμμές τοῦ πεδίου διαπερνοῦν κάθετα τή διατομή τοῦ πηνίου. Νά ύπολογισθεῖ ή ήλεκτρεγερτική δύναμη έξ έπαγωγής, πού έμφανίζεται στά άκρα τοῦ πηνίου, δημιουργεῖται από διακοπή τοῦ πεδίου, δταν ή  $B_1$  μεταβάλλεται όμοιόμορφα από τήν τιμή πού δώσαμε στήν τιμή  $B_2 = 0$ , μέσα σέ διάστημα  $t = 0,1 \text{ s}$ .

### *Αύση.*

Από τὸν τύπο (2) ἔχομε:

$$e = -n \frac{d\Phi}{dt}$$

καὶ ἐπειδὴ ἡ  $B_1$ , ἄρα καὶ ἡ  $\Phi_1$  μεταβάλλεται όμοιόμορφα:

$$E = -n \frac{\Phi_2 - \Phi_1}{t} = -n \frac{0 - \Phi_1}{t} = n \frac{\Phi_1}{t}$$

Μέ Φ<sub>1</sub> = B<sub>1</sub> · S, παίρνομε:

$$E = nS \frac{B_1}{t}$$

Ἄρα:  $E = 20 \cdot 50 \cdot 10^{-4} \frac{120 \cdot 10^{-4}}{0,1} = 0,012 \text{ V}$

E = 0,012 V

### 10.4 Φορά τοῦ ἐπαγωγικοῦ ρεύματος – Ὁ νόμος τοῦ Lenz.

Στὰ πειράματα 1 ὁς 3, ποὺ περιγράψαμε στήν παράγραφο 10.1, δρίσαμε τή φορά τοῦ ἐπαγωγικοῦ ρεύματος στὸ δευτερεύον κύκλωμα, σέ σχέση μὲ τή φορά τοῦ ρεύματος I στὸ πρωτεύον. Εἶδαμε διτά τά ρεύματα ἀλλοτε ἔχουν τήν ίδια φορά καὶ ἀλλοτε εἰναι ἀντίθετα.

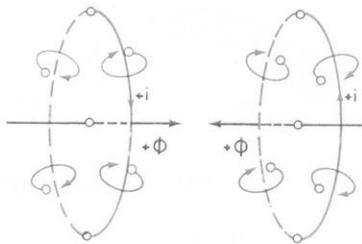
Ἄν εξετάσουμε τή **μαγνητική ροή**, ποὺ διαπερνᾶ τά δευτερεύοντα κυκλώματα, θά διαπιστώσουμε διτά σέ δλα τά πειράματα, τά δύο ρεύματα ἔχουν τήν ίδια φορά, διταν ἡ ροή στὸ δευτερεύον ἐλαττώνεται. Τότε, τό πηλίκο dΦ/dt εἶναι ἀρνητικό. Ἀντίθετη φορά ἔχουν, διταν ἡ ροή στὸ δευτερεύον αὐξάνεται. Τότε, τό πηλίκο dΦ/dt εἶναι θετικό.

Οταν τά δύο ρεύματα, στὸ πρωτεύον καὶ δευτερεύον, ἔχουν τήν ίδια φορά, σημαίνει διτά οἱ μαγνητικές ροές, ποὺ δημιουργοῦν, ἔχουν τήν ίδια φορά, σύμφωνα μέ τὸν κανόνα τοῦ δεξιόστροφου κοχλία. Ἐπομένως προστίθενται.

Οταν τά ρεύματα ἔχουν ἀντίθετη φορά, οἱ μαγνητικές τους ροές εἰναι ἀντίθετες. Ἐπομένως ἀφαιροῦνται (σχ. 10.4).

Συνδυάζοντας τίς πιό πάνω παρατηρήσεις, ἔξαγομε τά ἑζῆς συμπεράσματα:

— Αὐξηση τῆς μαγνητικῆς ροῆς Φ, ποὺ διαπερνᾶ τό δευτερεύον κύκλωμα (δηλαδὴ θετικό dΦ/dt), δημιουργεῖ ἐπαγωγικό ρεῦμα i, μέ ἀντίθετη φορά ὡς πρός τό ρεῦμα I τοῦ πρωτεύοντος κυκλώματος. Τό ἐπαγωγικό ρεῦμα προκαλεῖ μαγνητική ροή, ἡ ὥποια εἰναι ἀντίθετη πρός τήν αὐξανόμενη μαγνητική ροή Φ. Έτσι, τήν ἐλαττώνει. Τό ἀρνητικό σημεῖο στὸν τύπο (5) τῆς παραγράφου



Σχ. 10.4.

10.2 έκφραζει τήν άντιθετη φορά του έπαγωγικού ρεύματος ι ώς πρός το ρεῦμα I, που δημιουργει τήν αυξανόμενη μαγνητική ροή  $\Phi$ .

— Μείωση τής μαγνητικής ροής που διαπερνά τό δευτερεύον κύκλωμα (δηλαδή άρνητικό  $d\Phi/dt$ ), δημιουργει έπαγωγικό ρεῦμα i μέ τη φορά του ρεύματος I του πρωτεύοντος κυκλώματος. Τό έπαγωγικό ρεῦμα προκαλει μαγνητική ροή, ή όποια έχει τήν ίδια φορά μέ την έλαττούμενη μαγνητική ροή. Έτσι, τήν αυξάνει. Τό άρνητικό σημείο στόν τύπο (5) τής παραγράφου 10.2, μαζί μέ τό άρνητικό σημείο του πηλίκου  $d\Phi/dt$ , δίνει θετικό σημείο. Αυτό έκφραζει δτι τό έπαγωγικό ρεῦμα έχει τήν ίδια φορά μέ το ρεῦμα I, που δημιουργει τήν έλαττούμενη μαγνητική ροή.

Τή φορά του έπαγωγικού ρεύματος μποροῦμε νά έρμηνεύσομε ώς έξης:

Κάθε κύκλωμα προσπαθει νά διατηρήσει σταθερή τή μαγνητική ροή, που τό διαπερνά. Έτσι, άντιδρα σέ κάθε μεταβολή της, δημιουργώντας ένα έπαγωγικό ρεῦμα. Αυτό προκαλει μαγνητική ροή, μέ τέτοια φορά, ώστε νά άντισταθμίζεται κατά τό δυνατό ή μεταβολή τής μαγνητικής ροής. Τό φαινόμενο αυτό είναι έντελως άναλογο μέ τό φαινόμενο τής άδράνειας στή μηχανική: Κάθε σώμα προσπαθει νά διατηρήσει τήν ταχύτητα που έχει, άντιδρώντας σέ μία έξωτερη δύναμη, που προκαλει μεταβολή της (έπιτάχυνση ή έπιβράδυνση). Έτσι, άναπτύσσει μία δύναμη άδράνειας, άντιθετη πρός τήν έξωτερική δύναμη.

Τό φαινόμενο τής φορᾶς του ρεύματος έρμηνευσε τό 1834 ο *Lenz* μέ ένα άλλο τρόπο: "Οπως θά γνωρίσομε πιό κάτω, σέ κάθε άγωγό, διαρρεόμενο άπό ρεῦμα μέσα σέ μαγνητικό πεδίο, άσκεται άρισμένη δύναμη άπό τό πεδίο. Είδαμε, έξ αλλου, δτι σέ ένα κινούμενο άγωγό, μέσα σέ μαγνητικό πεδίο, άναπτύσσεται έπαγωγικό ρεῦμα i. Ό *Lenz* άπέδειξε δτι ή δύναμη, που άσκεται έπάνω στόν άγωγό, έξ αιτίας τής ροής του έπαγωγικού ρεύματος i μέσα στό μαγνητικό πεδίο, έχει άντιθετη φορά άπό τή δύναμη, που κινει τόν άγωγό μέσα στό πεδίο. Ή διαπίστωση αυτή συνοψίζεται στόν έξης γενικό κανόνα του *Lenz*, που έκφραζει έπισης δσα είπαμε προηγουμένως, γιά τή φορά του έπαγωγικού ρεύματος: «Τό έπαγωγικό ρεῦμα έχει τέτοια φορά, ώστε μέ τό μαγνητικό πεδίο, που δημιουργει, νά έναντιώνεται στήν αιτία που τό προκαλει».

## 10.5 Αύτεπαγωγή – Συντελεστής αύτεπαγωγῆς.

### a) Όρισμός της αύτεπαγωγῆς καί τον συντελεστή αύτεπαγωγῆς.

Όταν σέ εἶναι κύκλωμα μεταβάλλεται ή ένταση τοῦ ρεύματος, μεταβάλλεται καὶ ἡ μαγνητική ροή, πού δημιουργεῖ τό ρεῦμα αὐτό. Ή μεταβαλλόμενη ροή διαπερνᾶ τίς σπεῖρες τοῦ κυκλώματος. Αὐτό ἔχει σάν ἀποτέλεσμα τή δημιουργία, στό ίδιο τό κύκλωμα, ἡλεκτρεγερτικῆς δυνάμεως ἐξ ἐπαγωγῆς, σύμφωνα μὲ τό νόμο τῆς ἐπαγωγῆς πού γνωρίσαμε. Τό φαινόμενο αὐτό δονομάζεται **αύτεπαγωγή**. Ή ΗΕΔ ἐπίσης δονομάζεται **ἡλεκτρεγερτική δύναμη** ἐξ αύτεπαγωγῆς, ἐπειδή ὀφείλεται στή μεταβολή τοῦ ίδιου τοῦ μαγνητικοῦ πεδίου τοῦ κυκλώματος.

Άν Φ εἶναι ἡ μαγνητική ροή, πού δημιουργεῖται σέ εἶναι κύκλωμα (πηνίο) μὲ ο σπεῖρες, δταν περνᾶ ρεῦμα I, ἡ δύναμη μαγνητική ροή, πού διαπερνᾶ τίς σπεῖρες τοῦ κυκλώματος, εἶναι nΦ. Ή ροή αὐτή δονομάζεται **ροή ἀλληλενδέσεως**, γιά νά διακρίνεται ἀπό τή ροή Φ.

Όταν ἡ μαγνητική ροή, πού δημιουργεῖ τό ρεῦμα I, περνᾶ ἀποκλειστικά ἢ κατά τό μεγαλύτερο μέρος της μέσα ἀπό τόν ἀέρα ἡ μέσα ἀπό ύλικό μέ σταθερή μαγνητική διαπερατότητα (μ ἀνεξάρτητο ἀπό τή ροή Φ), ἡ ροή ἀλληλενδέσεως εἶναι ἀνάλογη τοῦ ρεύματος I:

$$n\Phi = LI \quad (1)$$

Ό συντελεστής ἀναλογίας L δονομάζεται **συντελεστής αύτεπαγωγῆς**, ἡ, ἀπλά, **αύτεπαγωγή** τοῦ κυκλώματος.

Η αύτεπαγωγή L εἶναι μία σταθερή τοῦ κυκλώματος καὶ ἔξαρταται ἀπό τίς γεωμετρικές διαστάσεις καὶ τή μαγνητική διαπερατότητα τοῦ ύλικοῦ, μέσα ἀπό τό δόποιο περνᾶ ἡ μαγνητική ροή. Ἀπό τόν τύπο (1) προκύπτει ἡ αύτεπαγωγή ώς τό πηλίκο τῆς ροῆς ἀλληλενδέσεως διά τοῦ ρεύματος:

$$L = \frac{n\Phi}{I} \quad (2)$$

Ό τύπος (2) δίνει τή μονάδα τῆς αύτεπαγωγῆς, πού δονομάζεται **henry** καὶ συμβολίζεται μέ τό κεφαλαῖο γράμμα **H**:

$$[L] = \frac{[\Phi]}{[I]} = \frac{Vs}{A} = \Omega s = H(\text{henry})$$

Ἄπό τήν (1) παίρνομε:

$$\Phi = \frac{LI}{n} \quad (4)$$

Αντικαθιστώντας τήν (1) στή σχέση (2) της παραγράφου 10.3, προκύπτει:

$$e = -n \frac{d\Phi}{dt} = -L \frac{di}{dt} \quad (5)$$

Η σχέση (5) μᾶς δίνει τήν ΗΕΔ ἐξ αὐτεπαγωγῆς, πού ἐμφανίζεται σέ εἶνα κύκλωμα μέ αὐτεπαγωγή  $L$ , δταν *μεταβάλλεται τό ρεῦμα i* πού διαρρέει τό κύκλωμα αὐτό.

### β) Υπολογισμός τής αὐτεπαγωγῆς $L$ κυκλωμάτων.

Σέ κυκλώματα, πού ἔχουν σταθερή μαγνητική ἀντίσταση  $R_m$  ( $R_m$  ἀνεξάρτητη τής ροῆς  $\Phi$ ), ύπολογίζεται ή αὐτεπαγωγή ἀπό τόν τύπο (2), ύστερα ἀπό ἀντικατάσταση τής μαγνητικῆς ροῆς  $\Phi$ , δπως αὐτή δίνεται ἀπό τούς τύπους (15) και (15a) τής παραγράφου 8.2:

$$\Phi = \frac{nI}{R_m} \quad (6)$$

$$\text{Άρα: } L = \frac{n\Phi}{I} = \frac{n^2}{R_m} \quad (7)$$

Σέ εἶνα πηνίο μέ μεγάλο μῆκος, συγκριτικά μέ τή διατομή του, δίνεται ή μαγνητική ἀντίσταση  $R_m$  ἀπό τόν τύπο:

$$R_m = \frac{l}{\mu S} \quad (8)$$

δπου  $l$  τό μῆκος τοῦ πηνίου,  $S$  ή διατομή του και  $\mu$  ή μαγνητική διαπερατότητα τοῦ ύλικοῦ στό ἐσωτερικό τοῦ πηνίου. (Η ἀντίσταση τής μαγνητικῆς ροῆς στό ἐξωτερικό τοῦ πηνίου εἶναι πολύ μικρή ὅστε δέν λαμβάνεται ύπ' ὅψη. Και αὐτό, ἐπειδή ή διατομή  $S'$ , μέσα ἀπό τήν ὅποια περνᾶ αὐτή ή ροή εἶναι πολύ μεγάλη, συγκριτικά μέ τή διατομή  $S$ .

Αντικαθιστώντας στόν τύπο (7) τή μαγνητική ἀντίσταση  $R_m$  τοῦ τύπου (8), παίρνομε γιά τήν αὐτεπαγωγή  $L$  τοῦ μακρόστενου πηνίου:

$$L = \frac{\mu n^2 S}{l} \quad (9)$$

### Άριθμητικό παράδειγμα.

Νά ύπολογισθεῖ ή αὐτεπαγωγή  $L$  ἐνός μακρόστενου πηνίου μέ ἀέρα στό ἐσωτερικό του: μῆκος  $l = 18$  cm, ἀκτίνα  $r = 6$  cm και ἀριθμό σπειρῶν  $n = 1000$ . Ποιά ΗΕΔ ἐμφανίζεται στά ἄκρα τοῦ πηνίου αὐτοῦ, δταν διακόπτεται τό ρεῦ-

μα  $i_1 = 5 \text{ A}$ , πού περνά άπό τό πηνίο, μέ όποτέλεσμα νά φθάσει τό ρεῦμα αντό τήν τιμή  $i_2 = 0$ , μέσα στό χρονικό διάστημα  $t = 10^{-3} \text{ s}$ , μέ όμοιόμορφη μεταβολή;

### Αύση.

Γιά τόν άέρα στό έσωτερικό τοῦ πηνίου έχομε  $\mu_r = 1$

$$\text{Άρα: } \mu = \mu_r \mu_0 \approx \mu_0 = 4\pi \cdot 10^{-4} \frac{\text{Vs}}{\text{Am}}$$

Άπό τόν τύπο (9) προκύπτει γιά τήν αντεπαγωγή:

$$L = \frac{\mu n^2 S}{l} = \frac{4\pi \cdot 10^{-7} \cdot 1000^3 \cdot \pi \cdot 6^2 \cdot 10^{-4}}{18 \cdot 10^{-2}} = 0,08 \text{ H}$$

Τήν έπαγόμενη ΗΕΔ δίνεται άπό τόν τύπο (5) μέ:

$$\frac{di}{dt} = \frac{I_2 - I_1}{t} = \frac{0 - I_1}{t} = - \frac{I_1}{t} \text{ έπειδή έχομε όμοιόμορφη μεταβολή τοῦ ρεύματος}$$

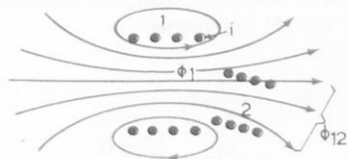
$$e = -L \frac{di}{dt} = L \frac{I_1}{t} = 0,08 \cdot \frac{5}{10^{-3}} = 400 \text{ V}$$

$$L = 0,08 \text{ H}, \quad e = 400 \text{ V}$$

### 10.6 Άμοιβαία έπαγωγή – Συντελεστής άμοιβαίας έπαγωγῆς.

Όταν ή ήλεκτρεγερτική δύναμη έξ έπαγωγῆς, πού δημιουργεῖται σέ ένα κύκλωμα, δφείλεται στή μεταβαλλόμενη μαγνητική ροή ένδος άλλου κυκλώματος, αυτή δύνομάζεται ήλεκτρεγερτική δύναμη έξ άμοιβαίας έπαγωγῆς. Τό φαινόμενο έπισης αντό δύνομάζεται άμοιβαία έπαγωγή ή άλλη έπαγωγή.

Γιά τή μελέτη τής άμοιβαίας έπαγωγῆς θεωροῦμε ένα πηνίο 1 διαρρεόμενο άπό μεταβαλλόμενο ρεῦμα  $i$ , ώστε νά δημιουργεῖται μεταβαλλόμενη μαγνητική ροή  $\Phi_1$ , και ένα δεύτερο πηνίο 2, πού βρίσκεται μέσα στό μαγνητικό πεδίο τοῦ 1 (σχ. 10.6).



Σχ. 10.6.

Συμβολίζουμε μέ μέ  $\Phi_{12}$  τή μαγνητική ροή τοῦ πηνίου 1, ή όποια διαπερνᾶ τό 2. Υπάρχει  $n_2$  σπεῖρες, ή ροή άλληλενδέσεως του είναι  $n_2\Phi_{12}$ . Έφ' όσον τό μαγνητικό πεδίο τοῦ 1 άναπτύσσεται μέσα στόν άέρα η σε ύλικό μέ σταθερή μαγνητική διαπερατότητα, ή ροή άλληλενδέσεως  $n_2\Phi_{12}$  είναι άναλογη τοῦ ρεύματος  $I_1$ , πού διαρρέει τό πηνίο 1:

$$n_2\Phi_{12} = M_{12}I_1 \quad (1)$$

Ο συντελεστής άναλογίας  $M_{12}$  όνομάζεται **συντελεστής άμοιβαίας έπαγωγῆς** μεταξύ τῶν κυκλωμάτων 1 καὶ 2 η, άπλά, άμοιβαία έπαγωγή τῶν κυκλωμάτων 1 καὶ 2.

Αντίστροφα, ἀν τό πηνίο 2 διαρρέεται άπό μεταβαλλόμενο ρεῦμα  $I_2$  καὶ  $\Phi_{21}$  είναι ή μαγνητική του ροή, ή όποια διαπερνᾶ τίς  $n_1$  σπεῖρες τοῦ πηνίου 1, ίσχει ή σχέση:

$$n_1\Phi_{21} = M_{21}I_2 \quad (2)$$

Η ροή άλληλενδέσεως  $n_1\Phi_{21}$  τοῦ πηνίου 1 είναι άναλογη μέ τό ρεῦμα  $I_2$  τοῦ πηνίου 2. Ο συντελεστής άναλογίας  $M_{21}$  είναι ό συντελεστής άμοιβαίας έπαγωγῆς μεταξύ τῶν πηνίων 2 καὶ 1 η, άπλά, ή άμοιβαία έπαγωγή τῶν πηνίων 2 καὶ 1.

Αποδεικνύεται τώρα διτι:

$$\boxed{M_{12} = M_{21} = M} \quad (3)$$

Άρα οι σχέσεις (1) καὶ (2) γίνονται:

$$\boxed{n_2\Phi_{12} = MI_1} \quad (4)$$

καὶ

$$\boxed{n_1\Phi_{21} = MI_2} \quad (5)$$

Από τήν (4) η (5) προκύπτει γιά τή μονάδα τής άμοιβαίας έπαγωγῆς:

$$[M] = \frac{[\Phi]}{[I]} = \frac{Vs}{A} = \Omega s = H \quad (6)$$

Άρα η άμοιβαία έπαγωγή μετρέται, δπως ή αύτεπαγωγή, σέ henry.

Από τούς τύπους (4) καὶ (5) προκύπτει:

$$\Phi_{12} = \frac{M}{n_2} I_1 \quad (7)$$

$$\text{καὶ} \quad \Phi_{21} = \frac{M}{n_1} I_2 \quad (8)$$

Όταν άντικαταστήσουμε τόν τύπο (7) στόν τύπο (2) της παραγράφου 10.3, παίρνουμε τήν ΗΕΔ έξ αμοιβαίας έπαγωγῆς στό πηνίο 2, δταν μεταβάλλεται τό ρεῦμα στό πηνίο 1:

$$e_2 = -n_2 \frac{d\Phi_{12}}{dt} = -M \frac{di_1}{dt} \quad (9)$$

Όταν ορίζουμε τήν ΗΕΔ έξ αμοιβαίας έπαγωγῆς στό πηνίο 1, δταν μεταβάλλεται τό ρεῦμα στό πηνίο 2:

$$e_1 = -n_1 \frac{d\Phi_{21}}{dt} = -M \frac{di_2}{dt} \quad (10)$$

Όταν, ταυτόχρονα και στά δύο κυκλώματα 1 και 2, ρέουν μεταβαλλόμενα ρεύματα, δημιουργεῖται σέ κάθε κύκλωμα ΗΕΔ έξ αύτεπαγωγῆς και ΗΕΔ έξ αμοιβαίας έπαγωγῆς. Ή συνολική ΗΕΔ προκύπτει άπό τήν άθροιση τῶν δύο ΗΕΔ:

$$e_1 = -(L_1 \frac{di_1}{dt} + M \frac{di_2}{dt}) \quad (11)$$

$$e_2 = -(L_2 \frac{di_2}{dt} + M \frac{di_1}{dt}) \quad (12)$$

### Άριθμητικό παράδειγμα.

Ένα πηνίο 1 διαρρέεται άπό συνεχές ρεῦμα  $i_1 = 2 \text{ A}$ . Τμῆμα τής μαγνητικῆς ροής τοῦ πηνίου αὐτοῦ  $\Phi_{12} = 0,03 \text{ Vs}$  διαπερνᾶ ένα δεύτερο πηνίο 2 μέ  $n_2 = 50$  σπειρες. Και τά δύο πηνία βρίσκονται μέσα σέ άέρα.

Όταν τό ρεῦμα  $I_1$  διακόπτεται, φθάνει άπό τήν τιμή 2 A, μέ όμοιόμορφη μεταβολή, στήν τιμή  $I_2 = 0$ , σέ χρόνο 0,1 s.

Νά ύπολογισθοῦν:

- a) Ή αμοιβαία έπαγωγή τῶν πηνίων 1 και 2.
- β) Ή ΗΕΔ έξ αμοιβαίας έπαγωγῆς, πού έμφανίζεται στό πηνίο 2, μετά τή διακοπή τοῦ ρεύματος στό πηνίο 1.

### Ανάση.

a) Από τόν τύπο (4) ξχομε:

$$M = \frac{n_2 \Phi_{12}}{I_1} = \frac{50 \cdot 0,03}{2} = 0,75 \text{ H}$$

β) Ο τύπος (9) δίνει μέ:  $\frac{di_1}{dt} = \frac{I_2 - I_1}{t} = -\frac{I_1}{t}$  λόγω της όμοιόμορφης μεταβολής του ρεύματος:

$$e_2 = -M \frac{di_1}{dt} = M \frac{I_1}{t} = 0,75 \frac{2}{0,1} = \underline{15 \text{ V}}$$

$$M = 0,75 \text{ H}, \quad e_2 = \underline{15 \text{ V}}$$


---

## ΚΕΦΑΛΑΙΟ ΕΝΔΕΚΑΤΟ

### ΤΟ ΗΛΕΚΤΡΙΚΟ ΡΕΥΜΑ ΣΕ ΜΑΓΝΗΤΙΚΟ ΠΕΔΙΟ

Τό 1820 ό *Oersted* άνακάλυψε, δπως ηδη άναφέραμε, δτι ένας άγωγός, πού διαρρέεται άπό ρεῦμα, δημιουργεῖ γύρω του μαγνητικό πεδίο και άσκει μηχανικές δυνάμεις επάνω σε μαγνητικές βελόνες. Τήν ίδια χρονιά, ο *Ampère* άνακάλυψε τό άντιθετο φαινόμενο: δτι τό μαγνητικό πεδίο άσκει δύναμη επάνω σε διαρρεόμενο άπό ρεῦμα άγωγό και δρισε τή διεύθυνση και φορά τής άσκούμενης δυνάμεως. Άνακάλυψε άκομα δτι μεταξύ παραλλήλων ρευματοφόρων άγωγών άσκούνται έλκτικές ή άπωστικές δυνάμεις, άνάλογα μέ τή φορά τῶν ρευμάτων στούς δύο άγωγούς.

Άργότερα, ο *Laplace*, στηριζόμενος σέ πειράματα πού είζαν έκτελέσει οί *Biot* και *Savart*, προσδιόρισε θεωρητικά τή δύναμη, πού άσκεται άπό μαγνητικό πεδίο επάνω σε εύθυγραμμο άγωγό διαρρεόμενο άπό ρεῦμα.

Στό κεφάλαιο αύτό έξετάζομε τή δύναμη πού άσκεται άπό μαγνητικό πεδίο επάνω σε κινούμενο ήλεκτρικό φορτίο καθώς και σέ ρευματοφόρο άγωγό, πού βρίσκεται μέσα στό πεδίο. Έξετάζομε άκομα τίς δυνάμεις, πού άσκούνται μεταξύ δύο παραλλήλων ρευματοφόρων άγωγών.

#### 11.1 Κίνηση φορτίου σέ μαγνητικό πεδίο.

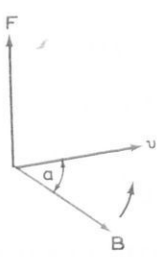
Σέ ένα ήλεκτρικό φορτίο  $Q$ , πού κινεῖται μέ ταχύτητα  $\vec{v}$  μέσα σέ μαγνητικό πεδίο μέ έπαγωγή  $\vec{B}$ , άσκεται δρισμένη δύναμη  $\vec{F}$ . Τό μέτρο  $F$  τής δυνάμεως  $\vec{F}$  άποδεικνύεται πειραματικά δτι είναι άνάλογο μέ τό φορτίο  $Q$ , μέ τό μέτρο  $B$  τής μαγνητικής έπαγωγής, μέ τό μέτρο  $v$  τής ταχύτητας και μέ τό ήμίτονο τής γωνίας  $\alpha$ , πού σχηματίζει ή ταχύτητα  $\vec{v}$  μέ τό μαγνητικό πεδίο  $\vec{B}$  (σχ. 11.1a):

$$F = QBv \sin \alpha \quad (1)$$

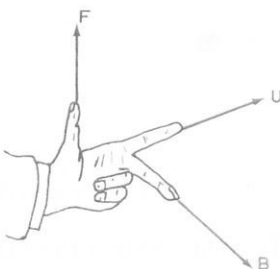
Τή δύναμη  $F$  δονομάζεται **δύναμη Laplace** και ο τύπος (1) **τύπος τοῦ Laplace**.

Στόν τύπο (1) ή δύναμη  $F$  προκύπτει σέ νιοῦτον ( $N$ ), δταν ή  $B$  μετριέται σέ Vs/m<sup>2</sup> τό φορτίο  $Q$  σέ κουλόμπ (C) και ή ταχύτητα  $v$  σέ m/s.

Τή δύναμη Laplace  $F$  έχει τιμή μηδέν γιά ημα = 0 ή  $\alpha = 0$ , δταν δηλαδή τό φορτίο κινεῖται παράλληλα πρός τίς μαγνητικές γραμμές. Έχει τή μέγιστη τιμή τής γιά ημα = 1 ή  $\alpha = 90^\circ$ , δταν τό φορτίο κινεῖται κάθετα πρός τίς μαγνητικές γραμμές.



Σχ. 11.1α.



Σχ. 11.1β.

Η διεύθυνση της δυνάμεως  $\vec{F}$  είναι πάντοτε κάθετη πρός τή διεύθυνση της  $\vec{B}$  και της  $\vec{u}$ , δηλαδή κάθετη στό έπίπεδο που σχηματίζουν ή  $B$  και ή  $u$ . Η φορά της έξαρταται από τό είδος τοῦ φορτίου  $Q$  (θετικό ή άρνητικό φορτίο). Για άρνητικό φορτίο  $Q$ , προκύπτει ή φορά της  $\vec{F}$ , σύμφωνα μέ τόν κανόνα τοῦ δεξιόστροφου κοχλία: "Αν τοποθετήσουμε τόν κοχλία κάθετα πρός τό έπίπεδο  $\vec{B} - \vec{u}$  και τόν περιστρέψουμε στή φορά περιστροφής τοῦ διανύσματος  $\vec{B}$  πρός τό διάνυσμα  $\vec{u}$  από τό συντομότερο δρόμο, ο κοχλίας προχωρεῖ στή φορά της δυνάμεως  $\vec{F}$  (σχ. 11.1α).

Ένα άλλο τρόπο γιά τόν προσδιορισμό της φορᾶς της δυνάμεως  $\vec{F}$  δίνει ο κανόνας τοῦ άριστεροῦ χεριοῦ. Αν μέ τόν άντιχειρα, τό δείκτη και τό μέσο δάκτυλο τοῦ άριστεροῦ χεριοῦ σχηματίσουμε ένα τρισθόργωνιο σύστημα δεξόνων και δείκτης δείχνει στή φορά της ταχύτητας  $\vec{u}$ , ένδο ό μεσαίος στή φορά τοῦ πεδίου  $B$ , τότε ο άντιχειρας δείχνει στή φορά της δυνάμεως Laplace  $\vec{F}$  (σχ. 11.1β).

Γιά θετικό φορτίο  $Q$ , η φορά της δυνάμεως Laplace είναι **άντιθετη** από τή φορά, πού όριζεται γιά άρνητικό φορτίο μέ τούς πιό πάνω κανόνες.

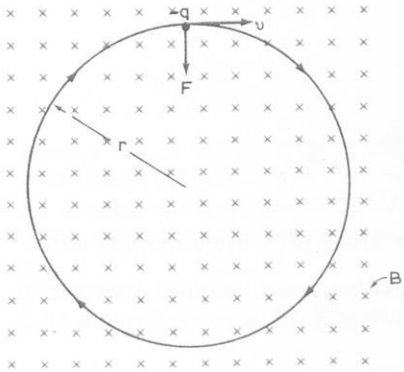
Η δύναμη Laplace  $\vec{F}$  είναι πάντοτε **κάθετη** πρός τήν ταχύτητα  $\vec{u}$  και έχει σταθερό μέτρο, κατά τή σχέση (1). Γι' αυτό δρᾶ σάν κεντρομόλος δύναμη έπανω σέ ένα σωματίδιο μέ φορτίο  $q$ , πού κινεῖται κάθετα πρός τίς μαγνητικές γραμμές  $\vec{B}$  τοῦ μαγνητικοῦ πεδίου. Άποτέλεσμα είναι νά διαγράφει τό σωματίδιο **κυκλική τροχιά** μέ διμαλή κίνηση στό έπίπεδο τῶν διανυσμάτων  $\vec{u}$  και  $\vec{F}$  διποσ φαίνεται στό σχήμα 11.1γ.

Στό σχήμα αντό, τό φορτίο  $q$  θεωρεῖται άρνητικό και οί μαγνητικές γραμμές  $\vec{B}$  είσχωρούν κάθετα πρός τό έπίπεδο τοῦ βιβλίου.

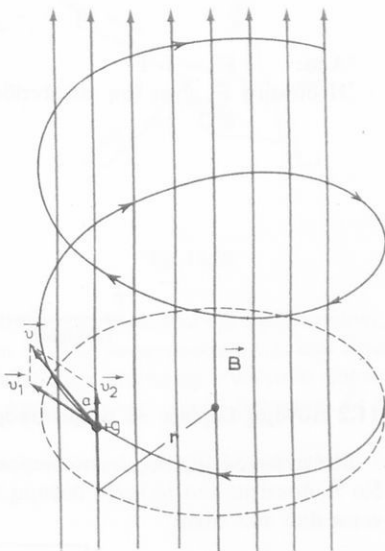
Άν η ταχύτητα  $\vec{u}$  τοῦ σωματιδίου δέν είναι κάθετη πρός τίς μαγνητικές γραμμές, άλλα σχηματίζει μέ αντές όρισμένη **γωνία  $a$** , μποροῦμε νά άναλύσουμε τήν  $\vec{u}$  σέ δύο συνιστώσες: Μία συνιστώσα  $\vec{u}_1$ , κάθετη πρός τίς μαγνητικές γραμμές και μία  $\vec{u}_2$  παράλληλη πρός αυτές (σχ. 11.1δ).

Κάτω από τήν έπιδραση της κάθετης  $\vec{u}_1$  και της μαγνητικής έπαγωγής  $\vec{B}$  τοῦ πεδίου, τό σωματίδιο έκτελεί διμαλή κυκλική κίνηση, διποσ στήν προηγού-

μενη περίπτωση. Ταυτόχρονα, εξ αιτίας της  $\vec{v}_2$ , κινεῖται παράλληλα πρός τη διεύθυνση τῶν μαγνητικῶν γραμμῶν τοῦ πεδίου. Ἀποτέλεσμα τῶν δύο αὐτῶν κινήσεων εἶναι νά διαγράφει τό σωματίδιο **έλικοειδή τροχιά**, δπως φαίνεται στό σχῆμα 11.1δ.



Σχ. 11.1γ.



Σχ. 11.1δ.

### Αριθμητικό παράδειγμα.

Ένα όμοιόμορφο μαγνητικό πεδίο ἔχει μαγνητική ἐπαγωγή  $B = 1,5 \text{ Vs/m}^2$  και οἱ μαγνητικές του γραμμές εἶναι παράλληλες πρός τό ἐπίπεδο τοῦ βιβλίου. Ένα ηλεκτρόνιο κινεῖται κάθετα πρός τίς μαγνητικές γραμμές, μέ φορά ἀπό τὸν ἀναγνώστη πρός τό βιβλίο καὶ ταχύτητα  $v = 3,1 \cdot 10^7 \text{ m/s}$ . Νά προσδιορισθεῖ ἡ δύναμη  $\vec{F}$ , ποὺ ἀσκεῖται ἀπό τό πεδίο στό ηλεκτρόνιο. Ποιά δύναμη  $\vec{F}$  ἀσκεῖται σὲ ἓνα πρωτόνιο, πού κινεῖται μέ τὸν ἕδιο τρόπο στό πεδίο;

### Αύση.

Τό ηλεκτρόνιο ἔχει φορτίο σύμφωνα μέ τὸν τύπο (1.7) τῆς παραγγράφου 1.2:

$$q = 1,6 \cdot 10^{-19} \text{ C}$$

Ἔτσι ἀπό τὸν τύπο (1) προκύπτει γιά τό μέτρο τῆς δυνάμεως  $F$  μέ  $a = 90$  καὶ  $\eta ma = 1$ :

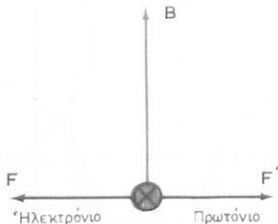
$$F = qBv\eta ma = 1,6 \cdot 10^{-19} \cdot 1,5 \cdot 3,1 \cdot 10^7 \cdot 1 = \underline{\underline{7,44 \cdot 10^{-12} \text{ N}}}$$

Η διεύθυνση της δυνάμεως  $F$  είναι κάθετη πρός τό έπίπεδο τῶν  $B$  -  $v$  και ή φορά της προκύπτει άπό τόν κανόνα τοῦ δεξιόστροφου κοχλία (σχ. 11.1ε). Τό πρωτόνιο ἔχει φορτίο  $q'$  ίσο και άντιθετο τοῦ φορτίου τοῦ ηλεκτρονίου:

$$q' = - \underline{1,6 \cdot 10^{-19} \text{ C}}$$

Άρα:  $F' = - F$

Η δύναμη  $F'$  είναι ίση και άντιθετη της  $F$ .



Σχ. 11.1ε.

## 11.2 Δύναμη Laplace σέ ρευματοφόρο άγωγό μέσα στό μαγνητικό πεδίο.

Σέ εἶνα άγωγό μήκους  $l$ , πού διαρρέεται άπό ρεῦμα  $I$  μέσα σέ μαγνητικό πεδίο  $\vec{B}$ , άσκεται άπό τό πεδίο δύναμη Laplace  $\vec{F}$ . Τό μέτρο της δυνάμεως  $F$  δίνεται άπό τόν τύπο:

$$F = IB/\eta\mu_a \quad (1)$$

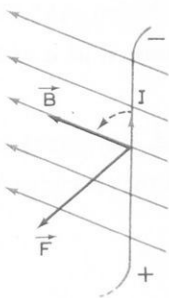
ὅπου α ή γωνία μεταξύ τοῦ ρεύματος  $\vec{I}$  και τοῦ πεδίου  $\vec{B}$ .

Η διεύθυνση της δυνάμεως  $F$  είναι κάθετη πρός τό έπίπεδο πού σχηματίζουν τά  $\vec{I}$  και  $\vec{B}$  και ή φορά τους προκύπτει και έδω, σύμφωνα μέ τόν κανόνα τοῦ δεξιόστροφου κοχλία (σχ. 11.2α).

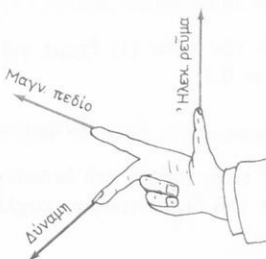
Άν περιστρέψουμε τόν κοχλία στή διεύθυνση περιστροφῆς τοῦ διανύσματος  $\vec{I}$  πρός τό διάνυσμα  $\vec{B}$  άπό τό συντομότερο δρόμο, θά προχωρήσει ο κοχλίας στή φορά της δυνάμεως  $\vec{F}$ .

Τή φορά της δυνάμεως  $\vec{F}$  μπορούμε έπίσης νά προσδιορίσουμε μέ τόν **κανόνα τοῦ δεξιοῦ χεριοῦ**, πού είναι άνάλογος μέ τόν κανόνα τοῦ άριστεροῦ χεριοῦ: Άν ο άντιχειρας τοῦ δεξιοῦ χεριοῦ δείχνει στή φορά τοῦ ρεύματος  $\vec{I}$ , ο δείκτης στή φορά τοῦ μαγνητικοῦ πεδίου  $\vec{B}$ , τότε ο μέσος δάκτυλος δείχνει στή φορά της δυνάμεως  $\vec{F}$  (σχ. 11.2β).

Η φορά τοῦ ρεύματος  $I$  είναι ή συμβατική φορά, δηλαδή άντιθετη πρός τή φορά κινήσεως τῶν ηλεκτρονίων. Άν τοποθετήσουμε τό ρεῦμα  $I$  μέ τήν πραγματική του φορά στή διεύθυνση της ταχύτητας  $v$  τῶν ηλεκτρονίων, προκύπτει ή περίπτωση κινήσεως φορτίου σέ μαγνητικό πεδίο τής προηγούμενης παραγράφου. Η φορά της δυνάμεως Laplace  $\vec{F}$  προσδιορίζεται δπως ηδη περι-



Σχ. 11.2α.



Σχ. 11.2β.

γράψαμε έκει, μέ το ίδιο άκριβως άποτέλεσμα πού δίνουν οί πιό πάνω κανόνες.

Ο τύπος (1) προκύπτει άπό τὸν τύπο (1) τῆς παραγράφου 11.1, πού δίνει τὴν ἀσκούμενη ἀπὸ τὸ μαγνητικό πεδίο δύναμη, ἐπάνω σὲ κινούμενο φορτίο Q. Τὸ φορτίο Q ἀγωγοῦ, μῆκους l, σὲ κάποια χρονική στιγμή βρίσκεται ὡς ἔξης:

Ἐστω ν ἡ ταχύτητα μέ τὴν δόποια κινοῦνται τὰ φορτία (ἡλεκτρόνια) στὸν ἀγωγό. Ἐνα ἡλεκτρόνιο διασχίζει τὸν ἀγωγό σὲ χρόνο:

$$t = \frac{l}{v} \quad (2)$$

Στὸ διάστημα αὐτῷ, περνᾶ ἀπὸ μία διατομή στὴν ἀρχή τοῦ ἀγωγοῦ φορτίο:

$$Q = It \quad (3)$$

Τὸ φορτίο Q καλύπτει τὸ μῆκος l τοῦ ἀγωγοῦ καὶ εἶναι τὸ φορτίο πού βρίσκεται στὸν ἀγωγό l σὲ δόποια διαδήποτε χρονική στιγμή. Ἀρα, ἀπὸ τὸν τύπο (1) τῆς παραγράφου 11.1 καὶ τοὺς τύπους (2) καὶ (3) ἔχομε:

$$F = QBυημα = ItB \frac{l}{v} \text{ ημα} \quad (4)$$

καὶ

$$F = IB/\eta\mu\alpha \quad (5)$$

### Αριθμητικό παράδειγμα.

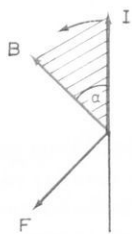
Ἄγωγός, μῆκους 80 cm, διαρρεόμενος ἀπό ρεῦμα I = 3 A, βρίσκεται μέσα σὲ μαγνητικό πεδίο, ἐντάσεως B = 2,5 Vs/m<sup>2</sup> καὶ σχηματίζει γωνία 45° μέ τὶς μαγνητικές γραμμές. Νά προσδιορισθεῖ ἡ δύναμη F πού ἀσκεῖται ἐπάνω στὸν ἀγωγό.

**Λύση.**

Από τόν τύπο (1) έχομε γιά τό μέτρο τῆς δυνάμεως  $F$  μέ  $\alpha = 30^\circ$  και  $\eta \mu 30^\circ = 0,5$ :

$$F = IB/\eta \mu \alpha = 3 \cdot 2,5 \cdot 80 \cdot 10^{-2} \cdot 0,5 = 3 \text{ N}$$

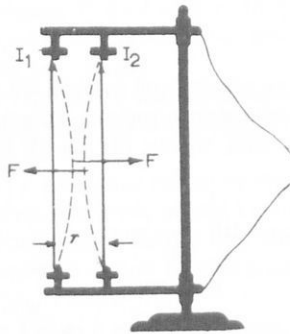
Η  $\vec{F}$  είναι κάθετη στό έπιπεδο τῶν I - B και ή φορά της προκύπτει ἀπό τόν κανόνα τοῦ δεξιόστροφου κοχλία (σχ. 11.2γ).



Σχ. 11.2γ.

**11.3 Δυνάμεις Laplace μεταξύ δύο ρευματοφόρων άγωγῶν.**

Θεωροῦμε δύο παράλληλους άγωγούς (1 και 2) μέ τό ίδιο μῆκος  $l$ , διαρρεόμενους ἀπό ρεύματα  $I_1$  και  $I_2$ . Μεταξύ τῶν δύο άγωγῶν ἀσκεῖται δύναμη Laplace  $\vec{F}$  (σχ. 11.3).



Σχ. 11.3.

Τό μέτρο τῆς δυνάμεως  $\vec{F}$  βρίσκεται ως ἔξης:

Ο άγωγός 1 δημιουργεῖ μαγνητικό πεδίο έπαγωγῆς  $\vec{B}_1$ , μέσα στό όποιο βρί-

σκεται ό 2. Υπάρχει στόν άγωγό 2 άσκεται δύναμη Laplace, σύμφωνα με τόν τύπο:

$$F = B_1 I_2 / l \quad (1)$$

Γιά τή έπαγωγή  $B_1$  έχουμε άπό τούς τύπους (36) και (38) τής παραγράφου 8.2:

$$B_1 = \mu_0 H_1 = \frac{\mu_0}{2\pi} \frac{I_1}{r} \quad (2)$$

δημιουργεί δύναμη Laplace μεταξύ των πεδίων τούς άγωγού  $l$  και τής άπόστασης μεταξύ των δύο άγωγών (σχ. 11.3).

\*Ο τύπος (2) στόν τύπο (1) δίνει:

$$F = \frac{\mu_0}{2\pi} \frac{I_1 I_2}{r} l$$

(3)

\*Ο ίδιος τύπος (3) προκύπτει, αν έπιλογήσουμε τή δύναμη πού άσκεται στόν άγωγό 1 άπό τό μαγνητικό πεδίο τού 2.

Η δύναμη Laplace μεταξύ δύο παραλλήλων ρευματοφόρων άγωγών είναι άναλογη τού γινομένου των ρευμάτων πού τούς διαρρέουν.

Η διεύθυνση και ή φορά τής δυνάμεως  $\vec{F}$  σε κάθε άγωγό βρίσκονται ως έξης:

Πρώτα προσδιορίζομε τή διεύθυνση και τή φορά τού πεδίου  $\vec{B}_1$ , πού δημιουργεί δύναμη  $F$  σε άποιοδήποτε σημείο τού 2, κατά τά γνωστά. Κατόπιν άπό τήν  $\vec{B}_1$  και τό ρεῦμα  $I_2$  στόν άγωγό 2 βρίσκομε τή δύναμη  $\vec{F}$ , πού άσκεται έπάνω σε αυτόν, σύμφωνα με δύο άναφέραμε προηγουμένως.

Η δύναμη  $F$  στόν άγωγό 1 βρίσκεται με τόν ίδιο τρόπο, άπό τήν έπαγωγή  $\vec{B}_2$ , πού δημιουργεί δύναμη  $F$  στόν άγωγό 1 και άπό τό ρεῦμα  $I_1$  τού άγωγού αυτού.

Προσδιορίζοντας έτσι τίς δυνάμεις  $F$  στούς δύο άγωγούς, διαπιστώνομε δτι είναι **άντιθετες μεταξύ τους** και δτι προκαλούν έλξη των άγωγών, δταν τά δύο ρεύματα έχουν τήν ίδια φορά και άπωσή τους, δταν τά ρεύματα είναι άντιθετα.

Η δύναμη  $F$ , ή όποια άναπτυσσεται μεταξύ δύο παραλλήλων άγωγών πού διαρρέονται άπό τό **ίδιο ρεῦμα**, χρησιμεύει γιά τόν προσδιορισμό τής μονάδας Ampère (A) τού ρεύματος:

**Ένταση 1 Ampère** έχει τό ρεῦμα τό όποιο δταν διαρρέει δύο παραλλήλους άγωγούς, τοποθετημένους στό κενό, σε άπόσταση 1 m ο ένας άπό τόν άλλον, δημιουργεί δύναμη μεταξύ τους  $2 \cdot 10^{-7} N$  άνά μέτρο μήκους των άγωγών.

Μέ τόν δρισμό αυτό, προκύπτει άπό τόν τύπο (3) ή τιμή τής μαγνητικής διαπερατότητας τού κενού  $\mu_0$ , πού ηδη γνωρίσαμε στήν παράγραφο 8.2γ:

$$\mu_0 = \frac{2\pi r F}{I^2 l} = 4\pi \cdot 10^{-7} \text{ N/A}^2 = 4\pi \cdot 10^{-7} \text{ Vs/Am}$$

(1N = 1VAs/m)

## Π ΑΡΤΗΜΑ

### ΑΣΚΗΣΕΙΣ

#### Κ Ε Φ Α Λ Α Ι Ο Π Ρ Ω Τ Ο

- 1) Δύο μικρές μεταλλικές σφαῖρες είναι τοποθετημένες σέ απόσταση 10 cm μεταξύ τους και φέρουν θετικά φορτία  $6,66 \cdot 10^{-3}$  μC και  $10 \cdot 10^{-3}$  μC. Μεταξύ των σφαιρών παρεμβάλλεται άερας. Νά ύπολογισθεῖ ή δύναμη F, μέ τήν όποια άπωθοῦνται οι σφαῖρες.

**Απάντηση.**

$$F = 6 \cdot 10^{-5} \text{ N}$$

- 2) Νά ύπολογισθεῖ ή δύναμη F, μέ τήν όποια ήλεκτρικό φορτίο 1 C έλκει μέσα στόν άερα έτερώνυμο φορτίο, έπισης 1 C, πού βρίσκεται σέ απόσταση 100 m άπό αυτό.

**Απάντηση.**

$$F = 90 \text{ t}$$

- 3) Δύο μικρές μεταλλικές σφαῖρες βρίσκονται σέ απόσταση 100 cm μεταξύ τους και ή μία φέρει διπλάσιο θετικό φορτίο άπό τήν άλλη. Οι σφαῖρες άπωθοῦνται μέ δύναμη  $F = 0,32 \cdot 10^{-5}$  N. Νά ύπολογισθεῖ τό φορτίο κάθε σφαῖρας, αν μεταξύ τους παρεμβάλλεται άερας.

**Απάντηση.**

$$Q_1 = 1,33 \cdot 10^{-3} \text{ μC}, Q_2 = 2,66 \cdot 10^{-3} \text{ μC}$$

#### Κ Ε Φ Α Λ Α Ι Ο Δ Ε Υ Τ E R O

- 4) Από τή διατομή S ένός άγωγοῦ περνᾶ σέ χρόνο  $t = 3$  s ήλεκτρικό φορτίο  $Q = 18,75 \cdot 10^{18} \text{-e}$  [C]. Ποιά είναι ή ένταση I τοῦ ρεύματος στόν άγωγό;

**Απάντηση.**

$$I = 1 \text{ A}$$

- 5) Μία ήλεκτρική πηγή έργαζεται 3 ήμέρες συνεχῶς, μέ ένταση ρεύματος  $I = 1$  A. Νά βρεθεῖ τό ήλεκτρικό φορτίο Q, πού άποδίδει.

**Απάντηση.**

$$Q = 259,2 \cdot 10^3 \text{ C} \quad \text{ή} \quad Q = 72 \text{ Ah}$$

- 6) Συστοιχία συσσωρευτῶν (ήλεκτρική μπαταρία) ἔχει ήλεκτρικό φορτίο  $Q = 302,4 \cdot 10^3 \text{ C}$  καί τροφοδοτεῖ λαμπτήρες μέ ενταση  $I = 1,8 \text{ A}$ . Νά βρεθεῖ σέ πόσο χρόνο τ θά ἀποφορτισθεῖ.

**Απάντηση.**

$$t = 46,67 \text{ h}$$

- 7) Μέσα ἀπό ἓνα ήλεκτρικό λαμπτήρα, περνοῦν  $10^{22} \text{ e}[C]$  σέ κάθε ώρα λειτουργίας του. Νά βρεθεῖ ή ενταση  $I$  τοῦ ρεύματος λειτουργίας.

**Απάντηση.**

$$I = 0,444 \text{ A}$$

- 8) Συστοιχία συσσωρευτῶν αὐτοκινήτου (μπαταρία), μέ χωρητικότητα (ἀποθηκευμένο φορτίο)  $75 \text{ Ah}$ , ἀποφορτίζεται, δταν λειτουργήσει  $37 \text{ h}$  και  $30 \text{ min}$ . Νά βρεθεῖ ή ενταση  $I$  τοῦ ρεύματος λειτουργίας της.

**Απάντηση.**

$$I = 2 \text{ A}$$

- 9) Συνεχές ρεῦμα ἐντάσεως  $84,78 \text{ mA}$  διαρρέει κυλινδρικό ἀγωγό, μέ ἀκτίνα διατομῆς  $3 \text{ mm}^2$ . Νά βρεθεῖ ή πυκνότητα τοῦ ρεύματος  $j$  στὸν ἀγωγό.

**Απάντηση.**

$$j = 3 \cdot 10^{-3} \text{ A/mm}^2$$

**ΚΕΦΑΛΑΙΟ ΤΡΙΤΟ**

- 10) Τά σημεῖα A,B,Γ ἐνός ἀγωγοῦ διαρρεόμενου ἀπό ρεῦμα, ἔχουν δυναμικό ως πρός τή γῆ ἀντίστοιχα  $72,5, -50$  καί  $83 \text{ V}$ . Νά ύπολογισθοῦν οἱ τάσεις  $U_{AB}, U_{BG}$  καί  $U_{AG}$  καί νά δοθεῖ ή φορά τοῦ ρεύματος, ἀπό σημεῖο σέ σημεῖο.

**Απάντηση.**

$$U_{AB} = 22,5 \text{ V}, U_{BG} = -33 \text{ V}, U_{AG} = -10,5 \text{ V}. \text{ Φορά ρεύματος: Γ - A - B.}$$

- 11) Σέ ἓνα ήλεκτρικό στοιχεῖο ψευδαργύρου - χαλκοῦ, τό ήλεκτρόδιο τοῦ ψευδαργύρου ἐμφανίζει, ως πρός τόν ήλεκτρολύτη, ἀρνητικό ήλεκτρολυτικό δυναμικό  $-0,77 \text{ V}$ , ἐνῶ τό ήλεκτρόδιο τοῦ χαλκοῦ θετικό  $+0,33 \text{ V}$  (ό ήλεκτρολύτης εἶναι τό σημεῖο ἀναφορᾶς τῶν δυναμικῶν). Νά βρεθεῖ ή τάση μεταξύ τῶν δύο ήλεκτροδίων σέ κενό, δηλαδή ή ήλεκτρεγερτική δύναμη τοῦ στοιχείου E.

**Απάντηση.**

$$E = 1,1 \text{ V}$$

**ΚΕΦΑΛΑΙΟ ΤΕΤΑΡΤΟ**

- 12) Από ένα κομμάτι χαλκού βάρους 25 kp, κατασκευάζομε σύρμα μέ διάμετρο

$$d = 2 \text{ mm}.$$

Ειδική άντισταση του χαλκού:  $\rho = 0,0178 \Omega \text{ mm}^2/\text{m}$

Ειδικό βάρος του χαλκού:  $\gamma = 8,9 \cdot 10^3 \text{ kp/m}^3$ .

Νά ύπολογισθοῦν.

α) Η διατομή του σύρματος  $S$  σέ  $\text{mm}^2$  και  $\text{m}^2$ .

β) Τό μήκος του σύρματος  $l$  σέ m.

γ) Η άντισταση του σύρματος  $R$  σέ  $\Omega$ .

**Απάντηση.**

$$\text{α) } S = 3,14 \text{ mm}^2 = 3,14 \cdot 10^{-6} \text{ m}^2$$

$$\text{β) } l = 894,5 \text{ m}$$

$$\text{γ) } R = 5,07 \Omega$$

- 13) Η άντισταση ένός σύρματος, μήκους  $l = 9,2 \text{ m}$  και διαμέτρου  $d = 2 \text{ mm}$ , είναι  $R = 1,23 \Omega$ . Νά ύπολογισθοῦν:

α) Η ειδική άντισταση του ύλικου του σύρματος  $\rho$  σέ  $\Omega \text{ mm}^2/\text{m}$ .

β) Η ειδική άγωγιμότητα κ του σύρματος σέ  $\text{m}/\Omega \text{ mm}^2$ .

**Απάντηση.**

$$\text{α) } \rho = 0,42 \Omega \text{ mm}^2/\text{m}$$

$$\text{β) } \kappa = 2,38 \text{ m}/\Omega \text{ mm}^2$$

- 14) Ένας χάλκινος άγωγός έχει μήκος  $l = 2000 \text{ m}$  και διατομή  $S = 44 \text{ mm}^2$ . Η ειδική άντισταση του χαλκού σέ θερμοκρασία  $20^\circ\text{C}$  είναι  $\rho = 0,0175 \Omega \text{ mm}^2/\text{m}$ .

Ο θερμικός συντελεστής του χαλκού σέ  $20^\circ\text{C}$  είναι  $\alpha = 3,92 \cdot 10^{-3} 1/\text{^\circ C}$ .

Νά ύπολογισθεῖ ή άντισταση  $R_{60}$  του άγωγού, σέ θερμοκρασία  $60^\circ\text{C}$ .

**Απάντηση.**

$$R_{60} = 10,122 \Omega$$

- 15) Μετρήθηκε ή άντισταση ένός χάλκινου άγωγού και βρέθηκε  $R_1 = 500 \Omega$ , σέ θερμοκρασία  $\theta_1 = 20^\circ\text{C}$ . Άφού άφησαμε νά περάσει άπό τόν άγωγό ή λεκτρικό ρεύμα γιά δρισμένο χρονικό διάστημα, μετρήσαμε πάλι τήν άντιστασή του και βρήκαμε δτι είναι  $R_2 = 600 \Omega$ . Ο θερμικός συντελεστής του χαλκού είναι  $\alpha = 3,92 \cdot 10^{-3} 1/\text{^\circ C}$ . Νά βρεθεῖ κατά πόσους βαθμούς αυξήθηκε ή θερμοκρασία του άγωγού και πόση είναι ή τελική θερμοκρασία του  $\theta_2$ .

**Απάντηση.**

$$\theta_2 - 20 = 50^\circ\text{C}$$

$$\theta_2 = 70^\circ\text{C}$$

- 16) Πόσο έπιτρέπεται νά αυξηθεῖ ή θερμοκρασία ένός χάλκινου άγωγού, χωρίς ή αυξηση τής άντιστάσεώς του νά υπερβεῖ τό 0,5% τής άντιστάσεώς του σε  $20^\circ\text{C}$  ( $\alpha = 3,92 \cdot 10^{-3} \text{ } 1/\text{C}$ ); Ποιά είναι ή μέγιστη θερμοκρασία  $\theta_2$  πού έπιτρέπεται νά φθάσει ο άγωγός;

**Απάντηση.**

$$\theta_2 - \theta_1 = 1,27^\circ\text{C}$$

$$\theta_2 = 21,27^\circ\text{C}$$

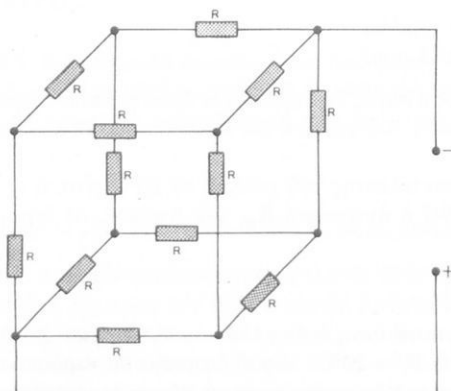
- 17) Ένας χάλκινος άγωγός, διατομῆς  $S = 10 \text{ mm}^2$ , πρέπει νά άντικατασταθεῖ μέ ένα άγωγό άπο άλουμινιο, πού νά έχει τό ίδιο μήκος και ίδια άντισταση ( $\rho_{Cu} = 0,0175 \Omega \text{ mm}^2/\text{m}$ ,  $\rho_{Al} = 0,029 \Omega \text{ mm}^2/\text{m}$ ). Νά βρεθεῖ ή διατομή τού άλουμινένιου άγωγού  $S_{Al}$ .

**Απάντηση.**

$$S_{Al} = 16 \text{ mm}^2$$

**ΚΕΦΑΛΑΙΟ ΠΕΜΠΤΟ**

- 18) Δώδεκα δμοιοι άντιστάτες συνδέονται, δπως δείχνει τό παρακάτω σχήμα 1. Ή άντισταση κάθε άντιστάτη είναι  $R = 1 \Omega$ . Νά βρεθεῖ ή ισοδύναμη άντισταση τής συνδεσμολογίας  $R_{o\lambda}$ .

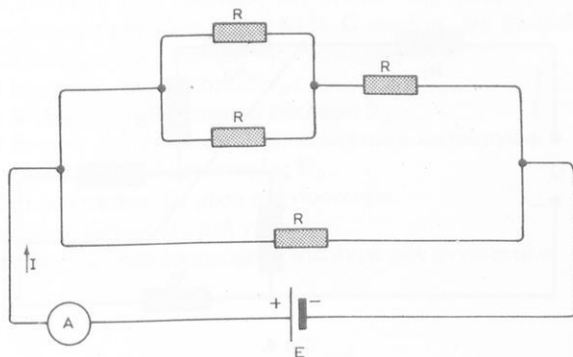


Σχ. 1.

**Απάντηση.**

$$R_{o\lambda} = 0,83 \Omega$$

- 19) Η παρακάτω συνδεσμολογία συνδέεται σέ πηγή ήλεκτρικού ρεύματος μέν ΗΕΔ  $E = 12 \text{ V}$  και άμελητέα έσωτερική άντισταση (σχ. 2). Τό άμπερόμετρο δείχνει διτή ή ένταση του ρεύματος  $I$  είναι  $5 \text{ A}$ . Νά βρεθεῖ ή άντισταση  $R$  των άντιστατών.



Σχ. 2.

*Απάντηση.*

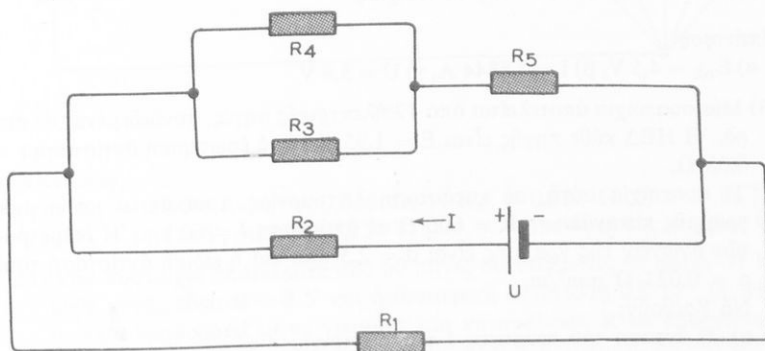
$$R = 4 \Omega$$

- 20) Νά βρεθεῖ ή ίσοδύναμη άντισταση  $R_{\text{ol}}$  και ή ένταση του ρεύματος  $I$  της συνδεσμολογίας του σχήματος 3, δύος:

Πολική τάση της πηγῆς:  $U = 5 \text{ V}$ 

$$R_1 = R_4 = 4 \text{ k}\Omega$$

$$R_2 = 8 \text{ k}\Omega, R_3 = 6 \text{ k}\Omega, R_5 = 1,6 \text{ k}\Omega$$



Σχ. 3.

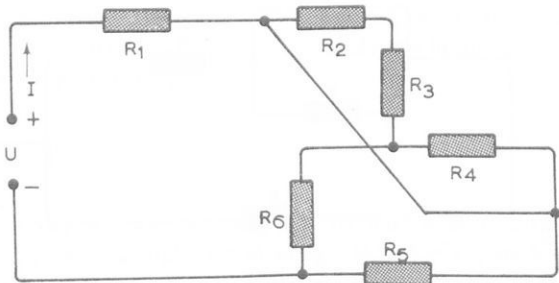
*Απάντηση.*

$$R_{\text{ol}} = 10 \text{ k}\Omega, I = 0,5 \text{ mA}$$

- 21) Νά βρεθεί ή ίσοδόναμη άντισταση  $R_{\text{ol}}$  και ή ένταση του ρεύματος I της συνδεσμολογίας τοῦ σχήματος 4, δηπον:

Πολική τάση:  $U = 8 \text{ V}$

$R_1 = 160 \Omega$ ,  $R_2 = 100 \Omega$ ,  $R_3 = 100 \Omega$ ,  $R_4 = 600 \Omega$ ,  $R_5 = 1200 \Omega$ ,  $R_6 = 175 \Omega$



Σχ. 4.

Απάντηση.

$$R_{\text{ol}} = 415,73 \Omega, I = 19,24 \text{ mA}$$

- 22) Μία συστοιχία άποτελείται από τρεις ήλεκτρικές πηγές, συνδεδεμένες σέ σειρά. Η ΗΕΔ κάθε πηγής είναι  $E = 1,5 \text{ V}$  και ή έσωτερική άντισταση  $r = 0,4 \Omega$ . Η συστοιχία αυτή, σέ κατάσταση λειτουργίας, τροφοδοτεῖ κατανάλωση  $R = 6,5 \Omega$ . Νά βρεθοῦν:

- a) Ή διλική ΗΕΔ  $E_{\text{ol}}$  της συστοιχίας.
- β) Ή ένταση τοῦ ρεύματος I της συστοιχίας.
- γ) Ή πολική τάση  $U$  της συστοιχίας.

Απάντηση.

$$\text{a)} E_{\text{ol}} = 4,5 \text{ V}, \text{b)} I = 0,5844 \text{ A}, \text{c)} U = 3,8 \text{ V}$$

- 23) Μία συστοιχία άποτελείται από 12 ήλεκτρικές πηγές, συνδεδεμένες σέ σειρά. Η ΗΕΔ κάθε πηγής είναι  $E = 1,95 \text{ V}$  και ή έσωτερική άντισταση  $r = 0,03 \Omega$ .

Η συστοιχία αυτή, σέ κατάσταση λειτουργίας, τροφοδοτεῖ μέσω μιᾶς γραμμῆς κατανάλωση  $R = 600 \Omega$  σέ άπόσταση  $l = 60 \text{ km}$ . Η διάμετρος τῶν άγωγῶν της γραμμῆς είναι  $d = 2,5 \text{ mm}$  και ή ειδική άντιστασή τους  $\rho = 0,021 \Omega \text{ mm}^2/\text{m}$ .

Νά βρεθοῦν:

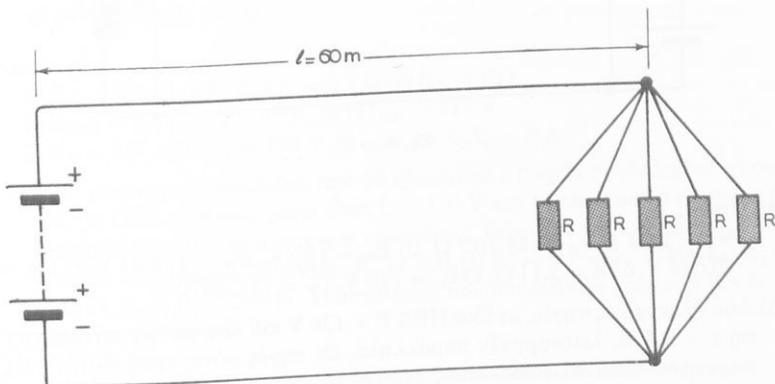
- α) Ή ένταση τοῦ ρεύματος I της συστοιχίας.
- β) Ή τάση στά ακρα της καταναλώσεως  $U_R$ .

Απάντηση.

$$\text{a)} I = 21 \text{ mA}, \text{b)} U_R = 12,6 \text{ V}$$

- 24) Μία συστοιχία άποτελεῖται άπό 6 πηγές συνδεδεμένες σέ σειρά. Η ΗΕΔ κάθε πηγής είναι  $E = 2,0 \text{ V}$  και ή έσωτερική άντισταση  $r = 0,003 \Omega$ . Η συστοιχία τροφοδοτεί μέσω γραμμής μία συνδεσμολογία παραλλήλων άντιστατῶν σέ άπόσταση  $60 \text{ m}$ , στήν όποια κάθε άντιστάτης έχει άντισταση  $R = 2,85 \Omega$  (σχ. 5). Η διατομή τῶν άγωγῶν τῆς γραμμῆς είναι  $6 \text{ mm}^2$  και ή ειδική άντιστασή τους  $\rho = 0,0178 \Omega \text{ mm}^2/\text{m}$ . Νά βρεθοῦν:

- Η ηλεκτρεγερτική δύναμη τῆς συστοιχίας  $E_\sigma$ .
- Η έσωτερική της άντισταση  $r_\sigma$ .
- Η άντισταση στό ξεωφερικό κύκλωμα  $R_\varepsilon$ .
- Η ένταση τοῦ ρεύματος  $I$  σέ κατάσταση λειτουργίας.
- Η πολική τάση τῆς συστοιχίας  $U_\sigma$ .
- Η πτώση τάσεως  $U_r$  μέσα στή συστοιχία.
- Η πτώση τάσεως  $U_\gamma$  στή γραμμή.
- Η τάση  $U_R$ , πού έφαρμόζεται στά άκρα τῶν άντιστατῶν.

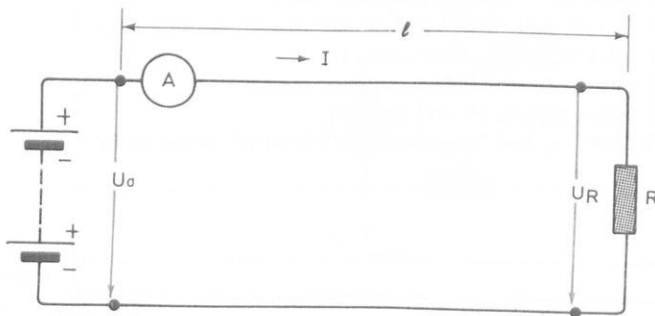


Σχ. 5.

**Απάντηση.**

- a)  $E_\sigma = 12 \text{ V}$ , b)  $r_\sigma = 0,018 \Omega$ , c)  $R_\varepsilon = 0,926 \Omega$ , d)  $I = 12,71 \text{ A}$ , e)  $U_\sigma = 11,771 \text{ V}$ , f)  $U_r = 0,229 \text{ V}$ , g)  $U_\gamma = 4,524 \text{ V}$ , h)  $U_R = 7,247 \text{ V}$
- 25) Μία συστοιχία άποτελεῖται άπό 60 πηγές συνδεδεμένες σέ σειρά. Η ΗΕΔ κάθε πηγής είναι  $E = 2 \text{ V}$  και ή έσωτερική άντισταση  $0,8 \cdot 10^{-3} \Omega$ . Η συστοιχία τροφοδοτεί μέσω γραμμῆς μία κατανάλωση  $R$  σέ άπόσταση  $l = 300 \text{ m}$ . Ένα άμπερόμετρο, πού τοποθετεῖται στή γραμμή, δείχνει δτί άπό τήν κατανάλωση περνᾶ ρεῦμα έντάσεως  $I = 20 \text{ A}$  (σχ. 6). Οι άγωγοι τῆς γραμμῆς έχουν διάμετρο  $d = 4 \text{ mm}$  και ειδική άντισταση  $\rho = 0,01754 \Omega \text{ mm}^2/\text{m}$ . Νά βρεθοῦν:

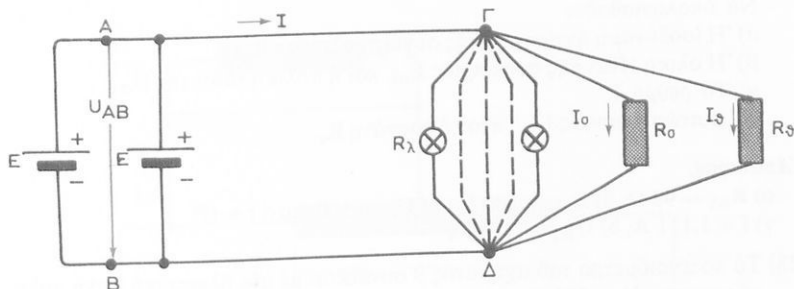
- a) Ή αντίσταση της γραμμής  $R_\gamma$  και ή έσωτερική αντίσταση της συστοιχίας.
- β) Η ΗΕΔ  $E_\sigma$  της συστοιχίας και ή πολική της τάση  $U_\sigma$ .
- γ) Η τάση στά ακρα της καταναλώσεως  $U_R$ .
- δ) Η τιμή της καταναλώσεως  $R$ .
- ε) Αν δύο πηγές της συστοιχίας συνδέονται μέ αντίθετη πολικότητα, νά ύπολογισθεί ή ΗΕΔ  $E_\sigma'$  της και ή πολική της τάση  $U_\sigma'$ , δταν ή κατανάλωση  $R$  έξακολουθεί νά έργαζεται μέ ενταση  $I = 20 \text{ A}$ .



Σχ. 6.

### Απάντηση.

- a)  $R_\gamma = 0,84 \Omega$ ,  $r_\sigma = 48 \cdot 10^{-3} \Omega$ , β)  $E_\sigma = 120 \text{ V}$ ,  $U_\sigma = 119,04 \text{ V}$ , γ)  $U_R = 102,24 \text{ V}$ , δ)  $R = 5,11 \Omega$ , ε)  $E_\sigma' = 112 \text{ V}$ ,  $U_\sigma' = 111,04 \text{ V}$
- 26) Δύο ήλεκτρικές πηγές, μέ ΐδια ΗΕΔ  $E = 126 \text{ V}$  και ίδια έσωτερική αντίσταση  $r = 0,4 \Omega$ , λειτουργούν παράλληλα. Οι πηγές αυτές τροφοδοτούν τις παρακάτω καταναλώσεις, δπως δείχνει τό σχήμα 7.
- 1) 40 λαμπτήρες συνδεδεμένους παράλληλα, μέ αντίσταση κάθε λαμπτήρα  $R_\lambda = 240 \Omega$ .
  - 2) Μία ήλεκτρική θερμάστρα, μέ αντίσταση  $R_\sigma = 12 \Omega$ .
  - 3) Ένα θερμοσίφωνα, μέ αντίσταση  $R_\theta = 6 \Omega$ .
- Η συνολική αντίσταση της συνδετικής γραμμής είναι  $R_\gamma = 0,2 \Omega$ . Νά ύπολογισθούν:
- α) Η ΗΕΔ της παράλληλης συνδεσμολογίας τῶν πηγῶν  $E_{\text{ολ}}$ .
  - β) Η έσωτερική αντίσταση της παράλληλης συνδεσμολογίας  $r_{\text{ολ}}$ .
  - γ) Η ίσοδύναμη αντίσταση τῶν λαμπτήρων  $R_\lambda$ .
  - δ) Η ίσοδύναμη αντίσταση  $R_{\lambda\text{σθ}}$  τῶν παραλλήλων αντιστατῶν  $R_\lambda$ ,  $R_\sigma$  και  $R_\theta$ .
  - ε) Η ενταση τοῦ ρεύματος  $I$ .
  - στ) Η πολική τάση τῶν πηγῶν  $U_{AB}$ .

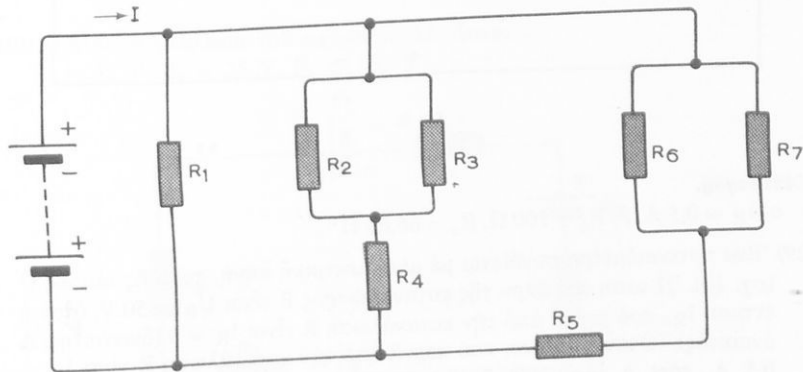


Σχ. 7.

- ζ) Η πτώση τάσεως στή συνδετική γραμμή  $U_\gamma$ .  
 η) Η τάση στά ἄκρα τῶν καταναλώσεων  $U_{\Gamma\Delta}$ .  
 θ) Οι έντασεις  $I_\sigma$  και  $I_\theta$ .

### Απάντηση.

- α)  $E_{\text{ολ}} = E = 126 \text{ V}$ , β)  $r_{\text{ολ}} = 0,2 \Omega$ , γ)  $R_\lambda = 6 \Omega$ ,  
 δ)  $R_{\lambda\sigma\theta} = 2,4 \Omega$ , ε)  $I = 45 \text{ A}$ , στ)  $U_{AB} = 117 \text{ V}$ ,  
 ζ)  $U_\gamma = 9 \text{ V}$ , η)  $U_{\Gamma\Delta} = 108 \text{ V}$ , θ)  $I_\theta = 18 \text{ A}$ ,  $I_\sigma = 9 \text{ A}$
- 27) Μία συστοιχία ἀποτελεῖται ἀπό 50 ἡλεκτρικά στοιχεῖα συνδεδεμένα σὲ σειρά. Ἡ ΗΕΔ κάθε στοιχείου εἶναι  $E = 2,0 \text{ V}$  καὶ ἡ ἐσωτερικὴ ἀντίσταση ἀρά. Ἡ ΗΕΔ κάθε στοιχείου εἶναι  $E = 2,0 \text{ V}$  καὶ ἡ ἐσωτερικὴ ἀντίσταση ἀρά. Ἡ συστοιχία τροφοδοτεῖ διάφορες καταναλώσεις, δημοσιεύεται τὸ σχῆμα 8. Δίνονται:  $R_1 = 200 \Omega$ ,  $R_2 = R_3 = R_4 = 400 \Omega$ ,  $R_5 = 100 \Omega$ ,  $R_6 = R_7 = 240 \Omega$ . Ἡ ἀντίσταση τῶν συνδετικῶν γραμμῶν δέν λαμβάνεται ύπ' ὅψη.



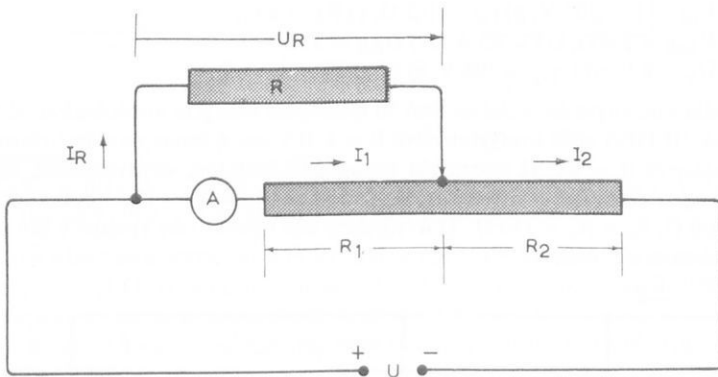
Σχ. 8.

Νά ύπολογισθοῦν:

- Η ίσοδύναμη άντισταση της συνδεσμολογίας  $R_{o\lambda}$ .
- Η δύναμη ΗΕΔ της συστοιχίας  $E_{o\lambda}$  και ή πολική τάση της  $U_\sigma$ .
- Τό ρεύμα I.
- Η πτώση τάσεως  $U_{R_4}$  στόν άντιστάτη  $R_4$ .

**Απάντηση.**

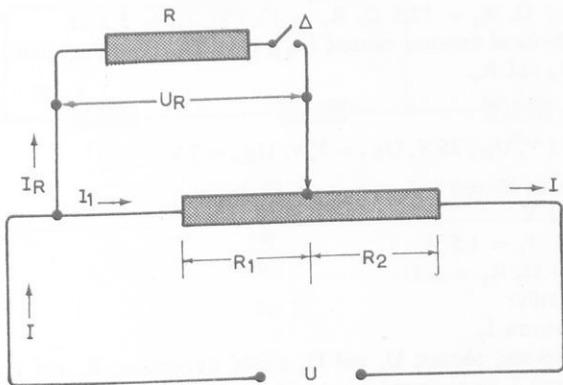
- $R_{o\lambda} = 90 \Omega$ ,  $E_{o\lambda} = 100 \text{ V}$  και  $U_\sigma = 100 \text{ γιατί } r = 0$
  - $I = 1,111 \text{ A}$ ,  $U_{R_4} = 66,66 \text{ V}$
- 28) Τό ποτενσιόμετρο τοῦ σχήματος 9 συνδέεται μέ μία ήλεκτρική πηγή πολικής τάσεως  $U = 200 \text{ V}$ . Ή κατανάλωση είναι  $R = 200 \Omega$ . Ένα άμπερόμετρο δείχνει διτί άπό τόν άντιστάτη  $R_1$  περνᾶ ρεύμα, μέ ένταση  $I_1 = 1 \text{ A}$ . Νά βρεθοῦν:
- Η ένταση  $I_R$ , ώστε στά άκρα της καταναλώσεως R νά έφαρμόζεται μία σταθερή τάση  $U_R = 100 \text{ V}$ .
  - Οι άντιστάσεις  $R_1$  και  $R_2$ .



Σχ. 9.

**Απάντηση.**

- $I_R = 0,5 \text{ A}$ ,  $\beta) R_1 = 100 \Omega$ ,  $R_2 = 66,66 \Omega$
- 29) Ένα ποτενσιόμετρο συνδέεται μέ μία ήλεκτρική πηγή, πολικής τάσεως  $U$  (σχ. 10). Ή τάση στά άκρα της καταναλώσεως R είναι  $U_R = 50 \text{ V}$ , διταν ή ένταση  $I_R$ , πού περνᾶ άπό τήν κατανάλωση R είναι  $I_R = 0$  (διακόπτης, Δ άνοικτός). Όταν ή ένταση πού περνᾶ άπό τήν κατανάλωση R γίνει  $I_R = 0,5 \text{ A}$ , τότε ή τάση στά άκρα της καταναλώσεως είναι  $U_R = 45 \text{ V}$  (διακόπτης Δ κλειστός). Νά βρεθοῦν:



Σχ. 10.

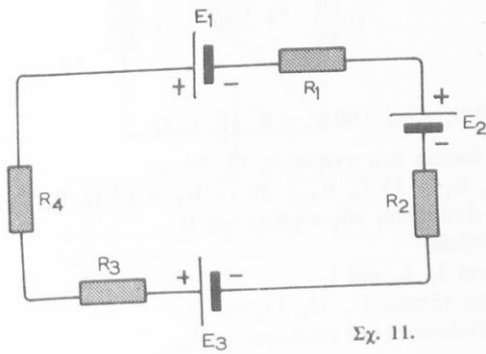
- a) Η τιμή των άντιστάσεων  $R_1$  και  $R_2$ , δταν ή πολική τάση της πηγής είναι  $U = 150$  V.  
 β) Η τιμή των άντιστάσεων  $R_1$  και  $R_2$ , δταν ή πολική τάση της πηγής είναι  $U = 60$  V.

*Απάντηση.*

- α)  $R_1 = 15 \Omega$ ,  $R_2 = 30 \Omega$   
 β)  $R_1 = 60 \Omega$ ,  $R_2 = 12 \Omega$

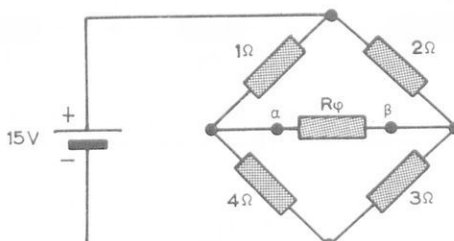
#### ΚΕΦΑΛΑΙΟ ΠΕΜΠΤΟ

- 30) Δίνεται τό κύκλωμα του σχήματος 11, δπου:  
 $E_1 = 35$  V,  $E_2 = 25$  V,  $E_3 = 160$  V



Σχ. 11.

- 34) Νά ύπολογισθεῖ τό ίσοδύναμο κύκλωμα Thevenin γιά τούς άκροδέκτες  $\alpha, \beta$  τοῦ κυκλώματος τοῦ σχήματος 15. Νά βρεθεῖ ἡ τιμή τῆς ἀντιστάσεως  $R$ , πού θα παίται γιά νά ρέει ρεῦμα  $I = 1$  A μεταξύ τῶν άκροδεκτῶν.

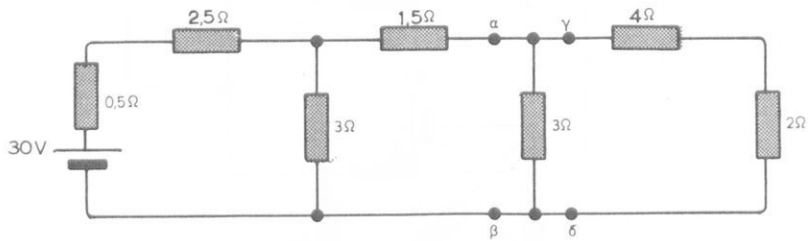


Σχ. 15.

**Απάντηση.**

$$E_T = 3 \text{ V}, R_T = 2 \Omega, R = 1 \Omega$$

- 35) Νά βρεθεῖ ἡ πτώση τάσεως  $U$  στά άκρα τοῦ ἀντιστάτη  $2 \Omega$  (σχ. 16), μὲ διαδοχική ἐφαρμογή τοῦ θεωρήματος Thevenin. [Πρῶτα νά ύπολογισθεῖ τό κύκλωμα Thevenin ( $\alpha, \beta$ ) γιά τούς άκροδέκτες  $\alpha, \beta$ . Κατόπιν μὲ τό κύκλωμα Thevenin ( $\alpha, \beta$ ) συνδεδεμένο στούς άκροδέκτες αὐτούς, νά ύπολογισθεῖ τό κύκλωμα Thevenin ( $\gamma, \delta$ ) γιά τούς άκροδέκτες  $\gamma, \delta$ ].



Σχ. 16.

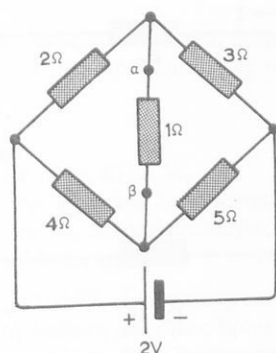
**Απάντηση.**

$$U = 2 \text{ V}$$

- 36) Νά ύπολογισθεῖ τό ίσοδύναμο Norton γιά τούς άκροδέκτες  $\alpha, \beta$  τοῦ κυκλώματος τοῦ σχήματος 17 καὶ νά βρεθεῖ τό ρεῦμα  $I$ , πού διαρρέει τόν ἀντιστάτη  $1 \Omega$ .

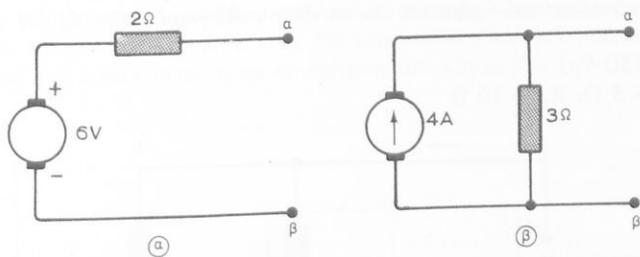
**Απάντηση.**

$$I_G = 0,026 \text{ A}, R_T = 3,42 \Omega, I = 0,02 \text{ A}$$



Σχ. 17.

- 37) Νά μετασχηματισθούν, ή πηγή τάσεως τοῦ σχήματος 18(a) σέ ισοδύναμη πηγή ρεύματος και ή πηγή ρεύματος τοῦ σχήματος 18(β) σέ ισοδύναμη πηγή τάσεως, μέ τή βοήθεια τῶν θεωρημάτων Norton καί Thevenin.



Σχ. 18.

*Απάντηση.*

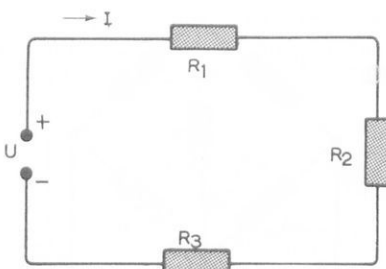
$$I_G = 3 \text{ A}, R_T = 2 \Omega \\ E_T = 12 \text{ V}, R_T = 3 \Omega$$

#### ΚΕΦΑΛΑΙΟ ΕΚΤΟ

- 38) Στό κύκλωμα τοῦ σχήματος 19, νά γίνει ισολογισμός τῶν ίσχυών. (Νά συγκριθεῖ ή ίσχυς, πού ἀποδίδει ή πηγή, μέ τήν ίσχυ, πού καταναλώνεται στούς ἀντιστάτες). Δίνονται:

$$U = 12,0 \text{ V}$$

$$R_1 = 10 \Omega, R_2 = 9 \Omega, R_3 = 5 \Omega$$



Σχ. 19.

**Απάντηση.**

$$P_1 = 2,5 \text{ W}$$

$$P_2 = 2,25 \text{ W}$$

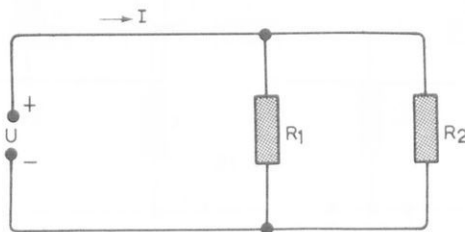
$$P_3 = 1,25 \text{ W}$$

$$\text{Σύνολο } P = 6,0 \text{ W}$$

- 39) Στό κύκλωμα του σχήματος 20, νά γίνει ισολογισμός των ίσχυών. Δίνονται:

$$U = 10 \text{ V}$$

$$R_1 = 5 \Omega, R_2 = 10 \Omega$$



Σχ. 20.

**Απάντηση.**

$$P_1 = 20 \text{ W} \quad P_2 = 10 \text{ W}$$

$$\text{Σύνολο: } P = P_1 + P_2 = 30 \text{ W}$$

- 40) Μία ηλεκτρική συσκευή άποτελεῖται άπο δύο ώμικούς άντιστάτες  $R_1 = 80 \Omega$  και  $R_2 = 40 \Omega$ . Η συσκευή συνδέεται μέ μία πηγή πολικής τάσεως  $U = 220 \text{ V}$ . Κάνοντας διάφορους συνδυασμούς στή συνδεσμολογία των

άντιστατών παίρνομε, δπως είναι φυσικό, διάφορες ίσχεις άπό τήν πηγή. Νά βρεθούν δλες οι δυνατές συνδεσμολογίες τῶν άντιστατῶν και ή ίσχυς σέ κάθε περίπτωση.

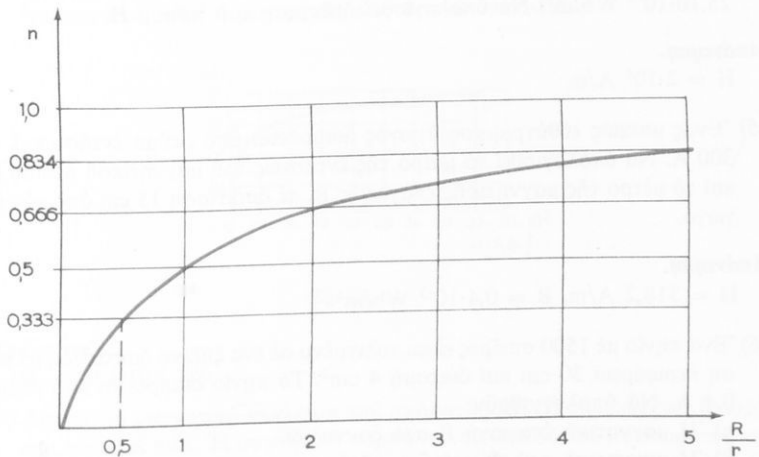
#### Απάντηση.

- 1)  $R_1$  και  $R_2$  σέ σειρά:  $P = 403,3 \text{ W}$
  - 2)  $R_1$  σέ λειτουργία και  $R_2$  έκτος λειτουργίας:  $P = 605 \text{ W}$
  - 3)  $R_2$  σέ λειτουργία και  $R_1$  έκτος λειτουργίας:  $P = 1210 \text{ W}$
  - 4)  $R_1$  και  $R_2$  σέ παράλληλη σύνδεση:  $P = 1815 \text{ W}$
- 41) Μία συσκευή ίσχυος 1200 W, είναι κατασκευασμένη γιά νά λειτουργεῖ σέ τάση  $U = 120 \text{ V}$ . Στή διάθεσή μας δμως έχουμε μία ήλεκτρική πηγή, πολικής τάσεως  $U' = 220 \text{ V}$ . Νά βρεθεῖ ή άντισταση  $R$  τοῦ άντιστάτη, πού πρέπει νά συνδέσομε σέ σειρά στή συσκευή, ώστε νά μπορέσει νά λειτουργήσει. Νά βρεθεῖ και ή ίσχυς, πού καταναλώνεται στόν άντιστάτη  $R$ .

#### Απάντηση.

$$R = 10 \Omega, P = 1000 \text{ W}$$

- 42) Μία συστοιχία συσσωρευτῶν μέ ΗΕΔ  $E = 20 \text{ V}$  και έσωτερική άντισταση  $r = 0,5 \Omega$ , τροφοδοτεῖ ένα μεταβλητό άντιστάτη  $R$ , πού παίρνει τίς τιμές  $R = 1/2 r$ ,  $R = r$ ,  $R = 2r$ ,  $R = 5r$ . Νά παρασταθεῖ γραφικά δ βαθμός άποδόσεως τοῦ κυκλώματος η σέ συνάρτηση τοῦ λόγου  $R/r$  [ $\eta = f(R/r)$ ].



Σχ. 21.

#### Απάντηση.

Σχῆμα 21.

- 43) Ένας θερμοσίφωνας, χωρητικότητας 40 λίτρων καθαρού νερού, συνδέεται μέ μία πηγή ήλεκτρικού ρεύματος, πολικής τάσεως  $U = 220 \text{ V}$ . Ο βαθμός άποδόσεως του θερμοσίφωνα είναι  $\eta = 0,9$ . Νά βρεθοῦν:
- Η ένέργεια  $A_{\pi}$ , που χρειάζεται για νά θερμάνει ό θερμοσίφωνας τό νερό άπό  $15^{\circ}\text{C}$  σέ  $60^{\circ}\text{C}$ .
  - Πόσο θά στοιχίσει για νά θερμάνομε τά 40 αντά λίτρα ( $\text{άπό } 15^{\circ}\text{C} \text{ σέ } 60^{\circ}\text{C}$ ),  $\text{άν }\eta \text{ άξια κάθε kWh είναι } 2 \text{ δρχ}$ .
  - Πόση είναι ή ίσχυς του θερμοσίφωνα  $P_{\theta}$ , ή ένταση λειτουργίας του  $I_{\theta}$  και ή άντιστασή του  $R_{\theta}$ ,  $\text{άν θερμαίνει τά 40 αντά λίτρα νερού μέσα σέ τρια τέταρτα τῆς ώρας } (0,75 \text{ h})$ .

#### Απάντηση.

- $A_{\pi} = 2000 \text{ kcal}$
- $\text{Κόστος} = 4,65 \text{ δρχ.}$
- $P_{\theta} = 3,1 \text{ kW}$   
 $I_{\theta} = 14,1 \text{ A}$   
 $R_{\theta} = 15,6 \Omega$

## ΚΕΦΑΛΑΙΟ Ο ΓΔΟΟ

- 44) Ένα διμογενές μαγνητικό πεδίο μέσα σέ άέρα έχει μαγνητική έπαγωγή  $B = 25,10 \cdot 10^{-2} \text{ Wb/m}^2$ . Νά ύπολογισθεῖ η' ένταση του πεδίου  $H$ .

#### Απάντηση.

$$H = 2 \cdot 10^6 \text{ A/m}$$

- 45) Ένας μακρύς ευθύγραμμος άγωγός διαρρέεται άπό ρεύμα έντάσεως  $I = 300 \text{ A}$ . Νά ύπολογισθεῖ τό μέτρο τῆς έντάσεως του μαγνητικού πεδίου  $H$  και τό μέτρο τῆς μαγνητικής έπαγωγῆς  $B$ , σέ άπόσταση  $15 \text{ cm}$  άπό τόν άγωγό.

#### Απάντηση.

$$H = 318,2 \text{ A/m}, B = 0,4 \cdot 10^{-3} \text{ Wb/m}^2$$

- 46) Ένα πηνίο μέ 1500 σπείρες είναι τυλιγμένο σέ ένα ξύλινο δακτυλίδι, μέ μέση περιφέρεια  $30 \text{ cm}$  και διατομή  $4 \text{ cm}^2$ . Τό πηνίο διαρρέεται άπό ρεύμα  $0,4 \text{ A}$ . Νά ύπολογισθοῦν:
- Η μαγνητική έπαγωγή  $B$  στό δακτυλίδι.
  - Η μαγνητική ροή  $\Phi$  στό δακτυλίδι.  
 (Μαγνητική διαπερατότητα του ξύλου  $\mu_r \approx 1$ )

#### Απάντηση.

$$\text{a) } B = 2,513 \cdot 10^{-3} \text{ W/m}^2, \text{ b) } \Phi = 1,005 \cdot 10^{-6} \text{ Wb}$$

## ΚΕΦΑΛΑΙΟ ΕΝΑΤΟ

- 47) Τό μαγνητικό κύκλωμα ένός ήλεκτρομαγνήτη έχει μήκος 30 cm και διατομή 3 cm<sup>2</sup>. Για νά δημιουργηθεῖ ή απαραίτητη μαγνητική ροή στο κύκλωμα, πρέπει νά περάσει ρεῦμα 0,9 A άπό τό πηνίο τοῦ ήλεκτρομαγνήτη, πού έχει 500 σπειρές. Τό σιδηρομαγνητικό ύλικό τοῦ κυκλώματος έχει τίς έξης τιμές B - H:

$H \left[ \frac{A}{m} \right]$	500	800	1500
$B \left[ \frac{Wb}{m^2} \right]$	0,8	1,0	1,2

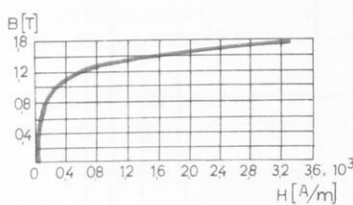
Νά βρεθεῖ ή μαγνητική έπαγωγή B και ή μαγνητική ροή Φ τοῦ κυκλώματος.

**Απάντηση.**

$$B = 1,2 \text{ Wb/m}^2, \Phi = 3,6 \cdot 10^{-4} \text{ Wb}$$

- 48) Σέ ένα δακτυλίδι άπό σιδηρομαγνητικό ύλικό μέ μέση άκτινα r = 10 cm και διατομή S = 2 cm<sup>2</sup>, είναι τυλιγμένο πηνίο μέ 200 σπειρές. Από τό πηνίο περνά ρεῦμα I = 1 A. Ή μαγνητική καμπύλη τοῦ ύλικού τοῦ δακτυλίδιου δίνεται στό σχήμα 22.

Νά προσδιορισθεῖ ή μαγνητική ροή Φ στό δακτυλίδι.

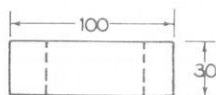
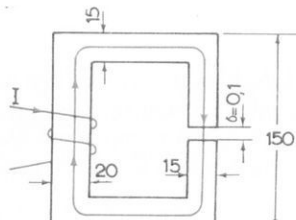


Σχ. 22.

**Απάντηση.**

$$\Phi = 20,4 \cdot 10^{-5} \text{ Wb}$$

- 49) Δίνεται τό μαγνητικό κύκλωμα τοῦ σχήματος 23. Οι σημειωμένες διαστάσεις είναι σέ mm. Ή μαγνητική καμπύλη τοῦ ύλικού τοῦ κυκλώματος παρουσιάζεται στό σχήμα 22. Νά υπολογισθεῖ τό ρεῦμα I, πού πρέπει νά πέσει σέ πηνίο 500 σπειρῶν, για νά δημιουργεῖται μαγνητική έπαγωγή B = 1 Wb/m<sup>2</sup> στό διάκενο άέρα.

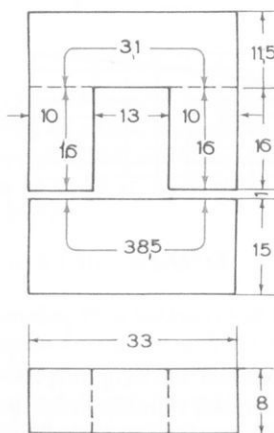


Σχ. 23.

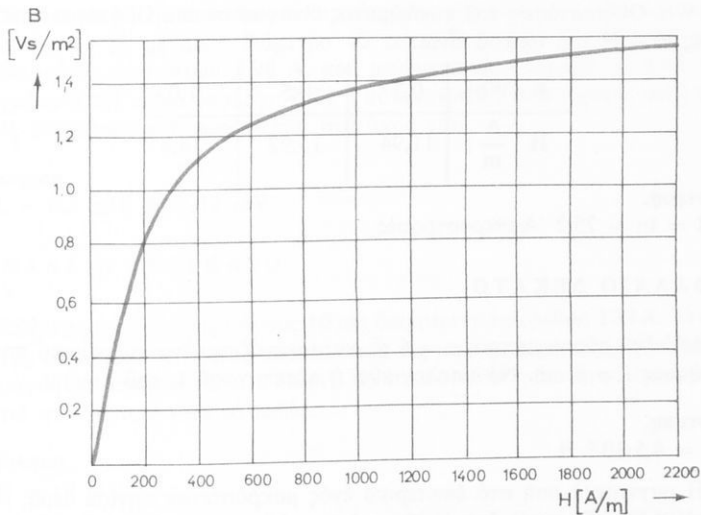
**Απάντηση.**

$$I = 0,371 \text{ A}$$

- 50) Δίνεται τό μαγνητικό κύκλωμα του σχήματος 24. Στά διάκενα άέρα ή μαγνητική έπαγωγή πρέπει νά έχει τιμή  $B = 0,9 \text{ Wb/m}^2$ . Νά υπολογισθεῖ ή απαιτούμενη μαγνητεγερτική δύναμη  $M = In$ . Οι διαστάσεις του κυκλώματος δίνονται σέ cm. Η μαγνητική καμπύλη του ύλικου του φαίνεται στό σχήμα 25.



Σχ. 24.

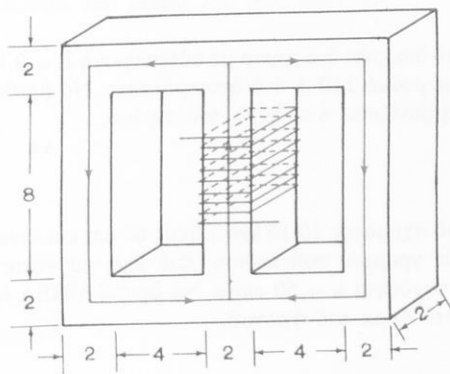


Σχ. 25.

Απάντηση.

$M = 5362$  Αμπεροστροφές

- 51) Δίνεται τό μαγνητικό κύκλωμα του σχήματος 26. Νά ύπολογισθεῖ ή άπαιτούμενη μαγνητεγερτική δύναμη  $M$  (άριθμός άμπεροστροφῶν), για νά δημιουργηθεῖ στό μεσαίο σκέλος του κυκλώματος μαγνητική έπαγωγή  $B =$



Σχ. 26.

1 Wb. Οι διαστάσεις τοῦ κυκλώματος δίνονται σε cm. Οἱ ἀπαραίτητες τιμές B — H τοῦ ύλικοῦ εἰναι:

B [Wb]	0,3	0,5	1,0
H [ $\frac{A}{m}$ ]	11,94	15,92	39,8

Απάντηση.

$$M = In = 75,2 \text{ Amperostrrofes}$$

## ΚΕΦΑΛΑΙΟ ΔΕΚΑΤΟ

52) Από ἕνα σύρμα μήκους  $a = 6$  m, κατασκευάζεται ἕνα κυλινδρικό πηνίο, μήκους  $l = 8$  cm. Νά υπολογισθεῖ ἡ αὐτεπαγωγή L τοῦ πηνίου.

Απάντηση.

$$L = 4,5 \cdot 10^{-5} \text{ H}$$

53) Ἡ μαγνητική ροή στό ἐσωτερικό ἑνός μακρόστενου πηνίου ἀέρα, εἰναι  $2 \cdot 10^{-4}$  Wb. Τό πηνίο ἔχει 1000 σπεῖρες καὶ διαρρέεται ἀπό ρεῦμα 2 A. Νά υπολογισθεῖ ἡ αὐτεπαγωγή L τοῦ πηνίου.

Απάντηση.

$$L = 0,1 \text{ H}$$

54) Γύρω ἀπό τό πηνίο τῆς ἀσκήσεως 53, τυλίγεται ἕνα δεύτερο πηνίο μέ 500 σπεῖρες. Ἀν δὴ ἡ μαγνητική ροή τοῦ πρώτου διαπερνᾶ καὶ τό δεύτερο, νά βρεθεῖ ἡ ἀμοιβαία ἐπαγωγή M τῶν δύο πηνίων.

Απάντηση.

$$M = 0,05 \text{ H}$$

55) Τό ρεῦμα i ποὺ διαρρέει ἕνα πηνίο μέ αὐτεπαγωγή L = 0,144 H, ανξάνεται δομοιόμορφα μέ ρυθμό 250 A ἀνά δευτερόλεπτο. Νά βρεθεῖ ἡ ΗΕΔ ἐξ ἐπαγωγῆς, πού ἐμφανίζεται στά ἄκρα τοῦ πηνίου.

Απάντηση.

$$E = - 36 \text{ V}$$

56) Ο ἀγωγός τοῦ σχήματος 10.1δ ἔχει μῆκος 60 cm καὶ κινεῖται κάθετα πρός τίς μαγνητικές γραμμές τοῦ πεδίου, πού ἔχει μαγνητική ἐπαγωγή  $B = 2 \text{ Wb/m}^2$ , μέ ταχύτητα  $v = 50 \text{ cm/s}$ . Νά βρεθεῖ ἡ ΗΕΔ ἐξ ἐπαγωγῆς, πού ἐμφανίζεται στά ἄκρα τοῦ ἀγωγοῦ.

Απάντηση.

$$E = 0,6 \text{ V}$$

- 57) Ένα πηνίο μέ 1000 σπεῖρες είναι τυλιγμένο γύρω από ένα ξύλινο δακτυλίδι ( $\mu_r = 1$ ), μέ 1000 σπεῖρες μέση διάμετρο 40 cm και διατομή 3 cm<sup>2</sup>. Τό πηνίο διαρρέεται από ρεῦμα 3,98 A, που μειώνεται διοιόμορφα σε 3,94 A σε χρόνο 0,001 s. Νά ύπολογισθοῦν ή αντεπαγωγή L τοῦ πηνίου και ή ΗΕΔ έξι έπαγωγῆς, που έμφανίζεται στά ακρα του.

**Απάντηση.**

$$L = 0,3 \text{ mH}, E = 12 \text{ mV}$$

## ΚΕΦΑΛΑΙΟ ΕΝΔΕΚΑΤΟ

- 58) Εύθυγραμμος άγωγός μήκους 10 cm διαρρέεται από ρεῦμα 100 A. Ό άγωγός είναι τοποθετημένος κάθετα πρός τίς μαγνητικές γραμμές πεδίου μέ 100 A/m. Νά ύπολογισθεῖ ή δύναμη F, που άσκεται στόν άγωγό από τό πεδίο.

**Απάντηση.**

$$F = 10 \text{ N}$$

- 59) Ένα ηλεκτρόνιο κινεῖται μέ ταχύτητα 10<sup>5</sup> km/s, κάθετα πρός τίς μαγνητικές γραμμές ένός πεδίου μέ μαγνητική έπαγωγή B = 4 · 10<sup>-5</sup> Vs/cm<sup>2</sup>. Νά ύπολογισθεῖ ή δύναμη F, που άσκεται τό πεδίο στό ηλεκτρόνιο (e = 1,6 · 10<sup>-19</sup> C).

**Απάντηση.**

$$F = 6,4 \cdot 10^{-12} \text{ N}$$

- 60) Νά βρεθεῖ ή δύναμη F, που άσκεται σέ κάθε μέτρο μήκους δύο παραλλήλων άγωγῶν, οι οποῖοι βρίσκονται σέ απόσταση 15 cm ο ένας από τόν άλλο και διαρρέονται από ρεῦμα 300 A ο καθένας.

**Απάντηση.**

$$F = 0,12 \text{ N}$$

## ΗΛΕΚΤΡΟΤΕΧΝΙΑ

### ΠΡΩΤΟ ΜΕΡΟΣ ΟΙ ΠΡΩΤΕΣ ΒΑΣΙΚΕΣ ΓΝΩΣΕΙΣ

#### ΚΕΦΑΛΑΙΟ ΠΡΩΤΟ

‘Ηλεκτρικές ιδιότητες της υλής – Ήλεκτρικό φορτίο – Ο νόμος του Coulomb

1.1 Οι ήλεκτρικές ιδιότητες της υλής και τό ηλεκτρικό φορτίο .....	1
1.2 Ο Νόμος του Coulomb και η διηλεκτρική σταθερά .....	4

#### ΚΕΦΑΛΑΙΟ ΔΕΥΤΕΡΟ

Ρεύμα – Ένταση

2.1 Η κίνηση των ηλεκτρικών φορτίων .....	7
2.2 Τό ηλεκτρικό ρεύμα .....	8
2.3 Η ένταση του ηλεκτρικού ρεύματος – Πυκνότητα του ηλεκτρικού ρεύματος .....	10
2.4 Μονάδες της έντασεως του ρεύματος και δργανα μετρήσεώς της .....	12

#### ΚΕΦΑΛΑΙΟ ΤΡΙΤΟ

Τάση – Ήλεκτρεγερτική δύναμη – Πηγές

3.1 Ήλεκτρική τάση η διαφορά δυναμικού .....	15
3.2 Ήλεκτρικά στοιχεία .....	18
3.3 Ήλεκτρεγερτική δύναμη .....	19
3.4 Μονάδες της ηλεκτρικής τάσεως και δργανα μετρήσεώς της .....	20

#### ΜΕΡΟΣ ΔΕΥΤΕΡΟ

ΤΟ ΣΥΝΕΧΕΣ ΡΕΥΜΑ

#### ΚΕΦΑΛΑΙΟ ΤΕΤΑΡΤΟ

‘Ο νόμος του Ohm – Ήλεκτρική άντισταση – Ήλεκτρική άγωγμότητα

4.1 Ήλεκτρική άντισταση στους άγωγούς, μονωτές και ήμιαγωγούς .....	22
4.2 Ο νόμος του Ohm – Μονάδες μετρήσεως της άντιστάσεως .....	23
4.3 Είδική άντισταση – Υπολογισμός της ώμικης άντιστάσεως συρμάτων ‘Εξάρτηση της άντιστάσεως από τή θερμοκρασία .....	27
4.4 Η ηλεκτρική άγωγμότητα και η είδική άγωγμότητα .....	34
4.5 Ο νόμος του Ohm σε πλήρες κύκλωμα .....	34
4.6 Πτώση τάσεως σε ηλεκτρικές γραμμές .....	37

#### ΚΕΦΑΛΑΙΟ ΠΕΜΠΤΟ

Κανόνες και θεωρήματα άναλύσεως κυκλωμάτων

5.1 Σύνθετα ηλεκτρικά κυκλώματα .....	40
---------------------------------------	----

5.2 Οι Κανόνες τοῦ Kirchhoff .....	41
5.3 Ἐφαρμογές τοῦ νόμου τοῦ Ohm καὶ τῶν κανόνων τοῦ Kirchhoff .....	44
5.4 Ἡλεκτρικές πηγές τάσεως καὶ ρεύματος – Ἰδανικές πηγές .....	72
5.5 Τὸ θεώρημα τοῦ Thevenin – Ἐφαρμογές .....	74
5.6 Τὸ θεώρημα τοῦ Norton – Ἐφαρμογές .....	83
5.7 Ἰσοδυναμία τῶν κυκλωμάτων Thevenin καὶ Norton .....	88
5.8 Προσδιορισμός τῶν ισοδυνάμων Thevenin καὶ Norton μὲν μετρήσαις .....	91

## ΚΕΦΑΛΑΙΟ ΕΚΤΟ

### Ἡλεκτρική ἐνέργεια καὶ ίσχυς

6.1 Οἱ διάφορες ἐκφράσεις τῆς ἡλεκτρικῆς ἐνέργειας .....	93
6.2 Ἡλεκτρική ίσχυς .....	95
6.3 Μονάδες τῆς ἡλεκτρικῆς ίσχυος .....	97
6.4 Μονάδες τῆς ἡλεκτρικῆς ἐνέργειας .....	98
6.5 Ὁ νόμος τοῦ Joule .....	98
6.6 Βαθμός ἀπόδοσεως .....	101
6.7 Ὑπολογισμοί καταναλισκόμενης ίσχυος καὶ ἐνέργειας ἀπό διάφορες ἡλεκτρικές συσκευές .....	103

## ΤΡΙΤΟΣ ΜΕΡΟΣ

### ΤΟ ΜΑΓΝΗΤΙΚΟ ΠΕΔΙΟ

## ΚΕΦΑΛΑΙΟ ΕΒΔΟΜΟ

### Μαγνητισμός

7.1 Φυσικοί καὶ τεχνητοί μαγνήτες .....	109
7.2 Μαγνητικό πεδίο καὶ μαγνητικές γραμμές .....	112
7.3 Γήινος μαγνητισμός – Μαγνητική πυξίδα .....	115

## ΚΕΦΑΛΑΙΟ ΟΓΔΟΟ

### Ἡλεκτρομαγνητισμός

8.1 Τὸ μαγνητικό πεδίο εύθυγραμμου ἀγωγοῦ καὶ πηνίου .....	118
8.2 Μεγέθη καὶ μονάδες τοῦ μαγνητικοῦ πεδίου .....	124

## ΚΕΦΑΛΑΙΟ ΕΝΑΤΟ

### Μαγνητικά ὄλικά – Μαγνητικά κυκλώματα

9.1 Διαμαγνητικά, παραμαγνητικά καὶ σιδηρομαγνητικά ὄλικά .....	146
9.2 Μαγνητική ροή μέσα ἀπό σιδηρομαγνητικά ὄλικά .....	146
9.3 Μαγνήτιση καὶ ἀπομαγνήτιση σιδηρομαγνητικῶν ὄλικῶν .....	148
9.4 Ἐρμηνεία τοῦ μαγνητισμοῦ .....	153
9.5 Ἐπιλυση μαγνητικῶν κυκλωμάτων .....	155

## ΚΕΦΑΛΑΙΟ ΔΕΚΑΤΟ

### Ἡλεκτρομαγνητική ἐπαγωγή

10.1 Βασικά πειράματα ἡλεκτρομαγνητικῆς ἐπαγωγῆς – Ἐπαγωγικό ρεῦμα .....	167
10.2 Ὁ νόμος τῆς ἐπαγωγῆς .....	171
10.3 Ἡλεκτρεγερτική δύναμη ἐξ ἐπαγωγῆς .....	173
10.4 Φορά τοῦ ἐπαγωγικοῦ ρεύματος – Ὁ νόμος τοῦ Lenz .....	175

10.5 Αύτεπαγωγή — Συντελεστής αύτεπαγωγῆς .....	177
10.6 Άμοιβαία έπαγωγή — Συντελεστής άμοιβαίας έπαγωγῆς .....	179
<b>ΚΕΦΑΛΑΙΟ ΕΝΔΕΚΑΤΟ</b>	
Τό ήλεκτρικό ρεῦμα	
11.1 Κίνηση φορτίου σέ-μαγνητικό πεδίο .....	183
11.2 Δύναμη Laplace σέ ρευματοφόρο άγωγό μέσα στό μαγνητικό πεδίο .....	186
11.3 Δυνάμεις Laplace μεταξύ δύο ρευματοφόρων άγωγών .....	188
<b>ΠΑΡΑΡΤΗΜΑ</b>	
<b>ΑΣΚΗΣΕΙΣ</b> .....	
	191

---

COPYRIGHT ΙΔΡΥΜΑΤΟΣ ΕΥΓΕΝΙΔΟΥ



**0020558248**

**ΒΙΒΛΙΟΘΗΚΗ ΒΟΥΛΗΣ**

Υγρασία ημήκη από το Ινστιτούτο Εκπαιδευτικής Πολιτικής



ΙΔΡΥΜΑ ΕΥΓΕΝΙΔΟΥ

‘Ο Βόλτα παρουσιάζει τήν ηλεκτρική σπήλαιη στό Ναπολέοντα Βοναπάρτη, τό 1801.

